

Zakázka:	<b>38_ROZMITAL_POD_T.DPS</b>	Příloha:	<b>1</b>	Strana:	<b>1/5</b>
Objekt:	<b>Novostavba</b>	Datum:	<b>03.10.24</b>		
Výpočet:	<b>Zatížení stálé</b>	Vypočetl:	<b>Ing. Martin Šponar</b>		

podle: **ČSN EN 1991-1-1, Z1a Z2**

**Konstrukce: S3 - Střecha**

Materiál název	Materiál popis	Tloušťka vrstvy [mm]	Objemová hmotnost [kg/m <sup>3</sup> ]	Zatížení charakter. [kPa]	Součinitel zatížení	Zatížení návrhové [kPa]
zemina 3	Zemina s organickou příměsí nasycen	120	1800	2,160	1,35	2,916
pvc	Linoleum PVC	10	1200	0,120	1,35	0,162
voda	vodní sloupec / voda vázaná ve sklad	50	1000	0,500	1,35	0,675
eps	Expandovaný polystyrén	400	50	0,200	1,35	0,27
Panel 200	Spiroll tl. 200 mm včetně zálivky	200	1330	2,660	1,35	3,591
sdk	Sádrokartonové desky vč. kce	12,5	1200	0,150	1,35	0,2025
<b>CELKEM</b>		792,5		<b>5,790</b>	<b>1,350</b>	<b>7,817</b>
ve FEMu				5,800	1,350	7,830

**Konstrukce: S2 - podlaha 2.NP a 3.NP**

Materiál název	Materiál popis	Tloušťka vrstvy [mm]	Objemová hmotnost [kg/m <sup>3</sup> ]	Zatížení charakter. [kPa]	Součinitel zatížení	Zatížení návrhové [kPa]
DLAŽBA KER	Keramická dlažba	10	2200	0,220	1,35	0,297
BET. MAZANINA +	Betonová mazanina se sítí	50	2300	1,150	1,35	1,5525
ti p	Akustická minerální izolace - podlaha	80	120	0,096	1,35	0,1296
keramzitbeton	Lehký beton Liapor	80	1450	1,160	1,35	1,566
Panel 200	Spiroll tl. 200 mm včetně zálivky	200	1330	2,660	1,35	3,591
sdk	Sádrokartonové desky vč. kce	12,5	1200	0,150	1,35	0,2025
<b>CELKEM</b>		432,5		<b>5,436</b>	<b>1,350</b>	<b>7,339</b>
ve FEMu				5,450	1,350	7,358





Zakázka:	<b>38_ROZMITAL_POD_T.DPS</b>	Příloha:	<b>1</b>	Strana:	<b>3/5</b>
Objekt:	<b>Novostavba</b>	Datum:	<b>03.10.24</b>		
Výpočet:	<b>Zatížení proměnné</b>	Vypočetl:	<b>Ing. Martin Šponar</b>		

podle: **ČSN EN 1991-1-1, Z1a Z2**

**Konstrukce:** **pokoje**

Materiál název	Materiál popis	Zatížení charakter. bodové [kN]	Zatížení charakter. [kPa]	Součinitel zatížení	Zatížení návrhové [kPa]
A1	Obytné plochy - stropní konstrukce	2,00	1,500	1,5	2,25
<b>CELKEM</b>			<b>1,500</b>	<b>1,500</b>	<b>2,250</b>
-pozn. bodová síla je uvažována na ploše 50x50mm		ve FEMu	1,500	1,500	2,250

**Konstrukce:**

Materiál název	Materiál popis	Zatížení charakter. bodové [kN]	Zatížení charakter. [kPa]	Součinitel zatížení	Zatížení návrhové [kPa]
A2	Obytné plochy - schodiště	2,00	3,000	1,5	4,5
<b>CELKEM</b>			<b>3,000</b>	<b>1,500</b>	<b>4,500</b>
-pozn. bodová síla je uvažována na ploše 50x50mm		ve FEMu	3,000	1,500	4,500

**Konstrukce:** **společenské místnosti**

Materiál název	Materiál popis	Zatížení charakter. bodové [kN]	Zatížení charakter. [kPa]	Součinitel zatížení	Zatížení návrhové [kPa]
C2	Shrom. plochy se zabudovatelnými sedadly	4,00	4,000	1,5	6
<b>CELKEM</b>			<b>4,000</b>	<b>1,500</b>	<b>6,000</b>
-pozn. bodová síla je uvažována na ploše 50x50mm		ve FEMu	4,000	1,500	6,000

**Konstrukce:** **společenské místnosti**

Materiál název	Materiál popis	Zatížení charakter. bodové [kN]	Zatížení charakter. [kPa]	Součinitel zatížení	Zatížení návrhové [kPa]
PRICKA 3	S vlastní tíhou > 2,0 kN/m < 3,0 kN/m	0,00	1,200	1,5	1,8
<b>CELKEM</b>			<b>1,200</b>	<b>1,500</b>	<b>1,800</b>
-pozn. bodová síla je uvažována na ploše 0		ve FEMu	1,200	1,500	1,800

Zakázka:	<b>38_ROZMITAL_POD_T.DPS</b>	Příloha:	<b>1</b>	Strana:	<b>4/5</b>
Objekt:	<b>Novostavba</b>	Datum:	<b>03.10.24</b>		
Výpočet:	<b>Zatížení sněhem</b>	Vypočetl:	<b>Ing. Martin Šponar</b>		

podle: **ČSN EN 1991-1-3, Z1, Z2, Z3, Z4**

sněhová oblast:

**přesně**

$s_k = 1,10 \text{ kN/m}^2$  -hodnota z [www.snehovamapa.cz](http://www.snehovamapa.cz)

součinitel expozice:

$C_e = 1,0$

*Normální typ krajiny: plochy, kde nedochází na stavbách k výraznému přemístění sněhu větrem kvůli okolnímu terénu, jiným stavbám nebo stromům.*

tepelný součinitel:

$C_t = 1,0$

sklon střechy:

$a_1 = 2,50^\circ$

$m_1(a_1) = 0,80$

$m_2(a_1) = 0,87$

$a_2 = 2,50^\circ$

$m_1(a_2) = 0,80$

$m_2(a_2) = 0,87$

$a_{12} = 2,50^\circ$

$m_2(a_{12}) = 0,87$

zatížení sněhem na střechu:

$$s_i = \mu_i \cdot C_e \cdot C_t \cdot s_k$$

$$\alpha_{12} = \frac{(\alpha_1 + \alpha_2)}{2}$$

(5.1)

$s_1(a_1) = 0,880 \text{ kN/m}^2$


$s_2(a_1) = 0,953 \text{ kN/m}^2$

$s_1(a_2) = 0,880 \text{ kN/m}^2$

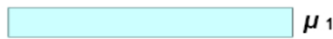
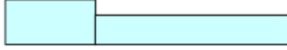
$s_2(a_2) = 0,953 \text{ kN/m}^2$

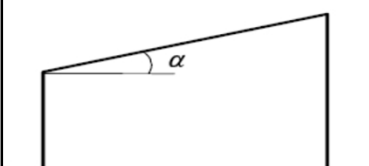
$s_2(a_{12}) = 0,953 \text{ kN/m}^2$

uspořádání zatížení na střeše:

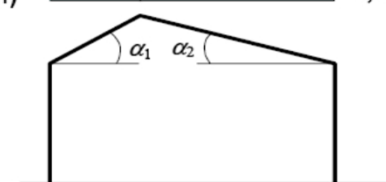
Případ (i)  $\mu_1(\alpha_1)$    $\mu_1(\alpha_2)$

Případ (ii)  $0,5\mu_1(\alpha_1)$    $\mu_1(\alpha_2)$

  $\mu_1$  Případ (iii)  $\mu_1(\alpha_1)$    $0,5\mu_1(\alpha_2)$



Pultová střecha



Sedlová střecha

Případ (i)  $\mu_1(\alpha_1)$   $\mu_1(\alpha_2)$   $\mu_1(\alpha_1)$   $\mu_1(\alpha_2)$



Případ (ii)  $\mu_2(\alpha)_{12}$   $\alpha = (\alpha_1 + \alpha_2)/2$

$\mu_1(\alpha_1)$    $\mu_1(\alpha_2)$



Vícelodní budovy

=> min. zatížení je 0,75 kN/m2 viz str. 3 zatížení H1

změna Z1, Z4

NA.2.13

NA.2.14

Zakázka:	<b>38_ROZMITAL_POD_T.DPS</b>	Příloha:	<b>1</b>	Strana:	<b>5/5</b>
Objekt:	<b>Novostavba</b>	Datum:	<b>03.10.24</b>		
Výpočet:	<b>Zatížení sněhem - návěje u překážky</b>	Vypočetl:	<b>Ing. Martin Šponar</b>		

podle: **ČSN EN 1991-1-3, Z1, Z2, Z3, Z4**

sněhová oblast: **přesně**

$$s_k = 1,10 \text{ kN/m}^2 \quad \text{-hodnota z } \underline{\text{www.snehovamapa.cz}}$$

změna Z1

součinitel expozice:

$$C_e = 1,0$$

*Normální typ krajiny: plochy, kde nedochází na stavbách k výraznému přemístění sněhu větrem kvůli okolnímu terénu, jiným stavbám nebo stromům.*

NA.2.13

tepelný součinitel:

$$C_t = 1,0$$

NA.2.14

Zatížení platí pro návěje u překážek na přibližně plochých střeších.

$$m_1 = 0,80$$

$$\mu_2 = \frac{\gamma \cdot h}{s_k} ; \quad 0,8 \leq \mu_2 \leq 2,0$$

(6.1), (6.2)

výška překážky:

$$h = 0,50 \text{ m}$$

objemová tíha sněhu:

$$g = 2,00 \text{ kN/m}^3$$

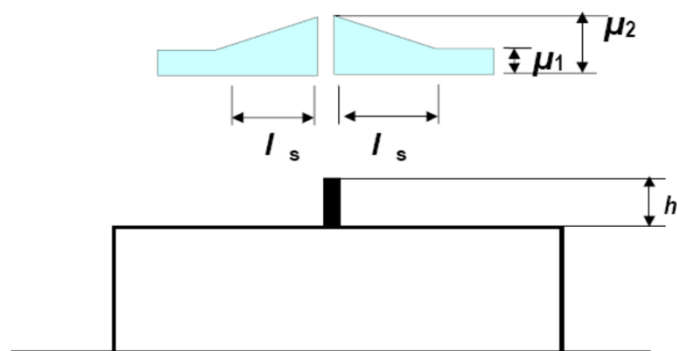


Schéma zatížení kolem překážky

délka návěje:

$$l_s = 2 \cdot h ; \quad 5m \leq l_s \leq 15m ; \quad l_s = 5,00 \text{ m}$$

(6.3)

tvárový součinitel zatížení sněhem u překážky:

$$m_2 = 0,91$$

zatížení sněhem u překážky:

$$s_i = \mu_i \cdot C_e \cdot C_t \cdot s_k$$

(5.1)

$$s_1 = 0,880 \text{ kN/m}^2$$

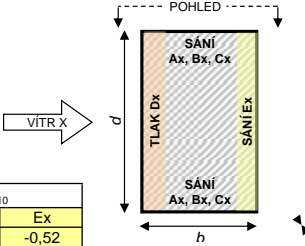
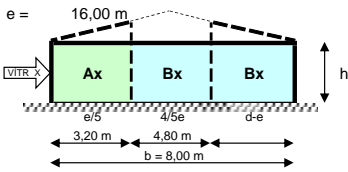
$$s_2 = 1,000 \text{ kN/m}^2$$



Zakázka	38_ROZMITAL_POD_T.DPS	Příloha:	2	Strana:	2/3
Objekt:	Novostavba	Datum:	03.10.24		
Výpočet	Výpočet zatížení větrem	Vypočetl:	Ing. Martin Šponar		

### TLAK VĚTRU NA STĚNY - VÍTR X

## POHLED NA STĚNU

$$e =$$


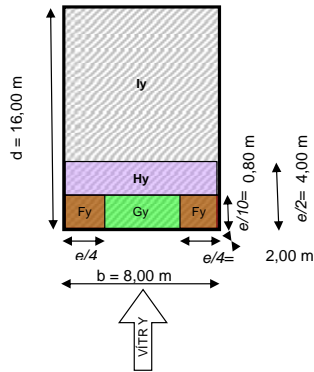
Součinitel vnějšího tlaku na stěny $c_{pe,10}$				
Ax	Bx	Cx	Dx	Ex
-1,20	-0,80	-0,50	0,80	-0,52

$$h / b = 1,44 \text{ m}$$
[illegible]

### h = 11,5 m

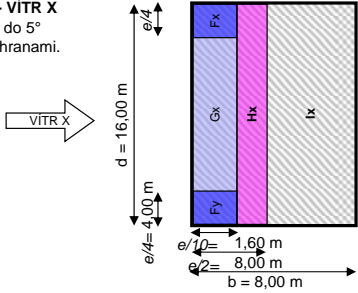
Zakázka	<b>38_ROZMITAL_POD_T.DPS</b>	Příloha:	<b>2</b>	Strana:	<b>3/3</b>
Objekt:	<b>Novostavba</b>	Datum:	<b>03.10.24</b>		
Výpočet	<b>Výpočet zatížení větrem</b>	Vypočetil:	<b>Ing. Martin Šponar</b>		

**PLOCHÁ STŘECHA - VÍTR Y**  
platí pro sklon střechy do 5°  
Typ střechy s ostrými hranami.  
e = 8,00 m



PLOCHA STŘECHA - VÍTR Y										
Výška lin. zat	Poslední podlaží	Výška z pro výpočet tlaku větru	Intenzita turbulence	Součinitel drsnosti terénu	Střední rychlost větru	Maximální dynamický tlak	Tlak působící na příslušnou oblast střechy			
							Fy	Gy	Hy	Iy
		z	$I_v(z)$	$c_r(z)$	$v_m(z)$	$q_p(z)$	$w_{e,Fy}(z)$	$w_{e,Gy}(z)$	$w_{e,Hy}(z)$	$w_{e,Iy}(z)$
[m]		[m]	[-]	[-]	[km/h]	[kN/m²]	[kN/m²]	[kN/m²]	[kN/m²]	[kN/m²]
11,5	4	11,5	0,1970	1,0332	28,41	1,154	-2,831	-2,083	-0,808	0,231

**PLOCHÁ STŘECHA - VÍTR X**  
platí pro sklon střechy do 5°  
Typ střechy s ostrými hranami.  
e = 16,00 m


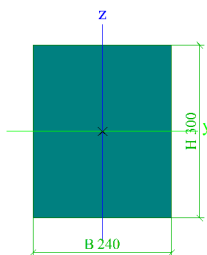



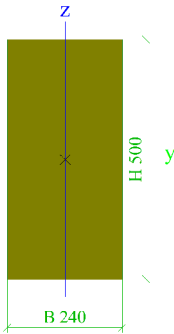

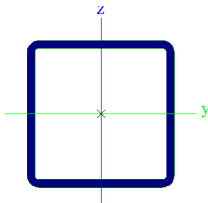

PLOCHÁ STŘECHA - VÍTR X										
Výška lin. zat	Poslední podlaží	Výška z pro výpočet tlaku větru	Intenzita turbulence	Součinitel drsnosti terénu	Střední rychlost větru	Maximální dynamický tlak	Tlak působící na příslušnou oblast střechy			
							Fx	Gx	Hx	Ix
[m]		[m]	$I_v(z)$	$c_r(z)$	$v_m(z)$	$q_p(z)$	$w_{e,Fx}(z)$	$w_{e,Gx}(z)$	$w_{e,Hx}(z)$	$w_{e,Ix}(z)$
11,5	4	11,5	0,1839	1,0332	28,41	1,154	-2,401	-1,385	-0,808	0,231

## 1. Obsah

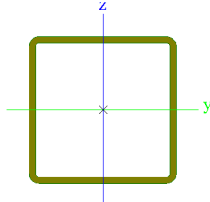

1. Obsah	1
2. Průřezy	2
3. Materiály	4
4. Prvky	5
5. 1.NP	7
6. 2.NP	7
7. 3.NP	8
8. Plochy	8
9. 1.NP	11
10. 2.NP	12
11. 3.NP	12
12. Zatěžovací stavy	13
13. Skupiny zatížení	13
14. Kombinace	13
15. 1.NP	13
15.1. Zatěžovací stavy	13
15.1.1. Zatěžovací stavy - ZS2	13
15.1.2. Zatěžovací stavy - ZS3	14
15.1.3. Zatěžovací stavy - ZS4	14
15.1.4. Zatěžovací stavy - ZS5	15
15.1.5. Zatěžovací stavy - ZS6	15
15.1.6. Zatěžovací stavy - ZS8	16
15.2. reakce v základové spáře	16
15.2.1. Reakce	16
15.3. Posouzení základových pasů	22
15.4. Zatížení zdiva	22
15.4.1. 2D vnitřní síly	22
15.5. Posouzení zdiva tl. 240 mm	43
15.6. Vnitřní síly 1D prvků	45
15.6.1. 1D vnitřní síly	45
15.7. Posouzení pozedního věnce	55
15.8. Posudek ocelových prvků na MSÚ EC-EN 1993	56
15.9. Deformace 1D prvků	58
15.9.1. 1D deformace	58
16. 2.NP	61
16.1. Zatěžovací stavy	61
16.1.1. Zatěžovací stavy - ZS2	61
16.1.2. Zatěžovací stavy - ZS3	62
16.1.3. Zatěžovací stavy - ZS4	62
16.1.4. Zatěžovací stavy - ZS5	63
16.1.5. Zatěžovací stavy - ZS6	63
16.1.6. Zatěžovací stavy - ZS8	64
16.2. Zatížení zdiva	64
16.2.1. 2D vnitřní síly	64
16.3. Vnitřní síly 1D prvků	65
16.3.1. 1D vnitřní síly	65
16.4. Posouzení pozedního věnce - průvlak u spol. místnosti	75
16.5. Posudek ocelových prvků na MSÚ EC-EN 1993	76
16.6. Deformace 1D prvků	78
16.6.1. 1D deformace	78
17. 3.NP	81
17.1. Zatěžovací stavy	81
17.1.1. Zatěžovací stavy - ZS2	81
17.1.2. Zatěžovací stavy - ZS5	82
17.1.3. Zatěžovací stavy - ZS6	82
17.1.4. Zatěžovací stavy - ZS7	83
17.1.5. Zatěžovací stavy - ZS8	83
17.2. Zatížení zdiva	84
17.2.1. 2D vnitřní síly	84
17.3. Vnitřní síly 1D prvků	85
17.3.1. 1D vnitřní síly	85
17.4. Posouzení pozedního věnce - průvlak u spol. místnosti	95
17.5. Posudek ocelových prvků na MSÚ EC-EN 1993	96
17.6. Deformace 1D prvků	98
17.6.1. 1D deformace	98

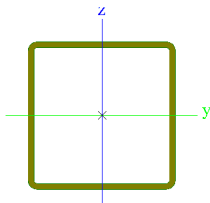

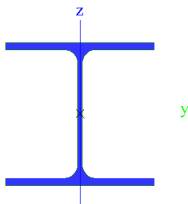

## 2. Průřezy

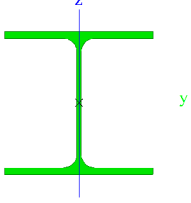
venec		
Typ	Obdélník	
Detailní	300; 240	
Typ tvaru	Tlustostěnný	
Materiál	C30/37(EN1992-2)	
Výroba	beton	
Barva		
A [m <sup>2</sup> ]	7,2000e-02	
A <sub>y</sub> [m <sup>2</sup> ], A <sub>z</sub> [m <sup>2</sup> ]	6,0065e-02	6,0042e-02
A <sub>L</sub> [m <sup>2</sup> /m], A <sub>D</sub> [m <sup>2</sup> /m]	1,0800e+00	1,0800e+00
C <sub>y</sub> .UCS [mm], C <sub>z</sub> .UCS [mm]	120	150
α [deg]	0,00	
I <sub>y</sub> [m <sup>4</sup> ], I <sub>z</sub> [m <sup>4</sup> ]	5,4000e-04	3,4560e-04
i <sub>y</sub> [mm], i <sub>z</sub> [mm]	87	69
W <sub>el.y</sub> [m <sup>3</sup> ], W <sub>el.z</sub> [m <sup>3</sup> ]	3,6000e-03	2,8800e-03
W <sub>pl.y</sub> [m <sup>3</sup> ], W <sub>pl.z</sub> [m <sup>3</sup> ]	0,0000e+00	0,0000e+00
M <sub>pl.y.+</sub> [Nm], M <sub>pl.y.-</sub> [Nm]	0,00e+00	0,00e+00
M <sub>pl.z.+</sub> [Nm], M <sub>pl.z.-</sub> [Nm]	0,00e+00	0,00e+00
d <sub>y</sub> [mm], d <sub>z</sub> [mm]	0	0
I <sub>t</sub> [m <sup>4</sup> ], I <sub>w</sub> [m <sup>6</sup> ]	7,1140e-04	1,6719e-07
β <sub>y</sub> [mm], β <sub>z</sub> [mm]	0	0
Obrázek		
pruvlak3		
Typ	Obdélník	
Detailní	500; 240	
Typ tvaru	Tlustostěnný	
Materiál	C30/37(EN1992-2)	
Výroba	beton	
Barva		
A [m <sup>2</sup> ]	1,2000e-01	
A <sub>y</sub> [m <sup>2</sup> ], A <sub>z</sub> [m <sup>2</sup> ]	1,0019e-01	1,0004e-01
A <sub>L</sub> [m <sup>2</sup> /m], A <sub>D</sub> [m <sup>2</sup> /m]	1,4800e+00	1,4800e+00
C <sub>y</sub> .UCS [mm], C <sub>z</sub> .UCS [mm]	120	250
α [deg]	0,00	
I <sub>y</sub> [m <sup>4</sup> ], I <sub>z</sub> [m <sup>4</sup> ]	2,5000e-03	5,7600e-04
i <sub>y</sub> [mm], i <sub>z</sub> [mm]	144	69
W <sub>el.y</sub> [m <sup>3</sup> ], W <sub>el.z</sub> [m <sup>3</sup> ]	1,0000e-02	4,8000e-03
W <sub>pl.y</sub> [m <sup>3</sup> ], W <sub>pl.z</sub> [m <sup>3</sup> ]	0,0000e+00	0,0000e+00
M <sub>pl.y.+</sub> [Nm], M <sub>pl.y.-</sub> [Nm]	0,00e+00	0,00e+00
M <sub>pl.z.+</sub> [Nm], M <sub>pl.z.-</sub> [Nm]	0,00e+00	0,00e+00
d <sub>y</sub> [mm], d <sub>z</sub> [mm]	0	0
I <sub>t</sub> [m <sup>4</sup> ], I <sub>w</sub> [m <sup>6</sup> ]	1,6066e-03	4,7021e-06
β <sub>y</sub> [mm], β <sub>z</sub> [mm]	0	0

Obrázek		
		
sloup5		
Typ	MSH150x150x8.0	
Kód tvaru	2 - Obdélníkové uzavř	
Typ tvaru	Tenkostěnný	
Materiál	S 235	
Výroba	válcovaný	
Barva		
Posudek rovinného vzpěru y-y, Posudek rovinného vzpěru z-z	a	a
A [m <sup>2</sup> ]	4,4800e-03	
A <sub>y</sub> [m <sup>2</sup> ], A <sub>z</sub> [m <sup>2</sup> ]	2,2160e-03	2,2160e-03
A <sub>L</sub> [m <sup>2</sup> /m], A <sub>D</sub> [m <sup>2</sup> /m]	5,7900e-01	1,1084e+00
C <sub>y</sub> .UCS [mm], C <sub>z</sub> .UCS [mm]	75	75
α [deg]	0,00	
I <sub>y</sub> [m <sup>4</sup> ], I <sub>z</sub> [m <sup>4</sup> ]	1,4900e-05	1,4900e-05
i <sub>y</sub> [mm], i <sub>z</sub> [mm]	58	58
W <sub>el.y</sub> [m <sup>3</sup> ], W <sub>el.z</sub> [m <sup>3</sup> ]	1,9900e-04	1,9900e-04
W <sub>pl.y</sub> [m <sup>3</sup> ], W <sub>pl.z</sub> [m <sup>3</sup> ]	2,3700e-04	2,3700e-04
M <sub>pl.y.+</sub> [Nm], M <sub>pl.y.-</sub> [Nm]	5,50e+04	5,50e+04
M <sub>pl.z.+</sub> [Nm], M <sub>pl.z.-</sub> [Nm]	5,50e+04	5,50e+04
d <sub>y</sub> [mm], d <sub>z</sub> [mm]	0	0
I <sub>t</sub> [m <sup>4</sup> ], I <sub>w</sub> [m <sup>6</sup> ]	2,3500e-05	5,0625e-08
β <sub>y</sub> [mm], β <sub>z</sub> [mm]	0	0
Obrázek		
sloup		
Typ	MSH180x180x8.0	
Kód tvaru	2 - Obdélníkové uzavř	
Typ tvaru	Tenkostěnný	
Materiál	S 235	
Výroba	válcovaný	
Barva		
Posudek rovinného vzpěru y-y, Posudek rovinného vzpěru z-z	a	a



Z-Z		
A [m <sup>2</sup> ]	5,4400e-03	
A <sub>y</sub> [m <sup>2</sup> ], A <sub>z</sub> [m <sup>2</sup> ]	2,6960e-03	2,6960e-03
A <sub>L</sub> [m <sup>2</sup> /m], A <sub>D</sub> [m <sup>2</sup> /m]	6,9900e-01	1,3484e+00
C <sub>y</sub> .UCS [mm], C <sub>z</sub> .UCS [mm]	90	90
α [deg]	0,00	
I <sub>y</sub> [m <sup>4</sup> ], I <sub>z</sub> [m <sup>4</sup> ]	2,6600e-05	2,6600e-05
i <sub>y</sub> [mm], i <sub>z</sub> [mm]	70	70
W <sub>el.y</sub> [m <sup>3</sup> ], W <sub>el.z</sub> [m <sup>3</sup> ]	2,9600e-04	2,9600e-04
W <sub>pl.y</sub> [m <sup>3</sup> ], W <sub>pl.z</sub> [m <sup>3</sup> ]	3,4900e-04	3,4900e-04
M <sub>pl.y.+</sub> [Nm], M <sub>pl.y.-</sub> [Nm]	8,12e+04	8,12e+04
M <sub>pl.z.+</sub> [Nm], M <sub>pl.z.-</sub> [Nm]	8,12e+04	8,12e+04
d <sub>y</sub> [mm], d <sub>z</sub> [mm]	0	0
I <sub>t</sub> [m <sup>4</sup> ], I <sub>w</sub> [m <sup>6</sup> ]	4,1600e-05	1,2597e-07
β <sub>y</sub> [mm], β <sub>z</sub> [mm]	0	0
Obrázek		
ram		
Typ	MSH200x200x8.0	
Kód tvaru	2 - Obdélníkové uzavř	
Typ tvaru	Tenkostěnný	
Materiál	S 235	
Výroba	válcovaný	
Barva		
Posudek rovinného vzpěru y-y, Posudek rovinného vzpěru z-z	a	a
A [m <sup>2</sup> ]	6,0800e-03	
A <sub>y</sub> [m <sup>2</sup> ], A <sub>z</sub> [m <sup>2</sup> ]	3,0160e-03	3,0160e-03
A <sub>L</sub> [m <sup>2</sup> /m], A <sub>D</sub> [m <sup>2</sup> /m]	7,7900e-01	1,5084e+00
C <sub>y</sub> .UCS [mm], C <sub>z</sub> .UCS [mm]	100	100
α [deg]	0,00	
I <sub>y</sub> [m <sup>4</sup> ], I <sub>z</sub> [m <sup>4</sup> ]	3,7100e-05	3,7100e-05
i <sub>y</sub> [mm], i <sub>z</sub> [mm]	78	78
W <sub>el.y</sub> [m <sup>3</sup> ], W <sub>el.z</sub> [m <sup>3</sup> ]	3,7100e-04	3,7100e-04
W <sub>pl.y</sub> [m <sup>3</sup> ], W <sub>pl.z</sub> [m <sup>3</sup> ]	4,3600e-04	4,3600e-04
M <sub>pl.y.+</sub> [Nm], M <sub>pl.y.-</sub> [Nm]	1,01e+05	1,01e+05
M <sub>pl.z.+</sub> [Nm], M <sub>pl.z.-</sub> [Nm]	1,01e+05	1,01e+05
d <sub>y</sub> [mm], d <sub>z</sub> [mm]	0	0
I <sub>t</sub> [m <sup>4</sup> ], I <sub>w</sub> [m <sup>6</sup> ]	5,7800e-05	2,1333e-07
β <sub>y</sub> [mm], β <sub>z</sub> [mm]	0	0

Obrázek		
pruvlak4		
Typ	HEA260	
Kód tvaru	1 - I průřez	
Typ tvaru	Tenkostěnný	
Materiál	S 235	
Výroba	válcovaný	
Barva		
Posudek rovinného vzpěru y-y, Posudek rovinného vzpěru z-z	b	c
A [m²]	8,6800e-03	
A <sub>y</sub> [m²], A <sub>z</sub> [m²]	6,3059e-03	2,0196e-03
A <sub>L</sub> [m²/m], A <sub>D</sub> [m²/m]	1,4800e+00	1,4836e+00
C <sub>y</sub> .UCS [mm], C <sub>z</sub> .UCS [mm]	130	125
α [deg]	0,00	
I <sub>y</sub> [m⁴], I <sub>z</sub> [m⁴]	1,0500e-04	3,6700e-05
i <sub>y</sub> [mm], i <sub>z</sub> [mm]	110	65
W <sub>el.y</sub> [m³], W <sub>el.z</sub> [m³]	8,3600e-04	2,8200e-04
W <sub>pl.y</sub> [m³], W <sub>pl.z</sub> [m³]	9,2083e-04	4,2917e-04
M <sub>pl.y.+</sub> [Nm], M <sub>pl.y.-</sub> [Nm]	2,16e+05	2,16e+05
M <sub>pl.z.+</sub> [Nm], M <sub>pl.z.-</sub> [Nm]	1,01e+05	1,01e+05
d <sub>y</sub> [mm], d <sub>z</sub> [mm]	0	0
I <sub>t</sub> [m⁴], I <sub>w</sub> [m⁶]	5,2400e-07	5,1635e-07
β <sub>y</sub> [mm], β <sub>z</sub> [mm]	0	0
Obrázek		
pruvlak5		
Typ	HEA300	
Kód tvaru	1 - I průřez	
Typ tvaru	Tenkostěnný	
Materiál	S 235	
Výroba	válcovaný	
Barva		
Posudek rovinného vzpěru y-y, Posudek rovinného vzpěru z-z	b	c
A [m²]	1,1300e-02	
A <sub>y</sub> [m²], A <sub>z</sub> [m²]	8,1300e-03	2,6502e-03
A <sub>L</sub> [m²/m], A <sub>D</sub> [m²/m]	1,7200e+00	1,7164e+00
C <sub>y</sub> .UCS [mm], C <sub>z</sub> .UCS [mm]	150	145
α [deg]	0,00	

$I_y$ [m <sup>4</sup> ], $I_z$ [m <sup>4</sup> ]	1,8300e-04	6,3100e-05
$i_y$ [mm], $i_z$ [mm]	127	75
$W_{el.y}$ [m <sup>3</sup> ], $W_{el.z}$ [m <sup>3</sup> ]	1,2600e-03	4,2100e-04
$W_{pl.y}$ [m <sup>3</sup> ], $W_{pl.z}$ [m <sup>3</sup> ]	1,3833e-03	6,4167e-04
$M_{pl.y,+}$ [Nm], $M_{pl.y,-}$ [Nm]	3,25e+05	3,25e+05
$M_{pl.z,+}$ [Nm], $M_{pl.z,-}$ [Nm]	1,51e+05	1,51e+05
$d_y$ [mm], $d_z$ [mm]	0	0
$I_t$ [m <sup>4</sup> ], $I_w$ [m <sup>6</sup> ]	8,5200e-07	1,1998e-06
$\beta_y$ [mm], $\beta_z$ [mm]	0	0
Obrázek		

Vysvětlivky symbolů	
A	Plocha
A <sub>y</sub>	Smyková plocha ve směru hlavní osy y - Vypočteno 2D MKP analýzou
A <sub>z</sub>	Smyková plocha ve směru hlavní osy z - Vypočteno 2D MKP analýzou
A <sub>L</sub>	Obvodový povrch na jednotku délky
A <sub>D</sub>	Vysýchající povrch na jednotku délky
C <sub>y,UCS</sub>	Souřadnice těžiště ve směru osy Y zadávacího systému
C <sub>z,UCS</sub>	Souřadnice těžiště ve směru osy Z zadávacího systému
I <sub>y,LCS</sub>	Moment setrvačnosti kolem osy YLSS
I <sub>z,LCS</sub>	Moment setrvačnosti kolem osy ZLSS
I <sub>yz,LCS</sub>	Moment setrvačnosti I <sub>yz</sub> v LSS
α	Úhel pootočení hlavní osy
I <sub>y</sub>	Moment setrvačnosti kolem hlavní osy y
I <sub>z</sub>	Moment setrvačnosti kolem hlavní osy z
i <sub>y</sub>	Poloměr setrvačnosti kolem hlavní osy y
i <sub>z</sub>	Poloměr setrvačnosti kolem hlavní osy z

Vysvětlivky symbolů	
W <sub>el.y</sub>	Pružný modul průřezu k hlavní ose y
W <sub>el.z</sub>	Pružný modul průřezu k hlavní ose z
W <sub>pl.y</sub>	Plastický modul průřezu k hlavní ose y
W <sub>pl.z</sub>	Plastický modul průřezu k hlavní ose z
M <sub>pl.y,+</sub>	Plastický moment kolem hlavní osy y pro kladný moment M <sub>y</sub>
M <sub>pl.y,-</sub>	Plastický moment kolem hlavní osy y pro záporný moment M <sub>y</sub>
M <sub>pl.z,+</sub>	Plastický moment kolem hlavní osy z pro kladný moment M <sub>z</sub>
M <sub>pl.z,-</sub>	Plastický moment kolem hlavní osy z pro záporný moment M <sub>z</sub>
d <sub>y</sub>	Souřadnice středu smyku ve směru hlavní osy y měřená od těžiště - Vypočteno 2D MKP analýzou
d <sub>z</sub>	Souřadnice středu smyku ve směru hlavní osy z měřená od těžiště - Vypočteno 2D MKP analýzou
I <sub>t</sub>	Moment setrvačnosti v prostém kroucení - Vypočteno 2D MKP analýzou
I <sub>w</sub>	Výsečový moment setrvačnosti - Vypočteno 2D MKP analýzou
β <sub>y</sub>	Mono-symetrická konstanta kolem hlavní osy y
β <sub>z</sub>	Mono-symetrická konstanta kolem hlavní osy z

3. Materiály


Ocel EC3

Jméno	ρ [kg/m <sup>3</sup> ]	E <sub>mod</sub> [MPa]	μ	Dolní mez [mm]	Horní mez [mm]	F <sub>y</sub> [MPa]	F <sub>u</sub> [MPa]	Barva
		G <sub>mod</sub> [MPa]	α [m/mK]					
S 235	7850,0	2,1000e+05	0,3	0	40	235,0	360,0	
		8,0769e+04	0,00	40	80	215,0	360,0	



Výztuž EC2

Jméno	Typ	ρ [kg/m <sup>3</sup> ]	E <sub>mod</sub> [MPa]	G <sub>mod</sub> [MPa]	α [m/mK]	f <sub>y,k</sub> [MPa]
B 500B	Výztužná ocel	7850,0	2,0000e+05	8,3333e+04	0,00	500,0



#### Timber EC5

Jméno	Typ dřeva	$\mu$	$E_{mod}$ [MPa]	$f_{m,k}$ [MPa]	$f_{t,0,k}$ [MPa]	$f_{t,90,k}$ [MPa]	$f_{c,0,k}$ [MPa]	$f_{c,90,k}$ [MPa]	$f_{v,k}$ [MPa]	Barva
	$\rho$ [kg/m <sup>3</sup> ]	$\alpha$ [m/mK]	$G_{mod}$ [MPa]							
C24 (EN 338)	Rostlé dřevo 420,0	0 0,00	1,1000e+04 6,9000e+02	24,0	14,5	0,4	21,0	2,5	4,0	

#### Zdivo

Jméno	Typ	$\rho$ [kg/m <sup>3</sup> ]	$E_{mod}$ [MPa]	$\mu$	$G_{mod}$ [MPa]	$\alpha$ [m/mK]	$f_k$ [MPa]	Barva
Masonry	Zdivo	1000,0	3,0000e+03	0.25	1,2000e+03	0,00	3,0	
VPC	Zdivo	2000,0	1,0200e+04	0.25	4,0800e+03	0,00	10,2	

#### Beton EN 1992-2

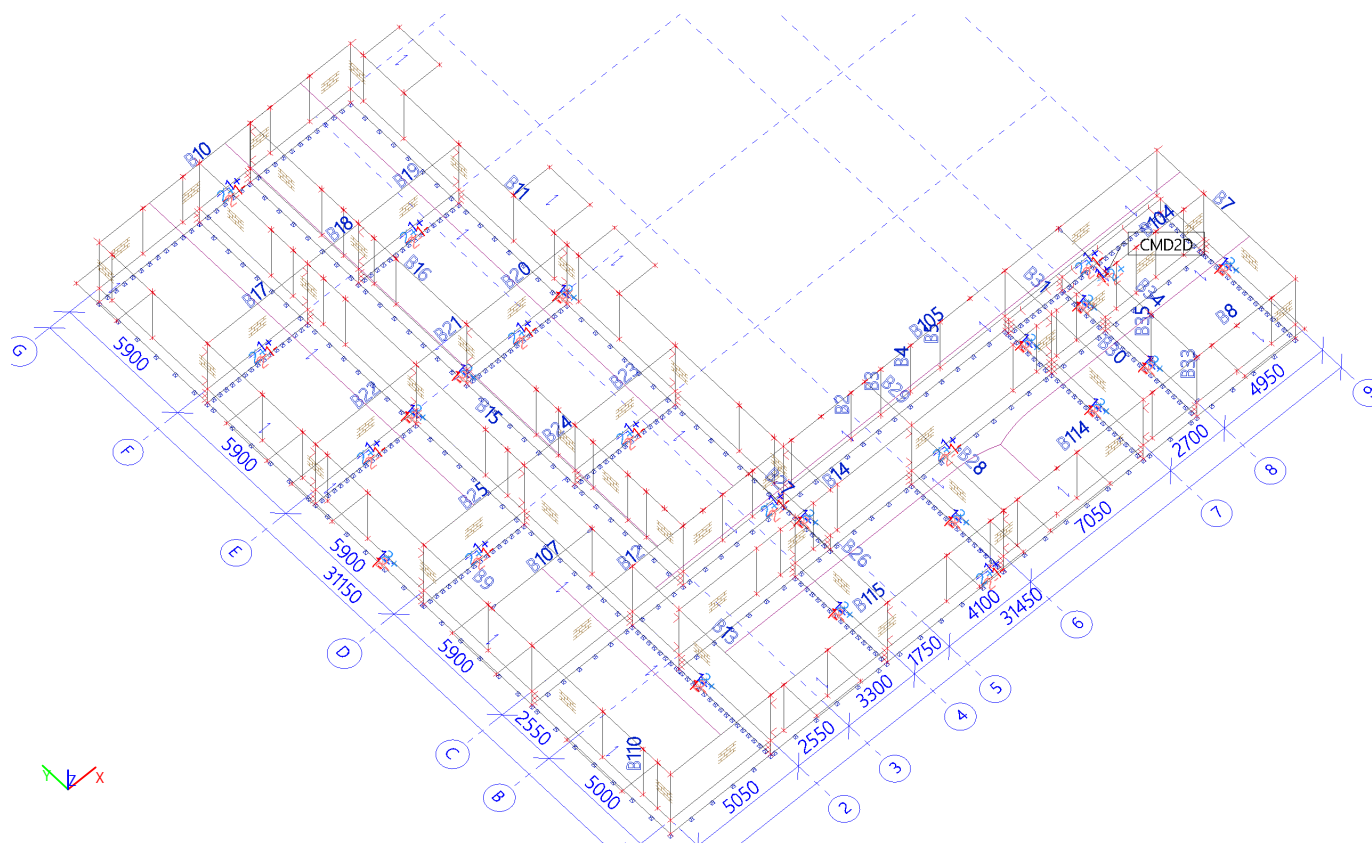
Jméno	Typ	Jednotková hmotnost [kg/m <sup>3</sup> ]	E [MPa]	Poisson - nu	G [MPa]	Tep.roztaž. [m/mK]	Barva
C25/30(EN1992-2)	Beton	2500,0	3,1500e+04	0.2	1,3125e+04	0,00	
C30/37(EN1992-2)	Beton	2500,0	3,2800e+04	0.2	1,3667e+04	0,00	

## 4. Prvky

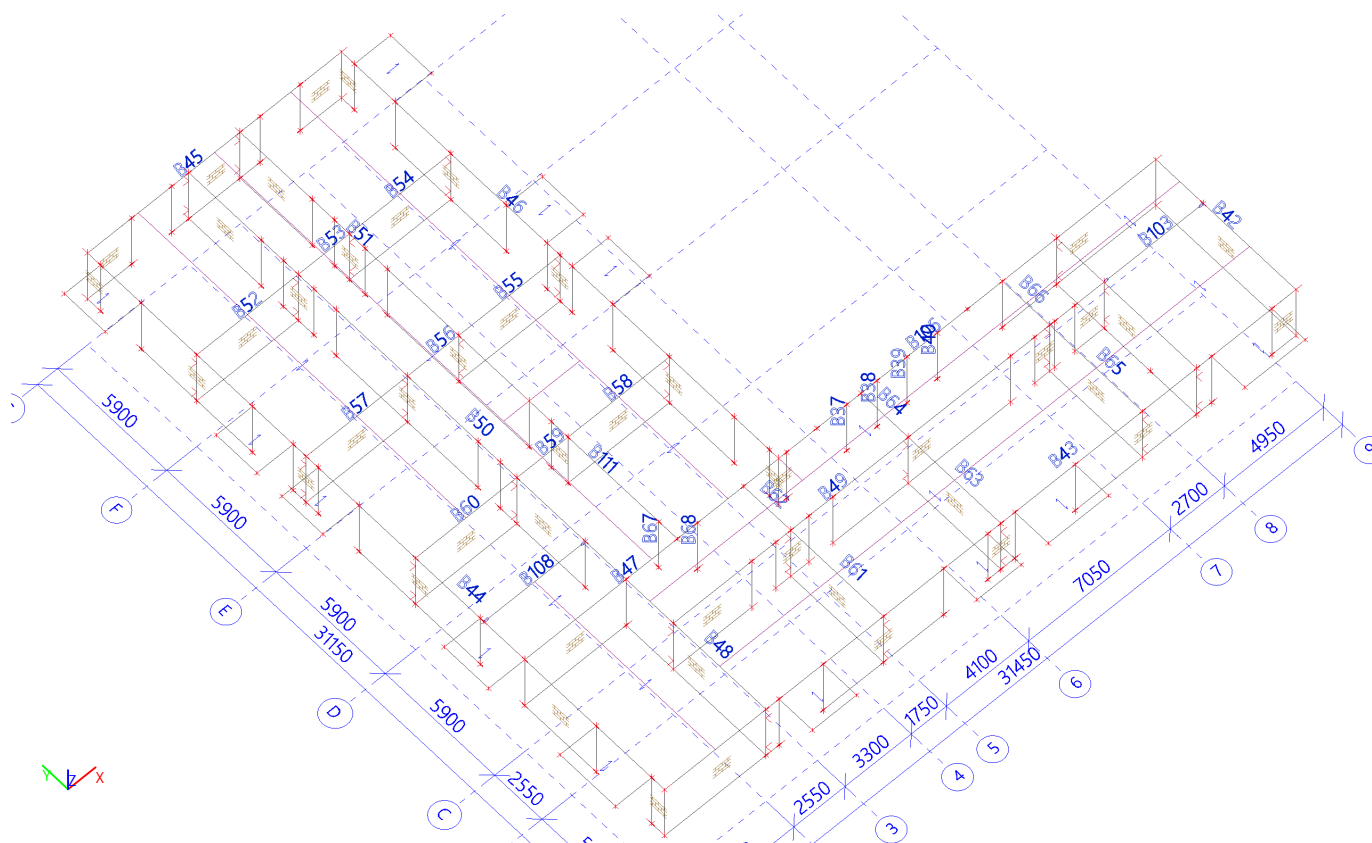
Jméno	Průřez	Materiál	Délka [m]	Poč. uzel	Konc. uzel	Typ
B2	sloup5 - MSH150x150x8.0	S 235	3,300	N225	N226	nosník (80)
B3	sloup5 - MSH150x150x8.0	S 235	3,300	N227	N228	nosník (80)
B4	sloup5 - MSH150x150x8.0	S 235	3,300	N229	N230	nosník (80)
B5	sloup5 - MSH150x150x8.0	S 235	3,300	N231	N232	nosník (80)
B7	venec - Obdélník (300; 240)	C30/37(EN1992-2)	7,550	N70	N71	nosník (80)
B8	pruvlak3 - Obdélník (500; 240)	C30/37(EN1992-2)	7,650	N71	N103	nosník (80)
B9	venec - Obdélník (300; 240)	C30/37(EN1992-2)	31,150	N88	N156	nosník (80)
B10	venec - Obdélník (300; 240)	C30/37(EN1992-2)	12,650	N156	N182	nosník (80)
B11	venec - Obdélník (300; 240)	C30/37(EN1992-2)	23,600	N182	N221	nosník (80)
B12	venec - Obdélník (300; 240)	C30/37(EN1992-2)	12,650	N97	N221	nosník (80)
B13	venec - Obdélník (300; 240)	C30/37(EN1992-2)	7,550	N98	N96	nosník (80)
B14	venec - Obdélník (300; 240)	C30/37(EN1992-2)	21,450	N128	N412	nosník (80)
B15	venec - Obdélník (300; 240)	C30/37(EN1992-2)	23,600	N96	N146	nosník (80)
B16	venec - Obdélník (300; 240)	C30/37(EN1992-2)	23,600	N193	N132	nosník (80)
B17	venec - Obdélník (300; 240)	C30/37(EN1992-2)	5,050	N149	N148	nosník (80)
B18	venec - Obdélník (300; 240)	C30/37(EN1992-2)	2,550	N148	N235	nosník (80)
B19	venec - Obdélník (300; 240)	C30/37(EN1992-2)	5,050	N235	N236	nosník (80)
B20	venec - Obdélník (300; 240)	C30/37(EN1992-2)	5,050	N237	N238	nosník (80)
B21	venec - Obdélník (300; 240)	C30/37(EN1992-2)	2,550	N150	N237	nosník (80)
B22	venec - Obdélník (300; 240)	C30/37(EN1992-2)	5,050	N151	N150	nosník (80)
B23	venec - Obdélník (300; 240)	C30/37(EN1992-2)	5,050	N201	N239	nosník (80)
B24	venec - Obdélník (300; 240)	C30/37(EN1992-2)	2,550	N152	N201	nosník (80)
B25	venec - Obdélník (300; 240)	C30/37(EN1992-2)	5,050	N153	N152	nosník (80)
B26	venec - Obdélník (300; 240)	C30/37(EN1992-2)	5,000	N99	N100	nosník (80)
B27	venec - Obdélník (300; 240)	C30/37(EN1992-2)	2,550	N100	N241	nosník (80)
B28	venec - Obdélník (300; 240)	C30/37(EN1992-2)	5,000	N101	N102	nosník (80)
B29	venec - Obdélník (300; 240)	C30/37(EN1992-2)	2,550	N102	N242	nosník (80)
B30	venec - Obdélník (300; 240)	C30/37(EN1992-2)	5,000	N103	N104	nosník (80)
B31	venec - Obdélník (300; 240)	C30/37(EN1992-2)	2,550	N104	N69	nosník (80)
B33	ram - MSH200x200x8.0	S 235	3,300	N275	N276	nosník (80)
B34	venec - Obdélník (300; 240)	C30/37(EN1992-2)	7,550	N276	N277	nosník (80)
B35	sloup5 - MSH150x150x8.0	S 235	3,300	N278	N279	nosník (80)
B37	sloup5 - MSH150x150x8.0	S 235	3,300	N226	N369	nosník (80)
B38	sloup5 - MSH150x150x8.0	S 235	3,300	N228	N370	nosník (80)
B39	sloup5 - MSH150x150x8.0	S 235	3,300	N230	N371	nosník (80)
B40	sloup5 - MSH150x150x8.0	S 235	3,300	N232	N372	nosník (80)
B42	venec - Obdélník (300; 240)	C30/37(EN1992-2)	7,550	N282	N283	nosník (80)
B43	venec - Obdélník (300; 240)	C30/37(EN1992-2)	31,450	N283	N292	nosník (80)
B44	venec - Obdélník (300; 240)	C30/37(EN1992-2)	31,150	N292	N335	nosník (80)
B45	venec - Obdélník (300; 240)	C30/37(EN1992-2)	12,650	N335	N346	nosník (80)
B46	venec - Obdélník (300; 240)	C30/37(EN1992-2)	23,600	N346	N366	nosník (80)
B47	pruvlak3 - Obdélník (500; 240)	C30/37(EN1992-2)	12,650	N297	N366	nosník (80)
B48	venec - Obdélník (300; 240)	C30/37(EN1992-2)	7,550	N298	N296	nosník (80)
B49	venec - Obdélník (300; 240)	C30/37(EN1992-2)	21,450	N316	N413	nosník (80)
B50	venec - Obdélník (300; 240)	C30/37(EN1992-2)	23,600	N296	N326	nosník (80)
B51	venec - Obdélník (300; 240)	C30/37(EN1992-2)	15,600	N352	N349	nosník (80)

Jméno	Průřez	Materiál	Délka [m]	Poč. uzel	Konc. uzel	Typ
B52	venec - Obdélník (300; 240)	C30/37(EN1992-2)	5,050	N329	N328	nosník (80)
B53	venec - Obdélník (300; 240)	C30/37(EN1992-2)	2,550	N328	N374	nosník (80)
B54	venec - Obdélník (300; 240)	C30/37(EN1992-2)	5,050	N374	N375	nosník (80)
B55	venec - Obdélník (300; 240)	C30/37(EN1992-2)	5,050	N376	N377	nosník (80)
B56	venec - Obdélník (300; 240)	C30/37(EN1992-2)	2,550	N330	N376	nosník (80)
B57	venec - Obdélník (300; 240)	C30/37(EN1992-2)	5,050	N331	N330	nosník (80)
B58	venec - Obdélník (300; 240)	C30/37(EN1992-2)	5,050	N356	N378	nosník (80)
B59	venec - Obdélník (300; 240)	C30/37(EN1992-2)	2,550	N332	N356	nosník (80)
B60	venec - Obdélník (300; 240)	C30/37(EN1992-2)	5,050	N333	N332	nosník (80)
B61	venec - Obdélník (300; 240)	C30/37(EN1992-2)	5,000	N299	N300	nosník (80)
B62	venec - Obdélník (300; 240)	C30/37(EN1992-2)	2,550	N300	N379	nosník (80)
B63	venec - Obdélník (300; 240)	C30/37(EN1992-2)	5,000	N301	N302	nosník (80)
B64	venec - Obdélník (300; 240)	C30/37(EN1992-2)	2,550	N302	N380	nosník (80)
B65	venec - Obdélník (300; 240)	C30/37(EN1992-2)	5,000	N303	N304	nosník (80)
B66	venec - Obdélník (300; 240)	C30/37(EN1992-2)	2,550	N304	N281	nosník (80)
B67	sloup - MSH180x180x8.0	S 235	3,300	N205	N416	nosník (80)
B68	sloup - MSH180x180x8.0	S 235	3,300	N414	N415	nosník (80)
B70	sloup5 - MSH150x150x8.0	S 235	3,300	N369	N496	nosník (80)
B71	sloup5 - MSH150x150x8.0	S 235	3,300	N370	N497	nosník (80)
B72	sloup5 - MSH150x150x8.0	S 235	3,300	N371	N498	nosník (80)
B73	sloup5 - MSH150x150x8.0	S 235	3,300	N372	N499	nosník (80)
B75	venec - Obdélník (300; 240)	C30/37(EN1992-2)	7,550	N418	N419	nosník (80)
B76	venec - Obdélník (300; 240)	C30/37(EN1992-2)	31,450	N419	N427	nosník (80)
B77	venec - Obdélník (300; 240)	C30/37(EN1992-2)	31,150	N427	N465	nosník (80)
B78	venec - Obdélník (300; 240)	C30/37(EN1992-2)	12,650	N465	N476	nosník (80)
B79	venec - Obdélník (300; 240)	C30/37(EN1992-2)	23,600	N476	N493	nosník (80)
B80	pruvlak3 - Obdélník (500; 240)	C30/37(EN1992-2)	12,650	N432	N493	nosník (80)
B81	venec - Obdélník (300; 240)	C30/37(EN1992-2)	7,550	N433	N431	nosník (80)
B82	venec - Obdélník (300; 240)	C30/37(EN1992-2)	21,450	N447	N536	nosník (80)
B83	venec - Obdélník (300; 240)	C30/37(EN1992-2)	23,600	N431	N456	nosník (80)
B84	venec - Obdélník (300; 240)	C30/37(EN1992-2)	15,600	N482	N479	nosník (80)
B85	venec - Obdélník (300; 240)	C30/37(EN1992-2)	5,050	N459	N458	nosník (80)
B86	venec - Obdélník (300; 240)	C30/37(EN1992-2)	2,550	N458	N501	nosník (80)
B87	venec - Obdélník (300; 240)	C30/37(EN1992-2)	5,050	N501	N502	nosník (80)
B88	venec - Obdélník (300; 240)	C30/37(EN1992-2)	5,050	N503	N504	nosník (80)
B89	venec - Obdélník (300; 240)	C30/37(EN1992-2)	2,550	N460	N503	nosník (80)
B90	venec - Obdélník (300; 240)	C30/37(EN1992-2)	5,050	N461	N460	nosník (80)
B91	venec - Obdélník (300; 240)	C30/37(EN1992-2)	5,050	N485	N505	nosník (80)
B92	venec - Obdélník (300; 240)	C30/37(EN1992-2)	2,550	N462	N485	nosník (80)
B93	venec - Obdélník (300; 240)	C30/37(EN1992-2)	5,050	N463	N462	nosník (80)
B94	venec - Obdélník (300; 240)	C30/37(EN1992-2)	5,000	N434	N435	nosník (80)
B95	venec - Obdélník (300; 240)	C30/37(EN1992-2)	2,550	N435	N506	nosník (80)
B96	venec - Obdélník (300; 240)	C30/37(EN1992-2)	5,000	N436	N437	nosník (80)
B97	venec - Obdélník (300; 240)	C30/37(EN1992-2)	2,550	N437	N507	nosník (80)
B98	venec - Obdélník (300; 240)	C30/37(EN1992-2)	5,000	N438	N439	nosník (80)
B99	venec - Obdélník (300; 240)	C30/37(EN1992-2)	2,550	N439	N417	nosník (80)
B100	sloup - MSH180x180x8.0	S 235	3,300	N416	N538	nosník (80)
B101	sloup - MSH180x180x8.0	S 235	3,300	N415	N537	nosník (80)
B102	pruvlak3 - Obdélník (500; 240)	C30/37(EN1992-2)	18,800	N493	N418	nosník (80)
B103	pruvlak5 - HEA300	S 235	4,950	N413	N284	nosník (80)
B104	venec - Obdélník (300; 240)	C30/37(EN1992-2)	4,950	N412	N72	nosník (80)
B105	pruvlak3 - Obdélník (500; 240)	C30/37(EN1992-2)	18,800	N221	N70	nosník (80)
B106	pruvlak3 - Obdélník (500; 240)	C30/37(EN1992-2)	18,800	N366	N282	nosník (80)
B107	pruvlak4 - HEA260	S 235	5,050	N280	N134	nosník (80)
B108	pruvlak4 - HEA260	S 235	5,050	N410	N320	nosník (80)
B110	sloup5 - MSH150x150x8.0	S 235	3,300	N549	N550	nosník (80)
B111	pruvlak3 - Obdélník (500; 240)	C30/37(EN1992-2)	8,000	N349	N319	nosník (80)
B112	pruvlak3 - Obdélník (500; 240)	C30/37(EN1992-2)	8,000	N479	N449	nosník (80)
B113	pruvlak5 - HEA300	S 235	4,950	N536	N420	nosník (80)
B114	pruvlak3 - Obdélník (500; 240)	C30/37(EN1992-2)	7,025	N103	N574	nosník (80)
B115	venec - Obdélník (300; 240)	C30/37(EN1992-2)	16,775	N574	N88	nosník (80)

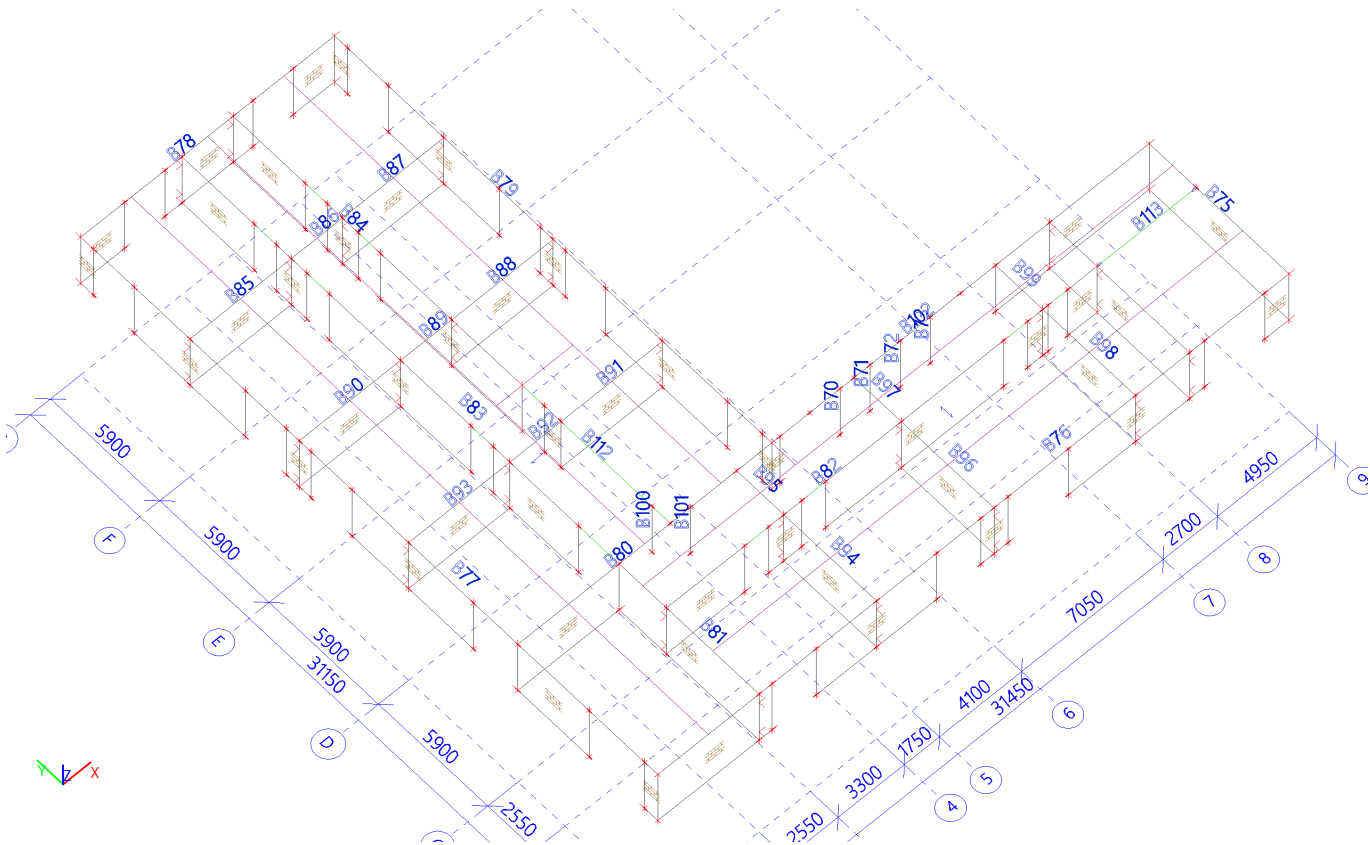
## 5. 1.NP



## 6. 2.NP



7. 3.NP



8. Plochy

Jméno	Vrstva	Typ	Typ prvku	Materiál	Typ tloušťky	Tl. [mm]
S1	zaklady	stěna (80)	Standard	C25/30(EN1992-2)	konstantní	300
S4	zaklady	stěna (80)	Standard	C25/30(EN1992-2)	konstantní	300
S5	zaklady	stěna (80)	Standard	C25/30(EN1992-2)	konstantní	300
S6	zaklady	stěna (80)	Standard	C25/30(EN1992-2)	konstantní	300
S7	zaklady	stěna (80)	Standard	C25/30(EN1992-2)	konstantní	300
S8	zaklady	stěna (80)	Standard	C25/30(EN1992-2)	konstantní	300
S9	zaklady	stěna (80)	Standard	C25/30(EN1992-2)	konstantní	300
S10	zaklady	stěna (80)	Standard	C25/30(EN1992-2)	konstantní	300
S11	zaklady	stěna (80)	Standard	C25/30(EN1992-2)	konstantní	300
S12	zaklady	stěna (80)	Standard	C25/30(EN1992-2)	konstantní	300
S13	zaklady	stěna (80)	Standard	C25/30(EN1992-2)	konstantní	300
S14	zaklady	stěna (80)	Standard	C25/30(EN1992-2)	konstantní	300
S15	zaklady	stěna (80)	Standard	C25/30(EN1992-2)	konstantní	300
S16	zaklady	stěna (80)	Standard	C25/30(EN1992-2)	konstantní	300
S17	zaklady	stěna (80)	Standard	C25/30(EN1992-2)	konstantní	300
S18	zaklady	stěna (80)	Standard	C25/30(EN1992-2)	konstantní	300
S19	zaklady	stěna (80)	Standard	C25/30(EN1992-2)	konstantní	300
S20	zaklady	stěna (80)	Standard	C25/30(EN1992-2)	konstantní	300
S21	zaklady	stěna (80)	Standard	C25/30(EN1992-2)	konstantní	300
S22	1.NP stěny	stěna (80)	Zdivo ortotropní	VPC		240
S23	1.NP stěny	stěna (80)	Zdivo ortotropní	VPC		240
S24	1.NP stěny	stěna (80)	Zdivo ortotropní	VPC		240
S25	1.NP stěny	stěna (80)	Zdivo ortotropní	VPC		240
S26	1.NP stěny	stěna (80)	Zdivo ortotropní	VPC		240
S27	1.NP stěny	stěna (80)	Zdivo ortotropní	VPC		240
S28	1.NP stěny	stěna (80)	Zdivo ortotropní	VPC		240
S29	1.NP stěny	stěna (80)	Zdivo ortotropní	VPC		240
S30	1.NP stěny	stěna (80)	Zdivo ortotropní	VPC		240
S31	1.NP stěny	stěna (80)	Zdivo ortotropní	VPC		240
S32	1.NP stěny	stěna (80)	Zdivo ortotropní	VPC		240
S33	1.NP stěny	stěna (80)	Zdivo ortotropní	VPC		240
S34	1.NP stěny	stěna (80)	Zdivo ortotropní	VPC		240

Jméno	Vrstva	Typ	Typ prvku	Material	Typ tloušťky	Tl. [mm]
S35	1.NP stěny	stěna (80)	Zdivo ortotropní	VPC		240
S36	1.NP stěny	stěna (80)	Zdivo ortotropní	VPC		240
S37	1.NP stěny	stěna (80)	Zdivo ortotropní	VPC		240
S38	1.NP stěny	stěna (80)	Zdivo ortotropní	VPC		240
S39	1.NP stěny	stěna (80)	Zdivo ortotropní	VPC		240
S40	1.NP stěny	stěna (80)	Zdivo ortotropní	VPC		240
S41	1.NP stěny	stěna (80)	Zdivo ortotropní	VPC		240
S42	1.NP stěny	stěna (80)	Zdivo ortotropní	VPC		240
S45	1.NP stěny	stěna (80)	Zdivo ortotropní	VPC		240
S46	1.NP stěny	stěna (80)	Zdivo ortotropní	VPC		240
S47	1.NP stěny	stěna (80)	Zdivo ortotropní	VPC		240
S48	1.NP stěny	stěna (80)	Zdivo ortotropní	VPC		240
S49	1.NP stěny	stěna (80)	Zdivo ortotropní	VPC		240
S50	1.NP stěny	stěna (80)	Zdivo ortotropní	VPC		240
S51	1.NP stěny	stěna (80)	Zdivo ortotropní	VPC		240
S52	1.NP stěny	stěna (80)	Zdivo ortotropní	VPC		240
S54	1.NP stěny	stěna (80)	Zdivo ortotropní	VPC		240
S55	1.NP stěny	stěna (80)	Zdivo ortotropní	VPC		240
S56	1.NP stěny	stěna (80)	Zdivo ortotropní	VPC		240
S57	1.NP stěny	stěna (80)	Zdivo ortotropní	VPC		240
S58	1.NP stěny	stěna (80)	Zdivo ortotropní	VPC		240
S59	1.NP stěny	stěna (80)	Zdivo ortotropní	VPC		240
S60	1.NP stěny	stěna (80)	Zdivo ortotropní	VPC		240
S61	1.NP stěny	stěna (80)	Zdivo ortotropní	VPC		240
S62	1.NP stěny	stěna (80)	Zdivo ortotropní	VPC		240
S63	1.NP stěny	stěna (80)	Zdivo ortotropní	VPC		240
S67	1.NP stěny	stěna (80)	Zdivo ortotropní	VPC		240
S68	1.NP stěny	stěna (80)	Zdivo ortotropní	VPC		240
S70	1.NP stěny	stěna (80)	Zdivo ortotropní	VPC		240
S71	1.NP stěny	stěna (80)	Zdivo ortotropní	VPC		240
S72	1.NP stěny	stěna (80)	Zdivo ortotropní	VPC		240
S73	1.NP stěny	stěna (80)	Zdivo ortotropní	VPC		240
S74	1.NP stěny	stěna (80)	Zdivo ortotropní	VPC		240
S75	1.NP stěny	stěna (80)	Zdivo ortotropní	VPC		240
S76	1.NP stěny	stěna (80)	Zdivo ortotropní	VPC		240
S77	1.NP stěny	stěna (80)	Zdivo ortotropní	VPC		240
S78	2.NP stěny	stěna (80)	Zdivo ortotropní	VPC		240
S80	2.NP stěny	stěna (80)	Zdivo ortotropní	VPC		240
S81	2.NP stěny	stěna (80)	Zdivo ortotropní	VPC		240
S82	2.NP stěny	stěna (80)	Zdivo ortotropní	VPC		240
S83	2.NP stěny	stěna (80)	Zdivo ortotropní	VPC		240
S84	2.NP stěny	stěna (80)	Zdivo ortotropní	VPC		240
S85	2.NP stěny	stěna (80)	Zdivo ortotropní	VPC		240
S86	2.NP stěny	stěna (80)	Zdivo ortotropní	VPC		240
S87	2.NP stěny	stěna (80)	Zdivo ortotropní	VPC		240
S88	2.NP stěny	stěna (80)	Zdivo ortotropní	VPC		240
S89	2.NP stěny	stěna (80)	Zdivo ortotropní	VPC		240
S90	2.NP stěny	stěna (80)	Zdivo ortotropní	VPC		240
S91	2.NP stěny	stěna (80)	Zdivo ortotropní	VPC		240
S95	2.NP stěny	stěna (80)	Zdivo ortotropní	VPC		240
S96	2.NP stěny	stěna (80)	Zdivo ortotropní	VPC		240
S97	2.NP stěny	stěna (80)	Zdivo ortotropní	VPC		240
S98	2.NP stěny	stěna (80)	Zdivo ortotropní	VPC		240
S100	2.NP stěny	stěna (80)	Zdivo ortotropní	VPC		240
S101	2.NP stěny	stěna (80)	Zdivo ortotropní	VPC		240
S102	2.NP stěny	stěna (80)	Zdivo ortotropní	VPC		240
S103	2.NP stěny	stěna (80)	Zdivo ortotropní	VPC		240
S104	2.NP stěny	stěna (80)	Zdivo ortotropní	VPC		240
S105	2.NP stěny	stěna (80)	Zdivo ortotropní	VPC		240
S106	2.NP stěny	stěna (80)	Zdivo ortotropní	VPC		240
S107	2.NP stěny	stěna (80)	Zdivo ortotropní	VPC		240
S108	2.NP stěny	stěna (80)	Zdivo ortotropní	VPC		240
S109	2.NP stěny	stěna (80)	Zdivo ortotropní	VPC		240
S110	2.NP stěny	stěna (80)	Zdivo ortotropní	VPC		240
S111	2.NP stěny	stěna (80)	Zdivo ortotropní	VPC		240
S114	2.NP stěny	stěna (80)	Zdivo ortotropní	VPC		240
S115	2.NP stěny	stěna (80)	Zdivo ortotropní	VPC		240
S116	2.NP stěny	stěna (80)	Zdivo ortotropní	VPC		240

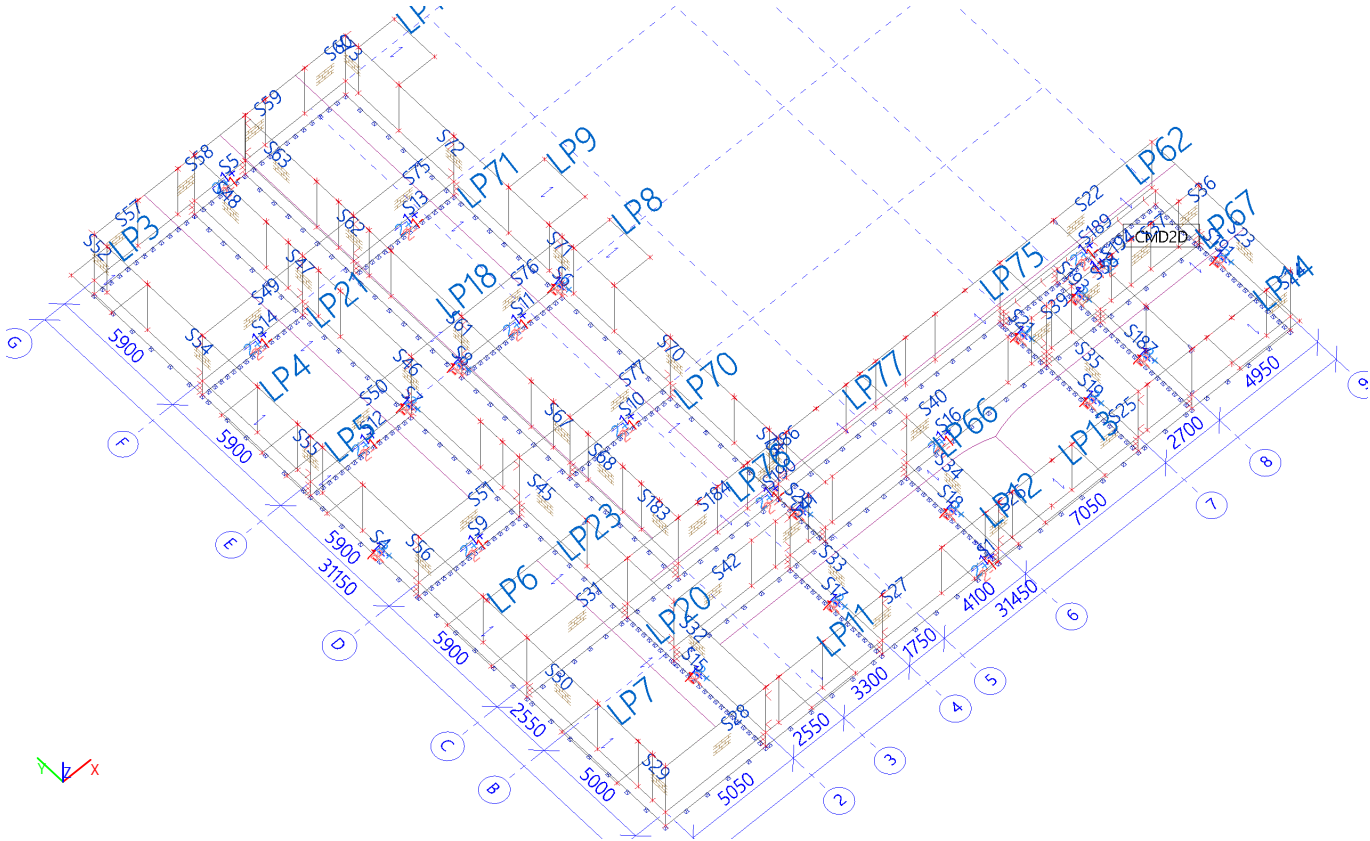


Jméno	Vrstva	Typ	Typ prvku	Material	Typ tloušťky	Tl. [mm]
S117	2.NP stěny	stěna (80)	Zdivo ortotropní	VPC		240
S118	2.NP stěny	stěna (80)	Zdivo ortotropní	VPC		240
S121	2.NP stěny	stěna (80)	Zdivo ortotropní	VPC		240
S122	2.NP stěny	stěna (80)	Zdivo ortotropní	VPC		240
S123	2.NP stěny	stěna (80)	Zdivo ortotropní	VPC		240
S124	2.NP stěny	stěna (80)	Zdivo ortotropní	VPC		240
S125	2.NP stěny	stěna (80)	Zdivo ortotropní	VPC		240
S126	2.NP stěny	stěna (80)	Zdivo ortotropní	VPC		240
S127	2.NP stěny	stěna (80)	Zdivo ortotropní	VPC		240
S128	2.NP stěny	stěna (80)	Zdivo ortotropní	VPC		240
S129	2.NP stěny	stěna (80)	Zdivo ortotropní	VPC		240
S130	2.NP stěny	stěna (80)	Zdivo ortotropní	VPC		240
S131	2.NP stěny	stěna (80)	Zdivo ortotropní	VPC		240
S132	3.NP stěny	stěna (80)	Zdivo ortotropní	VPC		240
S133	3.NP stěny	stěna (80)	Zdivo ortotropní	VPC		240
S134	3.NP stěny	stěna (80)	Zdivo ortotropní	VPC		240
S135	3.NP stěny	stěna (80)	Zdivo ortotropní	VPC		240
S136	3.NP stěny	stěna (80)	Zdivo ortotropní	VPC		240
S137	3.NP stěny	stěna (80)	Zdivo ortotropní	VPC		240
S138	3.NP stěny	stěna (80)	Zdivo ortotropní	VPC		240
S139	3.NP stěny	stěna (80)	Zdivo ortotropní	VPC		240
S140	3.NP stěny	stěna (80)	Zdivo ortotropní	VPC		240
S141	3.NP stěny	stěna (80)	Zdivo ortotropní	VPC		240
S142	3.NP stěny	stěna (80)	Zdivo ortotropní	VPC		240
S143	3.NP stěny	stěna (80)	Zdivo ortotropní	VPC		240
S144	3.NP stěny	stěna (80)	Zdivo ortotropní	VPC		240
S145	3.NP stěny	stěna (80)	Zdivo ortotropní	VPC		240
S146	3.NP stěny	stěna (80)	Zdivo ortotropní	VPC		240
S147	3.NP stěny	stěna (80)	Zdivo ortotropní	VPC		240
S148	3.NP stěny	stěna (80)	Zdivo ortotropní	VPC		240
S149	3.NP stěny	stěna (80)	Zdivo ortotropní	VPC		240
S150	3.NP stěny	stěna (80)	Zdivo ortotropní	VPC		240
S151	3.NP stěny	stěna (80)	Zdivo ortotropní	VPC		240
S152	3.NP stěny	stěna (80)	Zdivo ortotropní	VPC		240
S153	3.NP stěny	stěna (80)	Zdivo ortotropní	VPC		240
S154	3.NP stěny	stěna (80)	Zdivo ortotropní	VPC		240
S155	3.NP stěny	stěna (80)	Zdivo ortotropní	VPC		240
S156	3.NP stěny	stěna (80)	Zdivo ortotropní	VPC		240
S157	3.NP stěny	stěna (80)	Zdivo ortotropní	VPC		240
S158	3.NP stěny	stěna (80)	Zdivo ortotropní	VPC		240
S159	3.NP stěny	stěna (80)	Zdivo ortotropní	VPC		240
S160	3.NP stěny	stěna (80)	Zdivo ortotropní	VPC		240
S163	3.NP stěny	stěna (80)	Zdivo ortotropní	VPC		240
S164	3.NP stěny	stěna (80)	Zdivo ortotropní	VPC		240
S165	3.NP stěny	stěna (80)	Zdivo ortotropní	VPC		240
S166	3.NP stěny	stěna (80)	Zdivo ortotropní	VPC		240
S167	3.NP stěny	stěna (80)	Zdivo ortotropní	VPC		240
S168	3.NP stěny	stěna (80)	Zdivo ortotropní	VPC		240
S169	3.NP stěny	stěna (80)	Zdivo ortotropní	VPC		240
S170	3.NP stěny	stěna (80)	Zdivo ortotropní	VPC		240
S171	3.NP stěny	stěna (80)	Zdivo ortotropní	VPC		240
S172	3.NP stěny	stěna (80)	Zdivo ortotropní	VPC		240
S173	3.NP stěny	stěna (80)	Zdivo ortotropní	VPC		240
S174	3.NP stěny	stěna (80)	Zdivo ortotropní	VPC		240
S175	3.NP stěny	stěna (80)	Zdivo ortotropní	VPC		240
S176	3.NP stěny	stěna (80)	Zdivo ortotropní	VPC		240
S177	3.NP stěny	stěna (80)	Zdivo ortotropní	VPC		240
S178	3.NP stěny	stěna (80)	Zdivo ortotropní	VPC		240
S179	3.NP stěny	stěna (80)	Zdivo ortotropní	VPC		240
S180	2.NP stěny	stěna (80)	Zdivo ortotropní	VPC		240
S181	2.NP stěny	stěna (80)	Zdivo ortotropní	VPC		240
S182	3.NP stěny	stěna (80)	Zdivo ortotropní	VPC		240
S183	1.NP stěny	stěna (80)	Zdivo ortotropní	VPC		240
S184	1.NP stěny	stěna (80)	Zdivo ortotropní	VPC		240
S186	1.NP stěny	stěna (80)	Zdivo ortotropní	VPC		240
S187	zaklady	stěna (80)	Standard	C25/30(EN1992-2)	konstantní	300
S189	zaklady	stěna (80)	Standard	C25/30(EN1992-2)	konstantní	300
S190	zaklady	stěna (80)	Standard	C25/30(EN1992-2)	konstantní	300



Jméno	Vrstva	Typ	Typ prvku	Materiál	Typ tloušťky	Tl. [mm]
S191	zaklady	stěna (80)	Standard	C25/30(EN1992-2)	konstantní	300
S193	zaklady	stěna (80)	Standard	C25/30(EN1992-2)	konstantní	300
S194	zaklady	deska (90)	Standard	C25/30(EN1992-2)	konstantní	350

9. 1.NP





## 12. Zatěžovací stavy

Jméno	Popis	Typ působení	Skupina zatížení	Směr	Působení	Řídicí zat. stav
	Spec	Typ zatížení				
ZS1	Vlastní tíha	Stálé Vlastní tíha	SZ1	-Z		
ZS2	podlaha	Stálé Standard	SZ1			
ZS3	provoz Standard	Proměnné Statické	SZ2		Krátkodobé	Žádný
ZS4	schomazdeni Standard	Proměnné Statické	SZ5		Krátkodobé	Žádný
ZS5	vitř x+ Standard	Proměnné Statické	SZ4		Krátkodobé	Žádný
ZS6	vitř Y+ Standard	Proměnné Statické	SZ4		Krátkodobé	Žádný
ZS7	snih Standard	Proměnné Statické	SZ3		Krátkodobé	Žádný
ZS8	pricky	Stálé Standard	SZ1			

## 13. Skupiny zatížení

Jméno	Zatížení	Vztah	Typ
SZ1	Stálé		
SZ2	Proměnné	Standard	Kat A : obytné
SZ3	Proměnné	Vyběrová	Snih
SZ4	Proměnné	Vyběrová	Vitř
SZ5	Proměnné	Standard	Kat C : shromáždění

## 14. Kombinace

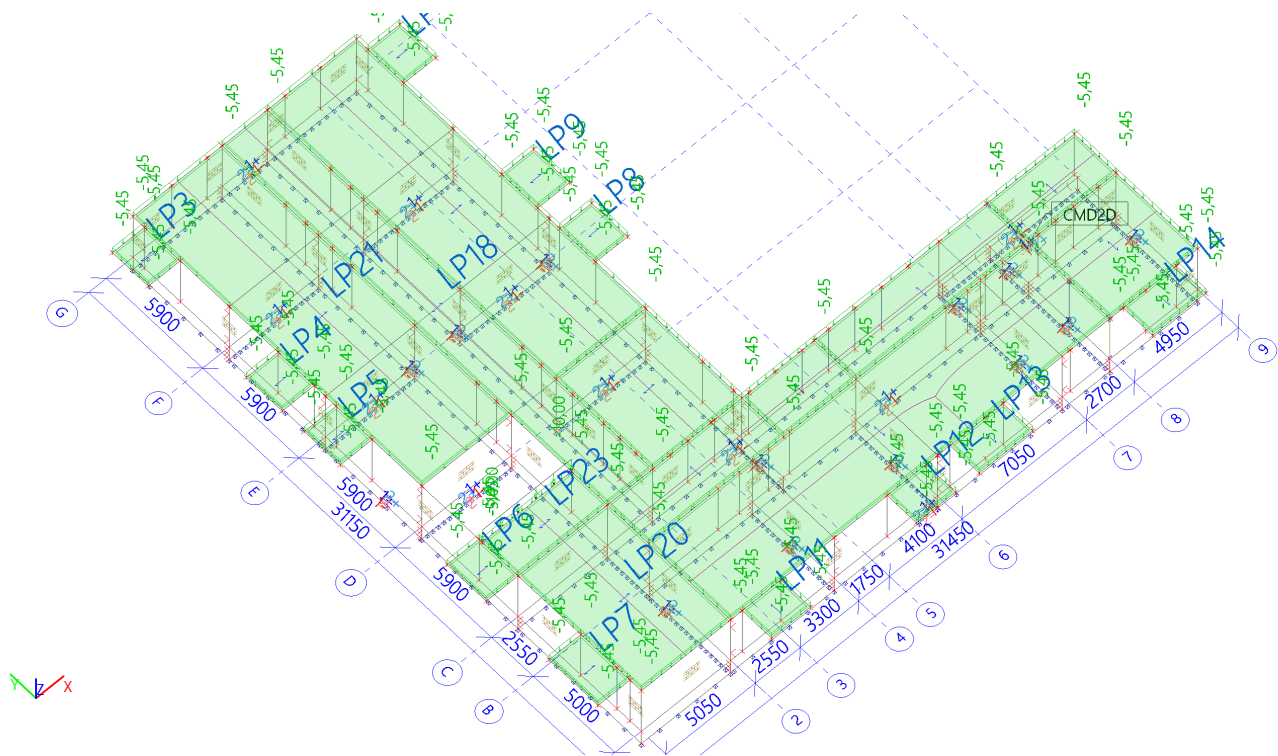
Jméno	Popis	Typ	Zatěžovací stavy	Souč. [-]
MSÚ-B		EN-MSÚ (STR/GEO) Soubor B	ZS1 - Vlastní tíha	1,00
			ZS2 - podlaha	1,00
			ZS5 - vitř x+	1,00
			ZS6 - vitř Y+	1,00
			ZS7 - snih	1,00
			ZS8 - pricky	1,00
			ZS3 - provoz	1,00
			ZS4 - schomazdeni	1,00
MSP-Kvazi		EN-MSP kvazistálá	ZS1 - Vlastní tíha	1,00
			ZS2 - podlaha	1,00
			ZS5 - vitř x+	1,00
			ZS6 - vitř Y+	1,00
			ZS7 - snih	1,00
			ZS8 - pricky	1,00
			ZS3 - provoz	1,00
			ZS4 - schomazdeni	1,00
MSP-Char		EN-MSP charakteristická	ZS1 - Vlastní tíha	1,00
			ZS2 - podlaha	1,00
			ZS5 - vitř x+	1,00
			ZS6 - vitř Y+	1,00
			ZS7 - snih	1,00
			ZS8 - pricky	1,00
			ZS3 - provoz	1,00
			ZS4 - schomazdeni	1,00

## 15. 1.NP

### 15.1. Zatěžovací stavy

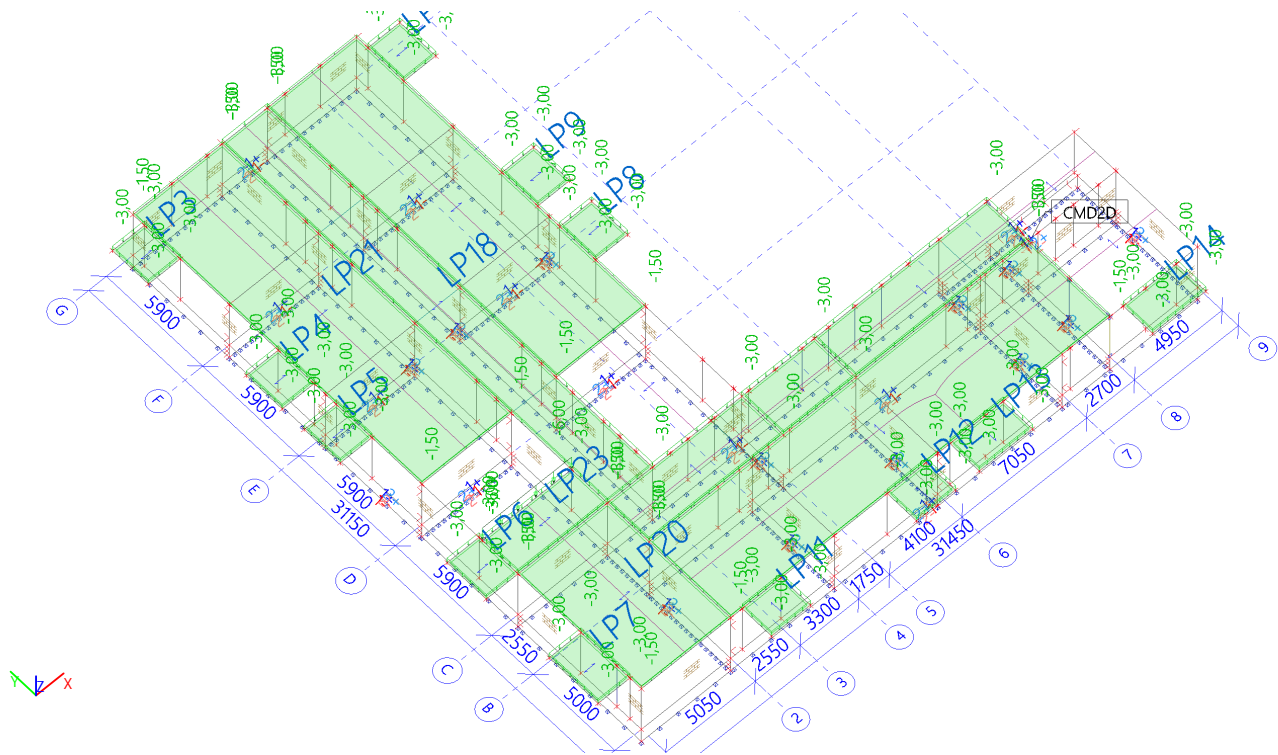
#### 15.1.1. Zatěžovací stavy - ZS2

Jméno	Popis	Typ působení	Skupina zatížení	Typ zatížení
ZS2	podlaha	Stálé	SZ1	Standard



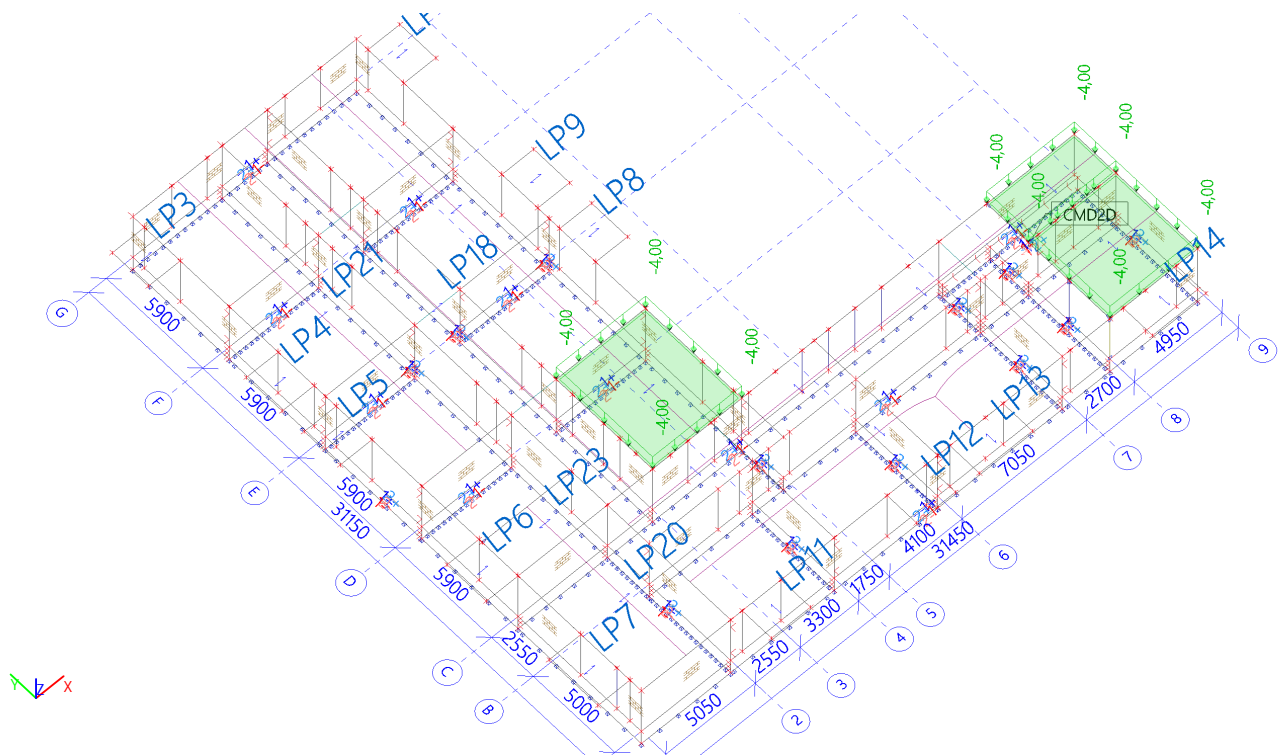
15.1.2. Zatěžovací stavy - ZS3

Jméno	Popis	Typ působení	Skupina zatížení	Typ zatížení	Spec	Působení	Řídicí zat. stav
ZS3	provoz	Proměnné	SZ2	Statické	Standard	Krátkodobé	Žádný



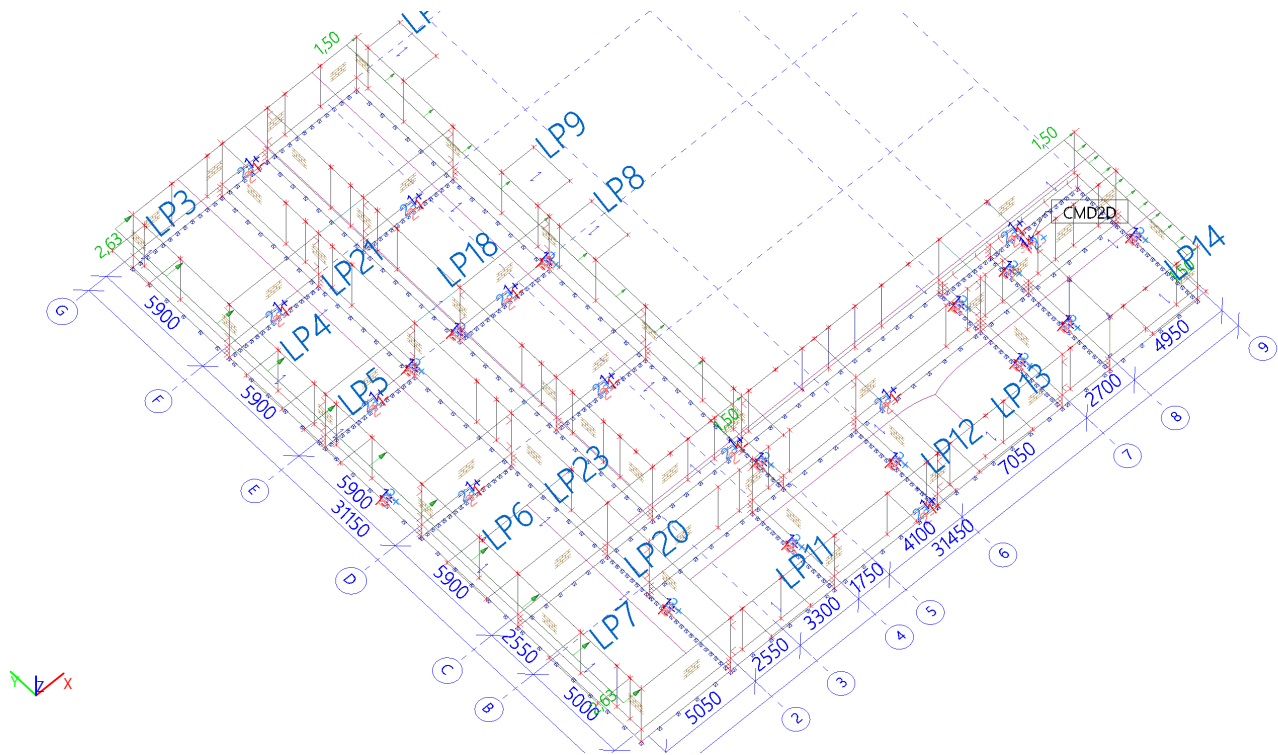
15.1.3. Zatěžovací stavy - ZS4

Jméno	Popis	Typ působení	Skupina zatížení	Typ zatížení	Spec	Působení	Řídicí zat. stav
ZS4	schomazdeni	Proměnné	SZ5	Statické	Standard	Krátkodobé	Žádný



15.1.4. Zatěžovací stavy - ZS5

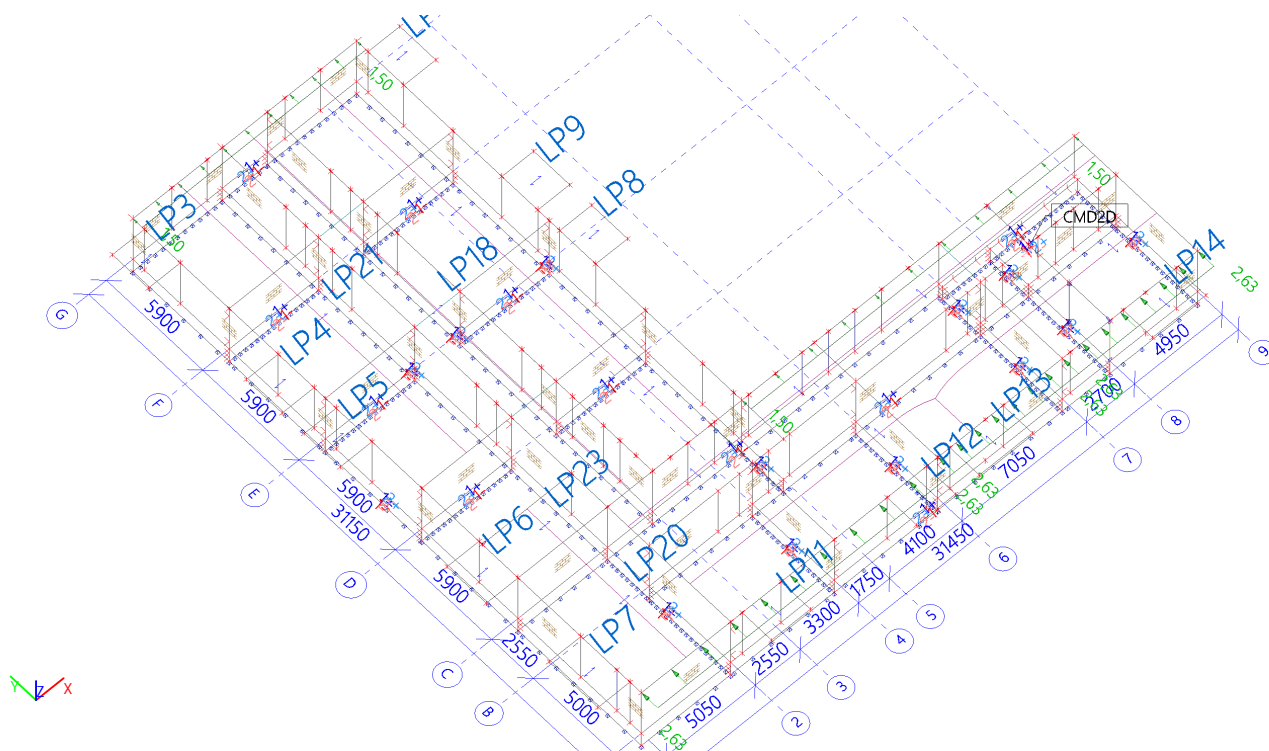
Jméno	Popis	Typ působení	Skupina zatížení	Typ zatížení	Spec	Působení	Řídicí zat. stav
ZS5	vitr x+	Proměnné	SZ4	Statické	Standard	Krátkodobé	Žádný



15.1.5. Zatěžovací stavy - ZS6

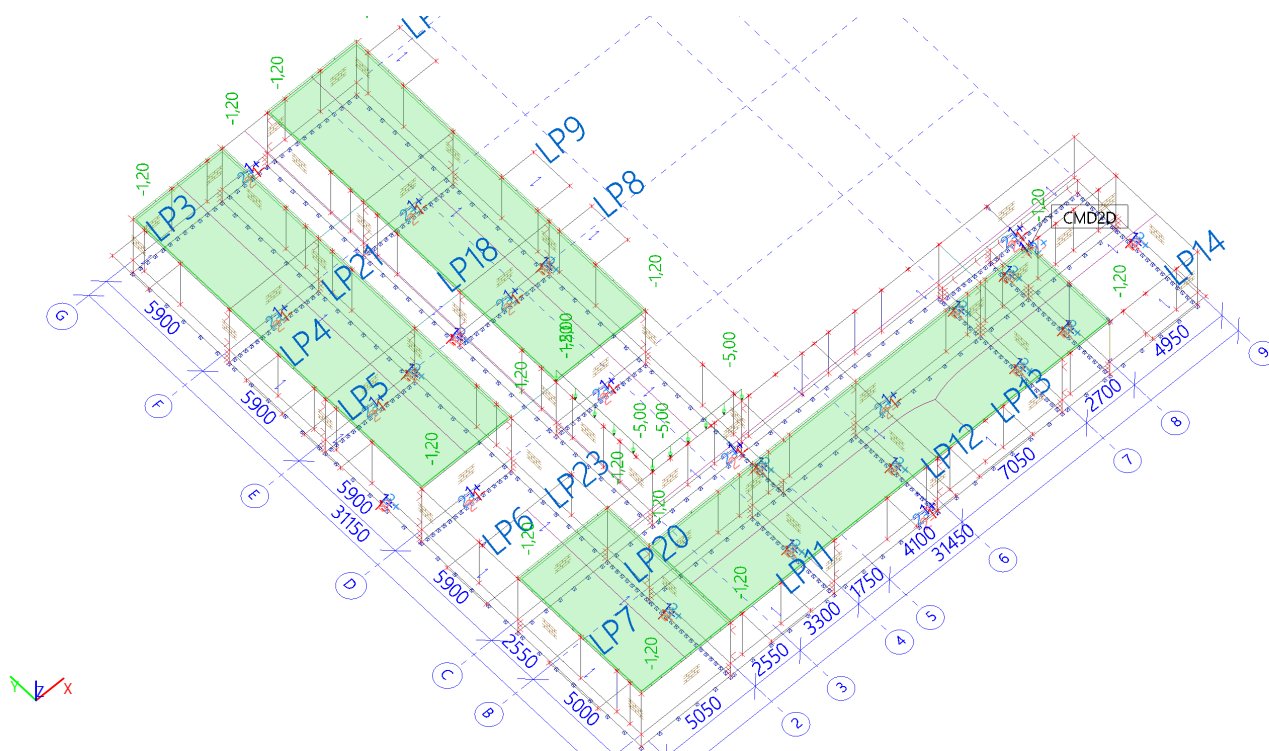
Jméno	Popis	Typ působení	Skupina zatížení	Typ zatížení	Spec	Působení	Řídicí zat. stav
ZS6	vitr Y+	Proměnné	SZ4	Statické	Standard	Krátkodobé	Žádný





#### 15.1.6. Zatěžovací stavy - ZS8

Jméno	Popis	Typ působení	Skupina zatížení	Typ zatížení
ZS8	prcky	Stálé	SZ1	Standard



#### 15.2. reakce v základové spáře

##### 15.2.1. Reakce

Lineární výpočet  
 Kombinace: MSÚ-B  
 Systém: Globální

Extrém: Dílec  
 Výběr: Vše  
 Lineární intenzita

Jméno	dx [m]	Stav	R <sub>x</sub> [kN/m]	R <sub>y</sub> [kN/m]	R <sub>z</sub> [kN/m]	M <sub>x</sub> [kNm/m]	M <sub>y</sub> [kNm/m]	M <sub>z</sub> [kNm/m]
Sle1/S1	0,396	MSÚ-B/1	-68,30	9,47	194,38	0,00	0,00	0,00
Sle1/S1	5,365	MSÚ-B/2	66,10	-6,29	220,36	0,00	0,00	0,00
Sle1/S1	0,396	MSÚ-B/3	-55,57	-12,09	211,89	0,00	0,00	0,00
Sle1/S1	31,450	MSÚ-B/4	-0,31	59,30	136,84	0,00	0,00	0,00
Sle1/S1	2,772	MSÚ-B/5	-3,35	-0,14	2,07	0,00	0,00	0,00
Sle1/S1	4,950	MSÚ-B/6	-2,97	21,12	317,92	0,00	0,00	0,00
Sle2/S191	7,350	MSÚ-B/2	-65,08	19,11	205,93	0,00	0,00	0,00
Sle2/S191	7,150	MSÚ-B/7	27,61	-4,59	135,46	0,00	0,00	0,00
Sle2/S191	1,762	MSÚ-B/8	-0,84	-54,56	49,83	0,00	0,00	0,00
Sle2/S191	7,350	MSÚ-B/8	-5,27	49,62	85,45	0,00	0,00	0,00
Sle2/S191	1,175	MSÚ-B/9	0,18	-39,94	14,80	0,00	0,00	0,00
Sle2/S191	7,350	MSÚ-B/6	-48,69	38,18	244,15	0,00	0,00	0,00
Sle3/S189	0,208	MSÚ-B/10	41,16	10,09	162,47	0,00	0,00	0,00
Sle3/S189	7,650	MSÚ-B/8	-57,02	-29,28	236,65	0,00	0,00	0,00
Sle3/S189	0,831	MSÚ-B/4	8,24	24,45	209,69	0,00	0,00	0,00
Sle3/S189	0,000	MSÚ-B/11	21,46	1,24	72,99	0,00	0,00	0,00
Sle4/S4	0,393	MSÚ-B/4	-9,42	-6,57	169,85	0,00	0,00	0,00
Sle4/S4	0,000	MSÚ-B/12	57,93	-5,57	145,39	0,00	0,00	0,00
Sle4/S4	2,753	MSÚ-B/1	-0,06	-51,94	149,14	0,00	0,00	0,00
Sle4/S4	31,150	MSÚ-B/4	-0,31	59,30	136,84	0,00	0,00	0,00
Sle4/S4	1,770	MSÚ-B/13	-1,28	-13,49	5,98	0,00	0,00	0,00
Sle4/S4	0,000	MSÚ-B/1	52,04	-32,91	274,82	0,00	0,00	0,00
Sle5/S5	12,650	MSÚ-B/12	57,93	-5,57	145,39	0,00	0,00	0,00
Sle5/S5	0,000	MSÚ-B/14	-9,62	-70,85	283,82	0,00	0,00	0,00
Sle5/S5	0,202	MSÚ-B/4	2,06	28,94	206,26	0,00	0,00	0,00
Sle5/S5	9,216	MSÚ-B/7	-6,65	2,01	5,34	0,00	0,00	0,00
Sle5/S5	0,000	MSÚ-B/6	-23,89	-64,56	290,16	0,00	0,00	0,00
Sle5/S5	0,000	MSÚ-B/4	-64,98	-10,09	264,14	0,00	0,00	0,00
Sle6/S6	23,600	MSÚ-B/4	-64,98	-10,09	264,14	0,00	0,00	0,00
Sle6/S6	17,897	MSÚ-B/14	51,27	-11,84	192,26	0,00	0,00	0,00
Sle6/S6	23,600	MSÚ-B/14	-9,62	-70,85	283,82	0,00	0,00	0,00
Sle6/S6	11,013	MSÚ-B/15	8,50	49,53	147,80	0,00	0,00	0,00
Sle6/S6	22,027	MSÚ-B/13	2,29	-12,95	3,57	0,00	0,00	0,00
Sle6/S6	23,600	MSÚ-B/6	-23,89	-64,56	290,16	0,00	0,00	0,00
Sle7/S7	17,700	MSÚ-B/1	-25,86	10,24	215,77	0,00	0,00	0,00
Sle7/S7	11,603	MSÚ-B/12	50,80	10,64	198,55	0,00	0,00	0,00
Sle7/S7	18,487	MSÚ-B/4	-5,86	-37,55	141,25	0,00	0,00	0,00
Sle7/S7	1,967	MSÚ-B/2	0,06	48,88	143,17	0,00	0,00	0,00
Sle7/S7	0,983	MSÚ-B/16	-0,10	-3,68	17,59	0,00	0,00	0,00
Sle7/S7	2,753	MSÚ-B/1	0,07	-9,76	263,58	0,00	0,00	0,00
Sle8/S8	17,307	MSÚ-B/4	-10,29	12,03	145,31	0,00	0,00	0,00
Sle8/S8	11,997	MSÚ-B/3	50,12	7,84	92,17	0,00	0,00	0,00
Sle8/S8	6,883	MSÚ-B/1	3,05	-47,90	165,31	0,00	0,00	0,00
Sle8/S8	0,197	MSÚ-B/2	4,50	52,09	160,58	0,00	0,00	0,00
Sle8/S8	2,753	MSÚ-B/16	-0,06	0,33	33,16	0,00	0,00	0,00
Sle8/S8	0,983	MSÚ-B/1	2,41	-0,30	290,08	0,00	0,00	0,00
Sle9/S9	1,010	MSÚ-B/17	-50,91	1,79	6,34	0,00	0,00	0,00
Sle9/S9	5,050	MSÚ-B/12	30,11	4,13	24,57	0,00	0,00	0,00
Sle9/S9	2,424	MSÚ-B/13	-0,61	-0,90	53,40	0,00	0,00	0,00
Sle9/S9	0,202	MSÚ-B/4	-7,19	27,79	134,59	0,00	0,00	0,00
Sle9/S9	1,010	MSÚ-B/11	-50,50	1,80	-4,00	0,00	0,00	0,00
Sle9/S9	0,000	MSÚ-B/6	-12,59	3,48	221,27	0,00	0,00	0,00
Sle10/S10	1,010	MSÚ-B/17	-52,46	-0,04	-7,81	0,00	0,00	0,00
Sle10/S10	5,050	MSÚ-B/12	46,27	20,03	165,64	0,00	0,00	0,00
Sle10/S10	0,000	MSÚ-B/18	-3,38	-1,75	159,74	0,00	0,00	0,00
Sle10/S10	5,050	MSÚ-B/4	31,92	40,01	211,29	0,00	0,00	0,00
Sle10/S10	1,010	MSÚ-B/7	-51,93	-0,06	-16,96	0,00	0,00	0,00
Sle10/S10	5,050	MSÚ-B/1	37,37	35,89	240,57	0,00	0,00	0,00
Sle11/S11	4,040	MSÚ-B/5	-53,25	0,26	153,27	0,00	0,00	0,00
Sle11/S11	5,050	MSÚ-B/12	37,19	-0,19	93,07	0,00	0,00	0,00
Sle11/S11	2,424	MSÚ-B/4	-0,65	-1,13	57,62	0,00	0,00	0,00
Sle11/S11	0,202	MSÚ-B/4	-8,04	32,40	180,47	0,00	0,00	0,00
Sle11/S11	1,212	MSÚ-B/11	-37,26	-0,11	10,30	0,00	0,00	0,00
Sle11/S11	0,000	MSÚ-B/6	-22,80	2,42	289,16	0,00	0,00	0,00
Sle12/S12	0,808	MSÚ-B/19	-58,01	0,38	0,38	0,00	0,00	0,00

Jméno	dx [m]	Stav	R <sub>x</sub> [kN/m]	R <sub>y</sub> [kN/m]	R <sub>z</sub> [kN/m]	M <sub>x</sub> [kNm/m]	M <sub>y</sub> [kNm/m]	M <sub>z</sub> [kNm/m]
Sle12/S12	5,050	MSÚ-B/12	35,18	3,43	149,90	0,00	0,00	0,00
Sle12/S12	2,424	MSÚ-B/13	1,06	-0,98	51,51	0,00	0,00	0,00
Sle12/S12	0,202	MSÚ-B/4	-8,18	27,82	125,47	0,00	0,00	0,00
Sle12/S12	1,010	MSÚ-B/11	-56,77	0,21	-11,40	0,00	0,00	0,00
Sle12/S12	5,050	MSÚ-B/20	28,68	13,07	250,06	0,00	0,00	0,00
Sle13/S13	1,010	MSÚ-B/17	-58,79	-0,17	-16,87	0,00	0,00	0,00
Sle13/S13	5,050	MSÚ-B/14	36,78	-0,79	135,45	0,00	0,00	0,00
Sle13/S13	2,626	MSÚ-B/4	1,80	-1,13	60,24	0,00	0,00	0,00
Sle13/S13	0,202	MSÚ-B/4	-8,47	33,17	100,07	0,00	0,00	0,00
Sle13/S13	1,010	MSÚ-B/7	-58,23	-0,20	-26,17	0,00	0,00	0,00
Sle13/S13	5,050	MSÚ-B/1	25,38	12,38	217,33	0,00	0,00	0,00
Sle14/S14	4,040	MSÚ-B/21	-52,46	0,93	155,19	0,00	0,00	0,00
Sle14/S14	5,050	MSÚ-B/14	33,24	0,89	32,15	0,00	0,00	0,00
Sle14/S14	2,424	MSÚ-B/13	0,28	-0,87	53,31	0,00	0,00	0,00
Sle14/S14	0,202	MSÚ-B/4	-7,73	27,04	157,02	0,00	0,00	0,00
Sle14/S14	1,010	MSÚ-B/7	-48,48	0,35	3,15	0,00	0,00	0,00
Sle14/S14	0,000	MSÚ-B/15	-16,67	0,16	247,59	0,00	0,00	0,00
Sle15/S15	7,550	MSÚ-B/1	-17,21	-14,26	128,90	0,00	0,00	0,00
Sle15/S15	4,800	MSÚ-B/14	33,41	-2,18	93,93	0,00	0,00	0,00
Sle15/S15	7,354	MSÚ-B/1	-0,53	-26,86	147,74	0,00	0,00	0,00
Sle15/S15	0,000	MSÚ-B/4	15,70	35,27	135,68	0,00	0,00	0,00
Sle15/S15	4,800	MSÚ-B/11	32,78	-3,01	65,69	0,00	0,00	0,00
Sle15/S15	0,000	MSÚ-B/15	17,91	28,73	214,89	0,00	0,00	0,00
Sle16/S16	19,578	MSÚ-B/14	-39,56	-3,31	127,36	0,00	0,00	0,00
Sle16/S16	6,300	MSÚ-B/2	36,54	-1,91	192,12	0,00	0,00	0,00
Sle16/S16	0,000	MSÚ-B/12	-10,75	-30,08	174,87	0,00	0,00	0,00
Sle16/S16	14,499	MSÚ-B/4	-10,35	68,52	222,50	0,00	0,00	0,00
Sle16/S16	18,800	MSÚ-B/22	0,19	6,80	16,08	0,00	0,00	0,00
Sle16/S16	5,529	MSÚ-B/6	-7,85	-3,63	265,44	0,00	0,00	0,00
Sle17/S17	5,000	MSÚ-B/13	-2,76	-9,49	178,84	0,00	0,00	0,00
Sle17/S17	4,800	MSÚ-B/14	29,81	-6,39	155,37	0,00	0,00	0,00
Sle17/S17	1,000	MSÚ-B/23	1,54	-38,45	136,05	0,00	0,00	0,00
Sle17/S17	0,000	MSÚ-B/4	0,11	29,98	53,39	0,00	0,00	0,00
Sle17/S17	3,800	MSÚ-B/13	1,40	-29,34	22,65	0,00	0,00	0,00
Sle17/S17	5,000	MSÚ-B/20	-0,33	-20,60	236,23	0,00	0,00	0,00
Sle18/S18	4,600	MSÚ-B/24	-4,37	-55,58	32,10	0,00	0,00	0,00
Sle18/S18	4,800	MSÚ-B/25	30,05	-8,06	117,53	0,00	0,00	0,00
Sle18/S18	4,200	MSÚ-B/26	-2,98	-74,70	-24,54	0,00	0,00	0,00
Sle18/S18	0,000	MSÚ-B/4	-0,86	40,60	149,84	0,00	0,00	0,00
Sle18/S18	4,000	MSÚ-B/13	-2,23	-73,89	-36,13	0,00	0,00	0,00
Sle18/S18	0,000	MSÚ-B/15	11,58	30,81	272,42	0,00	0,00	0,00
Sle19/S19	0,400	MSÚ-B/4	-13,58	-7,85	182,07	0,00	0,00	0,00
Sle19/S19	0,200	MSÚ-B/7	25,15	10,26	120,84	0,00	0,00	0,00
Sle19/S19	1,200	MSÚ-B/27	-5,54	-51,02	180,24	0,00	0,00	0,00
Sle19/S19	0,000	MSÚ-B/10	24,24	42,28	68,93	0,00	0,00	0,00
Sle19/S19	4,000	MSÚ-B/13	4,46	-24,74	5,40	0,00	0,00	0,00
Sle19/S19	0,800	MSÚ-B/10	-9,80	-41,74	219,48	0,00	0,00	0,00
Sle20/S20	2,354	MSÚ-B/4	-2,07	12,40	93,87	0,00	0,00	0,00
Sle20/S20	0,000	MSÚ-B/2	14,81	3,07	66,36	0,00	0,00	0,00
Sle20/S20	0,588	MSÚ-B/10	5,72	-29,53	24,10	0,00	0,00	0,00
Sle20/S20	2,158	MSÚ-B/6	3,96	31,14	85,15	0,00	0,00	0,00
Sle20/S20	1,569	MSÚ-B/22	0,97	-19,97	7,36	0,00	0,00	0,00
Sle20/S20	2,550	MSÚ-B/1	-1,89	14,87	148,83	0,00	0,00	0,00
Sle21/S21	0,200	MSÚ-B/10	37,20	-9,47	151,23	0,00	0,00	0,00
Sle21/S21	1,767	MSÚ-B/10	-3,32	-62,37	42,65	0,00	0,00	0,00
Sle21/S21	0,396	MSÚ-B/2	9,17	17,81	71,66	0,00	0,00	0,00
Sle21/S21	0,983	MSÚ-B/13	1,72	-39,00	6,86	0,00	0,00	0,00
Sle21/S21	0,000	MSÚ-B/10	-23,60	-2,27	152,38	0,00	0,00	0,00
Sle22/S187	5,000	MSÚ-B/1	-16,94	-7,05	153,84	0,00	0,00	0,00
Sle22/S187	0,400	MSÚ-B/22	2,33	-26,88	123,83	0,00	0,00	0,00
Sle22/S187	0,400	MSÚ-B/1	1,39	-40,92	191,09	0,00	0,00	0,00
Sle22/S187	2,000	MSÚ-B/6	0,05	35,46	61,05	0,00	0,00	0,00
Sle22/S187	4,000	MSÚ-B/22	-0,23	-12,85	1,68	0,00	0,00	0,00
Sle22/S187	0,000	MSÚ-B/6	-2,97	21,12	317,92	0,00	0,00	0,00
Sle23/S193	2,350	MSÚ-B/1	-16,94	-7,05	153,84	0,00	0,00	0,00
Sle23/S193	0,196	MSÚ-B/11	0,21	15,34	66,25	0,00	0,00	0,00
Sle23/S193	1,567	MSÚ-B/4	-1,74	-66,99	61,15	0,00	0,00	0,00
Sle23/S193	0,196	MSÚ-B/6	-0,37	20,93	91,20	0,00	0,00	0,00



Jméno	dx [m]	Stav	R <sub>x</sub> [kN/m]	R <sub>y</sub> [kN/m]	R <sub>z</sub> [kN/m]	M <sub>x</sub> [kNm/m]	M <sub>y</sub> [kNm/m]	M <sub>z</sub> [kNm/m]
Sle23/S193	0,979	MSÚ-B/22	-0,71	-49,79	15,97	0,00	0,00	0,00
Sle23/S193	2,350	MSÚ-B/6	-15,75	-1,92	166,69	0,00	0,00	0,00
Sle24/S190	5,442	MSÚ-B/12	-40,90	1,73	72,62	0,00	0,00	0,00
Sle24/S190	0,000	MSÚ-B/12	41,39	-0,96	111,44	0,00	0,00	0,00
Sle24/S190	0,000	MSÚ-B/28	32,42	-20,21	193,38	0,00	0,00	0,00
Sle24/S190	7,600	MSÚ-B/1	8,96	38,40	119,73	0,00	0,00	0,00
Sle24/S190	22,207	MSÚ-B/23	-3,83	0,81	4,57	0,00	0,00	0,00
Sle24/S190	0,000	MSÚ-B/20	33,44	-12,05	196,86	0,00	0,00	0,00

Reakce na liniových podporách

Jméno	dx [m]	Stav	R <sub>x</sub> [kN]	R <sub>y</sub> [kN]	R <sub>z</sub> [kN]	M <sub>x</sub> [kNm]	M <sub>y</sub> [kNm]	M <sub>z</sub> [kNm]	e [mm]
Sle1/S1	0,396	MSÚ-B/1	-13,52	1,88	38,49	0,00	0,00	0,00	0,0
Sle1/S1	5,365	MSÚ-B/2	13,73	-1,31	45,77	0,00	0,00	0,00	0,0
Sle1/S1	0,396	MSÚ-B/3	-11,00	-2,39	41,95	0,00	0,00	0,00	0,0
Sle1/S1	7,650	MSÚ-B/10	7,31	12,76	20,80	0,00	0,00	0,00	0,0
Sle1/S1	2,772	MSÚ-B/5	-0,66	-0,03	0,41	0,00	0,00	0,00	0,0
Sle1/S1	4,950	MSÚ-B/6	-0,90	6,40	96,28	0,00	0,00	0,00	0,0
Sle2/S191	7,350	MSÚ-B/2	-12,95	3,80	40,98	0,00	0,00	0,00	0,0
Sle2/S191	7,150	MSÚ-B/7	5,52	-0,92	27,09	0,00	0,00	0,00	0,0
Sle2/S191	1,762	MSÚ-B/8	-0,16	-10,68	9,76	0,00	0,00	0,00	0,0
Sle2/S191	7,350	MSÚ-B/8	-1,05	9,87	17,00	0,00	0,00	0,00	0,0
Sle2/S191	1,175	MSÚ-B/9	0,04	-7,82	2,90	0,00	0,00	0,00	0,0
Sle2/S191	2,350	MSÚ-B/29	-5,10	-8,89	54,97	0,00	0,00	0,00	0,0
Sle3/S189	0,000	MSÚ-B/10	11,22	-2,86	45,64	0,00	0,00	0,00	0,0
Sle3/S189	7,650	MSÚ-B/8	-11,23	-5,77	46,60	0,00	0,00	0,00	0,0
Sle3/S189	0,831	MSÚ-B/4	1,71	5,08	43,55	0,00	0,00	0,00	0,0
Sle3/S189	0,208	MSÚ-B/11	4,41	0,57	18,37	0,00	0,00	0,00	0,0
Sle4/S4	0,393	MSÚ-B/4	-1,85	-1,29	33,40	0,00	0,00	0,00	0,0
Sle4/S4	23,600	MSÚ-B/12	12,36	-0,29	33,28	0,00	0,00	0,00	0,0
Sle4/S4	2,753	MSÚ-B/1	-0,01	-10,22	29,33	0,00	0,00	0,00	0,0
Sle4/S4	31,150	MSÚ-B/4	-0,06	11,88	27,41	0,00	0,00	0,00	0,0
Sle4/S4	1,770	MSÚ-B/13	-0,25	-2,65	1,18	0,00	0,00	0,00	0,0
Sle4/S4	11,800	MSÚ-B/20	8,54	3,89	74,43	0,00	0,00	0,00	0,0
Sle5/S5	12,650	MSÚ-B/12	11,55	-1,11	28,98	0,00	0,00	0,00	0,0
Sle5/S5	0,000	MSÚ-B/14	-1,92	-14,12	56,58	0,00	0,00	0,00	0,0
Sle5/S5	0,202	MSÚ-B/4	0,42	5,85	41,67	0,00	0,00	0,00	0,0
Sle5/S5	9,216	MSÚ-B/7	-1,34	0,41	1,08	0,00	0,00	0,00	0,0
Sle5/S5	0,000	MSÚ-B/6	-4,76	-12,87	57,84	0,00	0,00	0,00	0,0
Sle5/S5	0,000	MSÚ-B/4	-12,95	-2,01	52,65	0,00	0,00	0,00	0,0
Sle6/S6	23,600	MSÚ-B/4	-12,95	-2,01	52,65	0,00	0,00	0,00	0,0
Sle6/S6	17,897	MSÚ-B/14	10,08	-2,33	37,81	0,00	0,00	0,00	0,0
Sle6/S6	23,600	MSÚ-B/14	-1,92	-14,12	56,58	0,00	0,00	0,00	0,0
Sle6/S6	11,013	MSÚ-B/15	1,67	9,74	29,07	0,00	0,00	0,00	0,0
Sle6/S6	22,027	MSÚ-B/13	0,45	-2,55	0,70	0,00	0,00	0,00	0,0
Sle6/S6	11,800	MSÚ-B/6	-6,79	0,72	86,07	0,00	0,00	0,00	0,0
Sle7/S7	17,700	MSÚ-B/1	-7,70	3,05	64,23	0,00	0,00	0,00	0,0
Sle7/S7	11,603	MSÚ-B/12	9,99	2,09	39,05	0,00	0,00	0,00	0,0
Sle7/S7	23,600	MSÚ-B/15	0,01	-8,58	42,27	0,00	0,00	0,00	0,0
Sle7/S7	1,967	MSÚ-B/2	0,01	9,61	28,16	0,00	0,00	0,00	0,0
Sle7/S7	0,983	MSÚ-B/16	-0,02	-0,72	3,46	0,00	0,00	0,00	0,0
Sle7/S7	17,700	MSÚ-B/15	-4,96	0,05	73,70	0,00	0,00	0,00	0,0
Sle8/S8	17,307	MSÚ-B/4	-2,02	2,37	28,58	0,00	0,00	0,00	0,0
Sle8/S8	5,900	MSÚ-B/12	13,77	5,96	49,31	0,00	0,00	0,00	0,0
Sle8/S8	6,883	MSÚ-B/1	0,60	-9,42	32,51	0,00	0,00	0,00	0,0
Sle8/S8	5,900	MSÚ-B/4	9,50	11,91	62,89	0,00	0,00	0,00	0,0
Sle8/S8	2,753	MSÚ-B/16	-0,01	0,07	6,52	0,00	0,00	0,00	0,0
Sle8/S8	5,900	MSÚ-B/1	11,12	10,68	71,61	0,00	0,00	0,00	0,0
Sle9/S9	1,010	MSÚ-B/17	-10,28	0,36	1,28	0,00	0,00	0,00	0,0
Sle9/S9	5,050	MSÚ-B/12	8,96	1,23	7,31	0,00	0,00	0,00	0,0
Sle9/S9	2,424	MSÚ-B/13	-0,12	-0,18	10,79	0,00	0,00	0,00	0,0
Sle9/S9	0,000	MSÚ-B/10	-5,64	6,90	47,92	0,00	0,00	0,00	0,0
Sle9/S9	1,010	MSÚ-B/11	-10,20	0,36	-0,81	0,00	0,00	0,00	0,0
Sle9/S9	0,000	MSÚ-B/6	-3,75	1,04	65,86	0,00	0,00	0,00	0,0
Sle10/S10	1,010	MSÚ-B/17	-10,60	-0,01	-1,58	0,00	0,00	0,00	0,0
Sle10/S10	5,050	MSÚ-B/12	13,77	5,96	49,31	0,00	0,00	0,00	0,0
Sle10/S10	0,000	MSÚ-B/18	-1,00	-0,52	47,55	0,00	0,00	0,00	0,0
Sle10/S10	5,050	MSÚ-B/4	9,50	11,91	62,89	0,00	0,00	0,00	0,0

Jméno	dx [m]	Stav	R <sub>x</sub> [kN]	R <sub>y</sub> [kN]	R <sub>z</sub> [kN]	M <sub>x</sub> [kNm]	M <sub>y</sub> [kNm]	M <sub>z</sub> [kNm]	e [mm]
Sle10/S10	1,010	MSÚ-B/7	-10,49	-0,01	-3,43	0,00	0,00	0,00	0,0
Sle10/S10	5,050	MSÚ-B/1	11,12	10,68	71,61	0,00	0,00	0,00	0,0
Sle11/S11	4,040	MSÚ-B/5	-10,76	0,05	30,96	0,00	0,00	0,00	0,0
Sle11/S11	5,050	MSÚ-B/12	11,07	-0,06	27,70	0,00	0,00	0,00	0,0
Sle11/S11	2,424	MSÚ-B/4	-0,13	-0,23	11,64	0,00	0,00	0,00	0,0
Sle11/S11	0,000	MSÚ-B/4	-7,40	7,31	63,96	0,00	0,00	0,00	0,0
Sle11/S11	1,212	MSÚ-B/11	-7,53	-0,02	2,08	0,00	0,00	0,00	0,0
Sle11/S11	0,000	MSÚ-B/6	-6,79	0,72	86,07	0,00	0,00	0,00	0,0
Sle12/S12	0,808	MSÚ-B/19	-11,72	0,08	0,08	0,00	0,00	0,00	0,0
Sle12/S12	5,050	MSÚ-B/12	10,47	1,02	44,62	0,00	0,00	0,00	0,0
Sle12/S12	2,424	MSÚ-B/13	0,21	-0,20	10,41	0,00	0,00	0,00	0,0
Sle12/S12	5,050	MSÚ-B/4	7,32	5,93	64,56	0,00	0,00	0,00	0,0
Sle12/S12	1,010	MSÚ-B/11	-11,47	0,04	-2,30	0,00	0,00	0,00	0,0
Sle12/S12	5,050	MSÚ-B/20	8,54	3,89	74,43	0,00	0,00	0,00	0,0
Sle13/S13	1,010	MSÚ-B/17	-11,87	-0,03	-3,41	0,00	0,00	0,00	0,0
Sle13/S13	5,050	MSÚ-B/14	10,95	-0,23	40,32	0,00	0,00	0,00	0,0
Sle13/S13	5,050	MSÚ-B/25	10,45	-0,24	35,21	0,00	0,00	0,00	0,0
Sle13/S13	0,202	MSÚ-B/4	-1,71	6,70	20,21	0,00	0,00	0,00	0,0
Sle13/S13	1,010	MSÚ-B/7	-11,76	-0,04	-5,29	0,00	0,00	0,00	0,0
Sle13/S13	5,050	MSÚ-B/1	7,55	3,69	64,69	0,00	0,00	0,00	0,0
Sle14/S14	4,040	MSÚ-B/21	-10,60	0,19	31,35	0,00	0,00	0,00	0,0
Sle14/S14	5,050	MSÚ-B/14	9,90	0,27	9,57	0,00	0,00	0,00	0,0
Sle14/S14	2,424	MSÚ-B/13	0,06	-0,18	10,77	0,00	0,00	0,00	0,0
Sle14/S14	0,202	MSÚ-B/4	-1,56	5,46	31,72	0,00	0,00	0,00	0,0
Sle14/S14	1,010	MSÚ-B/7	-9,79	0,07	0,64	0,00	0,00	0,00	0,0
Sle14/S14	0,000	MSÚ-B/15	-4,96	0,05	73,70	0,00	0,00	0,00	0,0
Sle15/S15	7,550	MSÚ-B/1	-6,80	-5,64	50,98	0,00	0,00	0,00	0,0
Sle15/S15	5,000	MSÚ-B/12	9,93	0,62	29,44	0,00	0,00	0,00	0,0
Sle15/S15	7,550	MSÚ-B/2	-6,50	-6,52	50,67	0,00	0,00	0,00	0,0
Sle15/S15	0,000	MSÚ-B/4	4,74	10,65	40,96	0,00	0,00	0,00	0,0
Sle15/S15	5,196	MSÚ-B/11	5,75	0,88	12,92	0,00	0,00	0,00	0,0
Sle15/S15	0,000	MSÚ-B/15	5,41	8,67	64,87	0,00	0,00	0,00	0,0
Sle16/S16	19,578	MSÚ-B/14	-7,69	-0,64	24,76	0,00	0,00	0,00	0,0
Sle16/S16	26,400	MSÚ-B/12	9,93	0,62	29,44	0,00	0,00	0,00	0,0
Sle16/S16	0,000	MSÚ-B/12	-3,19	-8,93	51,92	0,00	0,00	0,00	0,0
Sle16/S16	14,499	MSÚ-B/4	-2,08	13,80	44,82	0,00	0,00	0,00	0,0
Sle16/S16	1,584	MSÚ-B/30	-1,55	0,05	4,42	0,00	0,00	0,00	0,0
Sle16/S16	14,700	MSÚ-B/10	2,50	2,34	73,66	0,00	0,00	0,00	0,0
Sle17/S17	5,000	MSÚ-B/13	-0,82	-2,83	53,31	0,00	0,00	0,00	0,0
Sle17/S17	5,000	MSÚ-B/14	6,24	-6,59	54,88	0,00	0,00	0,00	0,0
Sle17/S17	1,000	MSÚ-B/23	0,31	-7,69	27,21	0,00	0,00	0,00	0,0
Sle17/S17	0,000	MSÚ-B/4	0,03	9,05	16,11	0,00	0,00	0,00	0,0
Sle17/S17	3,800	MSÚ-B/13	0,28	-5,87	4,53	0,00	0,00	0,00	0,0
Sle17/S17	5,000	MSÚ-B/20	-0,10	-6,14	70,42	0,00	0,00	0,00	0,0
Sle18/S18	4,600	MSÚ-B/24	-0,87	-11,12	6,42	0,00	0,00	0,00	0,0
Sle18/S18	4,800	MSÚ-B/25	6,01	-1,61	23,51	0,00	0,00	0,00	0,0
Sle18/S18	4,200	MSÚ-B/26	-0,60	-14,94	-4,91	0,00	0,00	0,00	0,0
Sle18/S18	0,000	MSÚ-B/4	-0,26	12,13	44,77	0,00	0,00	0,00	0,0
Sle18/S18	4,000	MSÚ-B/13	-0,45	-14,78	-7,23	0,00	0,00	0,00	0,0
Sle18/S18	0,000	MSÚ-B/15	3,46	9,21	81,39	0,00	0,00	0,00	0,0
Sle19/S19	5,000	MSÚ-B/20	-3,80	-3,79	44,35	0,00	0,00	0,00	0,0
Sle19/S19	0,000	MSÚ-B/24	7,44	11,87	13,72	0,00	0,00	0,00	0,0
Sle19/S19	1,200	MSÚ-B/27	-1,11	-10,20	36,05	0,00	0,00	0,00	0,0
Sle19/S19	0,000	MSÚ-B/10	7,31	12,76	20,80	0,00	0,00	0,00	0,0
Sle19/S19	4,000	MSÚ-B/13	0,89	-4,95	1,08	0,00	0,00	0,00	0,0
Sle19/S19	0,000	MSÚ-B/15	2,06	7,32	57,86	0,00	0,00	0,00	0,0
Sle20/S20	2,550	MSÚ-B/31	-0,75	5,62	54,64	0,00	0,00	0,00	0,0
Sle20/S20	0,000	MSÚ-B/2	4,41	0,91	19,76	0,00	0,00	0,00	0,0
Sle20/S20	0,588	MSÚ-B/10	1,12	-5,79	4,73	0,00	0,00	0,00	0,0
Sle20/S20	2,550	MSÚ-B/4	-0,69	6,49	51,67	0,00	0,00	0,00	0,0
Sle20/S20	1,569	MSÚ-B/22	0,19	-3,92	1,44	0,00	0,00	0,00	0,0
Sle20/S20	2,550	MSÚ-B/1	-0,75	5,90	59,08	0,00	0,00	0,00	0,0
Sle21/S21	0,200	MSÚ-B/10	11,22	-2,86	45,64	0,00	0,00	0,00	0,0
Sle21/S21	1,767	MSÚ-B/10	-0,65	-12,21	8,35	0,00	0,00	0,00	0,0
Sle21/S21	0,396	MSÚ-B/2	1,80	3,49	14,03	0,00	0,00	0,00	0,0
Sle21/S21	0,983	MSÚ-B/13	0,34	-7,64	1,34	0,00	0,00	0,00	0,0
Sle21/S21	2,550	MSÚ-B/28	-3,35	-5,53	48,66	0,00	0,00	0,00	0,0
Sle21/S21	0,000	MSÚ-B/10	-4,71	-0,45	30,41	0,00	0,00	0,00	0,0

Jméno	dx [m]	Stav	R <sub>x</sub> [kN]	R <sub>y</sub> [kN]	R <sub>z</sub> [kN]	M <sub>x</sub> [kNm]	M <sub>y</sub> [kNm]	M <sub>z</sub> [kNm]	e [mm]
Sle22/S187	5,000	MSÚ-B/1	-6,66	-2,77	60,51	0,00	0,00	0,00	0,0
Sle22/S187	0,400	MSÚ-B/22	0,47	-5,38	24,77	0,00	0,00	0,00	0,0
Sle22/S187	0,400	MSÚ-B/1	0,28	-8,18	38,22	0,00	0,00	0,00	0,0
Sle22/S187	2,000	MSÚ-B/6	0,01	7,09	12,21	0,00	0,00	0,00	0,0
Sle22/S187	4,000	MSÚ-B/22	-0,05	-2,57	0,34	0,00	0,00	0,00	0,0
Sle22/S187	0,000	MSÚ-B/6	-0,90	6,40	96,28	0,00	0,00	0,00	0,0
Sle23/S193	2,350	MSÚ-B/1	-6,66	-2,77	60,51	0,00	0,00	0,00	0,0
Sle23/S193	0,196	MSÚ-B/11	0,04	3,00	12,97	0,00	0,00	0,00	0,0
Sle23/S193	1,567	MSÚ-B/4	-0,34	-13,12	11,98	0,00	0,00	0,00	0,0
Sle23/S193	0,196	MSÚ-B/6	-0,07	4,10	17,86	0,00	0,00	0,00	0,0
Sle23/S193	0,979	MSÚ-B/22	-0,14	-9,75	3,13	0,00	0,00	0,00	0,0
Sle23/S193	2,350	MSÚ-B/6	-6,20	-0,76	65,57	0,00	0,00	0,00	0,0
Sle24/S190	5,442	MSÚ-B/12	-8,02	0,34	14,25	0,00	0,00	0,00	0,0
Sle24/S190	0,000	MSÚ-B/12	12,36	-0,29	33,28	0,00	0,00	0,00	0,0
Sle24/S190	5,050	MSÚ-B/2	-6,50	-6,52	50,67	0,00	0,00	0,00	0,0
Sle24/S190	7,600	MSÚ-B/1	2,66	11,42	35,61	0,00	0,00	0,00	0,0
Sle24/S190	22,207	MSÚ-B/23	-0,76	0,16	0,91	0,00	0,00	0,00	0,0
Sle24/S190	12,650	MSÚ-B/1	-0,75	5,90	59,08	0,00	0,00	0,00	0,0

Jméno	Klíč kombinace
MSÚ-B/1	1.35*ZS1 + 1.35*ZS2 + 0.90*ZS6 + 0.75*ZS7 + 1.35*ZS8 + 1.05*ZS3 + 1.05*ZS4
MSÚ-B/2	1.35*ZS1 + 1.35*ZS2 + 0.75*ZS7 + 1.35*ZS8 + 1.05*ZS3 + 1.05*ZS4
MSÚ-B/3	1.15*ZS1 + 1.15*ZS2 + 1.50*ZS5 + 0.75*ZS7 + 1.15*ZS8 + 1.05*ZS4
MSÚ-B/4	1.15*ZS1 + 1.15*ZS2 + 1.50*ZS6 + 0.75*ZS7 + 1.15*ZS8 + 1.05*ZS3 + 1.05*ZS4
MSÚ-B/5	ZS1 + ZS2 + 1.50*ZS5 + 0.75*ZS7 + ZS8 + 1.05*ZS3 + 1.05*ZS4
MSÚ-B/6	1.35*ZS1 + 1.35*ZS2 + 0.90*ZS5 + 0.75*ZS7 + 1.35*ZS8 + 1.05*ZS3 + 1.05*ZS4
MSÚ-B/7	ZS1 + ZS2 + 1.50*ZS5 + ZS8
MSÚ-B/8	1.15*ZS1 + 1.15*ZS2 + 1.50*ZS6 + 0.75*ZS7 + 1.15*ZS8 + 1.05*ZS4
MSÚ-B/9	ZS1 + ZS2 + 1.50*ZS6 + ZS8 + 1.05*ZS3
MSÚ-B/10	1.15*ZS1 + 1.15*ZS2 + 1.50*ZS6 + 0.75*ZS7 + 1.15*ZS8 + 1.05*ZS3
MSÚ-B/11	ZS1 + ZS2 + 1.50*ZS5 + ZS8 + 1.05*ZS4
MSÚ-B/12	1.15*ZS1 + 1.15*ZS2 + 1.50*ZS5 + 0.75*ZS7 + 1.15*ZS8 + 1.05*ZS3 + 1.05*ZS4
MSÚ-B/13	ZS1 + ZS2 + 1.50*ZS6 + ZS8 + 1.05*ZS4
MSÚ-B/14	1.15*ZS1 + 1.15*ZS2 + 1.50*ZS5 + 0.75*ZS7 + 1.15*ZS8 + 1.05*ZS3
MSÚ-B/15	1.35*ZS1 + 1.35*ZS2 + 0.90*ZS5 + 0.75*ZS7 + 1.35*ZS8 + 1.05*ZS3
MSÚ-B/16	ZS1 + ZS2 + ZS8
MSÚ-B/17	1.15*ZS1 + 1.15*ZS2 + 1.50*ZS5 + 1.15*ZS8
MSÚ-B/18	ZS1 + ZS2 + 0.90*ZS5 + ZS8 + 1.50*ZS4
MSÚ-B/19	1.15*ZS1 + 1.15*ZS2 + 1.50*ZS5 + 1.15*ZS8 + 1.05*ZS4
MSÚ-B/20	1.35*ZS1 + 1.35*ZS2 + 0.90*ZS6 + 0.75*ZS7 + 1.35*ZS8 + 1.05*ZS3
MSÚ-B/21	ZS1 + ZS2 + 1.50*ZS5 + 0.75*ZS7 + ZS8 + 1.05*ZS3
MSÚ-B/22	ZS1 + ZS2 + 1.50*ZS6 + ZS8
MSÚ-B/23	ZS1 + ZS2 + 1.50*ZS6 + 0.75*ZS7 + ZS8 + 1.05*ZS3 + 1.05*ZS4
MSÚ-B/24	ZS1 + ZS2 + 1.50*ZS6 + ZS8 + 1.05*ZS3 + 1.05*ZS4
MSÚ-B/25	1.15*ZS1 + 1.15*ZS2 + 1.50*ZS5 + 0.75*ZS7 + 1.15*ZS8
MSÚ-B/26	1.15*ZS1 + 1.15*ZS2 + 1.50*ZS6 + 1.15*ZS8 + 1.05*ZS4
MSÚ-B/27	ZS1 + ZS2 + 1.50*ZS6 + 0.75*ZS7 + ZS8 + 1.05*ZS3
MSÚ-B/28	1.35*ZS1 + 1.35*ZS2 + 0.75*ZS7 + 1.35*ZS8 + 1.05*ZS3
MSÚ-B/29	1.35*ZS1 + 1.35*ZS2 + 0.90*ZS5 + 0.75*ZS7 + 1.35*ZS8 + 1.05*ZS4
MSÚ-B/30	ZS1 + ZS2 + 1.50*ZS5 + ZS8 + 1.05*ZS3
MSÚ-B/31	1.35*ZS1 + 1.35*ZS2 + 0.90*ZS6 + 1.35*ZS8 + 1.05*ZS4

yty:  $R_z$   
 rní výpočet  
 inace: MSÚ-B  
 m: Globální  
 m: Dilec  
 : Vše

Jméno	Sít'	Pozice [m]	Stav	$m_{xD+}$ [kNm/m] $m_{xD-}$ [kNm/m]	$m_{yD+}$ [kNm/m] $m_{yD-}$ [kNm/m]	$m_{cD+}$ [kNm/m] $m_{cD-}$ [kNm/m]	$n_{xD}$ [kN/m]	$n_{yD}$ [kN/m]	$n_{cD}$ [kN/m]
S22/Edge 80	Prvek: 0	31,450 7,550 0,000	MSÚ-B	-0,05 2,49	-0,19 9,11	-8,84 -0,86	-9,21	0,00	-162,98
S22/Edge 80	Prvek: 0	31,450 7,550 0,000	MSÚ-B	-0,19 1,02	-0,60 3,92	-4,03 -0,63	-5,78	0,00	-98,86
S22/Edge 81	Prvek: 0	23,800 7,550 0,000	MSÚ-B	-1,15 1,05	-5,48 6,87	-7,86 -6,51	-1,04	0,00	-360,65
S22/Edge 81	Prvek: 0	23,800 7,550 0,000	MSÚ-B	-0,05 0,05	-0,24 0,10	-0,13 -0,30	-0,42	0,00	-191,31
S22/Edge 82	Prvek: 0	23,800 7,550 3,300	MSÚ-B	-2,97 0,64	-6,06 0,14	-4,22 -5,35	-7,62	0,00	-141,62
S22/Edge 82	Prvek: 0	23,800 7,550 3,300	MSÚ-B	-0,63 0,20	-1,07 0,19	-0,95 -1,07	-4,68	0,00	-82,85
S22/Edge 83	Prvek: 0	31,450 7,550 3,300	MSÚ-B	-1,21 0,35	-5,61 4,99	-6,46 -5,64	-0,08	0,00	-333,59
S22/Edge 83	Prvek: 0	31,450 7,550 3,300	MSÚ-B	-0,33 0,06	-1,78 0,10	-0,60 -1,66	-0,02	0,00	-190,72
S23/Edge 84	Prvek: 0	31,450 5,000 0,000	MSÚ-B	-0,17 1,40	-0,02 4,35	-3,91 -1,24	-26,17	0,00	-121,18
S23/Edge 84	Prvek: 0	31,450 5,000 0,000	MSÚ-B	-0,06 1,04	-0,01 4,12	-3,87 -0,84	-15,73	-0,08	-58,65
S23/Edge 85	Prvek: 0	31,450 0,000 0,000	MSÚ-B	-2,29 1,20	-5,54 4,01	-5,00 -5,51	-5,22	0,00	-65,64
S23/Edge 85	Prvek: 0	31,450 0,000 0,000	MSÚ-B	-2,20 0,09	-3,81 0,80	-2,13 -4,60	5,13	121,59	-1,83
S23/Edge 86	Prvek: 0	31,450 0,000 3,300	MSÚ-B	-2,84 0,10	-4,60 0,05	-3,06 -4,19	-15,69	0,00	-100,93
S23/Edge 86	Prvek: 0	31,450 0,000 3,300	MSÚ-B	-1,92 0,68	-2,97 0,58	-2,76 -3,33	-6,32	0,00	-43,31
S23/Edge 87	Prvek: 0	31,450 5,000 3,300	MSÚ-B	-0,27 1,04	-0,37 3,23	-3,29 -0,89	-7,03	0,00	-394,29
S23/Edge 87	Prvek: 0	31,450 5,000 3,300	MSÚ-B	-1,43 1,11	-0,23 1,46	-2,11 -2,06	-2,88	0,00	-176,38
S24/Edge 88	Prvek: 0	31,450 0,000 0,000	MSÚ-B	-1,23 0,00	-1,66 0,00	-0,50 -1,48	-1,99	0,00	-371,98
S24/Edge 88	Prvek: 0	31,450 0,000 0,000	MSÚ-B	-0,47 3,45	-0,73 16,04	-15,60 -2,44	-0,66	4,87	-159,45
S24/Edge 89	Prvek: 0	30,250 0,000 0,000	MSÚ-B	-0,05 0,02	-0,24 0,46	-0,52 -0,25	-0,59	0,00	-795,18
S24/Edge 89	Prvek: 0	30,250 0,000 0,000	MSÚ-B	-0,16 0,06	-0,80 0,25	-0,50 -0,77	-0,53	0,00	-407,14
S24/Edge 90	Prvek: 0	30,250 0,000 3,300	MSÚ-B	-1,23 0,01	-3,68 0,00	-1,04 -3,31	-4,46	0,00	-352,64
S24/Edge 90	Prvek: 0	30,250 0,000 3,300	MSÚ-B	-7,51 0,97	-14,43 0,01	-10,53 -12,34	-1,39	20,34	-147,62

Jméno	Sít'	Pozice [m]	Stav	$m_{xD+}$ [kNm/m] $m_{xD-}$ [kNm/m]	$m_{yD+}$ [kNm/m] $m_{yD-}$ [kNm/m]	$m_{cD+}$ [kNm/m] $m_{cD-}$ [kNm/m]	$n_{xD}$ [kN/m]	$n_{yD}$ [kN/m]	$n_{cD}$ [kN/m]
S24/Edge 91	Prvek: 0	31,450 0,000 3,300	MSÚ-B	-1,19 1,53	-1,08 0,86	-1,79 -1,41	-0,35	0,00	-64,46
S24/Edge 91	Prvek: 0	31,450 0,000 3,300	MSÚ-B	-0,64 1,48	-2,37 4,40	-5,32 -2,47	0,33	57,46	-0,92
S25/Edge 92	Prvek: 0	24,250 0,000 0,000	MSÚ-B	-0,14 0,41	-0,34 1,99	-2,11 -0,49	-7,55	0,00	-215,58
S25/Edge 92	Prvek: 0	24,250 0,000 0,000	MSÚ-B	-0,04 5,37	-0,05 14,59	-13,13 -3,63	-0,07	0,24	-104,49
S25/Edge 93	Prvek: 0	20,450 0,000 0,000	MSÚ-B	-0,03 0,01	-0,18 0,05	-0,09 -0,18	0,55	0,00	-519,83
S25/Edge 93	Prvek: 0	20,450 0,000 0,000	MSÚ-B	-0,01 0,00	-0,08 0,03	-0,04 -0,08	0,40	0,00	-322,30
S25/Edge 94	Prvek: 0	20,450 0,000 3,300	MSÚ-B	-0,80 0,00	-1,99 0,00	-0,41 -1,83	-5,35	0,00	-193,34
S25/Edge 94	Prvek: 0	20,450 0,000 3,300	MSÚ-B	-3,66 0,25	-8,30 0,00	-4,07 -7,15	-2,38	-0,05	-89,80
S25/Edge 95	Prvek: 0	24,250 0,000 3,300	MSÚ-B	-0,14 0,12	-0,55 0,35	-0,46 -0,68	-0,67	0,00	-358,23
S25/Edge 95	Prvek: 0	24,250 0,000 3,300	MSÚ-B	-0,37 1,21	-3,59 10,36	-10,11 -5,33	-1,23	0,00	-126,73
S26/Edge 96	Prvek: 0	17,450 0,000 0,000	MSÚ-B	-0,10 0,32	-0,54 0,00	-0,43 -0,51	-8,54	0,00	-332,95
S26/Edge 96	Prvek: 0	17,450 0,000 0,000	MSÚ-B	0,00 9,41	0,00 27,23	-25,64 -3,82	6,48	0,00	-139,27
S26/Edge 97	Prvek: 0	16,100 0,000 0,000	MSÚ-B	-0,04 0,02	-0,35 0,19	-0,22 -0,37	-0,54	0,00	-449,21
S26/Edge 97	Prvek: 0	16,100 0,000 0,000	MSÚ-B	-0,13 0,62	-2,84 7,87	-7,61 -3,76	-0,45	0,00	-222,06
S26/Edge 98	Prvek: 0	16,100 0,000 3,300	MSÚ-B	-2,30 0,92	-6,72 0,00	-3,51 -5,86	-55,28	-0,86	-317,10
S26/Edge 98	Prvek: 0	16,100 0,000 3,300	MSÚ-B	-6,58 1,35	-21,93 0,45	-8,18 -20,18	-23,85	0,00	-124,28
S26/Edge 99	Prvek: 0	17,450 0,000 3,300	MSÚ-B	-0,09 0,08	-0,52 0,28	-0,36 -0,60	0,55	0,00	-428,99
S26/Edge 99	Prvek: 0	17,450 0,000 3,300	MSÚ-B	-0,62 0,85	-3,62 8,22	-8,70 -4,46	-0,58	0,00	-206,36
S27/Edge 100	Prvek: 0	13,900 0,000 0,000	MSÚ-B	-0,03 0,29	-0,07 0,96	-1,00 -0,18	-5,76	0,00	-194,33
S27/Edge 100	Prvek: 0	13,900 0,000 0,000	MSÚ-B	-0,07 2,11	-0,09 5,47	-5,12 -0,97	-1,60	0,04	-115,00
S27/Edge 101	Prvek: 0	7,900 0,000 0,000	MSÚ-B	-0,01 0,04	0,00 0,23	-0,20 -0,08	-1,34	0,00	-543,35
S27/Edge 101	Prvek: 0	7,900 0,000 0,000	MSÚ-B	0,00 0,00	0,00 0,10	-0,10 -0,01	-0,74	0,00	-336,91

Jméno	Sit'	Pozice [m]	Stav	$m_{xD+}$ [kNm/m] $m_{xD-}$ [kNm/m]	$m_{yD+}$ [kNm/m] $m_{yD-}$ [kNm/m]	$m_{cD+}$ [kNm/m] $m_{cD-}$ [kNm/m]	$n_{xD}$ [kN/m]	$n_{yD}$ [kN/m]	$n_{cD}$ [kN/m]
S27/Edge 102	Prvek: 0	7,900 0,000 3,300	MSÚ-B	-0,31 0,07	-0,70 0,02	-0,32 -0,66	-4,36	0,00	-172,59
S27/Edge 102	Prvek: 0	7,900 0,000 3,300	MSÚ-B	-1,16 1,21	-3,63 0,33	-2,69 -3,56	-2,33	0,00	-99,70
S27/Edge 103	Prvek: 0	13,900 0,000 3,300	MSÚ-B	0,00 0,00	-0,03 0,08	-0,09 -0,04	-1,27	0,00	-505,57
S27/Edge 103	Prvek: 0	13,900 0,000 3,300	MSÚ-B	-0,05 0,05	-0,08 0,07	-0,11 -0,14	-0,66	0,00	-303,75
S28/Edge 104	Prvek: 0	5,700 0,000 0,000	MSÚ-B	-0,17 0,26	-0,60 0,63	-0,77 -0,70	-17,31	0,00	-117,69
S28/Edge 104	Prvek: 0	5,700 0,000 0,000	MSÚ-B	-0,11 1,90	-0,19 5,06	-4,75 -1,17	-10,61	0,00	-63,62
S28/Edge 105	Prvek: 0	0,000 0,000 0,000	MSÚ-B	-0,02 0,70	-0,09 1,39	-1,35 -0,34	-4,28	0,00	-134,20
S28/Edge 105	Prvek: 0	0,000 0,000 0,000	MSÚ-B	-0,41 1,78	-1,32 2,46	-2,96 -1,62	-1,58	0,00	-40,17
S28/Edge 106	Prvek: 0	0,000 0,000 3,300	MSÚ-B	-0,36 0,97	-0,78 1,05	-1,19 -1,48	-13,07	0,00	-95,39
S28/Edge 106	Prvek: 0	0,000 0,000 3,300	MSÚ-B	-1,66 0,32	-4,24 0,20	-2,34 -3,71	-8,80	0,00	-48,06
S28/Edge 107	Prvek: 0	5,700 0,000 3,300	MSÚ-B	-0,06 0,08	-0,25 0,64	-0,64 -0,38	-1,79	0,00	-503,15
S28/Edge 107	Prvek: 0	5,700 0,000 3,300	MSÚ-B	-0,35 0,58	-1,69 4,64	-4,89 -2,35	-1,13	0,00	-282,03
S29/Edge 108	Prvek: 0	0,000 0,000 0,000	MSÚ-B	-0,46 0,62	-1,13 0,27	-0,84 -1,28	-3,60	0,00	-245,15
S29/Edge 108	Prvek: 0	0,000 0,000 0,000	MSÚ-B	0,00 3,50	0,00 12,00	-11,28 -1,59	1,00	0,00	-124,59
S29/Edge 109	Prvek: 0	0,000 0,700 0,000	MSÚ-B	-0,05 0,11	-0,29 0,76	-0,76 -0,43	1,75	0,00	-323,86
S29/Edge 109	Prvek: 0	0,000 0,700 0,000	MSÚ-B	-0,56 0,55	-1,96 4,08	-4,87 -2,25	1,04	0,00	-181,17
S29/Edge 110	Prvek: 0	0,000 0,700 3,300	MSÚ-B	-1,65 0,02	-4,75 0,00	-1,11 -4,30	-2,64	0,00	-223,72
S29/Edge 110	Prvek: 0	0,000 0,700 3,300	MSÚ-B	-4,88 1,69	-17,30 0,00	-9,49 -14,39	-1,68	0,00	-110,74
S29/Edge 111	Prvek: 0	0,000 0,000 3,300	MSÚ-B	-0,20 0,56	-0,65 0,49	-0,79 -0,66	-0,10	0,00	-132,00
S29/Edge 111	Prvek: 0	0,000 0,000 3,300	MSÚ-B	-0,55 0,97	-1,37 2,47	-2,97 -1,37	1,21	0,00	-38,66
S30/Edge 112	Prvek: 0	0,000 3,700 0,000	MSÚ-B	-0,31 0,48	-0,54 1,96	-1,96 -0,99	-8,05	0,00	-203,31
S30/Edge 112	Prvek: 0	0,000 3,700 0,000	MSÚ-B	-0,11 1,70	-0,16 3,72	-3,26 -1,46	-3,64	0,00	-122,99

Jméno	Sit'	Pozice [m]	Stav	$m_{xD+}$ [kNm/m] $m_{xD-}$ [kNm/m]	$m_{yD+}$ [kNm/m] $m_{yD-}$ [kNm/m]	$m_{cD+}$ [kNm/m] $m_{cD-}$ [kNm/m]	$n_{xD}$ [kN/m]	$n_{yD}$ [kN/m]	$n_{cD}$ [kN/m]
S30/Edge 113	Prvek: 0	0,000 7,550 0,000	MSÚ-B	-0,85 0,08	-1,59 0,35	-0,72 -1,79	-2,90	0,00	-350,17
S30/Edge 113	Prvek: 0	0,000 7,550 0,000	MSÚ-B	-0,98 2,45	-4,38 5,99	-6,51 -4,86	-0,80	0,00	-142,94
S30/Edge 114	Prvek: 0	0,000 7,550 3,300	MSÚ-B	-1,12 0,10	-2,44 0,12	-1,03 -2,27	-6,16	0,00	-181,39
S30/Edge 114	Prvek: 0	0,000 7,550 3,300	MSÚ-B	-1,67 0,31	-4,31 0,20	-2,35 -3,85	-3,64	0,00	-107,41
S30/Edge 115	Prvek: 0	0,000 3,700 3,300	MSÚ-B	-0,02 0,05	0,00 0,24	-0,21 -0,10	-0,27	0,00	-582,47
S30/Edge 115	Prvek: 0	0,000 3,700 3,300	MSÚ-B	0,00 0,01	0,00 0,08	-0,08 -0,01	-0,08	0,00	-362,65
S31/Edge 116	Prvek: 0	0,000 7,550 0,000	MSÚ-B	-0,18 1,20	-0,21 3,85	-3,77 -0,76	-34,36	0,00	-147,25
S31/Edge 116	Prvek: 0	0,000 7,550 0,000	MSÚ-B	-0,35 0,44	-0,55 1,15	-1,41 -0,80	-26,44	0,00	-86,85
S31/Edge 117	Prvek: 0	5,050 7,550 0,000	MSÚ-B	-1,48 0,89	-0,56 3,19	-3,31 -2,22	-8,42	0,00	-338,48
S31/Edge 117	Prvek: 0	5,050 7,550 0,000	MSÚ-B	-0,67 0,33	-0,30 1,21	-1,14 -0,92	-4,63	0,00	-196,72
S31/Edge 118	Prvek: 0	5,050 7,550 3,300	MSÚ-B	-0,57 1,03	-0,18 2,16	-2,13 -1,68	-25,11	0,00	-125,55
S31/Edge 118	Prvek: 0	5,050 7,550 3,300	MSÚ-B	-0,37 0,92	-0,10 1,89	-1,81 -1,16	-18,18	0,00	-70,62
S31/Edge 119	Prvek: 0	0,000 7,550 3,300	MSÚ-B	-0,06 0,74	0,00 3,23	-3,04 -0,56	-7,03	0,00	-355,45
S31/Edge 119	Prvek: 0	0,000 7,550 3,300	MSÚ-B	-2,19 0,51	-0,39 1,06	-1,52 -2,28	-3,52	0,00	-148,94
S32/Edge 120	Prvek: 0	5,050 7,550 0,000	MSÚ-B	0,00 0,79	0,00 2,43	-2,33 -0,28	-38,59	0,00	-164,61
S32/Edge 120	Prvek: 0	5,050 7,550 0,000	MSÚ-B	-0,12 1,23	-0,09 3,43	-3,39 -0,44	-24,56	0,00	-95,45
S32/Edge 121	Prvek: 0	5,050 0,000 0,000	MSÚ-B	-0,71 0,65	-0,82 2,05	-2,14 -1,00	-7,99	0,00	-167,97
S32/Edge 121	Prvek: 0	5,050 0,000 0,000	MSÚ-B	-0,61 0,30	-0,10 0,82	-0,91 -0,83	-1,94	0,00	-75,60
S32/Edge 122	Prvek: 0	5,050 0,000 3,300	MSÚ-B	-0,45 0,44	-0,67 0,80	-1,16 -1,02	-23,51	0,00	-142,97
S32/Edge 122	Prvek: 0	5,050 0,000 3,300	MSÚ-B	-0,98 0,56	-2,44 1,10	-1,99 -2,57	-15,61	0,00	-79,83
S32/Edge 123	Prvek: 0	5,050 7,550 3,300	MSÚ-B	-1,62 0,46	-2,13 3,40	-3,78 -2,56	-11,82	0,00	-337,87
S32/Edge 123	Prvek: 0	5,050 7,550 3,300	MSÚ-B	-0,69 0,20	-0,21 0,64	-0,65 -0,80	-7,09	0,00	-196,18



Jméno	Sit'	Pozice [m]	Stav	$m_{xD+}$ [kNm/m] $m_{xD-}$ [kNm/m]	$m_{yD+}$ [kNm/m] $m_{yD-}$ [kNm/m]	$m_{cD+}$ [kNm/m] $m_{cD-}$ [kNm/m]	$n_{xD}$ [kN/m]	$n_{yD}$ [kN/m]	$n_{cD}$ [kN/m]
S33/Edge 124	Prvek: 0	10,900 5,000 0,000	MSÚ-B	0,00 0,30	0,00 1,34	-1,30 -0,07	-18,94	0,00	-102,44
S33/Edge 124	Prvek: 0	10,900 5,000 0,000	MSÚ-B	0,00 1,21	0,00 4,09	-3,75 -0,79	-10,20	0,00	-52,68
S33/Edge 125	Prvek: 0	10,900 0,000 0,000	MSÚ-B	-0,44 0,83	-0,74 2,15	-2,15 -0,87	-4,82	0,00	-107,23
S33/Edge 125	Prvek: 0	10,900 0,000 0,000	MSÚ-B	-0,09 0,56	-0,65 0,80	-0,95 -0,86	1,20	0,00	-28,48
S33/Edge 126	Prvek: 0	10,900 0,000 3,300	MSÚ-B	-0,11 0,32	-0,33 0,20	-0,46 -0,40	-13,40	0,00	-82,41
S33/Edge 126	Prvek: 0	10,900 0,000 3,300	MSÚ-B	-1,14 0,45	-1,80 0,21	-1,71 -1,86	-10,06	0,00	-36,94
S33/Edge 127	Prvek: 0	10,900 5,000 3,300	MSÚ-B	-0,23 0,22	-0,28 0,24	-0,39 -0,36	-4,95	0,00	-199,68
S33/Edge 127	Prvek: 0	10,900 5,000 3,300	MSÚ-B	-1,55 1,48	-2,94 4,05	-4,23 -3,27	-0,14	0,00	-120,53
S34/Edge 128	Prvek: 0	16,750 5,000 0,000	MSÚ-B	0,00 1,09	-0,02 3,86	-3,63 -0,52	-15,95	0,00	-118,87
S34/Edge 128	Prvek: 0	16,750 5,000 0,000	MSÚ-B	-0,18 1,17	-0,12 4,30	-4,03 -0,98	-2,53	0,10	-51,32
S34/Edge 129	Prvek: 0	16,750 0,000 0,000	MSÚ-B	-0,12 0,85	-0,14 2,48	-2,44 -0,33	-6,82	0,00	-253,97
S34/Edge 129	Prvek: 0	16,750 0,000 0,000	MSÚ-B	-0,01 1,40	-0,22 1,00	-1,39 -0,75	4,86	0,56	-87,67
S34/Edge 130	Prvek: 0	16,750 0,000 3,300	MSÚ-B	-0,58 0,70	-1,09 0,46	-1,35 -1,13	-12,89	0,00	-99,09
S34/Edge 130	Prvek: 0	16,750 0,000 3,300	MSÚ-B	-1,10 0,49	-2,30 0,14	-1,66 -2,28	-7,11	2,50	-39,99
S34/Edge 131	Prvek: 0	16,750 5,000 3,300	MSÚ-B	-0,77 0,23	-0,22 0,54	-0,60 -0,81	-7,34	0,00	-164,68
S34/Edge 131	Prvek: 0	16,750 5,000 3,300	MSÚ-B	-1,76 1,39	-3,03 3,98	-4,18 -3,36	1,39	0,02	-94,58
S35/Edge 132	Prvek: 0	23,800 5,000 0,000	MSÚ-B	-0,39 1,17	-0,13 3,72	-3,57 -1,03	-28,68	0,00	-128,01
S35/Edge 132	Prvek: 0	23,800 5,000 0,000	MSÚ-B	-0,12 1,25	-0,12 3,79	-3,48 -1,08	-13,29	-3,05	-54,39
S35/Edge 133	Prvek: 0	23,800 0,000 0,000	MSÚ-B	-0,46 0,84	-1,16 2,44	-2,63 -1,24	-4,87	0,00	-198,80
S35/Edge 133	Prvek: 0	23,800 0,000 0,000	MSÚ-B	-2,20 0,30	-0,47 0,52	-1,19 -2,25	4,57	0,00	-34,51
S35/Edge 134	Prvek: 0	23,800 0,000 3,300	MSÚ-B	-1,45 0,13	-2,18 0,25	-1,55 -2,22	-14,32	0,00	-108,92
S35/Edge 134	Prvek: 0	23,800 0,000 3,300	MSÚ-B	-0,50 0,76	-0,94 0,64	-1,42 -1,36	-6,71	1,30	-36,36

Jméno	Sit'	Pozice [m]	Stav	$m_{xD+}$ [kNm/m] $m_{xD-}$ [kNm/m]	$m_{yD+}$ [kNm/m] $m_{yD-}$ [kNm/m]	$m_{cD+}$ [kNm/m] $m_{cD-}$ [kNm/m]	$n_{xD}$ [kN/m]	$n_{yD}$ [kN/m]	$n_{cD}$ [kN/m]
S35/Edge 135	Prvek: 0	23,800 5,000 3,300	MSÚ-B	-0,65 1,17	-0,30 1,04	-1,58 -1,17	-5,21	0,00	-223,78
S35/Edge 135	Prvek: 0	23,800 5,000 3,300	MSÚ-B	-0,12 0,18	-0,12 0,27	-0,28 -0,27	-2,63	0,00	-134,05
S36/Edge 136	Prvek: 0	31,450 5,000 0,000	MSÚ-B	-0,18 0,93	-0,46 1,05	-1,01 -0,93	-0,19	0,00	-223,26
S36/Edge 136	Prvek: 0	31,450 5,000 0,000	MSÚ-B	-0,48 4,76	-1,79 18,25	-18,20 -2,31	-2,55	0,00	-92,80
S36/Edge 137	Prvek: 0	30,450 5,000 0,000	MSÚ-B	-0,08 0,13	-0,16 1,16	-1,18 -0,34	-1,37	0,00	-161,45
S36/Edge 137	Prvek: 0	30,450 5,000 0,000	MSÚ-B	-0,10 0,12	-0,48 1,10	-1,08 -0,71	-1,18	0,00	-28,27
S36/Edge 138	Prvek: 0	30,450 5,000 3,300	MSÚ-B	0,00 3,66	0,00 11,34	-10,05 -3,14	-3,03	0,00	-204,46
S36/Edge 138	Prvek: 0	30,450 5,000 3,300	MSÚ-B	-10,21 0,18	-24,34 1,81	-11,32 -21,49	-0,50	0,00	-76,74
S36/Edge 139	Prvek: 0	31,450 5,000 3,300	MSÚ-B	-0,19 1,26	-0,22 3,12	-3,38 -1,04	-1,54	0,00	-394,87
S36/Edge 139	Prvek: 0	31,450 5,000 3,300	MSÚ-B	-2,26 1,20	-8,11 9,10	-10,45 -8,13	-0,71	0,00	-178,87
S37/Edge 140	Prvek: 0	29,050 5,000 0,000	MSÚ-B	-0,16 1,82	-0,50 6,56	-6,20 -1,50	-0,40	0,00	-125,32
S37/Edge 140	Prvek: 0	29,050 5,000 0,000	MSÚ-B	-0,23 0,39	-0,69 1,43	-1,39 -1,10	-0,57	0,00	-58,22
S37/Edge 141	Prvek: 0	28,050 5,000 0,000	MSÚ-B	-0,04 0,07	-0,22 0,46	-0,47 -0,30	-0,89	0,00	-150,55
S37/Edge 141	Prvek: 0	28,050 5,000 0,000	MSÚ-B	-0,01 0,15	-0,03 0,78	-0,71 -0,23	-0,44	0,00	-72,40
S37/Edge 142	Prvek: 0	28,050 5,000 3,300	MSÚ-B	0,00 0,65	-1,56 0,62	-1,05 -1,68	-0,92	0,00	-107,76
S37/Edge 142	Prvek: 0	28,050 5,000 3,300	MSÚ-B	-0,02 0,27	0,00 1,17	-1,03 -0,36	0,37	0,00	-42,39
S37/Edge 143	Prvek: 0	29,050 5,000 3,300	MSÚ-B	-0,05 0,27	-0,48 5,22	-5,15 -0,84	-0,73	0,00	-150,44
S37/Edge 143	Prvek: 0	29,050 5,000 3,300	MSÚ-B	-0,03 0,03	-0,29 0,39	-0,42 -0,32	-0,29	0,00	-50,02
S38/Edge 144	Prvek: 0	27,050 5,000 0,000	MSÚ-B	-0,21 2,29	-0,57 9,16	-9,32 -0,61	-2,97	0,00	-354,19
S38/Edge 144	Prvek: 0	27,050 5,000 0,000	MSÚ-B	-0,26 0,01	-0,71 0,00	-0,23 -0,63	-1,33	0,00	-215,71
S38/Edge 145	Prvek: 0	25,050 5,000 0,000	MSÚ-B	-0,05 0,03	-0,14 0,29	-0,34 -0,17	-0,51	0,00	-278,49
S38/Edge 145	Prvek: 0	25,050 5,000 0,000	MSÚ-B	-0,02 0,01	-0,06 0,19	-0,20 -0,07	-0,21	0,00	-173,07

Jméno	Sit'	Pozice [m]	Stav	$m_{xD+}$ [kNm/m] $m_{xD-}$ [kNm/m]	$m_{yD+}$ [kNm/m] $m_{yD-}$ [kNm/m]	$m_{cD+}$ [kNm/m] $m_{cD-}$ [kNm/m]	$n_{xD}$ [kN/m]	$n_{yD}$ [kN/m]	$n_{cD}$ [kN/m]
S38/Edge 146	Prvek: 0	25,050 5,000 3,300	MSÚ-B	-1,92 0,87	-3,73 1,45	-3,42 -3,78	-2,97	0,00	-334,02
S38/Edge 146	Prvek: 0	25,050 5,000 3,300	MSÚ-B	-0,40 0,41	-0,21 1,11	-1,18 -0,75	-0,81	0,00	-200,74
S38/Edge 147	Prvek: 0	27,050 5,000 3,300	MSÚ-B	-0,08 0,15	-0,28 0,78	-0,83 -0,46	-0,29	0,00	-313,72
S38/Edge 147	Prvek: 0	27,050 5,000 3,300	MSÚ-B	-0,03 0,06	-0,09 0,50	-0,50 -0,17	-0,29	0,00	-172,30
S39/Edge 148	Prvek: 0	24,050 5,000 0,000	MSÚ-B	0,00 7,07	0,00 19,21	-18,10 -2,58	-8,93	0,00	-256,73
S39/Edge 148	Prvek: 0	24,050 5,000 0,000	MSÚ-B	-0,02 1,22	-0,03 1,76	-1,55 -0,79	0,84	0,00	-137,46
S39/Edge 149	Prvek: 0	23,050 5,000 0,000	MSÚ-B	-0,08 0,35	-1,77 5,35	-5,21 -2,29	-0,20	0,00	-300,54
S39/Edge 149	Prvek: 0	23,050 5,000 0,000	MSÚ-B	-0,22 0,16	-0,46 0,45	-0,65 -0,64	-0,43	0,00	-151,16
S39/Edge 150	Prvek: 0	23,050 5,000 3,300	MSÚ-B	-7,43 0,32	-14,92 0,68	-7,14 -12,94	-4,83	0,00	-235,11
S39/Edge 150	Prvek: 0	23,050 5,000 3,300	MSÚ-B	-0,69 0,77	0,00 2,94	-2,61 -1,41	-2,79	0,00	-123,40
S39/Edge 151	Prvek: 0	24,050 5,000 3,300	MSÚ-B	-0,21 0,37	-0,45 0,79	-1,06 -0,66	-4,50	0,00	-244,78
S39/Edge 151	Prvek: 0	24,050 5,000 3,300	MSÚ-B	-0,03 0,13	-0,15 0,44	-0,44 -0,27	-1,15	0,00	-141,10
S40/Edge 152	Prvek: 0	21,850 5,000 0,000	MSÚ-B	-0,08 1,28	-0,15 3,37	-3,31 -0,37	-10,84	0,00	-199,36
S40/Edge 152	Prvek: 0	21,850 5,000 0,000	MSÚ-B	0,00 0,96	0,00 3,80	-3,54 -0,72	-5,00	0,00	-124,07
S40/Edge 153	Prvek: 0	13,000 5,000 0,000	MSÚ-B	-0,01 0,02	0,00 0,07	-0,07 -0,04	-0,07	0,00	-329,35
S40/Edge 153	Prvek: 0	13,000 5,000 0,000	MSÚ-B	-0,01 0,02	0,00 0,06	-0,06 -0,03	0,01	0,00	-205,91
S40/Edge 154	Prvek: 0	13,000 5,000 3,300	MSÚ-B	-1,47 0,15	-2,50 0,14	-1,43 -2,19	-7,43	0,00	-177,17
S40/Edge 154	Prvek: 0	13,000 5,000 3,300	MSÚ-B	-0,27 0,50	-0,28 0,72	-0,84 -0,76	-3,94	0,00	-108,50
S40/Edge 155	Prvek: 0	21,850 5,000 3,300	MSÚ-B	-0,01 0,01	-0,02 0,01	-0,02 -0,04	-0,04	0,00	-317,10
S40/Edge 155	Prvek: 0	21,850 5,000 3,300	MSÚ-B	-0,11 0,09	-0,25 0,14	-0,27 -0,30	0,02	0,00	-186,71
S41/Edge 156	Prvek: 0	11,800 5,000 0,000	MSÚ-B	-0,11 2,32	0,00 6,98	-6,67 -0,84	-8,31	0,00	-251,93
S41/Edge 156	Prvek: 0	11,800 5,000 0,000	MSÚ-B	-0,01 0,93	0,00 1,08	-1,02 -0,58	0,32	0,00	-140,56

Jméno	Sit'	Pozice [m]	Stav	$m_{xD+}$ [kNm/m] $m_{xD-}$ [kNm/m]	$m_{yD+}$ [kNm/m] $m_{yD-}$ [kNm/m]	$m_{cD+}$ [kNm/m] $m_{cD-}$ [kNm/m]	$n_{xD}$ [kN/m]	$n_{yD}$ [kN/m]	$n_{cD}$ [kN/m]
S41/Edge 157	Prvek: 0	10,150 5,000 0,000	MSÚ-B	-0,05 0,18	-0,70 2,71	-2,68 -0,95	-0,18	0,00	-293,72
S41/Edge 157	Prvek: 0	10,150 5,000 0,000	MSÚ-B	-0,20 0,18	-0,31 0,49	-0,62 -0,55	-0,39	0,00	-143,75
S41/Edge 158	Prvek: 0	10,150 5,000 3,300	MSÚ-B	-2,43 0,26	-5,26 0,34	-2,93 -4,56	-3,23	0,00	-228,91
S41/Edge 158	Prvek: 0	10,150 5,000 3,300	MSÚ-B	-0,59 0,34	0,00 1,17	-1,10 -0,73	-1,59	0,00	-126,03
S41/Edge 159	Prvek: 0	11,800 5,000 3,300	MSÚ-B	-0,07 0,10	-0,21 0,28	-0,35 -0,29	-0,28	0,00	-321,96
S41/Edge 159	Prvek: 0	11,800 5,000 3,300	MSÚ-B	0,00 0,01	-0,04 0,10	-0,11 -0,05	-0,24	0,00	-193,86
S42/Edge 160	Prvek: 0	8,950 5,000 0,000	MSÚ-B	-0,05 0,16	-0,04 0,52	-0,50 -0,21	-10,58	0,00	-204,88
S42/Edge 160	Prvek: 0	8,950 5,000 0,000	MSÚ-B	0,00 0,44	0,00 1,60	-1,53 -0,15	-5,12	0,00	-127,63
S42/Edge 161	Prvek: 0	5,050 5,000 0,000	MSÚ-B	-0,10 0,37	-0,25 0,37	-0,48 -0,28	-1,57	0,00	-137,01
S42/Edge 161	Prvek: 0	5,050 5,000 0,000	MSÚ-B	-0,29 1,07	-0,28 0,56	-1,17 -0,69	3,04	0,00	-54,69
S42/Edge 162	Prvek: 0	5,050 5,000 3,300	MSÚ-B	-0,07 0,42	-0,41 0,34	-0,45 -0,53	-6,98	0,00	-183,40
S42/Edge 162	Prvek: 0	5,050 5,000 3,300	MSÚ-B	-0,72 0,20	-1,62 0,19	-0,96 -1,50	-4,11	0,00	-110,89
S42/Edge 163	Prvek: 0	8,950 5,000 3,300	MSÚ-B	-0,06 0,25	-0,11 2,30	-2,19 -0,50	0,01	0,00	-314,39
S42/Edge 163	Prvek: 0	8,950 5,000 3,300	MSÚ-B	-0,05 0,08	-0,08 0,27	-0,28 -0,20	0,07	0,00	-182,66
S45/Edge 164	Prvek: 0	5,050 9,750 0,000	MSÚ-B	-0,12 1,52	-0,10 4,04	-3,87 -0,64	-7,47	0,00	-202,95
S45/Edge 164	Prvek: 0	5,050 9,750 0,000	MSÚ-B	-0,01 0,46	-0,01 1,06	-1,09 -0,22	-1,76	0,00	-118,06
S45/Edge 165	Prvek: 0	5,050 14,350 0,000	MSÚ-B	-0,06 0,07	-0,28 0,30	-0,36 -0,34	0,20	0,00	-338,29
S45/Edge 165	Prvek: 0	5,050 14,350 0,000	MSÚ-B	0,00 0,01	-0,04 0,11	-0,11 -0,04	0,08	0,00	-203,70
S45/Edge 166	Prvek: 0	5,050 14,350 3,300	MSÚ-B	-1,31 0,34	-2,56 0,37	-1,73 -2,42	-4,30	0,00	-180,62
S45/Edge 166	Prvek: 0	5,050 14,350 3,300	MSÚ-B	-0,17 0,27	-0,13 0,67	-0,66 -0,42	-2,36	0,00	-102,78
S45/Edge 167	Prvek: 0	5,050 9,750 3,300	MSÚ-B	-0,03 0,07	-0,06 0,24	-0,24 -0,15	-0,98	0,00	-601,37
S45/Edge 167	Prvek: 0	5,050 9,750 3,300	MSÚ-B	0,00 0,02	0,00 0,13	-0,12 -0,03	-0,41	0,00	-332,23

Jméno	Sit'	Pozice [m]	Stav	$m_{xD+}$ [kNm/m] $m_{xD-}$ [kNm/m]	$m_{yD+}$ [kNm/m] $m_{yD-}$ [kNm/m]	$m_{cD+}$ [kNm/m] $m_{cD-}$ [kNm/m]	$n_{xD}$ [kN/m]	$n_{yD}$ [kN/m]	$n_{cD}$ [kN/m]
S46/Edge 168	Prvek: 0	5,050 15,550 0,000	MSÚ-B	-0,12 1,03	-0,17 2,61	-2,54 -0,47	-9,04	0,00	-200,79
S46/Edge 168	Prvek: 0	5,050 15,550 0,000	MSÚ-B	-0,02 0,54	-0,03 2,10	-2,06 -0,29	-3,93	0,00	-124,60
S46/Edge 169	Prvek: 0	5,050 23,200 0,000	MSÚ-B	0,00 0,01	-0,01 0,04	-0,04 -0,02	-0,03	0,00	-318,07
S46/Edge 169	Prvek: 0	5,050 23,200 0,000	MSÚ-B	-0,04 0,02	-0,14 0,02	-0,09 -0,12	0,04	0,00	-188,18
S46/Edge 170	Prvek: 0	5,050 23,200 3,300	MSÚ-B	-0,81 0,27	-1,49 0,34	-1,17 -1,46	-6,23	0,00	-178,88
S46/Edge 170	Prvek: 0	5,050 23,200 3,300	MSÚ-B	-0,14 0,28	-0,10 0,50	-0,52 -0,34	-3,40	0,00	-109,11
S46/Edge 171	Prvek: 0	5,050 15,550 3,300	MSÚ-B	-0,04 0,03	-0,12 0,07	-0,12 -0,14	-0,08	0,00	-341,07
S46/Edge 171	Prvek: 0	5,050 15,550 3,300	MSÚ-B	0,00 0,00	0,00 0,03	-0,03 -0,01	-0,01	0,00	-213,39
S47/Edge 172	Prvek: 0	5,050 24,400 0,000	MSÚ-B	-0,27 2,84	-0,13 7,55	-7,24 -1,11	-9,41	0,00	-250,44
S47/Edge 172	Prvek: 0	5,050 24,400 0,000	MSÚ-B	-0,01 0,76	-0,03 0,55	-0,77 -0,46	1,19	0,00	-139,04
S47/Edge 173	Prvek: 0	5,050 26,050 0,000	MSÚ-B	-0,09 0,08	-0,39 0,33	-0,44 -0,45	-0,09	0,00	-319,86
S47/Edge 173	Prvek: 0	5,050 26,050 0,000	MSÚ-B	-0,01 0,01	-0,07 0,13	-0,14 -0,08	-0,13	0,00	-190,41
S47/Edge 174	Prvek: 0	5,050 26,050 3,300	MSÚ-B	-2,88 0,46	-5,95 0,93	-3,57 -5,38	-2,87	0,00	-226,62
S47/Edge 174	Prvek: 0	5,050 26,050 3,300	MSÚ-B	-0,18 0,58	0,00 2,13	-1,91 -0,72	-1,44	0,00	-124,46
S47/Edge 175	Prvek: 0	5,050 24,400 3,300	MSÚ-B	-0,04 0,27	-0,84 3,51	-3,37 -1,28	-0,42	0,00	-296,01
S47/Edge 175	Prvek: 0	5,050 24,400 3,300	MSÚ-B	-0,14 0,12	-0,24 0,16	-0,34 -0,32	-0,52	0,00	-150,21
S48/Edge 176	Prvek: 0	5,050 27,250 0,000	MSÚ-B	-0,11 0,59	-0,41 1,69	-1,73 -0,74	-6,51	0,00	-207,02
S48/Edge 176	Prvek: 0	5,050 27,250 0,000	MSÚ-B	-0,13 0,16	-0,84 0,89	-1,04 -0,86	-3,48	0,00	-125,44
S48/Edge 177	Prvek: 0	5,050 31,150 0,000	MSÚ-B	0,00 0,90	-0,31 1,91	-2,03 -0,90	-0,67	0,00	-267,93
S48/Edge 177	Prvek: 0	5,050 31,150 0,000	MSÚ-B	-0,01 0,37	-0,05 1,00	-0,94 -0,29	0,06	0,00	-161,21
S48/Edge 178	Prvek: 0	5,050 31,150 3,300	MSÚ-B	-0,47 0,75	-0,90 1,25	-1,70 -1,63	-6,36	0,00	-186,25
S48/Edge 178	Prvek: 0	5,050 31,150 3,300	MSÚ-B	-0,23 0,80	-0,16 1,14	-1,22 -1,05	-2,55	0,00	-109,98

Jméno	Sit'	Pozice [m]	Stav	$m_{xD+}$ [kNm/m] $m_{xD-}$ [kNm/m]	$m_{yD+}$ [kNm/m] $m_{yD-}$ [kNm/m]	$m_{cD+}$ [kNm/m] $m_{cD-}$ [kNm/m]	$n_{xD}$ [kN/m]	$n_{yD}$ [kN/m]	$n_{cD}$ [kN/m]
S48/Edge 179	Prvek: 0	5,050 27,250 3,300	MSÚ-B	-0,03 0,02	-0,20 0,09	-0,12 -0,21	-0,04	0,00	-329,81
S48/Edge 179	Prvek: 0	5,050 27,250 3,300	MSÚ-B	0,00 0,01	-0,01 0,07	-0,07 -0,02	0,03	0,00	-204,70
S49/Edge 180	Prvek: 0	0,000 25,250 0,000	MSÚ-B	0,00 0,97	0,00 3,44	-3,23 -0,46	-20,55	0,00	-106,47
S49/Edge 180	Prvek: 0	0,000 25,250 0,000	MSÚ-B	0,00 1,36	0,00 4,58	-4,20 -0,83	-7,99	0,00	-48,65
S49/Edge 181	Prvek: 0	5,050 25,250 0,000	MSÚ-B	-0,06 0,29	-0,16 0,65	-0,66 -0,23	-4,79	0,00	-196,49
S49/Edge 181	Prvek: 0	5,050 25,250 0,000	MSÚ-B	-1,01 0,99	-1,42 2,94	-2,96 -1,77	0,64	0,00	-120,59
S49/Edge 182	Prvek: 0	5,050 25,250 3,300	MSÚ-B	-1,08 0,22	-2,08 0,12	-1,40 -1,89	-12,80	0,00	-86,33
S49/Edge 182	Prvek: 0	5,050 25,250 3,300	MSÚ-B	-1,15 0,73	-2,15 0,41	-2,00 -2,33	-7,66	-0,81	-33,33
S49/Edge 183	Prvek: 0	0,000 25,250 3,300	MSÚ-B	-0,80 0,80	-2,01 2,06	-2,43 -1,99	-7,04	0,00	-109,66
S49/Edge 183	Prvek: 0	0,000 25,250 3,300	MSÚ-B	-0,19 0,51	-0,44 1,05	-1,08 -0,58	4,19	-0,14	-17,07
S50/Edge 184	Prvek: 0	0,000 19,350 0,000	MSÚ-B	0,00 0,96	0,00 3,52	-3,30 -0,48	-15,81	0,00	-110,99
S50/Edge 184	Prvek: 0	0,000 19,350 0,000	MSÚ-B	0,00 1,12	0,00 3,97	-3,62 -0,81	-4,58	0,00	-53,75
S50/Edge 185	Prvek: 0	5,050 19,350 0,000	MSÚ-B	-0,09 0,27	-0,19 0,64	-0,66 -0,26	-6,38	0,00	-154,64
S50/Edge 185	Prvek: 0	5,050 19,350 0,000	MSÚ-B	-1,54 1,29	-2,68 3,70	-3,85 -2,99	0,65	0,00	-94,16
S50/Edge 186	Prvek: 0	5,050 19,350 3,300	MSÚ-B	-1,19 0,16	-2,13 0,11	-1,43 -1,93	-14,68	0,00	-90,76
S50/Edge 186	Prvek: 0	5,050 19,350 3,300	MSÚ-B	-1,20 0,61	-2,10 0,37	-1,92 -2,24	-7,96	-0,79	-39,72
S50/Edge 187	Prvek: 0	0,000 19,350 3,300	MSÚ-B	-0,79 0,67	-1,94 2,00	-2,37 -1,89	-5,24	0,00	-214,12
S50/Edge 187	Prvek: 0	0,000 19,350 3,300	MSÚ-B	-0,26 0,18	-0,45 0,44	-0,51 -0,49	1,81	0,00	-82,12
S51/Edge 188	Prvek: 0	0,000 13,450 0,000	MSÚ-B	0,00 0,89	0,00 3,23	-3,03 -0,43	-18,69	0,00	-97,74
S51/Edge 188	Prvek: 0	0,000 13,450 0,000	MSÚ-B	0,00 1,23	0,00 3,98	-3,64 -0,77	-6,78	0,00	-45,38
S51/Edge 189	Prvek: 0	5,050 13,450 0,000	MSÚ-B	0,00 0,57	0,00 1,03	-1,02 -0,23	-5,25	0,00	-169,96
S51/Edge 189	Prvek: 0	5,050 13,450 0,000	MSÚ-B	-0,51 0,13	-1,22 0,30	-0,75 -1,07	0,61	0,00	-102,87

Jméno	Sít'	Pozice [m]	Stav	$m_{xD+}$ [kNm/m] $m_{xD-}$ [kNm/m]	$m_{yD+}$ [kNm/m] $m_{yD-}$ [kNm/m]	$m_{cD+}$ [kNm/m] $m_{cD-}$ [kNm/m]	$n_{xD}$ [kN/m]	$n_{yD}$ [kN/m]	$n_{cD}$ [kN/m]
S51/Edge 190	Prvek: 0	5,050 13,450 3,300	MSÚ-B	-0,84 0,24	-1,63 0,19	-1,14 -1,47	-11,31	0,00	-77,52
S51/Edge 190	Prvek: 0	5,050 13,450 3,300	MSÚ-B	-1,36 0,67	-2,75 0,42	-2,14 -2,78	-6,26	-0,56	-30,82
S51/Edge 191	Prvek: 0	0,000 13,450 3,300	MSÚ-B	-0,72 0,75	-1,79 2,00	-2,33 -1,77	-6,41	0,00	-92,78
S51/Edge 191	Prvek: 0	0,000 13,450 3,300	MSÚ-B	-0,08 0,52	-0,33 1,07	-1,10 -0,55	3,14	-0,01	-12,52
S52/Edge 192	Prvek: 0	0,000 31,150 0,000	MSÚ-B	-0,89 0,01	-0,64 0,28	-0,67 -0,77	0,33	0,00	-303,31
S52/Edge 192	Prvek: 0	0,000 31,150 0,000	MSÚ-B	-0,68 3,74	-0,39 14,91	-14,78 -1,90	5,50	3,57	-139,35
S52/Edge 193	Prvek: 0	0,000 30,450 0,000	MSÚ-B	-0,06 0,04	-0,17 0,14	-0,21 -0,20	-0,76	0,00	-503,86
S52/Edge 193	Prvek: 0	0,000 30,450 0,000	MSÚ-B	-0,23 0,09	-0,74 0,10	-0,36 -0,79	-0,90	0,00	-253,87
S52/Edge 194	Prvek: 0	0,000 30,450 3,300	MSÚ-B	-1,23 0,68	-0,83 1,19	-1,88 -1,95	-1,95	0,00	-284,21
S52/Edge 194	Prvek: 0	0,000 30,450 3,300	MSÚ-B	-7,60 0,00	-16,53 0,01	-9,74 -14,01	-0,73	0,00	-123,57
S52/Edge 195	Prvek: 0	0,000 31,150 3,300	MSÚ-B	-0,73 0,73	-0,78 0,19	-0,84 -1,21	-1,51	0,00	-157,12
S52/Edge 195	Prvek: 0	0,000 31,150 3,300	MSÚ-B	-0,67 1,24	-4,95 6,42	-7,39 -4,93	0,63	0,25	-13,35
S54/Edge 196	Prvek: 0	0,000 28,250 0,000	MSÚ-B	-0,05 0,38	-0,19 1,57	-1,62 -0,35	-5,73	0,00	-196,98
S54/Edge 196	Prvek: 0	0,000 28,250 0,000	MSÚ-B	-0,10 2,91	-0,25 7,96	-7,53 -1,36	-1,03	0,65	-113,44
S54/Edge 197	Prvek: 0	0,000 22,250 0,000	MSÚ-B	-0,02 0,01	-0,07 0,02	-0,05 -0,06	-1,31	0,00	-525,26
S54/Edge 197	Prvek: 0	0,000 22,250 0,000	MSÚ-B	0,00 0,00	-0,01 0,05	-0,05 -0,01	-0,72	0,00	-325,38
S54/Edge 198	Prvek: 0	0,000 22,250 3,300	MSÚ-B	-0,38 0,03	-0,84 0,00	-0,29 -0,76	-3,86	0,00	-175,16
S54/Edge 198	Prvek: 0	0,000 22,250 3,300	MSÚ-B	-1,98 0,82	-4,76 0,07	-3,08 -4,28	-1,93	0,00	-97,68
S54/Edge 199	Prvek: 0	0,000 28,250 3,300	MSÚ-B	-0,17 0,33	-0,44 3,43	-3,41 -0,91	-1,40	0,00	-552,24
S54/Edge 199	Prvek: 0	0,000 28,250 3,300	MSÚ-B	-0,05 0,00	-0,28 0,00	-0,07 -0,25	-0,67	0,00	-320,80
S55/Edge 200	Prvek: 0	0,000 20,050 0,000	MSÚ-B	-0,15 0,28	-0,63 0,00	-0,42 -0,58	-7,78	0,00	-313,50
S55/Edge 200	Prvek: 0	0,000 20,050 0,000	MSÚ-B	-0,07 6,57	-0,04 18,87	-17,94 -2,33	4,42	0,00	-141,75

Jméno	Sit'	Pozice [m]	Stav	$m_{xD+}$ [kNm/m] $m_{xD-}$ [kNm/m]	$m_{yD+}$ [kNm/m] $m_{yD-}$ [kNm/m]	$m_{cD+}$ [kNm/m] $m_{cD-}$ [kNm/m]	$n_{xD}$ [kN/m]	$n_{yD}$ [kN/m]	$n_{cD}$ [kN/m]
S55/Edge 201	Prvek: 0	0,000 18,700 0,000	MSÚ-B	-0,03 0,02	-0,25 0,18	-0,20 -0,26	-2,59	0,00	-426,37
S55/Edge 201	Prvek: 0	0,000 18,700 0,000	MSÚ-B	-0,15 0,07	-0,36 0,14	-0,32 -0,40	-1,92	0,00	-218,53
S55/Edge 202	Prvek: 0	0,000 18,700 3,300	MSÚ-B	-1,19 0,01	-3,31 0,00	-0,75 -3,00	-3,76	0,00	-290,45
S55/Edge 202	Prvek: 0	0,000 18,700 3,300	MSÚ-B	-5,40 0,34	-17,68 0,00	-7,14 -15,03	-1,80	0,00	-128,64
S55/Edge 203	Prvek: 0	0,000 20,050 3,300	MSÚ-B	-0,05 0,06	-0,31 0,24	-0,27 -0,38	-1,06	0,00	-478,81
S55/Edge 203	Prvek: 0	0,000 20,050 3,300	MSÚ-B	-0,25 0,53	-2,08 6,09	-6,24 -2,67	-0,66	0,00	-251,29
S56/Edge 204	Prvek: 0	0,000 16,500 0,000	MSÚ-B	-0,04 0,30	-0,12 1,30	-1,36 -0,23	-5,28	0,00	-176,60
S56/Edge 204	Prvek: 0	0,000 16,500 0,000	MSÚ-B	-0,08 2,61	-0,17 7,42	-6,97 -1,29	-1,07	0,44	-99,19
S56/Edge 205	Prvek: 0	0,000 9,950 0,000	MSÚ-B	-0,04 0,02	-0,18 0,04	-0,11 -0,18	-1,66	0,00	-654,40
S56/Edge 205	Prvek: 0	0,000 9,950 0,000	MSÚ-B	-0,17 0,33	-0,69 4,47	-4,47 -1,14	-0,67	0,00	-351,67
S56/Edge 206	Prvek: 0	0,000 9,950 3,300	MSÚ-B	-0,30 0,05	-0,63 0,01	-0,25 -0,58	-3,34	0,00	-154,78
S56/Edge 206	Prvek: 0	0,000 9,950 3,300	MSÚ-B	-1,93 0,54	-4,38 0,07	-2,71 -3,90	-1,55	-0,07	-83,36
S56/Edge 207	Prvek: 0	0,000 16,500 3,300	MSÚ-B	0,00 0,00	-0,02 0,09	-0,09 -0,02	-1,35	0,00	-508,15
S56/Edge 207	Prvek: 0	0,000 16,500 3,300	MSÚ-B	-0,02 0,01	-0,08 0,02	-0,05 -0,08	-0,68	0,00	-303,71
S57/Edge 208	Prvek: 0	0,000 31,150 0,000	MSÚ-B	-0,13 0,66	0,00 3,00	-2,74 -0,60	-3,65	0,00	-113,80
S57/Edge 208	Prvek: 0	0,000 31,150 0,000	MSÚ-B	-0,41 0,78	0,00 4,55	-4,38 -0,82	-4,42	0,00	-65,95
S57/Edge 209	Prvek: 0	2,200 31,150 0,000	MSÚ-B	-0,02 0,03	-0,17 0,14	-0,15 -0,20	0,05	0,00	-80,14
S57/Edge 209	Prvek: 0	2,200 31,150 0,000	MSÚ-B	-0,10 0,09	-0,35 0,58	-0,62 -0,47	0,13	0,00	-48,62
S57/Edge 210	Prvek: 0	2,200 31,150 3,300	MSÚ-B	-4,14 0,28	-6,36 0,33	-4,92 -6,02	-2,50	0,00	-92,97
S57/Edge 210	Prvek: 0	2,200 31,150 3,300	MSÚ-B	-2,93 0,47	-3,99 0,29	-3,57 -3,89	-1,14	0,00	-48,83
S57/Edge 211	Prvek: 0	0,000 31,150 3,300	MSÚ-B	-1,28 0,84	-4,08 3,60	-4,52 -3,91	-0,41	0,00	-159,11
S57/Edge 211	Prvek: 0	0,000 31,150 3,300	MSÚ-B	-1,59 0,02	-2,46 0,49	-1,43 -2,95	1,32	0,00	-15,71



Jméno	Sit'	Pozice [m]	Stav	$m_{xD+}$ [kNm/m] $m_{xD-}$ [kNm/m]	$m_{yD+}$ [kNm/m] $m_{yD-}$ [kNm/m]	$m_{cD+}$ [kNm/m] $m_{cD-}$ [kNm/m]	$n_{xD}$ [kN/m]	$n_{yD}$ [kN/m]	$n_{cD}$ [kN/m]
S58/Edge 212	Prvek: 0	4,200 31,150 0,000	MSÚ-B	0,00 2,49	0,00 8,11	-7,49 -1,43	-8,67	0,00	-191,02
S58/Edge 212	Prvek: 0	4,200 31,150 0,000	MSÚ-B	-0,07 2,78	-0,28 2,71	-2,60 -1,95	2,92	0,00	-77,76
S58/Edge 213	Prvek: 0	5,050 31,150 0,000	MSÚ-B	-0,16 0,78	-1,20 2,83	-3,07 -1,49	-1,23	0,00	-269,19
S58/Edge 213	Prvek: 0	5,050 31,150 0,000	MSÚ-B	0,00 0,49	0,00 0,61	-0,55 -0,22	0,17	0,00	-160,60
S58/Edge 214	Prvek: 0	5,050 31,150 3,300	MSÚ-B	-1,91 0,01	-5,18 0,00	-2,68 -4,35	-2,89	0,00	-167,89
S58/Edge 214	Prvek: 0	5,050 31,150 3,300	MSÚ-B	-0,06 0,53	-0,59 0,39	-0,85 -0,58	-1,42	0,00	-62,15
S58/Edge 215	Prvek: 0	4,200 31,150 3,300	MSÚ-B	-0,09 0,15	-0,63 2,48	-2,52 -0,80	-0,43	0,00	-118,17
S58/Edge 215	Prvek: 0	4,200 31,150 3,300	MSÚ-B	-0,25 0,33	-0,26 0,87	-1,00 -0,70	-0,64	0,00	-13,40
S59/Edge 216	Prvek: 0	7,593 31,150 0,000	MSÚ-B	-0,63 1,70	-0,38 4,39	-4,34 -1,48	-11,75	0,00	-187,26
S59/Edge 216	Prvek: 0	7,593 31,150 0,000	MSÚ-B	-0,08 0,08	-0,11 0,14	-0,19 -0,19	-5,67	0,00	-109,30
S59/Edge 217	Prvek: 0	8,593 31,150 0,000	MSÚ-B	-0,20 0,17	-0,44 0,41	-0,60 -0,61	-0,01	0,00	-134,86
S59/Edge 217	Prvek: 0	8,593 31,150 0,000	MSÚ-B	-0,01 0,03	-0,03 0,20	-0,20 -0,08	-0,32	0,00	-70,27
S59/Edge 218	Prvek: 0	8,593 31,150 3,300	MSÚ-B	-1,59 0,11	-3,59 0,12	-2,22 -3,13	-4,80	0,00	-165,25
S59/Edge 218	Prvek: 0	8,593 31,150 3,300	MSÚ-B	-0,07 0,73	-0,13 1,54	-1,37 -0,99	-2,25	0,00	-91,27
S59/Edge 219	Prvek: 0	7,593 31,150 3,300	MSÚ-B	-0,15 0,23	-1,23 2,75	-2,79 -1,39	1,20	0,00	-268,65
S59/Edge 219	Prvek: 0	7,593 31,150 3,300	MSÚ-B	-0,11 0,29	-0,22 0,50	-0,61 -0,42	-0,17	0,00	-138,98
S60/Edge 220	Prvek: 0	10,593 31,150 0,000	MSÚ-B	0,00 1,80	0,00 7,11	-6,65 -1,01	-3,39	0,00	-109,31
S60/Edge 220	Prvek: 0	10,593 31,150 0,000	MSÚ-B	0,00 0,76	-0,04 1,37	-1,24 -0,46	0,41	0,00	-51,04
S60/Edge 221	Prvek: 0	12,650 31,150 0,000	MSÚ-B	-0,79 1,08	-1,53 0,99	-1,59 -1,70	-3,50	0,00	-178,07
S60/Edge 221	Prvek: 0	12,650 31,150 0,000	MSÚ-B	-0,49 0,10	-1,55 0,29	-0,64 -1,48	0,02	0,00	-84,74
S60/Edge 222	Prvek: 0	12,650 31,150 3,300	MSÚ-B	-4,35 0,77	-7,38 0,26	-5,58 -6,84	-1,89	0,00	-88,52
S60/Edge 222	Prvek: 0	12,650 31,150 3,300	MSÚ-B	-0,95 0,57	-2,06 0,31	-1,67 -2,09	0,07	0,00	-35,72

Jméno	Sit'	Pozice [m]	Stav	$m_{xD+}$ [kNm/m] $m_{xD-}$ [kNm/m]	$m_{yD+}$ [kNm/m] $m_{yD-}$ [kNm/m]	$m_{cD+}$ [kNm/m] $m_{cD-}$ [kNm/m]	$n_{xD}$ [kN/m]	$n_{yD}$ [kN/m]	$n_{cD}$ [kN/m]
S60/Edge 223	Prvek: 0	10,593 31,150 3,300	MSÚ-B	-0,03 0,05	-0,22 0,19	-0,24 -0,25	-0,01	0,00	-80,84
S60/Edge 223	Prvek: 0	10,593 31,150 3,300	MSÚ-B	-0,15 0,24	-0,58 4,02	-4,09 -0,83	0,00	0,00	-49,52
S61/Edge 224	Prvek: 0	7,600 15,550 0,000	MSÚ-B	-0,04 0,39	-0,06 1,47	-1,48 -0,29	-8,22	0,00	-198,01
S61/Edge 224	Prvek: 0	7,600 15,550 0,000	MSÚ-B	-0,24 1,53	-0,34 4,10	-3,97 -0,93	-3,12	0,00	-120,07
S61/Edge 225	Prvek: 0	7,600 23,200 0,000	MSÚ-B	-0,01 0,01	-0,03 0,08	-0,08 -0,04	-0,03	0,00	-318,68
S61/Edge 225	Prvek: 0	7,600 23,200 0,000	MSÚ-B	-0,05 0,02	-0,19 0,01	-0,08 -0,18	0,04	0,00	-187,44
S61/Edge 226	Prvek: 0	7,600 23,200 3,300	MSÚ-B	-0,24 0,11	-0,61 0,07	-0,29 -0,60	-6,44	0,00	-176,48
S61/Edge 226	Prvek: 0	7,600 23,200 3,300	MSÚ-B	-1,83 0,24	-3,54 0,08	-1,93 -3,20	-3,39	0,00	-105,05
S61/Edge 227	Prvek: 0	7,600 15,550 3,300	MSÚ-B	-0,01 0,02	-0,02 0,08	-0,08 -0,04	-0,34	0,00	-290,48
S61/Edge 227	Prvek: 0	7,600 15,550 3,300	MSÚ-B	-0,01 0,01	-0,01 0,09	-0,09 -0,03	-0,23	0,00	-171,17
S62/Edge 228	Prvek: 0	7,600 24,400 0,000	MSÚ-B	-0,11 0,35	-0,44 0,00	-0,43 -0,45	-7,02	0,00	-245,50
S62/Edge 228	Prvek: 0	7,600 24,400 0,000	MSÚ-B	-0,76 4,34	-0,71 11,39	-11,37 -1,84	4,99	0,00	-128,10
S62/Edge 229	Prvek: 0	7,600 26,050 0,000	MSÚ-B	-0,05 0,06	-0,30 0,21	-0,26 -0,37	-0,08	0,00	-320,90
S62/Edge 229	Prvek: 0	7,600 26,050 0,000	MSÚ-B	-0,12 0,47	-1,89 6,06	-5,89 -2,59	-0,10	0,00	-181,56
S62/Edge 230	Prvek: 0	7,600 26,050 3,300	MSÚ-B	-0,87 0,01	-2,46 0,00	-0,59 -2,22	-2,99	0,00	-222,78
S62/Edge 230	Prvek: 0	7,600 26,050 3,300	MSÚ-B	-6,56 0,00	-14,38 0,00	-5,63 -12,29	-1,60	0,00	-115,53
S62/Edge 231	Prvek: 0	7,600 24,400 3,300	MSÚ-B	-0,01 0,01	-0,17 0,14	-0,15 -0,17	-0,38	0,00	-293,97
S62/Edge 231	Prvek: 0	7,600 24,400 3,300	MSÚ-B	-0,12 0,06	-0,42 0,16	-0,32 -0,44	-0,54	0,00	-148,38
S63/Edge 232	Prvek: 0	7,600 27,250 0,000	MSÚ-B	-0,13 0,43	-0,12 2,39	-2,32 -0,37	-6,32	0,00	-206,55
S63/Edge 232	Prvek: 0	7,600 27,250 0,000	MSÚ-B	-0,27 1,38	-0,51 3,78	-3,54 -1,36	-2,47	0,00	-122,76
S63/Edge 233	Prvek: 0	7,600 31,150 0,000	MSÚ-B	-0,97 0,02	-1,74 0,00	-0,54 -1,80	-0,53	0,00	-264,31
S63/Edge 233	Prvek: 0	7,600 31,150 0,000	MSÚ-B	-2,60 2,16	-6,84 6,85	-8,16 -7,17	0,69	0,00	-139,30

Jméno	Sit'	Pozice [m]	Stav	$m_{xD+}$ [kNm/m] $m_{xD-}$ [kNm/m]	$m_{yD+}$ [kNm/m] $m_{yD-}$ [kNm/m]	$m_{cD+}$ [kNm/m] $m_{cD-}$ [kNm/m]	$n_{xD}$ [kN/m]	$n_{yD}$ [kN/m]	$n_{cD}$ [kN/m]
S63/Edge 234	Prvek: 0	7,600 31,150 3,300	MSÚ-B	-0,93 0,46	-1,38 0,29	-1,47 -1,58	-6,44	0,00	-185,83
S63/Edge 234	Prvek: 0	7,600 31,150 3,300	MSÚ-B	-2,47 0,11	-4,74 0,23	-2,75 -4,29	-2,41	0,00	-107,62
S63/Edge 235	Prvek: 0	7,600 27,250 3,300	MSÚ-B	-0,03 0,01	-0,17 0,04	-0,09 -0,16	-0,04	0,00	-329,98
S63/Edge 235	Prvek: 0	7,600 27,250 3,300	MSÚ-B	-0,12 0,47	-0,35 4,99	-4,82 -1,04	0,04	0,00	-203,67
S67/Edge 236	Prvek: 0	7,600 13,450 0,000	MSÚ-B	-0,22 0,46	-1,22 0,00	-0,83 -1,07	-8,67	0,00	-351,56
S67/Edge 236	Prvek: 0	7,600 13,450 0,000	MSÚ-B	0,00 6,41	0,00 18,43	-17,12 -3,04	0,98	0,00	-205,42
S67/Edge 237	Prvek: 0	7,600 14,350 0,000	MSÚ-B	-0,04 0,06	-0,25 0,30	-0,33 -0,31	-0,12	0,00	-351,36
S67/Edge 237	Prvek: 0	7,600 14,350 0,000	MSÚ-B	-0,09 0,34	-1,48 5,29	-5,17 -1,98	-0,04	0,00	-213,27
S67/Edge 238	Prvek: 0	7,600 14,350 3,300	MSÚ-B	-0,94 0,08	-3,42 0,00	-0,71 -3,14	-3,47	0,00	-328,88
S67/Edge 238	Prvek: 0	7,600 14,350 3,300	MSÚ-B	-8,57 0,03	-16,29 0,00	-8,30 -13,66	-2,10	0,00	-191,64
S67/Edge 239	Prvek: 0	7,600 13,450 3,300	MSÚ-B	-0,19 0,38	-0,76 0,38	-0,64 -0,77	0,07	0,00	-340,91
S67/Edge 239	Prvek: 0	7,600 13,450 3,300	MSÚ-B	-0,85 1,51	-0,50 3,18	-3,69 -1,42	1,68	0,00	-194,78
S68/Edge 240	Prvek: 0	7,600 12,450 0,000	MSÚ-B	-0,02 0,26	0,00 1,10	-1,00 -0,27	-0,86	0,00	-101,04
S68/Edge 240	Prvek: 0	7,600 12,450 0,000	MSÚ-B	-0,17 0,02	-0,26 0,07	-0,24 -0,24	-0,50	0,00	-51,56
S68/Edge 241	Prvek: 0	7,600 10,550 0,000	MSÚ-B	0,00 0,05	-0,09 0,17	-0,16 -0,15	-0,28	0,00	-128,32
S68/Edge 241	Prvek: 0	7,600 10,550 0,000	MSÚ-B	0,00 0,01	-0,04 0,04	-0,04 -0,04	-0,07	0,00	-67,37
S68/Edge 242	Prvek: 0	7,600 10,550 3,300	MSÚ-B	-0,20 0,09	-0,57 0,00	-0,35 -0,49	-0,58	0,00	-79,77
S68/Edge 242	Prvek: 0	7,600 10,550 3,300	MSÚ-B	-0,18 0,02	-0,19 0,02	-0,17 -0,20	0,03	0,00	-35,76
S68/Edge 243	Prvek: 0	7,600 12,450 3,300	MSÚ-B	-0,05 0,02	-0,26 0,11	-0,17 -0,26	-0,65	0,00	-188,98
S68/Edge 243	Prvek: 0	7,600 12,450 3,300	MSÚ-B	-0,07 0,01	-0,26 0,01	-0,11 -0,24	-0,30	0,00	-75,85
S70/Edge 244	Prvek: 0	12,650 16,500 0,000	MSÚ-B	-0,08 1,57	-0,14 4,29	-4,09 -0,66	-7,38	0,00	-194,78
S70/Edge 244	Prvek: 0	12,650 16,500 0,000	MSÚ-B	-0,01 0,78	-0,02 2,75	-2,63 -0,50	-2,33	0,00	-110,49

Jméno	Sit'	Pozice [m]	Stav	$m_{xD+}$ [kNm/m] $m_{xD-}$ [kNm/m]	$m_{yD+}$ [kNm/m] $m_{yD-}$ [kNm/m]	$m_{cD+}$ [kNm/m] $m_{cD-}$ [kNm/m]	$n_{xD}$ [kN/m]	$n_{yD}$ [kN/m]	$n_{cD}$ [kN/m]
S70/Edge 245	Prvek: 0	12,650 9,950 0,000	MSÚ-B	-0,05 0,09	-0,08 0,36	-0,36 -0,21	-0,71	0,00	-418,89
S70/Edge 245	Prvek: 0	12,650 9,950 0,000	MSÚ-B	-0,16 0,34	-0,61 4,42	-4,40 -1,06	-0,25	0,00	-225,17
S70/Edge 246	Prvek: 0	12,650 9,950 3,300	MSÚ-B	-1,34 0,37	-2,82 0,28	-1,95 -2,64	-4,98	0,00	-172,95
S70/Edge 246	Prvek: 0	12,650 9,950 3,300	MSÚ-B	-0,41 0,15	-0,64 0,28	-0,60 -0,74	-2,56	0,00	-95,11
S70/Edge 247	Prvek: 0	12,650 16,500 3,300	MSÚ-B	-0,09 0,27	-0,20 3,06	-2,97 -0,60	-1,36	0,00	-511,41
S70/Edge 247	Prvek: 0	12,650 16,500 3,300	MSÚ-B	-0,06 0,04	-0,16 0,03	-0,12 -0,15	-0,63	0,00	-297,27
S71/Edge 248	Prvek: 0	12,650 20,050 0,000	MSÚ-B	-0,11 4,56	-0,01 12,60	-11,97 -1,60	-13,14	0,00	-340,73
S71/Edge 248	Prvek: 0	12,650 20,050 0,000	MSÚ-B	-0,03 1,12	-0,07 0,92	-1,16 -0,76	2,06	0,00	-173,80
S71/Edge 249	Prvek: 0	12,650 18,700 0,000	MSÚ-B	-0,09 0,33	-0,97 3,56	-3,48 -1,43	-2,52	0,00	-458,24
S71/Edge 249	Prvek: 0	12,650 18,700 0,000	MSÚ-B	-0,18 0,19	-0,30 0,37	-0,55 -0,49	-2,04	0,00	-198,63
S71/Edge 250	Prvek: 0	12,650 18,700 3,300	MSÚ-B	-1,89 0,24	-5,37 0,17	-2,77 -4,55	-4,22	0,00	-315,26
S71/Edge 250	Prvek: 0	12,650 18,700 3,300	MSÚ-B	-0,12 0,86	0,00 2,56	-2,27 -0,89	-2,48	0,00	-159,39
S71/Edge 251	Prvek: 0	12,650 20,050 3,300	MSÚ-B	-0,11 0,12	-0,38 0,38	-0,51 -0,47	-1,02	0,00	-485,54
S71/Edge 251	Prvek: 0	12,650 20,050 3,300	MSÚ-B	-0,01 0,02	-0,08 0,15	-0,16 -0,09	-0,71	0,00	-280,31
S72/Edge 252	Prvek: 0	12,650 28,250 0,000	MSÚ-B	-0,12 2,22	-0,20 5,97	-5,80 -0,77	-7,45	0,00	-205,39
S72/Edge 252	Prvek: 0	12,650 28,250 0,000	MSÚ-B	-0,04 0,76	-0,10 2,67	-2,64 -0,50	-2,02	0,00	-120,62
S72/Edge 253	Prvek: 0	12,650 22,250 0,000	MSÚ-B	-0,03 0,01	-0,11 0,03	-0,08 -0,10	-1,31	0,00	-527,12
S72/Edge 253	Prvek: 0	12,650 22,250 0,000	MSÚ-B	-0,13 0,36	-0,36 5,22	-5,11 -0,88	-0,72	0,00	-323,22
S72/Edge 254	Prvek: 0	12,650 22,250 3,300	MSÚ-B	-1,66 0,39	-3,45 0,20	-2,26 -3,17	-4,30	0,00	-183,47
S72/Edge 254	Prvek: 0	12,650 22,250 3,300	MSÚ-B	-0,35 0,15	-0,48 0,43	-0,61 -0,63	-1,99	0,00	-105,13
S72/Edge 255	Prvek: 0	12,650 28,250 3,300	MSÚ-B	0,00 0,01	0,00 0,04	-0,04 -0,02	-1,40	0,00	-553,51
S72/Edge 255	Prvek: 0	12,650 28,250 3,300	MSÚ-B	-0,06 0,04	-0,36 0,10	-0,19 -0,37	-0,62	0,00	-313,00

Jméno	Sit'	Pozice [m]	Stav	$m_{xD+}$ [kNm/m] $m_{xD-}$ [kNm/m]	$m_{yD+}$ [kNm/m] $m_{yD-}$ [kNm/m]	$m_{cD+}$ [kNm/m] $m_{cD-}$ [kNm/m]	$n_{xD}$ [kN/m]	$n_{yD}$ [kN/m]	$n_{cD}$ [kN/m]
S73/Edge 256	Prvek: 0	12,650 31,150 0,000	MSÚ-B	0,00 3,90	0,00 13,96	-13,30 -1,49	-6,79	0,00	-335,44
S73/Edge 256	Prvek: 0	12,650 31,150 0,000	MSÚ-B	-0,20 0,72	-1,81 0,00	-1,13 -1,58	0,45	0,00	-156,57
S73/Edge 257	Prvek: 0	12,650 30,450 0,000	MSÚ-B	-0,07 0,24	-1,43 3,71	-3,65 -1,76	-0,80	0,00	-524,23
S73/Edge 257	Prvek: 0	12,650 30,450 0,000	MSÚ-B	-0,14 0,13	-0,44 0,58	-0,72 -0,54	-1,03	0,00	-228,58
S73/Edge 258	Prvek: 0	12,650 30,450 3,300	MSÚ-B	-6,11 0,00	-15,47 0,00	-6,92 -13,02	-2,41	0,00	-311,39
S73/Edge 258	Prvek: 0	12,650 30,450 3,300	MSÚ-B	-0,29 1,34	-0,38 1,54	-1,75 -1,56	-0,93	0,00	-142,40
S73/Edge 259	Prvek: 0	12,650 31,150 3,300	MSÚ-B	-1,19 1,09	-4,54 6,22	-6,83 -4,49	-1,12	0,00	-178,15
S73/Edge 259	Prvek: 0	12,650 31,150 3,300	MSÚ-B	-0,30 0,09	-0,08 0,18	-0,29 -0,37	-0,43	0,00	-84,05
S74/Edge 260	Prvek: 0	12,650 8,050 0,000	MSÚ-B	-1,16 0,02	-2,63 0,00	-0,71 -2,37	-6,91	0,00	-375,08
S74/Edge 260	Prvek: 0	12,650 8,050 0,000	MSÚ-B	-0,09 4,93	-0,34 13,81	-12,50 -3,46	-0,66	0,00	-211,15
S74/Edge 261	Prvek: 0	12,650 7,550 0,000	MSÚ-B	-0,48 0,38	-1,99 2,90	-3,13 -1,96	-0,36	0,00	-248,27
S74/Edge 261	Prvek: 0	12,650 7,550 0,000	MSÚ-B	-0,72 0,91	-0,38 2,36	-2,21 -1,41	1,97	0,00	-132,71
S74/Edge 262	Prvek: 0	12,650 7,550 3,300	MSÚ-B	-0,91 2,53	-2,76 3,71	-4,18 -4,07	-2,15	0,00	-354,69
S74/Edge 262	Prvek: 0	12,650 7,550 3,300	MSÚ-B	-4,33 0,80	-12,71 1,28	-5,62 -11,73	-1,17	0,00	-192,19
S74/Edge 263	Prvek: 0	12,650 8,050 3,300	MSÚ-B	-0,10 0,21	-0,46 1,50	-1,48 -0,76	0,75	0,00	-491,91
S74/Edge 263	Prvek: 0	12,650 8,050 3,300	MSÚ-B	-0,16 0,39	-3,21 5,58	-5,56 -3,71	0,22	0,00	-254,66
S75/Edge 264	Prvek: 0	12,650 25,250 0,000	MSÚ-B	0,00 1,09	0,00 3,89	-3,64 -0,55	-17,15	0,00	-103,11
S75/Edge 264	Prvek: 0	12,650 25,250 0,000	MSÚ-B	-0,02 1,53	-0,04 5,22	-4,82 -0,96	-3,73	0,72	-47,10
S75/Edge 265	Prvek: 0	7,600 25,250 0,000	MSÚ-B	-1,08 0,87	-2,51 2,49	-2,93 -2,48	-6,32	0,00	-187,02
S75/Edge 265	Prvek: 0	7,600 25,250 0,000	MSÚ-B	-0,01 0,43	-0,06 0,81	-0,79 -0,20	-0,64	0,00	-104,16
S75/Edge 266	Prvek: 0	7,600 25,250 3,300	MSÚ-B	-1,22 0,22	-2,32 0,05	-1,50 -2,07	-11,35	0,00	-82,55
S75/Edge 266	Prvek: 0	7,600 25,250 3,300	MSÚ-B	-1,85 0,54	-3,69 0,17	-2,51 -3,42	-5,50	2,86	-34,79

Jméno	Sit'	Pozice [m]	Stav	$m_{xD+}$ [kNm/m] $m_{xD-}$ [kNm/m]	$m_{yD+}$ [kNm/m] $m_{yD-}$ [kNm/m]	$m_{cD+}$ [kNm/m] $m_{cD-}$ [kNm/m]	$n_{xD}$ [kN/m]	$n_{yD}$ [kN/m]	$n_{cD}$ [kN/m]
S75/Edge 267	Prvek: 0	12,650 25,250 3,300	MSÚ-B	-0,11 0,25	-0,06 0,53	-0,53 -0,17	-10,36	0,00	-152,00
S75/Edge 267	Prvek: 0	12,650 25,250 3,300	MSÚ-B	-2,23 1,60	-4,64 4,39	-5,17 -4,74	1,05	0,00	-72,89
S76/Edge 268	Prvek: 0	12,650 19,350 0,000	MSÚ-B	0,00 0,89	0,00 3,34	-3,11 -0,50	-20,18	0,00	-111,97
S76/Edge 268	Prvek: 0	12,650 19,350 0,000	MSÚ-B	-0,01 1,77	-0,01 5,74	-5,31 -0,98	-9,87	0,00	-54,16
S76/Edge 269	Prvek: 0	7,600 19,350 0,000	MSÚ-B	-1,12 0,93	-2,59 2,47	-2,92 -2,57	-7,36	0,00	-148,24
S76/Edge 269	Prvek: 0	7,600 19,350 0,000	MSÚ-B	-0,02 0,43	-0,09 0,83	-0,81 -0,22	0,39	0,00	-80,83
S76/Edge 270	Prvek: 0	7,600 19,350 3,300	MSÚ-B	-0,86 0,24	-1,67 0,05	-1,16 -1,54	-12,38	0,00	-91,00
S76/Edge 270	Prvek: 0	7,600 19,350 3,300	MSÚ-B	-1,85 0,56	-3,67 0,19	-2,54 -3,42	-7,12	-0,43	-38,20
S76/Edge 271	Prvek: 0	12,650 19,350 3,300	MSÚ-B	-0,09 0,25	-0,21 0,59	-0,59 -0,28	-6,86	0,00	-250,53
S76/Edge 271	Prvek: 0	12,650 19,350 3,300	MSÚ-B	-2,12 1,45	-4,42 4,38	-5,13 -4,53	0,07	0,00	-139,51
S77/Edge 272	Prvek: 0	12,650 13,450 0,000	MSÚ-B	-0,05 1,22	-0,02 4,01	-3,75 -0,79	-20,88	0,00	-124,22
S77/Edge 272	Prvek: 0	12,650 13,450 0,000	MSÚ-B	-0,01 1,47	-0,04 4,98	-4,56 -0,99	-7,23	0,00	-61,37
S77/Edge 273	Prvek: 0	7,600 13,450 0,000	MSÚ-B	-0,07 0,48	-0,14 0,29	-0,54 -0,32	-4,02	0,00	-342,83
S77/Edge 273	Prvek: 0	7,600 13,450 0,000	MSÚ-B	-0,49 1,34	-1,45 1,82	-2,53 -1,78	-2,13	0,00	-196,42
S77/Edge 274	Prvek: 0	7,600 13,450 3,300	MSÚ-B	-1,08 0,38	-1,79 0,34	-1,61 -1,75	-14,97	0,00	-103,36
S77/Edge 274	Prvek: 0	7,600 13,450 3,300	MSÚ-B	-1,95 0,57	-3,55 0,27	-2,63 -3,43	-7,36	1,39	-48,79
S77/Edge 275	Prvek: 0	12,650 13,450 3,300	MSÚ-B	-0,20 0,28	-0,14 0,58	-0,63 -0,27	-9,32	0,00	-152,21
S77/Edge 275	Prvek: 0	12,650 13,450 3,300	MSÚ-B	-2,36 1,47	-4,65 4,32	-5,11 -4,74	0,64	0,00	-75,50
S183/Edge 652	Prvek: 0	7,600 7,550 0,000	MSÚ-B	-0,01 0,29	-0,01 0,49	-0,44 -0,16	-5,29	0,00	-256,67
S183/Edge 652	Prvek: 0	7,600 7,550 0,000	MSÚ-B	0,00 2,04	0,00 5,53	-5,05 -1,16	-2,83	0,00	-144,00
S183/Edge 653	Prvek: 0	7,600 9,550 0,000	MSÚ-B	-0,02 0,02	-0,11 0,08	-0,10 -0,13	-1,15	0,00	-180,78
S183/Edge 653	Prvek: 0	7,600 9,550 0,000	MSÚ-B	0,00 0,00	-0,05 0,04	-0,04 -0,06	-0,66	0,00	-97,86

Jméno	Sít'	Pozice [m]	Stav	$m_{xD+}$ [kNm/m] $m_{xD-}$ [kNm/m]	$m_{yD+}$ [kNm/m] $m_{yD-}$ [kNm/m]	$m_{cD+}$ [kNm/m] $m_{cD-}$ [kNm/m]	$n_{xD}$ [kN/m]	$n_{yD}$ [kN/m]	$n_{cD}$ [kN/m]
S183/Edge 654	Prvek: 0	7,600 9,550 3,300	MSÚ-B	-0,60 0,14	-1,17 0,07	-0,88 -1,09	-3,18	0,00	-236,33
S183/Edge 654	Prvek: 0	7,600 9,550 3,300	MSÚ-B	-3,45 0,11	-7,13 0,07	-4,04 -6,05	-1,74	0,00	-128,73
S183/Edge 655	Prvek: 0	7,600 7,550 3,300	MSÚ-B	-0,13 0,04	-0,72 0,12	-0,31 -0,69	-0,44	0,00	-106,74
S183/Edge 655	Prvek: 0	7,600 7,550 3,300	MSÚ-B	-0,43 1,54	-0,25 1,16	-2,05 -0,97	1,85	0,00	-28,16
S184/Edge 656	Prvek: 0	9,600 7,550 0,000	MSÚ-B	-0,16 0,18	-0,91 2,34	-2,47 -1,09	-0,79	0,00	-118,12
S184/Edge 656	Prvek: 0	9,600 7,550 0,000	MSÚ-B	0,00 0,01	-0,03 0,17	-0,17 -0,04	-0,47	0,00	-68,33
S184/Edge 657	Prvek: 0	9,600 7,550 3,300	MSÚ-B	-1,21 0,65	-1,04 1,72	-2,27 -2,30	-1,57	0,00	-124,76
S184/Edge 657	Prvek: 0	9,600 7,550 3,300	MSÚ-B	-2,42 0,56	-6,47 0,10	-3,54 -5,67	-0,96	0,00	-64,90
S184/Edge 658	Prvek: 0	7,600 7,550 3,300	MSÚ-B	-0,02 0,28	-0,09 1,18	-1,14 -0,41	-1,87	0,00	-105,89
S184/Edge 658	Prvek: 0	7,600 7,550 3,300	MSÚ-B	-0,74 1,43	-2,98 4,67	-5,05 -3,26	-0,47	0,00	-26,57
S184/Edge 659	Prvek: 0	7,600 7,550 0,000	MSÚ-B	-0,02 0,61	-0,12 0,83	-0,90 -0,47	-4,92	0,00	-146,35
S184/Edge 659	Prvek: 0	7,600 7,550 0,000	MSÚ-B	0,00 3,08	-0,01 10,08	-9,26 -1,87	-0,40	0,00	-79,79
S186/Edge 660	Prvek: 0	11,100 7,550 3,300	MSÚ-B	-0,64 0,29	-3,64 4,37	-5,10 -3,73	-0,46	0,00	-103,33
S186/Edge 660	Prvek: 0	11,100 7,550 3,300	MSÚ-B	-0,09 0,08	-0,33 0,33	-0,46 -0,37	-0,25	0,00	-46,64
S186/Edge 661	Prvek: 0	11,100 7,550 0,000	MSÚ-B	-0,37 0,62	-0,95 2,76	-2,94 -1,18	-3,69	0,00	-155,42
S186/Edge 661	Prvek: 0	11,100 7,550 0,000	MSÚ-B	-0,16 3,67	-0,29 8,62	-8,00 -1,90	0,82	0,00	-81,89
S186/Edge 662	Prvek: 0	13,050 7,550 0,000	MSÚ-B	-0,06 0,12	-0,24 1,45	-1,45 -0,39	0,69	0,00	-367,99
S186/Edge 662	Prvek: 0	13,050 7,550 0,000	MSÚ-B	-0,56 0,75	-2,42 5,36	-5,91 -3,14	0,15	0,00	-202,25
S186/Edge 663	Prvek: 0	13,050 7,550 3,300	MSÚ-B	-2,69 1,54	-5,66 3,73	-6,21 -6,65	-1,58	0,00	-133,62
S186/Edge 663	Prvek: 0	13,050 7,550 3,300	MSÚ-B	-0,63 1,29	-5,26 0,57	-2,36 -5,39	-0,31	0,00	-66,91

Hodnoty: **ncd**

Lineární výpočet

Kombinace: MSÚ-B

Průběh: Průměr

Extrém: Dílec

Výběr: Vše

Filtr: Vrstva = 1.NP stěny

Poloha: V uzlech s průměrováním na

makro. System: LSS prvku sítě





# 15.5. Posouzení zdiva tl. 240 mm

Výpočet:	Únosnost nevyztužené stěny - SILKA - vnitř. stěna 1000/240mm			Vypočet	Ing. Martin Šponar		
Podle ČSN EN 1996-1-1 (moment od zatížení působí ve svislé rovině souměrnosti prvků)							
Geometrie:	světla výška	stěna	1	$h$	=	3,000 m,	
	šířka posuzovaného obdélníkového průřezu stěny (pilíře)			$b$	=	1,000 m,	
	tloušťka stěny (výška průřezu pilíře) bez omítky			$t$	=	0,240 m.	
Zatížení:							
v hlavě:	normálová síla od návrhového zatížení horních podlaží			$N_{Ed1}$	=	560,0 kN,	
	moment od svislého a vodorovného návrhového zatížení			$M_{Ed1}$	=	11,20 kNm,	
v polovině:	normálová síla od návrhového zatížení			$N_{Edm}$	=	569,7 kN,	
	moment od svislého a vodorovného návrhového zatížení			$M_{Edm}$	=	11,39 kNm,	
v patě:	normálová síla od návrhového zatížení			$N_{Ed2}$	=	579,4 kN,	
	moment od svislého a vodorovného návrhového zatížení			$M_{Ed2}$	=	11,59 kNm,	
ZDIVO - materiálové charakteristiky		přesné pískové porobetonové tvárnice			S20-2000		
	dílčí součinitel spolehlivosti zdiva			$\gamma_M$	=	2,2,	
	pevnost malty v tlaku (značka)			$f_m$	=	5,0 MPa,	
	součinitel			$K_E$	=	1000,	
	objemová hmotnost zdiva			$\rho_{ms}$	=	2000 kg/m <sup>3</sup> ,	
				skupina zdicích prvků:		1	
	výskyt podélné styčné spáry:	nc		$K$	=	0,80,	
	normalizovaná pevnost zdicího prvu v tlaku od dodavatele			$f_b$	=	20,00 MPa ;	
	charakteristická pevnost zdiva v tlaku		2	$f_k = K \cdot f_b^{0,85}$	=	10,209 MPa ,	
	návrhová pevnost zdiva v tlaku			$f_d = f_k / \gamma_M$	=	4,640 Mpa.	
	součinitel pro stanovení vzpěrné délky			$\rho_n$	=	0,75	
	účinná výška stěny (pilíře)			$h_{ef} = \rho_n \cdot h$	=	2,25 m ,	
	účinná tloušťka stěny (pilíře)			$t_{ef} = t$	=	0,240 m ,	
	štíhlostní poměr stěny (pilíře)			$h_{ef} / t_{ef}$	=	9,38	
	vyhovuje, neboť je menší, než mezní štíhlost .....					27	
Ověření nosné spolehlivosti průřezu 1 :							
	výstřednost od návrhového zatížení			$e_{E1} = M_{Ed1} / N_{Ed1}$	=	0,0200 m ,	
	počáteční výstřednost			$e_{init} = h_{ef} / 450$	=	0,0050 m ,	
	výstřednost v hlavě			$e_1 = e_{E1} + e_{init}$	=	0,0250 m ,	
	minimální výstřednost			0,05t	=	0,0120 m ,	
	výsledná výstřednost (větší z obou předchozích hodnot)			$e_1$	=	0,0250 m ,	
	zmenšující součinitel			$\Phi_1 = 1 - 2(e_1 / t)$	=	0,792 ,	
	návrhová únosnost v průřezu 1			$N_{Rd1} = \Phi_1 b t f_d$	=	881,65 kN,	
	normálová síla od návrhového zatížení v průřezu 1			$N_{Ed1}$	=	560,00 kN.	
	Průřez vyhovuje.					63,5%	
Ověření nosné spolehlivosti průřezu m v polovině výšky stěny (pilíře):							
	výstřednost od návrhového zatížení			$e_{Em} = M_{Edm} / N_{Edm}$	=	0,0200 m ,	
	výstřednost od dotvarování			$e_k$	=	0,0000 m ,	
	počáteční výstřednost			$e_{init} = h_{ef} / 450$	=	0,0050 m ,	
	výstřednost v polovině výšky pilíře			$e_{mk} = e_{Em} + e_k + e_{init}$	=	0,0250 m ,	
	minimální výstřednost			0,05t	=	0,0120 m ,	
	výsledná výstřednost (větší z obou předchozích hodnot)			$e_{mk}$	=	0,0250 m ,	
	poměrná výsledná výstřednost			$e_{mk} / t$	=	0,1042 ,	
	zmenšující součinitel vypočtený ze vzorců podle přílohy G normy ČSN EN 1996-1-1						
	pro výše uvedené hodnoty $K_E, h_{ef}, t_{ef}$ a $e_{mk} / t$			$\Phi_m$	=	0,7354 ,	
	návrhová únosnost v průřezu m			$N_{Rdm} = \Phi_m b t f_d$	=	819,02 kN,	
	normálová síla od návrhového zatížení v průřezu m			$N_{Edm}$	=	569,72 kN.	
	Průřez vyhovuje.					69,6%	

44/101

## 15.6. Vnitřní síly 1D prvků

### 15.6.1. 1D vnitřní síly

Lineární výpočet

Kombinace: MSÚ-B

Souřadný systém: Hlavní

Extrém 1D: Dílec

Výběr: Vše

Filtr: Vrstva = 1.NP desky

Jméno	dx [m]	Stav	N [kN]	V <sub>y</sub> [kN]	V <sub>z</sub> [kN]	M <sub>x</sub> [kNm]	M <sub>y</sub> [kNm]	M <sub>z</sub> [kNm]
B2	0,000	MSÚ-B/1	-141,40	-1,51	0,17	-0,13	-0,13	2,75
B2	3,300	MSÚ-B/2	-77,45	0,05	2,06	0,02	4,55	0,12
B2	0,000	MSÚ-B/3	-112,21	0,10	1,36	0,02	-1,45	-0,07
B2	0,000	MSÚ-B/4	-100,71	-2,63	0,04	-0,24	-0,02	4,66
B2	0,000	MSÚ-B/5	-110,48	0,09	2,12	0,02	-2,31	-0,07
B2	3,300	MSÚ-B/5	-109,17	0,09	2,12	0,02	4,70	0,22
B2	3,300	MSÚ-B/4	-99,58	-2,63	0,04	-0,24	0,12	-4,00
B3	0,000	MSÚ-B/1	-107,49	-1,52	0,09	-0,19	-0,10	2,83
B3	3,300	MSÚ-B/2	-58,82	0,08	1,71	0,02	4,01	0,14
B3	0,000	MSÚ-B/6	-61,53	0,01	0,05	0,01	-0,06	-0,01
B3	0,000	MSÚ-B/4	-79,16	-2,56	0,07	-0,32	-0,07	4,73
B3	0,000	MSÚ-B/5	-82,89	0,09	1,73	0,02	-1,65	-0,13
B3	3,300	MSÚ-B/5	-81,58	0,09	1,73	0,02	4,05	0,18
B3	3,300	MSÚ-B/4	-78,02	-2,56	0,07	-0,32	0,15	-3,72
B4	0,000	MSÚ-B/7	-103,27	-1,47	-0,05	-0,17	0,04	3,04
B4	3,300	MSÚ-B/8	-61,57	0,01	-0,02	0,00	-0,05	0,03
B4	0,000	MSÚ-B/5	-88,19	0,06	1,62	-0,02	-1,55	-0,10
B4	0,000	MSÚ-B/9	-93,15	-2,47	-0,06	-0,29	0,04	5,09
B4	0,000	MSÚ-B/10	-99,21	0,02	-0,04	0,01	0,03	-0,02
B4	0,000	MSÚ-B/11	-64,48	0,05	1,63	-0,02	-1,56	-0,09
B4	3,300	MSÚ-B/11	-63,34	0,05	1,63	-0,02	3,84	0,08
B4	3,300	MSÚ-B/4	-68,31	-2,47	-0,04	-0,29	-0,11	-3,07
B4	0,000	MSÚ-B/12	-69,31	-2,47	-0,04	-0,29	0,04	5,09
B5	0,000	MSÚ-B/7	-141,46	-1,73	-0,19	-0,06	0,13	3,61
B5	3,300	MSÚ-B/8	-83,10	0,01	-0,08	0,00	-0,21	0,01
B5	0,000	MSÚ-B/4	-95,50	-2,89	-0,17	-0,11	0,13	6,03
B5	0,000	MSÚ-B/13	-125,69	0,01	-0,14	0,00	0,08	-0,02
B5	0,000	MSÚ-B/14	-126,93	-2,89	-0,21	-0,11	0,16	6,03
B5	0,000	MSÚ-B/15	-114,47	-2,89	-0,20	-0,11	0,15	6,03
B5	0,000	MSÚ-B/16	-98,51	0,01	-0,09	0,00	0,05	-0,01
B5	0,000	MSÚ-B/17	-94,15	-0,02	1,85	-0,03	-2,15	0,01
B5	3,300	MSÚ-B/17	-93,01	-0,02	1,85	-0,03	3,96	-0,05
B5	3,300	MSÚ-B/18	-106,66	-2,89	-0,18	-0,11	-0,46	-3,51
B7	7,550	MSÚ-B/15	-14,93	-0,47	37,84	-15,19	42,47	-3,10
B7	2,550+	MSÚ-B/19	24,46	0,51	-13,19	-0,20	-8,64	1,12
B7	7,150-	MSÚ-B/4	-13,64	-1,61	45,39	-5,64	23,94	-2,31
B7	2,550-	MSÚ-B/20	8,98	-0,20	-116,92	4,78	-19,38	0,30
B7	7,550	MSÚ-B/5	20,35	3,50	-11,35	-28,01	-2,75	2,00
B7	0,000	MSÚ-B/2	4,13	0,79	42,21	7,54	-8,26	-1,79
B7	0,000	MSÚ-B/21	9,64	6,07	79,41	-3,64	-53,53	-0,77
B7	7,550	MSÚ-B/22	-14,55	-0,59	40,62	-14,29	42,81	-3,10
B7	7,550	MSÚ-B/4	-14,79	-0,65	40,53	-14,11	42,80	-3,13
B7	2,550-	MSÚ-B/23	9,95	3,25	-50,39	2,06	8,16	3,13
B8	4,950+	MSÚ-B/24	-8,31	6,55	149,78	2,41	-72,93	-7,25
B8	7,425-	MSÚ-B/25	10,11	1,10	-35,70	0,66	-16,17	0,75
B8	0,000	MSÚ-B/19	3,79	-15,78	-19,52	1,99	-28,42	1,57
B8	0,000	MSÚ-B/15	0,02	13,39	25,53	-37,62	-18,65	-2,61
B8	4,950-	MSÚ-B/1	2,61	-3,08	-282,35	-0,59	-95,06	-2,80
B8	4,950+	MSÚ-B/26	1,35	0,01	183,35	0,54	-90,28	-0,20
B8	0,000	MSÚ-B/22	-0,12	13,15	29,05	-37,95	-17,54	-2,63
B8	7,650	MSÚ-B/21	-7,88	-3,64	-52,78	29,38	-47,25	0,10
B8	4,950-	MSÚ-B/10	3,68	0,05	-281,64	-0,22	-96,30	0,15
B8	3,054-	MSÚ-B/1	2,68	-1,03	-0,81	-1,45	77,64	2,26
B8	4,950+	MSÚ-B/21	-8,30	6,55	151,72	2,42	-73,69	-7,25
B8	2,641-	MSÚ-B/21	1,61	-0,11	17,71	-2,72	68,01	3,98
B9	0,700+	MSÚ-B/12	-2,89	0,08	-25,49	0,12	11,45	-0,74
B9	9,950+	MSÚ-B/27	7,40	0,05	-80,43	-0,76	-3,15	0,10
B9	18,700-	MSÚ-B/2	0,56	-6,84	-32,76	1,79	-5,78	-3,02
B9	9,950-	MSÚ-B/28	3,64	0,41	-93,40	-0,94	-3,11	-0,11

Jméno	dx [m]	Stav	N [kN]	V <sub>y</sub> [kN]	V <sub>z</sub> [kN]	M <sub>x</sub> [kNm]	M <sub>y</sub> [kNm]	M <sub>z</sub> [kNm]
B9	7,550+	MSÚ-B/29	3,62	3,75	73,95	-2,80	-29,33	-2,48
B9	19,350+	MSÚ-B/5	1,83	1,15	28,05	-16,53	-26,06	-2,65
B9	7,550-	MSÚ-B/5	2,16	1,78	-16,53	21,78	-16,74	-3,29
B9	19,350-	MSÚ-B/21	4,26	1,52	-26,01	2,40	-31,50	0,39
B9	8,980-	MSÚ-B/30	3,90	0,32	1,92	-0,95	28,11	0,09
B9	0,700+	MSÚ-B/31	0,18	8,35	-21,42	-3,03	9,85	-4,83
B9	3,150-	MSÚ-B/5	0,03	0,06	-12,15	-1,48	15,77	5,69
B10	2,200+	MSÚ-B/5	-7,12	1,24	-0,59	0,02	0,36	-1,83
B10	7,600-	MSÚ-B/1	17,85	6,27	-51,97	-4,49	-9,94	1,26
B10	5,050+	MSÚ-B/5	8,62	-5,76	22,42	-0,07	8,06	2,46
B10	7,600-	MSÚ-B/32	15,82	10,57	-38,96	-7,88	-5,90	1,93
B10	7,600-	MSÚ-B/26	16,10	-2,74	-62,00	0,12	-21,65	-0,87
B10	5,050+	MSÚ-B/1	14,57	-2,82	49,37	3,61	-10,77	1,19
B10	12,650	MSÚ-B/21	0,63	2,68	21,61	-23,36	4,10	0,39
B10	0,000	MSÚ-B/21	0,81	-3,58	-13,79	19,61	0,58	0,76
B10	7,600-	MSÚ-B/33	14,49	-4,48	-61,19	-0,13	-26,68	-1,59
B10	0,000	MSÚ-B/33	-6,40	-0,38	-27,44	12,35	23,42	-1,78
B10	0,000	MSÚ-B/11	-6,48	0,22	-27,16	9,51	23,09	-1,85
B11	21,200+	MSÚ-B/12	-6,18	1,17	31,39	0,72	-3,60	0,16
B11	2,900+	MSÚ-B/9	5,59	-0,26	-39,09	-0,29	-4,39	0,11
B11	12,450+	MSÚ-B/34	1,03	-3,35	43,76	1,45	-8,25	1,12
B11	17,700-	MSÚ-B/5	2,24	3,56	20,24	-13,34	5,38	1,40
B11	11,100-	MSÚ-B/35	1,70	1,99	-55,08	-0,89	-9,95	0,75
B11	12,450+	MSÚ-B/1	-1,19	0,27	56,20	-0,13	-11,78	-0,52
B11	5,900-	MSÚ-B/2	2,42	1,81	22,44	-14,74	6,18	0,92
B11	0,000	MSÚ-B/34	2,16	-1,91	-19,45	17,14	-7,56	0,93
B11	11,800+	MSÚ-B/21	-1,38	-1,65	33,18	-2,62	-34,84	-0,26
B11	1,800-	MSÚ-B/27	2,24	-0,06	-0,60	-0,08	24,09	0,08
B11	2,020-	MSÚ-B/11	1,47	0,06	-5,87	2,11	13,05	-1,57
B11	23,100-	MSÚ-B/9	-5,91	1,21	-10,20	0,93	9,59	2,46
B12	5,050+	MSÚ-B/36	-0,89	-0,24	14,12	-0,71	1,54	0,13
B12	8,600-	MSÚ-B/33	13,65	1,80	60,17	-1,18	12,40	-0,64
B12	12,650	MSÚ-B/5	10,34	-4,19	52,59	3,93	1,36	-1,75
B12	8,600+	MSÚ-B/26	5,07	0,59	-86,69	-0,28	22,07	-0,21
B12	8,600-	MSÚ-B/10	-0,01	1,69	81,55	-1,32	18,93	0,21
B12	0,000	MSÚ-B/37	9,29	1,35	-57,38	-11,80	10,74	0,06
B12	10,900+	MSÚ-B/21	0,17	9,90	-23,01	11,71	4,89	-3,67
B12	7,600-	MSÚ-B/33	0,82	0,04	-31,26	-0,79	-21,44	1,38
B12	0,000	MSÚ-B/5	3,47	-0,42	-80,46	-7,92	31,47	0,78
B12	10,900+	MSÚ-B/4	0,25	10,20	-19,14	11,00	4,36	-3,87
B12	12,650	MSÚ-B/4	0,51	4,64	35,24	-2,93	2,37	4,70
B13	0,000	MSÚ-B/4	3,89	1,58	-37,94	1,55	25,71	-0,46
B13	0,600-	MSÚ-B/26	14,74	-0,20	-3,75	-0,82	0,64	-0,27
B13	7,550	MSÚ-B/1	11,78	-5,54	8,28	-6,35	-14,09	-0,64
B13	5,000-	MSÚ-B/33	12,53	3,12	-18,41	9,94	-5,60	0,95
B13	0,000	MSÚ-B/21	6,35	1,92	-39,64	3,64	26,71	-0,54
B13	7,550	MSÚ-B/31	12,69	1,57	27,08	13,22	-4,40	2,23
B13	0,000	MSÚ-B/11	9,50	2,52	-5,40	-11,02	3,03	-0,42
B13	7,550	MSÚ-B/24	7,76	-4,83	-0,26	-6,01	-18,71	-0,55
B13	5,392-	MSÚ-B/38	11,09	-0,12	3,53	-3,60	0,30	-0,91
B13	7,550	MSÚ-B/11	9,93	2,57	19,80	15,36	-2,14	2,33
B14	16,800+	MSÚ-B/39	-3,48	-2,25	15,96	-3,31	1,50	1,15
B14	21,036-	MSÚ-B/33	20,50	-1,67	14,52	0,91	0,55	-0,51
B14	21,450	MSÚ-B/4	-1,58	23,42	19,78	-26,79	13,04	2,09
B14	0,000	MSÚ-B/11	6,93	-0,79	-37,15	1,78	26,37	1,55
B14	21,036-	MSÚ-B/40	-1,03	0,67	31,55	-3,66	6,46	-0,28
B14	18,750-	MSÚ-B/12	-2,84	-0,98	6,64	-30,64	-3,78	-1,89
B14	11,700+	MSÚ-B/12	-1,89	0,77	-14,42	24,86	3,82	-1,24
B14	5,850-	MSÚ-B/5	6,47	-1,14	-28,63	1,54	-18,98	-1,68
B14	11,700-	MSÚ-B/4	0,56	-8,14	12,94	-23,95	2,77	-5,80
B14	11,700+	MSÚ-B/33	15,10	-5,27	-13,97	-2,35	9,00	2,36
B15	0,000	MSÚ-B/4	-4,25	0,74	27,51	0,53	-4,00	-1,23
B15	18,500-	MSÚ-B/21	11,04	-0,23	19,98	0,33	2,07	-0,42
B15	2,200+	MSÚ-B/34	3,75	-2,85	-64,90	-2,58	3,76	0,09
B15	23,600	MSÚ-B/5	2,85	11,62	21,12	19,55	0,33	1,94
B15	2,200+	MSÚ-B/41	1,02	0,46	-82,10	0,68	4,43	-0,21
B15	11,800+	MSÚ-B/11	2,59	0,33	-9,21	-19,94	2,49	1,07
B15	23,600	MSÚ-B/2	2,30	10,48	19,83	20,54	0,65	1,83

Jméno	dx [m]	Stav	N [kN]	V <sub>y</sub> [kN]	V <sub>z</sub> [kN]	M <sub>x</sub> [kNm]	M <sub>y</sub> [kNm]	M <sub>z</sub> [kNm]
B15	0,000	MSÚ-B/37	1,24	0,09	59,95	0,80	-21,69	-0,13
B15	1,320-	MSÚ-B/30	-1,58	0,53	0,96	0,87	21,39	-0,16
B15	0,000	MSÚ-B/21	-3,68	0,79	48,86	0,81	-11,71	-1,31
B15	0,000	MSÚ-B/2	1,53	-0,90	30,55	-3,50	-9,84	1,95
B16	0,000	MSÚ-B/11	-2,37	-0,81	-10,50	31,11	1,05	-1,16
B16	5,100+	MSÚ-B/9	11,04	0,12	-19,96	-0,04	2,10	0,28
B16	0,000	MSÚ-B/1	6,34	-9,04	-5,96	7,41	-11,59	0,63
B16	22,600+	MSÚ-B/10	1,67	0,86	-145,13	-0,80	38,60	-0,19
B16	17,700-	MSÚ-B/5	1,50	-6,20	6,47	-27,90	4,38	-1,99
B16	0,000	MSÚ-B/33	-2,16	-1,90	-11,65	32,32	0,83	-1,10
B16	0,000	MSÚ-B/32	10,19	-8,14	8,38	5,39	-20,56	0,61
B16	22,600-	MSÚ-B/1	3,82	0,10	159,60	-0,15	40,05	-0,06
B16	17,700+	MSÚ-B/5	3,23	6,42	19,61	6,24	2,16	-5,56
B16	20,600+	MSÚ-B/25	2,43	-1,10	11,32	-0,39	0,22	2,09
B17	0,000	MSÚ-B/11	0,43	-0,04	-62,87	2,18	41,02	0,03
B17	4,646-	MSÚ-B/27	7,93	0,12	8,22	-0,25	-0,08	0,03
B17	5,050	MSÚ-B/12	5,39	-3,47	13,72	-16,85	4,41	-1,22
B17	0,000	MSÚ-B/12	5,23	0,76	-3,89	15,77	0,38	0,17
B17	0,000	MSÚ-B/33	1,54	-0,21	-65,06	2,46	41,68	0,08
B17	5,050	MSÚ-B/1	7,49	-1,94	20,43	-10,56	5,97	-0,67
B17	5,050	MSÚ-B/21	6,50	-3,41	18,77	-17,05	5,78	-1,20
B17	0,000	MSÚ-B/21	6,34	0,59	-6,07	16,07	1,04	0,22
B17	5,050	MSÚ-B/2	0,56	0,07	-34,46	-1,15	-25,86	0,11
B17	5,050	MSÚ-B/4	5,39	-3,47	13,72	-16,82	4,41	-1,23
B17	1,616-	MSÚ-B/12	5,26	0,00	0,34	0,93	-0,30	0,43
B18	0,000	MSÚ-B/11	-4,85	0,32	-17,41	-0,05	24,93	-0,38
B18	0,000	MSÚ-B/27	0,31	-0,19	2,88	-0,01	0,15	0,24
B18	0,000	MSÚ-B/10	0,31	-0,21	2,89	-0,01	0,15	0,26
B18	2,550	MSÚ-B/33	-4,76	0,27	-22,29	-0,05	-25,13	0,37
B18	0,000	MSÚ-B/42	0,14	-0,13	3,38	0,04	-0,66	-0,03
B18	1,275-	MSÚ-B/12	0,01	-0,06	0,69	0,07	1,27	-0,33
B18	2,550	MSÚ-B/43	-4,82	0,31	-22,26	-0,05	-25,27	0,41
B18	0,000	MSÚ-B/44	-4,79	0,29	-17,45	-0,05	25,14	-0,35
B18	2,550	MSÚ-B/21	0,10	-0,12	-1,94	0,06	0,81	-0,48
B18	2,550	MSÚ-B/2	-4,85	0,33	-21,92	-0,05	-25,22	0,44
B19	5,050	MSÚ-B/12	5,13	-2,15	7,73	-21,28	3,07	-0,88
B19	0,404-	MSÚ-B/35	8,30	-0,07	-28,32	0,16	7,59	0,02
B19	0,000	MSÚ-B/45	5,65	2,77	-13,75	18,53	3,26	-0,50
B19	0,000	MSÚ-B/33	6,63	-0,27	-63,44	0,43	33,94	0,11
B19	5,050	MSÚ-B/1	7,36	-1,59	9,91	-13,18	3,25	-0,61
B19	5,050	MSÚ-B/21	6,22	-2,26	9,67	-21,41	3,56	-0,91
B19	0,000	MSÚ-B/21	6,49	2,76	-15,83	18,60	3,89	-0,50
B19	5,050	MSÚ-B/2	5,76	-0,29	-50,93	0,16	-37,35	-0,13
B19	5,050	MSÚ-B/24	6,16	-2,26	9,63	-21,40	3,53	-0,91
B19	1,818-	MSÚ-B/24	6,29	0,02	1,14	0,91	-0,90	0,41
B20	5,050	MSÚ-B/12	5,64	-2,51	14,13	-20,13	4,74	-1,04
B20	0,404-	MSÚ-B/26	9,92	-0,05	-25,84	0,25	7,59	0,01
B20	0,000	MSÚ-B/45	6,24	2,54	-11,10	19,20	2,76	-0,49
B20	0,000	MSÚ-B/5	9,27	-0,24	-58,98	0,69	32,51	0,11
B20	5,050	MSÚ-B/7	8,07	-1,67	21,54	-12,63	6,74	-0,65
B20	5,050	MSÚ-B/21	6,91	-2,57	19,20	-20,36	6,23	-1,05
B20	0,000	MSÚ-B/21	7,15	2,52	-12,64	19,30	3,24	-0,49
B20	5,050	MSÚ-B/11	8,10	-0,25	-36,36	-0,12	-30,67	-0,10
B20	5,050	MSÚ-B/24	6,84	-2,57	18,93	-20,35	6,13	-1,05
B20	1,616-	MSÚ-B/12	5,78	0,06	0,55	1,18	-0,54	0,46
B21	0,000	MSÚ-B/21	-0,67	-0,54	2,94	0,04	-0,86	0,52
B21	0,000	MSÚ-B/2	-4,69	0,02	-17,14	-0,05	24,28	0,04
B21	2,550	MSÚ-B/5	-4,85	-0,04	-22,01	-0,06	-25,17	0,03
B21	0,000	MSÚ-B/46	-0,72	-0,36	3,22	0,01	-0,83	0,37
B21	0,000	MSÚ-B/33	-4,86	-0,02	-16,83	-0,06	24,36	0,10
B21	0,000	MSÚ-B/12	-0,50	-0,50	2,63	0,05	-0,93	0,46
B21	2,550	MSÚ-B/47	-4,76	-0,01	-21,99	-0,06	-25,26	0,06
B21	0,000	MSÚ-B/48	-4,77	-0,02	-17,16	-0,06	24,42	0,10
B21	2,550	MSÚ-B/21	-0,67	-0,54	-2,23	0,04	0,05	-0,86
B22	4,242-	MSÚ-B/2	-0,83	0,02	-13,99	-0,30	-3,88	-0,01
B22	0,404-	MSÚ-B/1	8,54	0,01	-10,09	3,41	0,21	0,18
B22	5,050	MSÚ-B/22	5,85	-3,26	9,93	-17,42	3,03	-1,35
B22	0,000	MSÚ-B/12	5,76	0,79	-12,52	14,96	3,54	0,17

Jméno	dx [m]	Stav	N [kN]	V <sub>y</sub> [kN]	V <sub>z</sub> [kN]	M <sub>x</sub> [kNm]	M <sub>y</sub> [kNm]	M <sub>z</sub> [kNm]
B22	0,000	MSÚ-B/5	0,49	-0,11	-68,68	2,55	40,70	-0,11
B22	5,050	MSÚ-B/7	8,17	-1,78	15,14	-10,96	4,22	-0,74
B22	5,050	MSÚ-B/21	7,07	-3,18	13,76	-17,67	4,00	-1,31
B22	0,000	MSÚ-B/21	7,06	0,62	-17,75	15,32	5,15	0,20
B22	5,050	MSÚ-B/11	-0,61	0,14	-36,63	-1,26	-26,34	0,04
B22	5,050	MSÚ-B/4	5,78	-3,26	9,82	-17,41	2,97	-1,35
B22	1,212-	MSÚ-B/12	5,82	0,01	0,54	1,45	-1,51	0,34
B23	5,050	MSÚ-B/4	6,03	-2,26	5,55	-21,41	1,81	-1,23
B23	0,000	MSÚ-B/26	12,51	-3,28	-26,48	1,46	20,45	1,19
B23	0,000	MSÚ-B/5	12,00	-4,03	-36,00	1,31	26,40	1,92
B23	0,000	MSÚ-B/4	7,37	0,77	2,48	18,47	3,88	-0,03
B23	5,050	MSÚ-B/1	9,10	-1,51	8,83	-13,54	2,42	-0,74
B23	5,050	MSÚ-B/23	7,55	-2,23	7,74	-21,89	2,32	-1,21
B23	0,000	MSÚ-B/24	9,60	0,01	-2,08	19,40	6,95	0,07
B23	5,050	MSÚ-B/2	8,59	-0,66	-46,74	0,14	-33,94	-0,43
B23	5,050	MSÚ-B/9	7,34	-2,36	6,80	-21,45	2,14	-1,24
B23	0,000	MSÚ-B/11	10,34	-3,79	-33,54	1,24	24,56	1,93
B24	0,000	MSÚ-B/2	-4,44	-0,37	-11,72	-0,19	19,18	0,20
B24	0,000	MSÚ-B/10	1,07	-0,10	6,06	-0,40	-3,58	0,18
B24	0,000	MSÚ-B/8	0,83	-0,04	4,67	-0,34	-2,93	0,11
B24	2,550	MSÚ-B/43	-4,36	-0,38	-16,31	-0,22	-16,14	-0,75
B24	0,000	MSÚ-B/1	1,05	-0,15	6,06	-0,32	-3,67	0,16
B24	0,000	MSÚ-B/49	1,03	-0,08	5,45	-0,41	-3,35	0,16
B24	0,000	MSÚ-B/22	0,54	-0,14	3,96	-0,05	-2,33	0,08
B24	2,550	MSÚ-B/2	-4,44	-0,37	-16,23	-0,19	-16,45	-0,75
B24	2,550	MSÚ-B/33	-4,23	-0,41	-16,07	-0,25	-15,66	-0,79
B24	0,000	MSÚ-B/5	-4,04	-0,41	-10,38	-0,36	18,18	0,26
B25	0,000	MSÚ-B/2	0,45	-0,31	-55,72	1,67	37,10	0,43
B25	4,646-	MSÚ-B/10	7,41	-0,04	5,04	0,59	-0,97	0,01
B25	5,050	MSÚ-B/9	6,13	-3,74	12,67	-15,21	3,33	-1,50
B25	0,000	MSÚ-B/4	4,96	0,58	-2,41	15,24	0,52	0,27
B25	0,000	MSÚ-B/5	1,49	-0,46	-56,95	1,76	37,56	0,46
B25	5,050	MSÚ-B/1	7,28	-2,32	13,58	-8,35	3,08	-0,90
B25	5,050	MSÚ-B/12	5,15	-3,70	9,25	-15,69	2,37	-1,50
B25	0,000	MSÚ-B/32	5,25	0,46	-3,08	15,34	0,76	0,30
B25	5,050	MSÚ-B/11	0,87	-0,40	-35,99	0,32	-26,31	-0,06
B25	5,050	MSÚ-B/50	5,91	-3,74	10,57	-15,43	2,84	-1,50
B26	0,000	MSÚ-B/4	-2,00	1,15	-52,13	-3,33	33,64	-0,99
B26	4,600-	MSÚ-B/26	8,20	0,75	9,91	3,80	0,18	0,11
B26	0,000	MSÚ-B/2	5,40	-2,57	-5,84	-16,43	1,87	0,53
B26	5,000	MSÚ-B/27	7,52	-0,18	21,61	0,84	6,33	-0,02
B26	0,000	MSÚ-B/38	6,25	-2,44	-6,84	-16,52	2,26	0,48
B26	5,000	MSÚ-B/5	6,95	3,90	18,76	17,94	5,54	0,88
B26	5,000	MSÚ-B/4	-1,93	0,82	-24,64	1,35	-20,55	0,70
B26	0,000	MSÚ-B/21	-0,87	1,36	-54,35	-3,40	34,38	-1,05
B26	5,000	MSÚ-B/44	6,17	3,99	16,80	17,82	4,95	0,91
B27	0,000	MSÚ-B/4	-13,32	0,05	-11,06	0,45	18,43	-0,61
B27	0,000	MSÚ-B/5	1,90	2,16	0,67	1,22	2,07	-2,69
B27	0,000	MSÚ-B/15	-13,17	0,05	-11,19	0,53	18,70	-0,60
B27	0,000	MSÚ-B/51	1,43	1,34	1,26	0,86	1,82	-1,64
B27	0,000	MSÚ-B/52	0,72	0,16	0,58	0,26	1,73	-0,12
B27	0,000	MSÚ-B/53	1,83	2,12	0,95	1,23	1,80	-2,65
B27	2,550	MSÚ-B/21	-13,01	0,11	-16,50	0,56	-16,30	-0,36
B27	0,000	MSÚ-B/21	-13,01	0,11	-11,33	0,56	19,18	-0,65
B27	0,000	MSÚ-B/38	1,74	2,17	0,80	1,15	1,80	-2,70
B27	2,550	MSÚ-B/38	1,74	2,17	-4,36	1,15	-2,74	2,83
B28	4,200-	MSÚ-B/12	0,36	0,32	-19,07	0,42	-5,21	0,70
B28	0,000	MSÚ-B/7	14,20	1,42	-71,16	0,11	35,97	-1,58
B28	0,000	MSÚ-B/54	8,30	-2,68	-18,19	-12,99	4,82	0,35
B28	5,000	MSÚ-B/44	6,30	4,52	12,94	17,99	3,81	1,22
B28	0,200-	MSÚ-B/21	13,66	2,31	-93,75	-0,90	33,99	-2,11
B28	5,000	MSÚ-B/35	8,20	2,69	15,65	11,06	4,30	0,75
B28	0,000	MSÚ-B/11	8,15	-2,60	-17,91	-13,06	4,74	0,33
B28	5,000	MSÚ-B/38	6,75	4,41	11,69	18,10	3,54	1,18
B28	5,000	MSÚ-B/12	0,58	0,73	-50,30	1,10	-35,52	0,61
B28	0,000	MSÚ-B/21	13,66	2,31	-93,34	-0,90	52,70	-2,57
B28	0,000	MSÚ-B/24	13,51	2,31	-93,00	-0,93	52,57	-2,57
B28	5,000	MSÚ-B/33	7,14	4,51	14,28	18,04	4,15	1,22

Jméno	dx [m]	Stav	N [kN]	V <sub>y</sub> [kN]	V <sub>z</sub> [kN]	M <sub>x</sub> [kNm]	M <sub>y</sub> [kNm]	M <sub>z</sub> [kNm]
B29	0,000	MSÚ-B/38	-0,65	2,49	3,28	1,03	-1,92	-3,08
B29	0,000	MSÚ-B/15	9,61	4,70	-17,98	0,29	26,56	-4,61
B29	0,000	MSÚ-B/27	-0,02	-0,17	3,68	0,33	-1,92	0,17
B29	0,000	MSÚ-B/35	-0,36	1,40	3,92	0,79	-2,24	-1,75
B29	0,000	MSÚ-B/6	-0,02	-0,11	2,62	0,21	-1,29	0,11
B29	0,000	MSÚ-B/5	-0,64	2,47	3,41	1,07	-2,09	-3,06
B29	2,550	MSÚ-B/39	9,54	4,71	-23,03	0,30	-25,49	7,38
B29	0,000	MSÚ-B/12	9,55	4,72	-18,25	0,27	26,83	-4,63
B29	2,550	MSÚ-B/4	9,60	4,72	-22,62	0,25	-25,21	7,41
B30	0,000	MSÚ-B/12	1,63	2,31	-118,06	-1,11	69,19	1,19
B30	4,600-	MSÚ-B/26	8,89	1,03	10,07	3,79	-0,26	0,22
B30	0,000	MSÚ-B/2	6,18	-4,99	-24,92	-13,51	4,99	0,72
B30	5,000	MSÚ-B/34	7,02	5,13	22,59	17,47	5,65	1,35
B30	0,000	MSÚ-B/9	2,87	0,87	-125,20	0,15	70,91	1,31
B30	5,000	MSÚ-B/35	8,58	3,00	26,72	10,96	6,78	0,82
B30	0,000	MSÚ-B/11	6,15	-2,97	-24,28	-13,94	4,87	0,48
B30	5,000	MSÚ-B/38	7,57	4,98	20,33	17,72	5,24	1,31
B30	5,000	MSÚ-B/12	1,83	-1,81	-41,88	1,83	-32,93	-1,13
B30	0,000	MSÚ-B/4	1,66	0,29	-118,71	-0,67	69,31	1,42
B31	0,000	MSÚ-B/6	0,60	0,08	2,40	0,47	-0,56	-0,06
B31	0,000	MSÚ-B/21	1,41	-2,30	-30,21	1,03	37,04	1,48
B31	0,000	MSÚ-B/15	1,25	-2,35	-30,57	0,96	37,13	1,53
B31	0,000	MSÚ-B/38	1,06	2,08	3,13	1,50	-0,99	-2,34
B31	2,550	MSÚ-B/9	1,35	-2,34	-35,39	1,03	-46,59	-4,43
B31	0,000	MSÚ-B/55	1,05	1,31	3,48	1,21	-0,99	-1,46
B31	0,000	MSÚ-B/8	0,69	0,13	2,42	0,46	-0,60	-0,13
B31	0,000	MSÚ-B/33	1,06	2,04	3,08	1,68	-0,81	-2,29
B31	2,550	MSÚ-B/18	1,28	-2,34	-35,34	0,86	-46,63	-4,44
B31	0,000	MSÚ-B/56	1,26	-2,35	-30,57	0,97	37,15	1,53
B31	2,550	MSÚ-B/4	1,19	-2,35	-35,03	0,79	-46,61	-4,46
B31	2,550	MSÚ-B/5	1,12	2,08	-2,08	1,67	0,45	2,96
B33	3,300	MSÚ-B/4	-315,34	-5,29	0,00	-0,02	0,00	-3,24
B33	0,000	MSÚ-B/21	-445,96	-5,43	0,00	-0,05	0,00	14,53
B33	0,000	MSÚ-B/10	-511,81	-0,62	0,00	-0,06	0,00	1,27
B33	0,000	MSÚ-B/2	-325,40	-0,31	0,00	0,13	0,00	0,46
B33	0,000	MSÚ-B/26	-516,09	-0,56	0,00	0,04	0,00	1,07
B33	3,300	MSÚ-B/21	-444,19	-5,43	0,00	-0,05	0,00	-3,39
B34	7,354-	MSÚ-B/4	-23,95	-4,47	-36,40	0,46	7,76	-2,50
B34	5,000+	MSÚ-B/26	15,57	3,13	69,49	-7,58	-28,59	-2,04
B34	5,000+	MSÚ-B/57	-17,07	-7,17	40,38	-0,50	5,08	5,21
B34	7,158-	MSÚ-B/11	6,58	5,47	-20,18	4,98	10,42	2,36
B34	2,500-	MSÚ-B/26	-11,83	0,47	-63,45	0,61	-32,37	-0,11
B34	5,000+	MSÚ-B/19	15,35	3,13	69,52	-7,37	-28,74	-2,06
B34	5,000+	MSÚ-B/33	12,85	5,29	59,21	-11,14	-25,03	-3,25
B34	7,550	MSÚ-B/53	7,48	0,23	-37,82	11,42	0,00	2,95
B34	5,000-	MSÚ-B/18	1,12	-3,43	-60,24	3,21	-48,17	-3,42
B34	6,177-	MSÚ-B/21	-22,21	-2,68	2,74	-0,62	30,82	0,33
B34	7,550	MSÚ-B/15	-23,78	-6,13	-43,00	1,05	0,00	-3,55
B34	5,000+	MSÚ-B/32	-16,84	-7,17	40,34	-0,71	5,23	5,22
B35	3,300	MSÚ-B/4	-77,62	0,00	0,00	-0,08	0,00	0,00
B35	0,000	MSÚ-B/5	-112,17	0,00	0,00	0,06	0,00	0,00
B35	0,000	MSÚ-B/26	-131,20	0,00	0,00	0,04	0,00	0,00
B104	0,550+	MSÚ-B/27	-1,91	-0,32	15,90	-0,28	-4,28	0,32
B104	4,950	MSÚ-B/11	5,01	7,03	58,48	9,21	-10,50	-1,53
B104	0,000	MSÚ-B/26	1,73	-1,99	-144,89	-1,99	28,37	1,09
B104	4,950	MSÚ-B/20	-0,22	5,90	109,92	8,38	12,95	-0,17
B104	4,950	MSÚ-B/15	0,40	-11,60	49,40	-24,85	4,20	-1,92
B104	0,000	MSÚ-B/4	0,27	10,34	-89,55	13,46	16,27	-4,13
B104	4,550-	MSÚ-B/38	3,73	-2,89	0,78	3,63	-20,81	-2,09
B104	0,000	MSÚ-B/5	3,94	-2,93	-136,64	-2,06	29,50	1,77
B104	0,000	MSÚ-B/15	0,24	10,34	-91,84	13,44	16,41	-4,13
B104	2,550+	MSÚ-B/21	-0,25	-1,95	26,55	-3,43	-1,62	3,73
B105	17,612-	MSÚ-B/56	-4,62	-0,34	-9,30	-8,49	-12,00	-0,13
B105	0,000	MSÚ-B/33	9,40	-0,41	7,59	-3,91	17,08	0,38
B105	4,100+	MSÚ-B/4	3,26	-7,23	-9,22	16,27	5,27	6,38
B105	14,048-	MSÚ-B/4	-4,14	7,56	-13,91	1,88	2,72	-1,52
B105	11,150+	MSÚ-B/21	2,30	3,24	-51,85	38,40	4,90	1,13
B105	18,800	MSÚ-B/21	-3,60	3,46	76,75	-47,99	3,45	-1,45

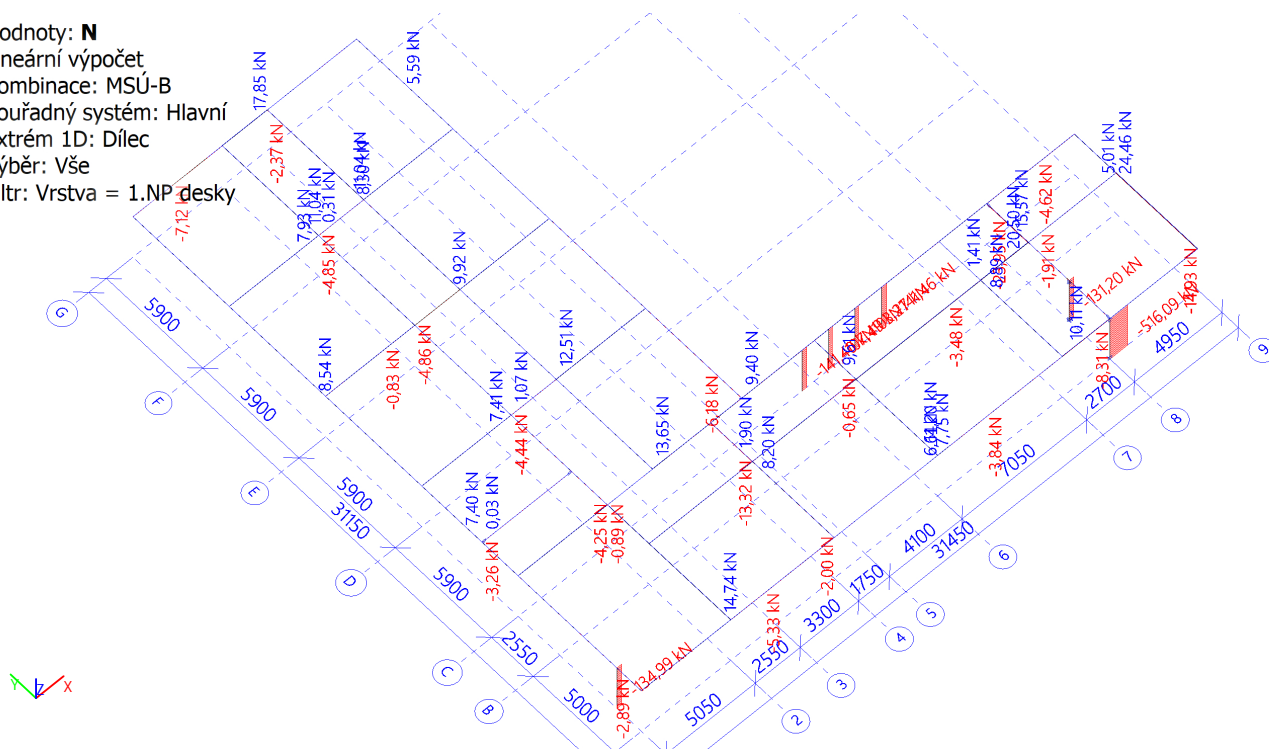
Jméno	dx [m]	Stav	N [kN]	V <sub>y</sub> [kN]	V <sub>z</sub> [kN]	M <sub>x</sub> [kNm]	M <sub>y</sub> [kNm]	M <sub>z</sub> [kNm]
B105	11,150+	MSÚ-B/18	2,32	3,38	-46,11	38,45	6,05	1,08
B105	18,206-	MSÚ-B/38	3,58	-0,99	-3,16	-3,95	-19,29	-0,59
B105	1,200-	MSÚ-B/26	4,20	-0,36	0,46	-1,71	23,74	0,25
B105	7,500-	MSÚ-B/4	3,22	-0,11	-3,61	2,51	-5,08	-5,22
B105	0,400+	MSÚ-B/12	-1,55	-6,46	9,84	-0,36	7,47	7,21
B107	0,000	MSÚ-B/4	0,03	-0,33	26,94	0,00	0,00	0,81
B107	0,000	MSÚ-B/21	-0,06	-0,34	46,82	0,00	0,00	0,83
B107	0,000	MSÚ-B/2	-3,17	0,08	26,94	0,00	0,00	-0,13
B107	5,050	MSÚ-B/58	-0,16	-0,02	-53,64	0,00	0,00	-0,04
B107	0,000	MSÚ-B/17	-3,17	0,07	26,94	0,00	0,00	-0,12
B107	0,000	MSÚ-B/28	-0,11	-0,21	53,64	0,00	0,00	0,51
B107	0,000	MSÚ-B/5	-3,26	0,07	46,82	0,00	0,00	-0,11
B107	2,525-	MSÚ-B/58	-0,16	-0,02	0,00	0,00	67,72	0,00
B107	5,050	MSÚ-B/21	-0,06	-0,34	-46,82	0,00	0,00	-0,88
B110	0,000	MSÚ-B/1	-134,99	-0,61	0,10	-0,04	-0,27	1,14
B110	3,300	MSÚ-B/6	-77,47	0,26	0,01	0,01	0,00	0,65
B110	0,000	MSÚ-B/57	-89,30	-1,51	0,18	-0,07	-0,43	2,30
B110	0,000	MSÚ-B/59	-128,30	0,46	0,00	0,01	-0,03	-0,36
B110	0,000	MSÚ-B/60	-110,31	0,41	0,00	0,01	-0,01	-0,32
B110	0,000	MSÚ-B/4	-88,62	-1,51	0,18	-0,07	-0,43	2,29
B110	0,000	MSÚ-B/5	-114,45	0,19	1,38	0,36	-3,00	0,00
B110	0,000	MSÚ-B/25	-92,26	0,09	1,39	0,36	-3,01	0,07
B110	3,300	MSÚ-B/54	-79,53	0,05	1,39	0,36	1,57	0,28
B110	3,300	MSÚ-B/57	-88,16	-1,51	0,18	-0,07	0,15	-2,68
B114	3,350+	MSÚ-B/24	-3,84	2,81	24,34	6,20	12,76	4,25
B114	6,350+	MSÚ-B/35	7,75	0,22	-40,49	0,83	-4,55	-0,43
B114	6,350-	MSÚ-B/21	-3,83	-9,03	-36,63	6,20	-5,52	-5,09
B114	3,350-	MSÚ-B/22	-1,55	4,39	19,68	5,44	10,78	3,85
B114	6,575-	MSÚ-B/7	4,38	-1,76	-47,09	5,41	-17,92	-3,20
B114	0,000	MSÚ-B/9	-2,76	-1,94	61,53	-33,18	-46,74	-0,90
B114	6,800+	MSÚ-B/21	-0,03	2,30	-40,67	20,65	-25,20	-4,72
B114	0,000	MSÚ-B/21	-3,18	-2,35	63,25	-33,07	-47,66	-0,72
B114	4,550-	MSÚ-B/26	0,57	-0,23	1,00	0,46	30,85	-0,04
B114	6,575-	MSÚ-B/21	1,65	-2,93	-43,07	8,31	-14,98	-5,25
B114	4,050-	MSÚ-B/57	-3,80	0,05	5,82	6,10	17,63	5,25
B115	8,875+	MSÚ-B/11	-5,33	0,13	31,81	-0,02	-3,45	0,15
B115	0,000	MSÚ-B/35	6,61	3,93	-6,37	3,61	-24,41	0,25
B115	11,075-	MSÚ-B/21	1,03	-6,20	-46,40	1,61	-5,02	-2,45
B115	0,000	MSÚ-B/9	-0,42	5,04	-37,23	24,86	-34,45	-4,14
B115	11,075-	MSÚ-B/27	0,79	-0,10	-53,05	-0,09	-6,46	-0,12
B115	0,675+	MSÚ-B/26	-1,21	-0,06	63,36	-0,26	-11,84	0,03
B115	0,025+	MSÚ-B/21	0,96	-1,57	54,57	-19,84	-36,42	-1,58
B115	0,000	MSÚ-B/21	-0,78	5,04	-37,23	24,87	-34,43	-4,16
B115	0,025-	MSÚ-B/7	2,53	4,82	-30,65	16,85	-36,73	-2,20
B115	9,975-	MSÚ-B/26	-2,75	0,01	0,09	-0,07	23,50	0,17
B115	0,000	MSÚ-B/12	-2,08	4,35	-34,50	23,87	-25,17	-4,21
B115	1,885-	MSÚ-B/23	-0,86	-0,07	-2,09	-0,83	15,05	2,52

Jméno	Klíč kombinace
MSÚ-B/1	1.35*ZS1 + 1.35*ZS2 + 0.90*ZS6 + 0.75*ZS7 + 1.35*ZS8 + 1.05*ZS3 + 1.05*ZS4
MSÚ-B/2	ZS1 + ZS2 + 1.50*ZS5 + ZS8
MSÚ-B/3	1.15*ZS1 + 1.15*ZS2 + 0.90*ZS5 + 0.75*ZS7 + 1.15*ZS8 + 1.05*ZS3 + 1.50*ZS4
MSÚ-B/4	ZS1 + ZS2 + 1.50*ZS6 + ZS8
MSÚ-B/5	1.15*ZS1 + 1.15*ZS2 + 1.50*ZS5 + 0.75*ZS7 + 1.15*ZS8 + 1.05*ZS3 + 1.05*ZS4
MSÚ-B/6	ZS1 + ZS2 + ZS8
MSÚ-B/7	1.35*ZS1 + 1.35*ZS2 + 0.90*ZS6 + 0.75*ZS7 + 1.35*ZS8 + 1.05*ZS3
MSÚ-B/8	ZS1 + ZS2 + ZS8 + 1.50*ZS4
MSÚ-B/9	1.15*ZS1 + 1.15*ZS2 + 1.50*ZS6 + 0.75*ZS7 + 1.15*ZS8 + 1.05*ZS3
MSÚ-B/10	1.35*ZS1 + 1.35*ZS2 + 0.75*ZS7 + 1.35*ZS8 + 1.05*ZS3 + 1.05*ZS4
MSÚ-B/11	ZS1 + ZS2 + 1.50*ZS5 + ZS8 + 1.05*ZS4
MSÚ-B/12	ZS1 + ZS2 + 1.50*ZS6 + ZS8 + 1.05*ZS4
MSÚ-B/13	1.15*ZS1 + 1.15*ZS2 + 0.75*ZS7 + 1.15*ZS8 + 1.50*ZS3 + 1.05*ZS4

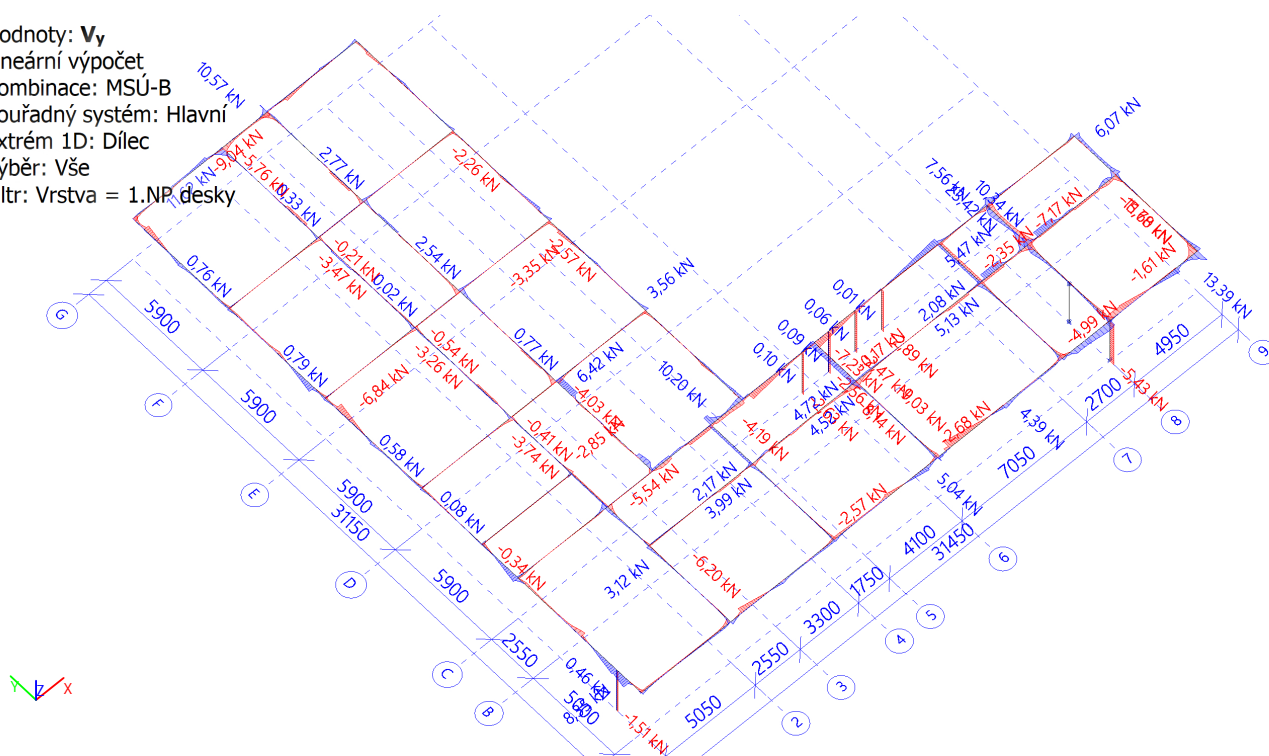


Jméno	Klíč kombinace
MSÚ-B/14	1.15*ZS1 + 1.15*ZS2 + 1.50*ZS6 + 1.15*ZS8 + 1.05*ZS3
MSÚ-B/15	ZS1 + ZS2 + 1.50*ZS6 + ZS8 + 1.05*ZS3
MSÚ-B/16	1.15*ZS1 + 1.15*ZS2 + 0.75*ZS7 + 1.15*ZS8 + 1.50*ZS4
MSÚ-B/17	ZS1 + ZS2 + 1.50*ZS5 + 0.75*ZS7 + ZS8 + 1.05*ZS4
MSÚ-B/18	1.15*ZS1 + 1.15*ZS2 + 1.50*ZS6 + 1.15*ZS8
MSÚ-B/19	1.35*ZS1 + 1.35*ZS2 + 0.90*ZS5 + 0.75*ZS7 + 1.35*ZS8 + 1.05*ZS4
MSÚ-B/20	1.35*ZS1 + 1.35*ZS2 + 0.75*ZS7 + 1.35*ZS8 + 1.05*ZS4
MSÚ-B/21	1.15*ZS1 + 1.15*ZS2 + 1.50*ZS6 + 0.75*ZS7 + 1.15*ZS8 + 1.05*ZS3 + 1.05*ZS4
MSÚ-B/22	ZS1 + ZS2 + 1.50*ZS6 + 0.75*ZS7 + ZS8
MSÚ-B/23	1.15*ZS1 + 1.15*ZS2 + 1.50*ZS6 + 0.75*ZS7 + 1.15*ZS8 + 1.05*ZS4
MSÚ-B/24	1.15*ZS1 + 1.15*ZS2 + 1.50*ZS6 + 1.15*ZS8 + 1.05*ZS3 + 1.05*ZS4
MSÚ-B/25	1.15*ZS1 + 1.15*ZS2 + 1.50*ZS5 + 0.75*ZS7 + 1.15*ZS8
MSÚ-B/26	1.35*ZS1 + 1.35*ZS2 + 0.90*ZS5 + 0.75*ZS7 + 1.35*ZS8 + 1.05*ZS3 + 1.05*ZS4
MSÚ-B/27	1.35*ZS1 + 1.35*ZS2 + 0.75*ZS7 + 1.35*ZS8 + 1.05*ZS3
MSÚ-B/28	1.15*ZS1 + 1.15*ZS2 + 0.90*ZS6 + 1.15*ZS8 + 1.50*ZS3
MSÚ-B/29	1.15*ZS1 + 1.15*ZS2 + 0.90*ZS5 + 0.75*ZS7 + 1.15*ZS8 + 1.50*ZS3 + 1.05*ZS4
MSÚ-B/30	1.15*ZS1 + 1.15*ZS2 + 0.90*ZS6 + 0.75*ZS7 + 1.15*ZS8 + 1.50*ZS3 + 1.05*ZS4
MSÚ-B/31	1.15*ZS1 + 1.15*ZS2 + 1.50*ZS5 + 1.15*ZS8 + 1.05*ZS3 + 1.05*ZS4
MSÚ-B/32	ZS1 + ZS2 + 1.50*ZS6 + 0.75*ZS7 + ZS8 + 1.05*ZS3 + 1.05*ZS4
MSÚ-B/33	1.15*ZS1 + 1.15*ZS2 + 1.50*ZS5 + 0.75*ZS7 + 1.15*ZS8 + 1.05*ZS3
MSÚ-B/34	ZS1 + ZS2 + 1.50*ZS5 + ZS8 + 1.05*ZS3
MSÚ-B/35	1.35*ZS1 + 1.35*ZS2 + 0.90*ZS5 + 0.75*ZS7 + 1.35*ZS8 + 1.05*ZS3
MSÚ-B/36	1.35*ZS1 + 1.35*ZS2 + 0.90*ZS6 + 1.35*ZS8 + 1.05*ZS3 + 1.05*ZS4
MSÚ-B/37	1.15*ZS1 + 1.15*ZS2 + 0.75*ZS7 + 1.15*ZS8 + 1.50*ZS3
MSÚ-B/38	1.15*ZS1 + 1.15*ZS2 + 1.50*ZS5 + 0.75*ZS7 + 1.15*ZS8 + 1.05*ZS4
MSÚ-B/39	1.15*ZS1 + 1.15*ZS2 + 1.50*ZS6 + 1.15*ZS8 + 1.05*ZS4
MSÚ-B/40	1.35*ZS1 + 1.35*ZS2 + 0.90*ZS6 + 0.75*ZS7 + 1.35*ZS8 + 1.05*ZS4
MSÚ-B/41	1.15*ZS1 + 1.15*ZS2 + 0.90*ZS6 + 1.15*ZS8 + 1.50*ZS3 + 1.05*ZS4
MSÚ-B/42	1.35*ZS1 + 1.35*ZS2 + 0.90*ZS6 + 1.35*ZS8 + 1.05*ZS4
MSÚ-B/43	1.15*ZS1 + 1.15*ZS2 + 1.50*ZS5 + 1.15*ZS8
MSÚ-B/44	ZS1 + ZS2 + 1.50*ZS5 + 0.75*ZS7 + ZS8 + 1.05*ZS3
MSÚ-B/45	ZS1 + ZS2 + 1.50*ZS6 + ZS8 + 1.05*ZS3 + 1.05*ZS4
MSÚ-B/46	1.35*ZS1 + 1.35*ZS2 + 0.90*ZS6 + 1.35*ZS8
MSÚ-B/47	1.15*ZS1 + 1.15*ZS2 + 1.50*ZS5 + 1.15*ZS8 + 1.05*ZS4
MSÚ-B/48	ZS1 + ZS2 + 1.50*ZS5 + 0.75*ZS7 + ZS8 + 1.05*ZS3 + 1.05*ZS4
MSÚ-B/49	1.15*ZS1 + 1.15*ZS2 + 1.15*ZS8 + 1.05*ZS3 + 1.50*ZS4
MSÚ-B/50	1.15*ZS1 + 1.15*ZS2 + 1.50*ZS6 + 0.75*ZS7 + 1.15*ZS8
MSÚ-B/51	1.35*ZS1 + 1.35*ZS2 + 0.90*ZS5 + 1.35*ZS8
MSÚ-B/52	ZS1 + ZS2 + 1.50*ZS7 + ZS8 + 1.05*ZS4
MSÚ-B/53	1.15*ZS1 + 1.15*ZS2 + 1.50*ZS5 + 1.15*ZS8 + 1.05*ZS3
MSÚ-B/54	ZS1 + ZS2 + 1.50*ZS5 + 0.75*ZS7 + ZS8
MSÚ-B/55	1.35*ZS1 + 1.35*ZS2 + 0.90*ZS5 + 1.35*ZS8 + 1.05*ZS4
MSÚ-B/56	ZS1 + ZS2 + 1.50*ZS6 + 0.75*ZS7 + ZS8 + 1.05*ZS3
MSÚ-B/57	ZS1 + ZS2 + 1.50*ZS6 + 0.75*ZS7 + ZS8 + 1.05*ZS4
MSÚ-B/58	1.15*ZS1 + 1.15*ZS2 + 1.15*ZS8 + 1.50*ZS3
MSÚ-B/59	1.35*ZS1 + 1.35*ZS2 + 1.35*ZS8 + 1.05*ZS3
MSÚ-B/60	ZS1 + ZS2 + ZS8 + 1.50*ZS3 + 1.05*ZS4

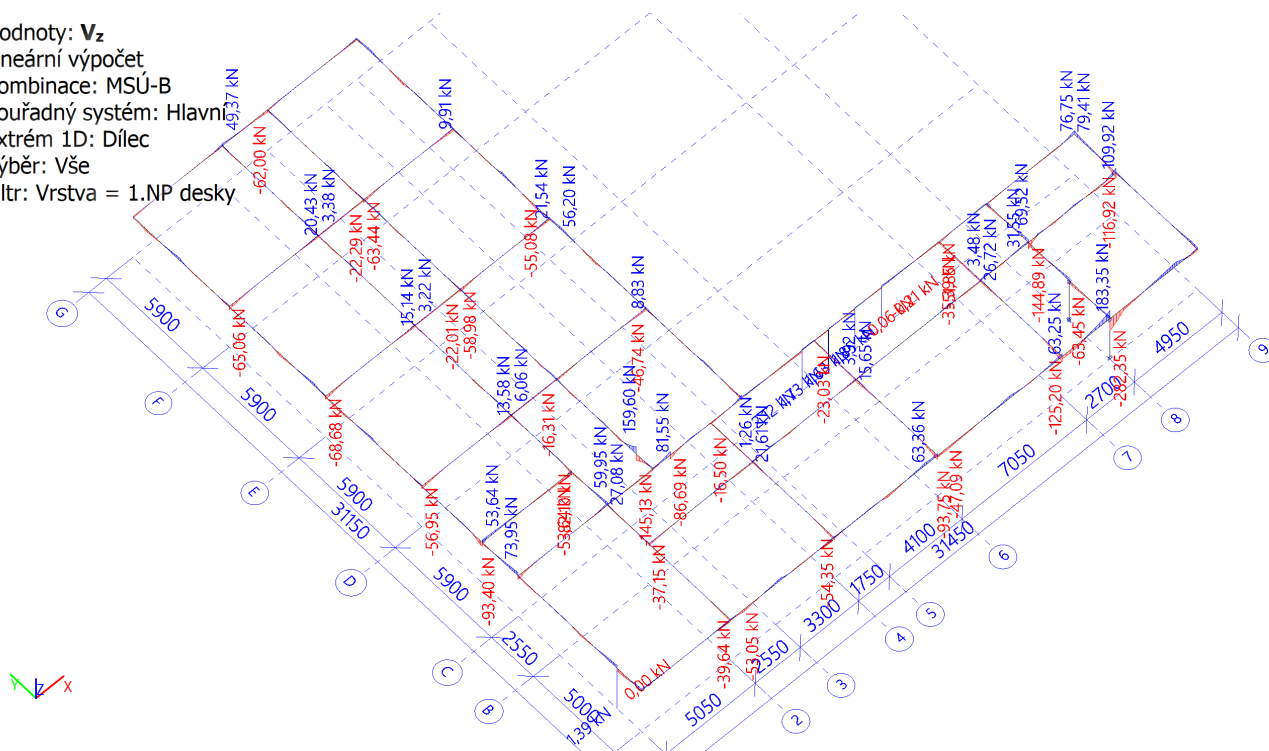
Hodnoty: **N**  
 Lineární výpočet  
 Kombinace: MSÚ-B  
 Souřadný systém: Hlavní  
 Extrém 1D: Dílec  
 Výběr: Vše  
 Filtr: Vrstva = 1.NP.desky



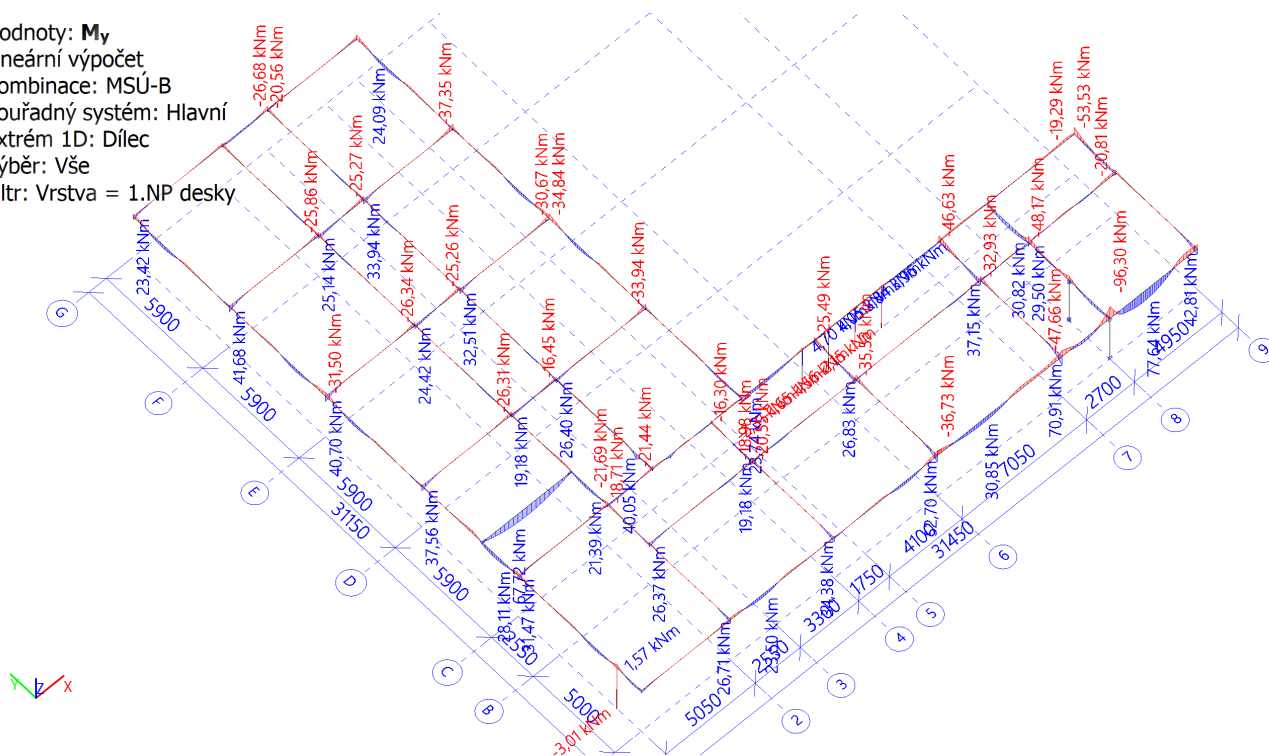
Hodnoty: **V<sub>y</sub>**  
 Lineární výpočet  
 Kombinace: MSÚ-B  
 Souřadný systém: Hlavní  
 Extrém 1D: Dílec  
 Výběr: Vše  
 Filtr: Vrstva = 1.NP.desky



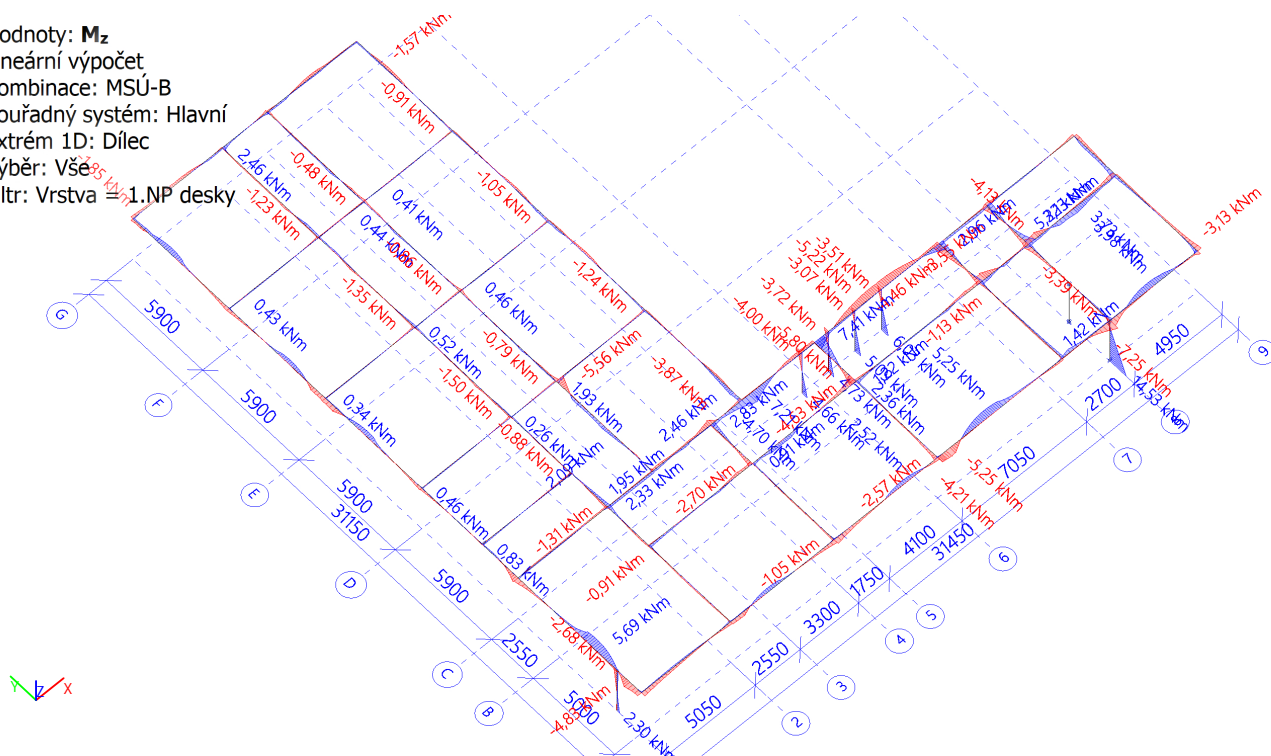
Hodnoty:  $V_z$   
 Lineární výpočet  
 Kombinace: MSÚ-B  
 Souřadný systém: Hlavní  
 Extrém 1D: Dílec  
 Výběr: Vše  
 Filtr: Vrstva = 1.NP desky



Hodnoty:  $M_y$   
 Lineární výpočet  
 Kombinace: MSÚ-B  
 Souřadný systém: Hlavní  
 Extrém 1D: Dílec  
 Výběr: Vše  
 Filtr: Vrstva = 1.NP desky



Hodnoty:  $M_z$   
 Lineární výpočet  
 Kombinace: MSÚ-B  
 Souřadný systém: Hlavní  
 Extrém 1D: Dílec  
 Výběr: Vše  
 Filtr: Vrstva = 1.NP desky



## 15.7. Posouzení pozedního věnce

Vypočet: Pozední věnec 240/300 mm				Vypočet: Ing. Martin Šponar									
(dle ČSN EN 1992-1-1)													
Oboustranně vyztužený průřez				Předpoklady:									
				1. rovnoměrné rozdělení napětí v tlačené oblasti									
				2. neomezené přetvoření tahové výztuže									
				3. únosnost tlakové výztuže dle napětí									
				4. svislé třmínky, šikmé ohyby									
				5. $1 < \cot \theta < 2,5$ (sklon tlakových diagonál)									
				h, b rozměry průřezu									
				M <sub>Ed</sub> ohyb. moment od návrhového zatížení									
				γ <sub>c</sub> , γ <sub>s</sub> dílčí souč materiálu									
				α <sub>cc</sub> součinitel dlouhodobých účinků									
				n, d <sub>s2</sub> počet a průměr vložek tlačené výztuže									
				m <sub>1</sub> , d <sub>s11</sub> počet a průměr vložek tažené výztuže									
				m <sub>2</sub> , d <sub>s12</sub> počet a průměr vložek příložek tažené výztuže									
				n <sub>sw</sub> , d <sub>sw</sub> , s <sub>sw</sub> třmínky - počet sřtíhů, průměr, rozteč									
				n <sub>sb</sub> , d <sub>sb</sub> , s <sub>sb</sub> ohyby - počet, průměr, rozteč									
				α <sub>sb</sub> úhel ohybů a střednice prvu									
Vstupní údaje													
b	h	M <sub>Ed</sub>	V <sub>Ed</sub>	Beton	Ocel	γ <sub>c</sub>	γ <sub>s</sub>	α <sub>cc</sub>	typ				
[m]	[m]	[kNm]	[kN]	C30/37	10505	[ ]	[ ]		kce				
0,24	0,3	60,00	170,00	30	R	1,50	1,15	1	typ				
Podélná výztuž													
n	d <sub>s2</sub>	krytí_h	A <sub>s2</sub>	m <sub>1</sub>	d <sub>s11</sub>	m <sub>2</sub>	d <sub>s2</sub>	krytí_d	A <sub>s1</sub>				
[ ]	[mm]	[mm]	[*10 <sup>-4</sup> m <sup>2</sup> ]	[ ]	[mm]	[ ]	[mm]	[mm]	[*10 <sup>-4</sup> m <sup>2</sup> ]				
4	14	30	6,16	4	14	0	0	30	6,16				
Třmínky													
n <sub>sw</sub>	d <sub>sw</sub>	s <sub>sw</sub>	Ocel-tř.	Ohyby									
[ ]	[mm]	[mm]	10505	n <sub>sb</sub>	d <sub>sb</sub>	s <sub>sb</sub>	α <sub>sb</sub>	Ocel-oh.					
				[ ]	[mm]	[mm]	[°]	10505					
2	8	150	R	0	12	250	45	R					
vyhoví													
Mez porušení ohybem													
A <sub>s,min</sub>	A <sub>s1</sub> > A <sub>s,min</sub>	A <sub>s,max</sub>	A <sub>s1</sub> + A <sub>s2</sub> < A <sub>s,max</sub>	ξ <sub>bal,1</sub>	ξ = x/d								
[*10 <sup>-4</sup> m <sup>2</sup> ]		[*10 <sup>-4</sup> m <sup>2</sup> ]		0,617	> 0,177	Výška tlačené oblasti vyhovuje							
0,952	vyhoví	28,800	vyhoví										
M <sub>Rd</sub>					Tlaková výztuž		není plně využita						
[kNm]													
63,790	M <sub>Rd</sub> > M <sub>Ed</sub>				Ohybová únosnost vyhoví								
Mez porušení posouvající silou													
P <sub>w</sub>	P <sub>wmax</sub>	vyhoví	P <sub>wmin</sub>	vyhoví									
0,002793	0,012144		0,001008										
cotgθ	minV <sub>Rdmax</sub>	V <sub>Rdmax</sub>	V <sub>Rd,s</sub>	V <sub>Rd,st</sub>	V <sub>Rd,cm</sub>								
	[kN]	[kN]	[kN]	[kN]	[kN]								
2,500	206,86	206,86	172,43	172,43	43,70	Smyková únosnost vyhoví							
min (V <sub>Rdmax</sub> , V <sub>Rd,s</sub> ) > V <sub>Ed</sub>													
minV <sub>Rdmax</sub> minimální hodnota únosnosti tlak. diagonály (cotg θ=2,5)													
V <sub>Rdmax</sub> únosnost tlakové diagonály													
V <sub>Rd,s</sub> únosnost smykové výztuže (třmínky + ohyby)													
V <sub>Rd,st</sub> únosnost smykové výztuže (jen svislé třmínky)													
V <sub>Rd,cm</sub> únosnost bez smykové výztuže													

## 15.8. Posudek ocelových prvků na MSÚ EC-EN 1993

Lineární výpočet

Kombinace: MSÚ-B

Souřadný systém: Hlavní

Extrém 1D: Průřez

Vyběr: Vše

Filtr: Vrstva = 1.NP desky

Posudek EN 1993-1-1

Národní příloha: Česká CSN-EN NA

Dílec B2	0,000 / 3,300 m	MSH150x150x8.0	S 235	MSÚ-B	0,28 -
----------	-----------------	----------------	-------	-------	--------

Data prutu	
Výroba	Válcovaný
Vzpěrná skupina	Výchozí

Klíč kombinace	
MSÚ-B / 1.15*ZS1 + 1.15*ZS2 + 1.50*ZS6 + 0.75*ZS7 + 1.15*ZS8 + 1.05*ZS3	

N <sub>Ed</sub> [kN]	V <sub>y,Ed</sub> [kN]	V <sub>z,Ed</sub> [kN]	T <sub>Ed</sub> [kNm]	M <sub>y,Ed</sub> [kNm]	M <sub>z,Ed</sub> [kNm]
-131,24	-2,61	0,10	-0,23	-0,06	4,66

Posudek v řezu	
Klasifikace průřezu	1
Posudek na tlak	0,12 -
Posudek ohybového momentu pro M <sub>y</sub>	0,00 -
Posudek ohybového momentu pro M <sub>z</sub>	0,08 -
Posudek smyku pro V <sub>y</sub>	0,01 -
Posudek smyku pro V <sub>z</sub>	0,00 -
Posudek kroucení	0,01 -
Posudek na kombinaci ohybu, osově a smykové síly	0,02 -
Závěr - posudek průřezu	0,12 -

Vzpěrná osa	k	L [m]	N <sub>cr</sub> [kN]	M <sub>cr</sub> [kNm]	λ <sub>rel</sub>	χ
y-y	1,44	4,748	1369,99		0,88	0,75
z-z	0,55	5,470	1032,10		1,01	0,66
LTB	1,00	9,900		1144,10	0,22	1,00

Posudek stability	
Klasifikace stability	1
Posudek rovinného vzpěru	0,19 -
Posudek ohybu a osověho tlaku	0,28 -
Závěr - posudek stability	0,28 -

Posudek EN 1993-1-1

Národní příloha: Česká CSN-EN NA

Dílec B33	0,000 / 3,300 m	MSH200x200x8.0	S 235	MSÚ-B	0,41 -
-----------	-----------------	----------------	-------	-------	--------

Data prutu	
Výroba	Válcovaný
Vzpěrná skupina	Výchozí

Klíč kombinace	
MSÚ-B / 1.35*ZS1 + 1.35*ZS2 + 0.90*ZS6 + 0.75*ZS7 + 1.35*ZS8 + 1.05*ZS3 + 1.05*ZS4	

N <sub>Ed</sub> [kN]	V <sub>y,Ed</sub> [kN]	V <sub>z,Ed</sub> [kN]	T <sub>Ed</sub> [kNm]	M <sub>y,Ed</sub> [kNm]	M <sub>z,Ed</sub> [kNm]
-510,97	-3,55	0,00	-0,06	0,00	9,32

Posudek v řezu	
Klasifikace průřezu	1
Posudek na tlak	0,36 -
Posudek ohybového momentu pro M <sub>z</sub>	0,09 -
Posudek smyku pro V <sub>y</sub>	0,01 -
Posudek kroucení	0,00 -
Posudek na kombinaci ohybu, osově a smykové síly	0,11 -
Závěr - posudek průřezu	0,36 -

Vzpěrná osa	k	L [m]	N <sub>cr</sub> [kN]	M <sub>cr</sub> [kNm]	λ <sub>rel</sub>	χ
y-y	1,00	3,300	7060,98		0,45	0,94
z-z	0,65	2,135	16870,95		0,29	0,98
LTB	1,00	3,300		5766,33	0,13	1,00

Posudek stability	
Klasifikace stability	1
Posudek rovinného vzpěru	0,38 -
Posudek ohybu a osového tlaku	0,41 -
<b>Závěr</b> - posudek stability	0,41 -

Posudek EN 1993-1-1  
 Národní příloha: Česká CSN-EN NA

Dílec B107	2,525 / 5,050 m	HEA260	S 235	MSÚ-B	0,31 -
------------	-----------------	--------	-------	-------	--------

Data prutu	
Výroba	Válcovaný
Vzpěrná skupina	Výchozí

Klíč kombinace	
MSÚ-B / 1.15*ZS1 + 1.15*ZS2 + 0.90*ZS5 + 1.15*ZS8 + 1.50*ZS3	

N <sub>Ed</sub> [kN]	V <sub>y,Ed</sub> [kN]	V <sub>z,Ed</sub> [kN]	T <sub>Ed</sub> [kNm]	M <sub>y,Ed</sub> [kNm]	M <sub>z,Ed</sub> [kNm]
-2,04	0,04	0,00	0,00	67,72	0,04

Posudek v řezu	
Klasifikace průřezu	1
Posudek na tlak	0,00 -
Posudek ohybového momentu pro M <sub>y</sub>	0,31 -
Posudek ohybového momentu pro M <sub>z</sub>	0,00 -
Posudek smyku pro V <sub>y</sub>	0,00 -
Posudek kroucení	0,00 -
Posudek na kombinaci ohybu, osových a smykových sil	0,10 -
<b>Závěr</b> - posudek průřezu	0,31 -

Vzpěrná osa	k	L [m]	N <sub>cr</sub> [kN]	M <sub>cr</sub> [kNm]	λ <sub>rel</sub>	χ
y-y	1,00	5,050	8533,47		0,49	1,00
z-z	0,64	3,239	7250,36		0,53	1,00
LTB	1,00	5,050		565,08	0,62	1,00

Posudek stability	
Klasifikace stability	1
Posudek ohybu a osového tlaku	0,28 -
<b>Závěr</b> - posudek stability	0,28 -

Podklady: **UC<sub>celkový</sub>**  
 Změrný výpočet  
 Kombinace: MSÚ-B  
 Souřadný systém: Hlavní  
 Útvar: 1D: Průřez  
 Výběr: Vše  
 Filtr: Vrstva = 1.NP desky

3D perspective view of a floor slab (1D: Průřez) showing a grid of dimensions and a cross-section profile. The grid is defined by axes G-F and 1-9. Dimensions are given in millimeters. A cross-section profile is shown along the 1-9 axis, with a green hatched area representing the slab thickness. The profile shows a step change in thickness from 0.31m to 0.28m at grid line 4, and another step change from 0.28m to 0.41m at grid line 8. The total length along the 1-9 axis is 4950mm.

### 15.9.1. 1D deforme

Lineární výpočet  
Kombinace: MSP-Char  
Souřadný systém: Hlavní  
Extrém 1D: Průřez  
Výběr: Vše  
Filtr: Vrstva = 1.NP desky  
Deformace

Jméno	dx [m]	Stav	Průřez	u <sub>x</sub> [mm]	u <sub>y</sub> [mm]	u <sub>z</sub> [mm]	φ <sub>x</sub> [mrad]	φ <sub>y</sub> [mrad]	φ <sub>z</sub> [mrad]	U <sub>total</sub> [mm]
B5	3,300	MSP-Char/1	sloup5 - MSH150x150x8.0	-0,4	3,0	0,0	0,0	0,1	0,8	3,0
B3	0,000	MSP-Char/2	sloup5 - MSH150x150x8.0	0,0	0,0	0,0	0,0	0,8	0,0	0,0
B110	1,980-	MSP-Char/3	sloup5 - MSH150x150x8.0	-0,2	-0,1	0,0	0,0	0,0	0,0	0,3
B5	3,300	MSP-Char/4	sloup5 - MSH150x150x8.0	-0,3	0,0	-2,5	0,0	0,1	0,0	2,5
B110	3,300	MSP-Char/5	sloup5 - MSH150x150x8.0	-0,4	0,2	-2,5	-0,5	0,7	0,3	2,5
B3	3,300	MSP-Char/6	sloup5 - MSH150x150x8.0	-0,3	4,1	0,0	0,4	0,0	0,8	4,1
B2	3,300	MSP-Char/7	sloup5 - MSH150x150x8.0	-0,4	0,0	0,0	0,0	-0,1	0,1	0,4
B2	1,155-	MSP-Char/5	sloup5 - MSH150x150x8.0	-0,1	0,0	-1,1	0,0	1,0	0,0	1,1
B110	0,825-	MSP-Char/3	sloup5 - MSH150x150x8.0	-0,1	-0,1	0,0	0,0	0,0	-0,1	0,1
B5	2,145-	MSP-Char/8	sloup5 - MSH150x150x8.0	-0,3	3,1	0,1	0,0	0,0	1,7	3,1
B5	3,300	MSP-Char/8	sloup5 - MSH150x150x8.0	-0,4	4,9	0,0	0,1	0,1	1,3	4,9
B7	0,000	MSP-Char/9	venec - Obdélník (300; 240)	-4,1	0,0	-0,4	-0,2	-0,7	0,0	4,1
B115	0,000	MSP-Char/9	venec - Obdélník (300; 240)	-0,4	-3,8	-0,2	0,6	-0,1	0,2	3,8
B14	19,000-	MSP-Char/8	venec - Obdélník (300; 240)	0,1	4,5	-0,2	-0,9	0,1	0,0	4,5



Jméno	dx [m]	Stav	Průřez	U <sub>x</sub> [mm]	U <sub>y</sub> [mm]	U <sub>z</sub> [mm]	Φ <sub>x</sub> [mrad]	Φ <sub>y</sub> [mrad]	Φ <sub>z</sub> [mrad]	U <sub>total</sub> [mm]
B9	8,980-	MSP-Char/1	venec - Obdélník (300; 240)	1,0	0,0	-1,3	-0,1	0,0	0,0	1,6
B7	7,550	MSP-Char/8	venec - Obdélník (300; 240)	-4,1	0,4	0,1	0,6	-0,8	-0,1	4,1
B14	20,414-	MSP-Char/9	venec - Obdélník (300; 240)	0,1	4,3	-0,3	-1,5	0,1	-0,1	4,3
B9	27,850-	MSP-Char/10	venec - Obdélník (300; 240)	0,3	-3,2	-0,3	1,1	0,4	-0,1	3,3
B34	7,550	MSP-Char/9	venec - Obdélník (300; 240)	4,2	0,0	-0,2	0,0	-1,3	0,0	4,2
B34	5,000-	MSP-Char/9	venec - Obdélník (300; 240)	4,2	-0,1	-0,4	-0,1	1,0	-0,1	4,3
B9	1,400-	MSP-Char/5	venec - Obdélník (300; 240)	0,2	-2,4	-0,3	0,7	0,2	-0,5	2,4
B115	3,075-	MSP-Char/6	venec - Obdélník (300; 240)	-0,4	-3,1	-0,4	1,1	-0,4	0,3	3,1
B31	2,550	MSP-Char/8	venec - Obdélník (300; 240)	4,5	0,0	-0,4	-0,2	0,9	-0,1	4,5
B8	0,000	MSP-Char/11	pruvlak3 - Obdélník (500; 240)	-1,9	0,2	-0,1	0,0	0,2	0,0	1,9
B105	18,800	MSP-Char/4	pruvlak3 - Obdélník (500; 240)	2,5	-0,1	-0,4	0,4	0,3	0,0	2,6
B114	3,153-	MSP-Char/8	pruvlak3 - Obdélník (500; 240)	-0,4	-4,6	-0,5	1,5	0,3	0,0	4,7
B8	3,158-	MSP-Char/12	pruvlak3 - Obdélník (500; 240)	-0,2	-2,7	-2,0	0,9	0,0	0,0	3,4
B8	0,000	MSP-Char/8	pruvlak3 - Obdélník (500; 240)	-0,4	-4,1	0,1	0,8	0,6	-0,1	4,1
B105	15,236-	MSP-Char/13	pruvlak3 - Obdélník (500; 240)	0,0	4,2	-0,1	-1,8	0,0	0,0	4,2
B8	4,950-	MSP-Char/8	pruvlak3 - Obdélník (500; 240)	-0,3	-4,2	-1,0	1,6	-0,5	0,0	4,4
B8	4,575-	MSP-Char/12	pruvlak3 - Obdélník (500; 240)	-0,2	-2,6	-1,4	1,0	-0,7	0,1	2,9
B8	1,303-	MSP-Char/12	pruvlak3 - Obdélník (500; 240)	-0,2	-2,6	-0,9	0,8	0,9	-0,1	2,8
B105	10,224-	MSP-Char/6	pruvlak3 - Obdélník (500; 240)	0,0	4,6	-0,5	-1,0	-0,1	-0,2	4,7
B105	1,900-	MSP-Char/6	pruvlak3 - Obdélník (500; 240)	0,0	3,0	-0,5	-0,6	0,0	0,4	3,0
B105	8,300-	MSP-Char/9	pruvlak3 - Obdélník (500; 240)	0,0	4,9	-0,5	-1,2	0,1	0,0	5,0
B33	3,300	MSP-Char/14	ram - MSH200x200x8.0	-1,1	0,0	-1,1	0,0	0,3	0,0	1,5
B33	0,000	MSP-Char/6	ram - MSH200x200x8.0	0,0	0,0	0,0	0,0	0,1	0,1	0,0
B33	3,300	MSP-Char/2	ram - MSH200x200x8.0	-0,9	-0,1	-1,9	-0,1	0,6	-0,1	2,1
B33	0,165-	MSP-Char/15	ram - MSH200x200x8.0	-0,1	0,0	0,0	0,0	0,0	-0,1	0,1
B33	0,000	MSP-Char/14	ram - MSH200x200x8.0	-0,1	0,0	0,0	0,0	0,3	-0,1	0,1
B33	2,640-	MSP-Char/9	ram - MSH200x200x8.0	-0,8	3,1	-0,3	0,0	0,1	1,7	3,2
B33	3,300	MSP-Char/9	ram - MSH200x200x8.0	-1,0	4,2	-0,3	0,0	0,1	1,6	4,4

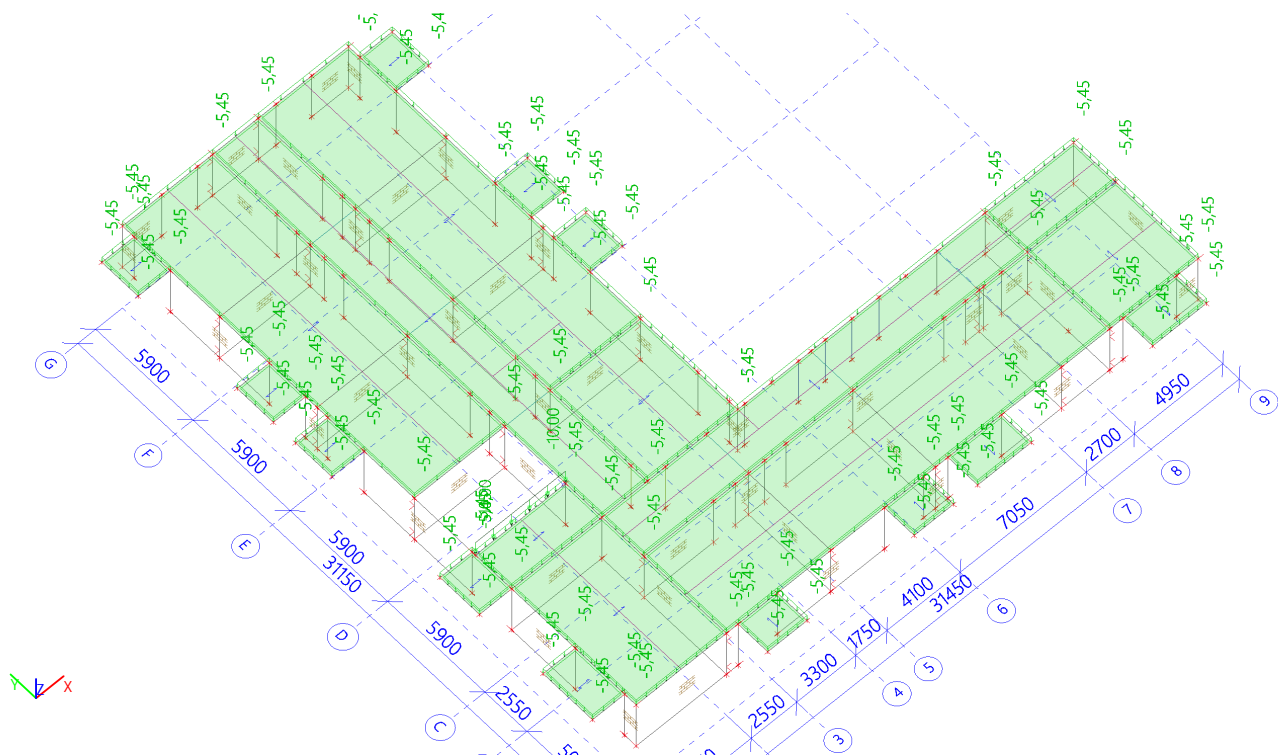
Jméno	dx [m]	Stav	Průřez	U <sub>x</sub> [mm]	U <sub>y</sub> [mm]	U <sub>z</sub> [mm]	Φ <sub>x</sub> [mrad]	Φ <sub>y</sub> [mrad]	Φ <sub>z</sub> [mrad]	U <sub>total</sub> [mm]
B107	5,050	MSP-Char/13	pruvlak4 - HEA260	0,0	2,0	-0,6	0,6	-3,7	0,0	2,1
B107	0,000	MSP-Char/4	pruvlak4 - HEA260	2,6	0,2	-0,6	0,5	2,6	0,0	2,7
B107	0,000	MSP-Char/16	pruvlak4 - HEA260	0,0	0,0	-0,6	0,5	2,6	0,0	0,6
B107	5,050	MSP-Char/9	pruvlak4 - HEA260	0,0	2,0	-0,6	0,6	-3,7	0,0	2,1
B107	2,525-	MSP-Char/17	pruvlak4 - HEA260	0,0	1,1	-7,5	0,7	0,0	0,1	7,6
B107	5,050	MSP-Char/18	pruvlak4 - HEA260	0,0	0,0	-0,5	0,4	-2,6	0,0	0,5
B107	0,000	MSP-Char/1	pruvlak4 - HEA260	0,0	1,0	-0,9	0,8	4,0	0,0	1,4
B107	5,050	MSP-Char/19	pruvlak4 - HEA260	0,0	1,2	-0,6	0,6	-4,1	0,0	1,4
B107	0,000	MSP-Char/20	pruvlak4 - HEA260	1,6	0,2	-0,9	0,8	4,0	0,0	1,8
B107	1,515-	MSP-Char/21	pruvlak4 - HEA260	2,6	0,2	-5,6	0,6	2,0	0,0	6,2
B107	2,525-	MSP-Char/9	pruvlak4 - HEA260	0,0	1,8	-6,7	0,7	0,0	0,1	7,0

Jméno	Klíč kombinace
MSP-Char/1	ZS1 + ZS2 + 0.60*ZS6 + 0.50*ZS7 + ZS8 + ZS3
MSP-Char/2	ZS1 + ZS2 + ZS5 + ZS8
MSP-Char/3	ZS1 + ZS2 + ZS8 + ZS3
MSP-Char/4	ZS1 + ZS2 + ZS5 + 0.50*ZS7 + ZS8 + 0.70*ZS4
MSP-Char/5	ZS1 + ZS2 + ZS5 + 0.50*ZS7 + ZS8 + 0.70*ZS3 + 0.70*ZS4
MSP-Char/6	ZS1 + ZS2 + ZS6 + ZS8
MSP-Char/7	ZS1 + ZS2 + 0.50*ZS7 + ZS8 + ZS3 + 0.70*ZS4
MSP-Char/8	ZS1 + ZS2 + ZS6 + ZS8 + 0.70*ZS3 + 0.70*ZS4
MSP-Char/9	ZS1 + ZS2 + ZS6 + 0.50*ZS7 + ZS8 + 0.70*ZS3 + 0.70*ZS4
MSP-Char/10	ZS1 + ZS2 + ZS5 + 0.50*ZS7 + ZS8 + 0.70*ZS3
MSP-Char/11	ZS1 + ZS2 + ZS5 + 0.50*ZS7 + ZS8
MSP-Char/12	ZS1 + ZS2 + 0.60*ZS6 + 0.50*ZS7 + ZS8 + 0.70*ZS3 + ZS4
MSP-Char/13	ZS1 + ZS2 + ZS6 + ZS8 + 0.70*ZS3
MSP-Char/14	ZS1 + ZS2 + 0.60*ZS5 + 0.50*ZS7 + ZS8 + 0.70*ZS3 + ZS4
MSP-Char/15	ZS1 + ZS2 + ZS8 + ZS3 + 0.70*ZS4
MSP-Char/16	ZS1 + ZS2 + ZS7 + ZS8
MSP-Char/17	ZS1 + ZS2 + 0.60*ZS6 + 0.50*ZS7 + ZS8 + ZS3 + 0.70*ZS4
MSP-Char/18	ZS1 + ZS2 + ZS8
MSP-Char/19	ZS1 + ZS2 + 0.60*ZS6 + ZS8 + ZS3
MSP-Char/20	ZS1 + ZS2 + 0.60*ZS5 + 0.50*ZS7 + ZS8 + ZS3 + 0.70*ZS4
MSP-Char/21	ZS1 + ZS2 + ZS5 + ZS8 + 0.70*ZS3

Hodnoty:  $u_y$   
 Neúspěšný výpočet  
 Kombinace: MSP-Char  
 Souřadný systém: Hlavní  
 Extrém 1D: Průřez  
 Výběr: Vše  
 Filtr: Vrstva = 1.NP desky

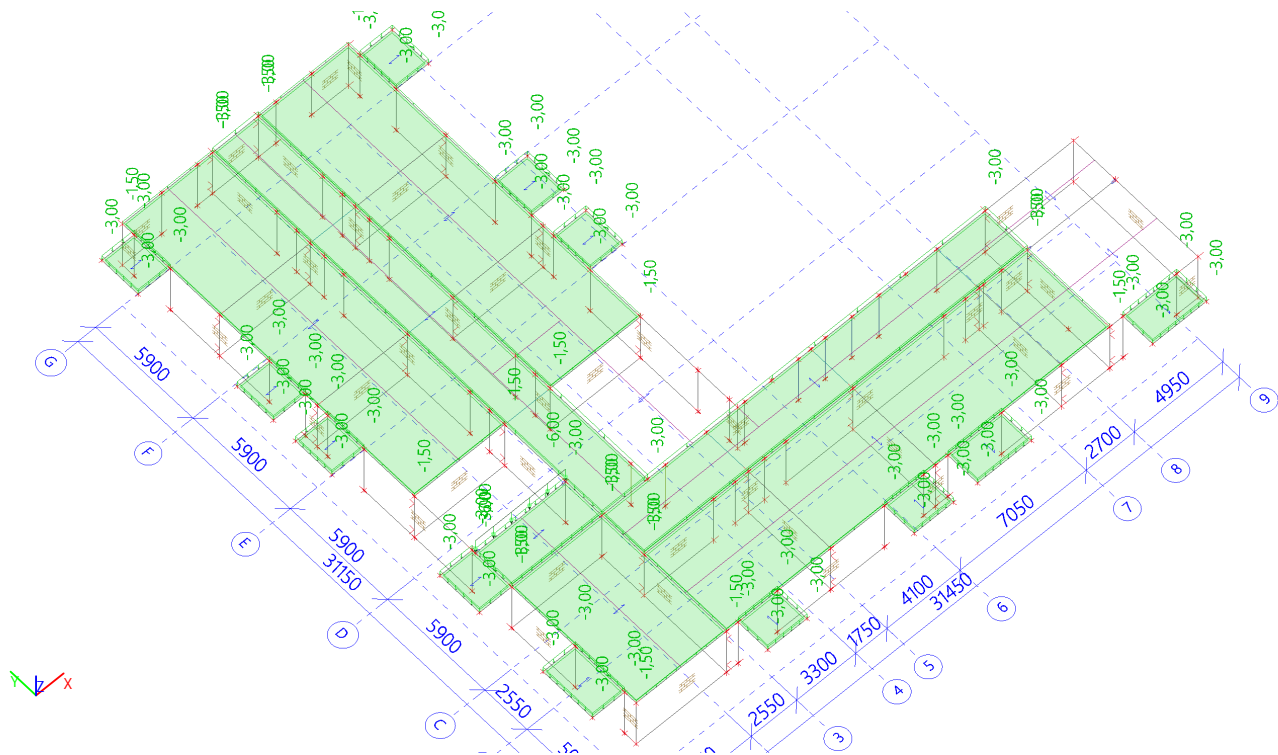
Hodnoty:  $u_z$   
 Neúspěšný výpočet  
 Kombinace: MSP-Char  
 Souřadný systém: Hlavní  
 Extrém 1D: Průřez  
 Výběr: Vše  
 Filtr: Vrstva = 1.NP desky

Jméno	Popis	Typ působení	Skupina zatížení	Typ zatížení
ZS2	podlaha	Stálé	SZ1	Standard



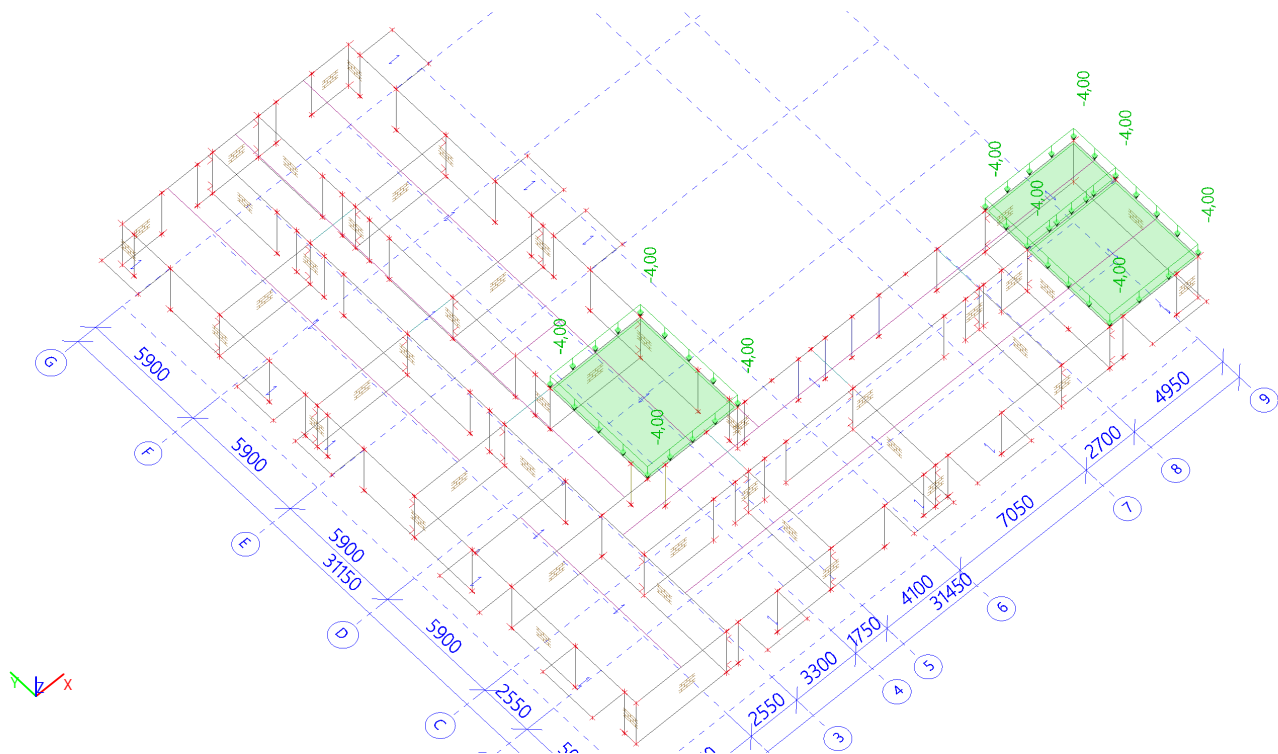
16.1.2. Zatěžovací stavy - ZS3

Jméno	Popis	Typ působení	Skupina zatížení	Typ zatížení	Spec	Působení	Řídicí zat. stav
ZS3	provoz	Proměnné	SZ2	Statické	Standard	Krátkodobé	Žádný



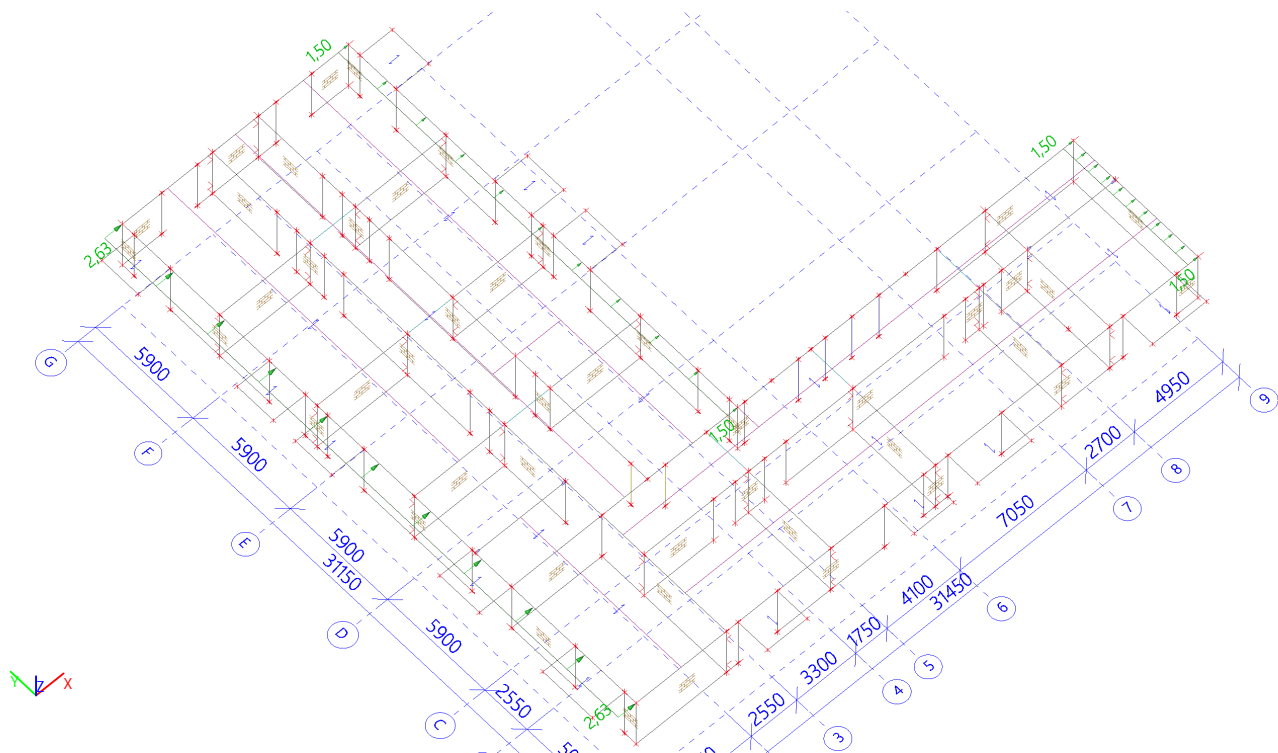
16.1.3. Zatěžovací stavy - ZS4

Jméno	Popis	Typ působení	Skupina zatížení	Typ zatížení	Spec	Působení	Řídicí zat. stav
ZS4	schomazdení	Proměnné	SZ5	Statické	Standard	Krátkodobé	Žádný



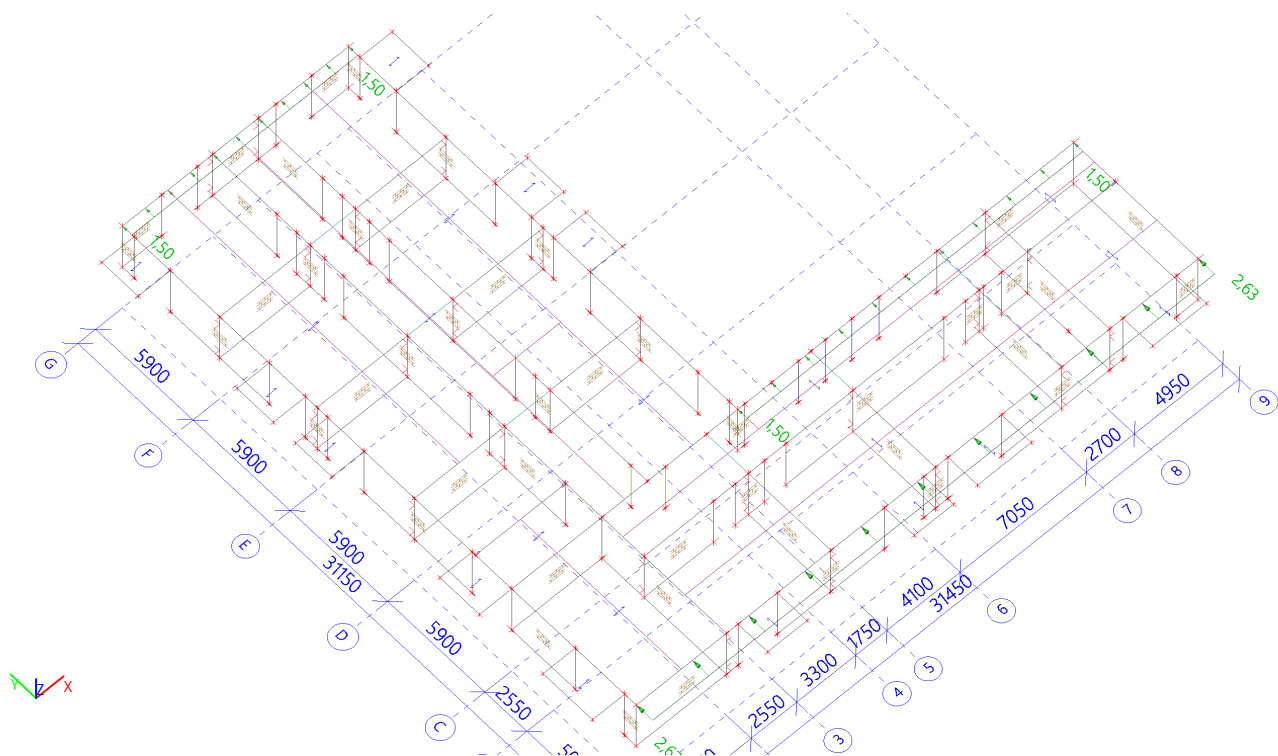
16.1.4. Zatěžovací stavy - ZS5

Jméno	Popis	Typ působení	Skupina zatížení	Typ zatížení	Spec	Působení	Řídicí zat. stav
ZS5	vitr x+	Proměnné	SZ4	Statické	Standard	Krátkodobé	Žádný



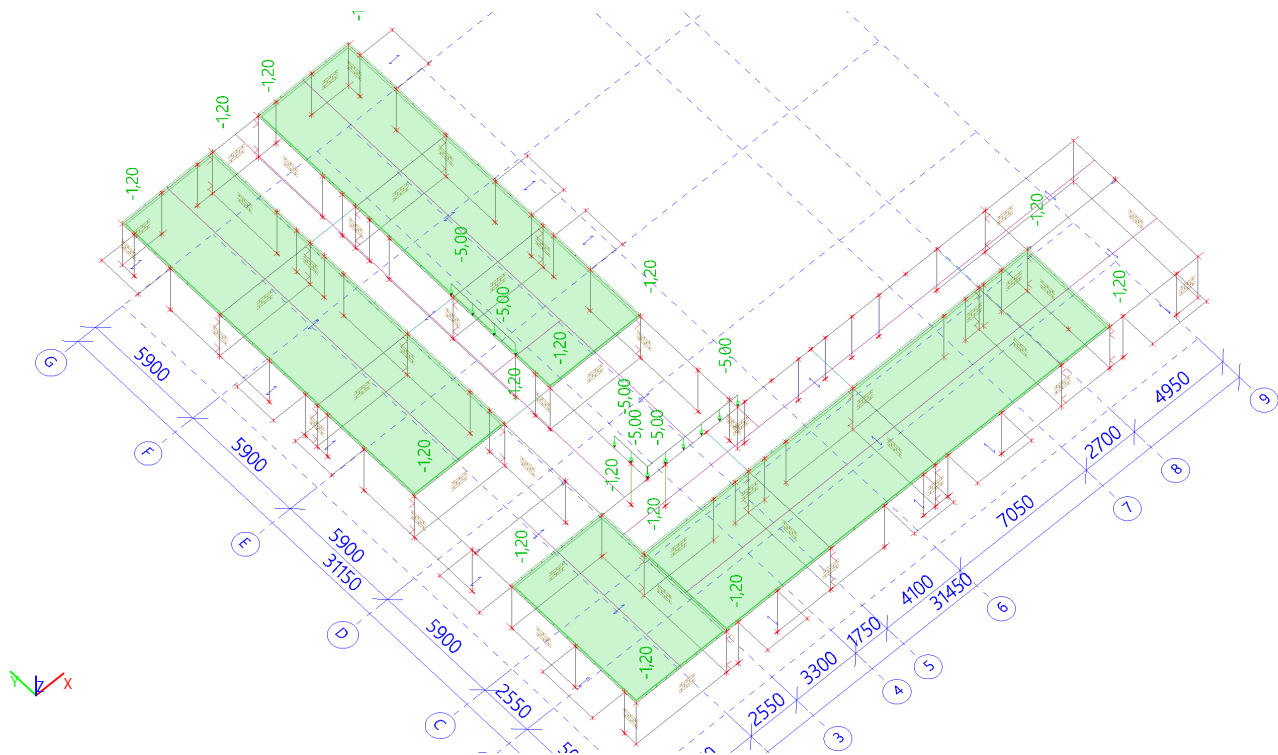
16.1.5. Zatěžovací stavy - ZS6

Jméno	Popis	Typ působení	Skupina zatížení	Typ zatížení	Spec	Působení	Řídicí zat. stav
ZS6	vitr Y+	Proměnné	SZ4	Statické	Standard	Krátkodobé	Žádný



16.1.6. Zatěžovací stavy - ZS8

Jméno	Popis	Typ působení	Skupina zatížení	Typ zatížení
ZS8	prcky	Stálé	SZ1	Standard



16.2. Zatížení zdiva

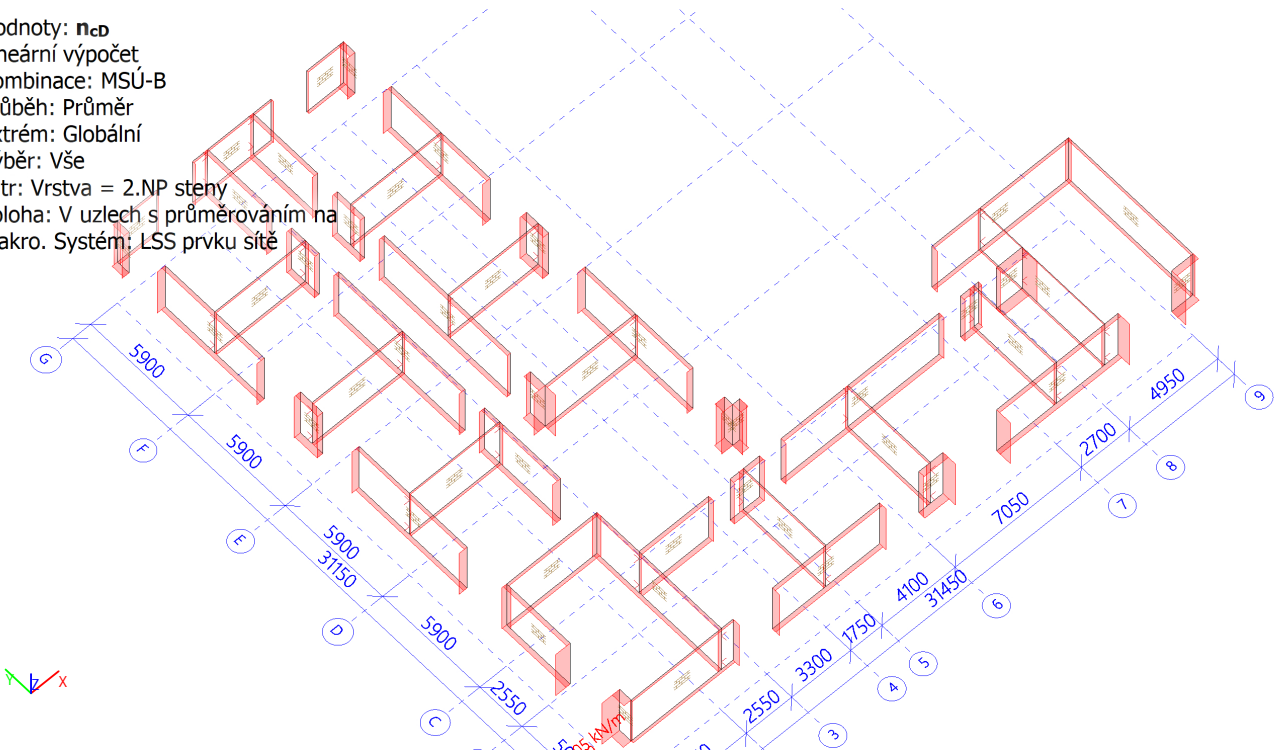
16.2.1. 2D vnitřní síly

Lineární výpočet  
Kombinace: MSÚ-B  
Průběh: Průměr

Extrém: Globální  
Výběr: Vše  
Filtr: Vrstva = 2.NP steny  
Poloha: V uzlech s průměrováním na makro. Systém: LSS prvku sítě  
Základní návrhové veličiny - Výsledky na okrajích:

Jméno	Sít'	Pozice [m]	Stav	$m_{xD+}$ [kNm/m]	$m_{yD+}$ [kNm/m]	$m_{cD+}$ [kNm/m]	$n_{xD}$ [kN/m]	$n_{yD}$ [kN/m]	$n_{cD}$ [kN/m]
S85/Edge 301	Prvek: 0	0,000 0,700 3,300	MSÚ-B	-0,06 0,10	-0,25 0,56	-0,56 -0,39	-2,84	0,00	-598,84
S80/Edge 283	Prvek: 0	31,450 0,000 6,600	MSÚ-B	-1,12 2,84	-8,57 8,93	-10,23 -9,69	0,01	5,01	-1,35

Hodnoty:  $n_{cD}$   
Lineární výpočet  
Kombinace: MSÚ-B  
Průběh: Průměr  
Extrém: Globální  
Výběr: Vše  
Filtr: Vrstva = 2.NP steny  
Poloha: V uzlech s průměrováním na makro. Systém: LSS prvku sítě



16.3. Vnitřní síly 1D prvků

16.3.1. 1D vnitřní síly

Lineární výpočet  
Kombinace: MSÚ-B  
Souřadný systém: Hlavní  
Extrém 1D: Dílec  
Výběr: Vše  
Filtr: Vrstva = 2.NP desky

Jméno	dx [m]	Stav	N [kN]	V <sub>y</sub> [kN]	V <sub>z</sub> [kN]	M <sub>x</sub> [kNm]	M <sub>y</sub> [kNm]	M <sub>z</sub> [kNm]
B37	0,000	MSÚ-B/1	-82,63	-1,72	0,45	-0,18	-0,78	2,74
B37	3,300	MSÚ-B/2	-46,96	0,22	3,46	-0,01	5,69	0,33
B37	0,000	MSÚ-B/3	-59,88	-3,13	0,10	-0,30	-0,20	5,04
B37	0,000	MSÚ-B/4	-66,32	-3,12	0,16	-0,31	-0,30	5,02
B37	0,000	MSÚ-B/5	-70,58	0,22	0,55	0,01	-0,93	-0,38
B37	0,000	MSÚ-B/6	-64,35	0,31	3,63	-0,01	-6,02	-0,53
B37	3,300	MSÚ-B/6	-63,05	0,31	3,63	-0,01	5,94	0,48
B37	3,300	MSÚ-B/3	-58,74	-3,13	0,10	-0,30	0,14	-5,29
B38	0,000	MSÚ-B/1	-75,87	-1,60	0,31	-0,12	-0,49	2,54
B38	3,300	MSÚ-B/2	-44,29	0,12	3,25	0,00	5,37	0,19
B38	0,000	MSÚ-B/3	-54,77	-2,80	0,18	-0,21	-0,28	4,45
B38	0,000	MSÚ-B/4	-61,71	-2,78	0,19	-0,21	-0,30	4,42



Jméno	dx [m]	Stav	N [kN]	V <sub>y</sub> [kN]	V <sub>z</sub> [kN]	M <sub>x</sub> [kNm]	M <sub>y</sub> [kNm]	M <sub>z</sub> [kNm]
B38	0,000	MSÚ-B/5	-63,70	0,09	0,31	0,01	-0,50	-0,15
B38	0,000	MSÚ-B/6	-60,68	0,16	3,32	0,00	-5,47	-0,27
B38	3,300	MSÚ-B/6	-59,38	0,16	3,32	0,00	5,50	0,27
B38	3,300	MSÚ-B/3	-53,63	-2,80	0,18	-0,21	0,32	-4,78
B39	0,000	MSÚ-B/7	-75,16	-1,00	-0,11	-0,12	0,16	1,47
B39	3,300	MSÚ-B/8	-45,43	0,03	0,02	0,01	0,02	0,05
B39	0,000	MSÚ-B/3	-52,31	-1,71	-0,12	-0,20	0,18	2,52
B39	0,000	MSÚ-B/6	-63,80	0,07	2,99	0,00	-4,97	-0,12
B39	0,000	MSÚ-B/9	-67,94	-1,70	-0,15	-0,20	0,23	2,50
B39	0,000	MSÚ-B/4	-59,61	-1,70	-0,15	-0,20	0,23	2,51
B39	0,000	MSÚ-B/5	-64,40	0,04	0,01	0,01	-0,03	-0,07
B39	0,000	MSÚ-B/10	-48,17	0,06	3,02	0,00	-5,01	-0,10
B39	3,300	MSÚ-B/10	-47,04	0,06	3,02	0,00	4,97	0,09
B39	3,300	MSÚ-B/3	-51,18	-1,71	-0,12	-0,20	-0,21	-3,12
B40	0,000	MSÚ-B/7	-94,53	-1,00	-0,51	-0,10	0,81	1,44
B40	3,300	MSÚ-B/8	-57,64	0,02	-0,15	0,01	-0,27	0,02
B40	0,000	MSÚ-B/3	-66,27	-1,69	-0,47	-0,17	0,75	2,44
B40	0,000	MSÚ-B/6	-81,67	0,04	2,70	0,00	-4,48	-0,08
B40	0,000	MSÚ-B/9	-85,49	-1,68	-0,59	-0,17	0,94	2,43
B40	0,000	MSÚ-B/4	-74,89	-1,68	-0,56	-0,17	0,90	2,44
B40	0,000	MSÚ-B/5	-81,39	0,02	-0,23	0,01	0,35	-0,04
B40	0,000	MSÚ-B/11	-64,34	0,04	2,82	0,01	-4,67	-0,07
B40	3,300	MSÚ-B/10	-61,32	0,04	2,82	0,01	4,63	0,05
B40	3,300	MSÚ-B/3	-65,13	-1,69	-0,47	-0,17	-0,81	-3,12
B42	1,569-	MSÚ-B/4	1,60	0,07	14,07	0,12	2,46	0,36
B42	2,550+	MSÚ-B/5	5,62	-1,63	-70,46	-0,03	13,69	0,50
B42	2,550+	MSÚ-B/12	3,70	-4,05	-65,77	0,21	16,59	1,82
B42	2,550+	MSÚ-B/13	4,30	-3,02	-73,52	0,12	17,05	1,27
B42	0,196-	MSÚ-B/12	2,62	-1,60	44,04	-3,70	-38,45	0,27
B42	7,550	MSÚ-B/6	3,62	2,13	5,12	-22,11	-3,42	0,44
B42	0,000	MSÚ-B/10	3,60	2,09	8,54	11,63	-4,70	-0,99
B42	0,000	MSÚ-B/12	2,53	-3,34	42,08	-5,89	-47,02	0,71
B42	7,550	MSÚ-B/3	2,09	-1,51	29,34	-14,57	35,53	-1,84
B42	2,550-	MSÚ-B/6	4,62	4,19	31,39	0,14	12,67	1,99
B43	23,550+	MSÚ-B/2	-9,77	0,33	31,74	-0,03	-1,29	0,08
B43	5,158-	MSÚ-B/14	5,78	-0,18	13,19	0,00	-12,57	0,03
B43	11,000-	MSÚ-B/15	-2,17	6,15	39,83	2,08	-9,50	5,75
B43	14,000-	MSÚ-B/16	2,00	0,02	-74,21	0,17	-22,30	0,03
B43	1,200+	MSÚ-B/17	2,30	0,03	77,67	-0,19	-17,71	0,11
B43	0,000	MSÚ-B/3	-1,39	-0,93	27,13	-27,93	-18,21	-2,14
B43	7,650-	MSÚ-B/9	1,83	2,20	-30,83	20,89	-13,67	0,11
B43	14,700+	MSÚ-B/17	-2,25	-1,00	35,05	-4,58	-40,14	-0,04
B43	2,700-	MSÚ-B/1	-0,24	0,03	1,50	-0,54	43,28	2,20
B43	14,000-	MSÚ-B/18	-3,58	-10,75	-58,77	2,61	-17,32	-7,82
B43	11,300-	MSÚ-B/19	-3,77	-0,10	32,15	2,58	3,35	6,83
B44	0,700+	MSÚ-B/20	-2,11	-0,26	41,07	0,33	-5,02	-0,03
B44	0,700-	MSÚ-B/16	5,37	0,08	60,35	0,17	-16,73	0,07
B44	18,700-	MSÚ-B/21	-1,67	-8,15	-50,34	1,26	-9,33	-4,06
B44	0,700+	MSÚ-B/10	-1,32	10,93	42,38	-0,80	-8,02	-6,75
B44	9,950-	MSÚ-B/22	1,22	0,19	-90,22	-1,27	2,00	-0,25
B44	7,550+	MSÚ-B/23	2,02	6,00	76,69	-3,02	-31,18	-5,88
B44	19,350+	MSÚ-B/6	-0,92	2,44	23,89	-14,15	-29,37	-3,69
B44	7,550-	MSÚ-B/6	0,52	-6,85	2,19	21,56	-12,17	-7,61
B44	19,350-	MSÚ-B/1	3,37	1,16	-26,03	4,51	-36,74	0,28
B44	2,200-	MSÚ-B/1	0,90	-0,19	-0,70	0,31	39,56	-0,23
B44	7,550+	MSÚ-B/2	0,72	10,20	40,54	-3,68	-16,84	-10,12
B44	3,400-	MSÚ-B/24	-1,18	0,27	-34,21	-0,79	3,19	8,39
B45	2,200+	MSÚ-B/21	-7,66	2,01	-0,67	-0,19	0,16	-2,77
B45	10,593+	MSÚ-B/25	3,04	-0,63	-2,11	-0,33	-0,35	1,35
B45	8,593+	MSÚ-B/26	-0,07	-4,44	3,37	0,54	-3,18	1,64
B45	4,200-	MSÚ-B/26	0,06	3,88	-3,16	-0,22	-2,73	0,85
B45	7,600+	MSÚ-B/6	2,74	0,42	-30,40	0,68	13,02	-0,18
B45	5,050-	MSÚ-B/12	0,46	2,44	26,55	-6,28	5,40	1,72
B45	12,650	MSÚ-B/12	0,29	1,30	22,04	-22,61	4,90	0,21
B45	0,000	MSÚ-B/12	0,48	-3,31	-18,64	20,66	2,32	0,93
B45	7,600-	MSÚ-B/27	-1,32	-1,03	-26,44	-0,03	-19,93	-0,71
B45	0,000	MSÚ-B/28	-6,71	1,49	-25,62	16,10	18,70	-2,70
B45	2,200+	MSÚ-B/25	-7,57	2,02	-0,65	-0,19	0,23	-2,79



Jméno	dx [m]	Stav	N [kN]	V <sub>y</sub> [kN]	V <sub>z</sub> [kN]	M <sub>x</sub> [kNm]	M <sub>y</sub> [kNm]	M <sub>z</sub> [kNm]
B45	7,600+	MSÚ-B/29	0,32	-1,79	-21,90	6,76	3,68	1,95
B46	21,200+	MSÚ-B/30	-21,21	1,69	27,29	-0,33	-0,68	0,27
B46	2,900+	MSÚ-B/25	3,29	2,73	-34,10	1,08	-1,80	-2,04
B46	12,450+	MSÚ-B/28	2,13	-4,27	49,56	0,77	-8,44	1,76
B46	23,600	MSÚ-B/6	0,80	5,98	26,91	-13,14	-3,97	4,45
B46	11,100-	MSÚ-B/16	0,98	-0,13	-56,34	0,27	-9,22	-0,19
B46	12,450+	MSÚ-B/1	-7,40	0,71	57,95	-0,26	-12,18	-1,27
B46	23,600	MSÚ-B/31	0,81	5,92	19,12	-13,16	-5,07	4,46
B46	0,000	MSÚ-B/2	2,41	-1,79	-2,18	11,80	-9,24	1,68
B46	11,800+	MSÚ-B/1	-5,96	-1,12	26,67	-4,59	-37,32	-0,54
B46	1,800-	MSÚ-B/16	1,45	-0,10	-0,66	-0,19	27,32	0,06
B46	21,200+	MSÚ-B/6	0,87	1,48	25,79	-3,19	0,24	-3,00
B47	7,600+	MSÚ-B/32	-21,60	-1,07	-20,39	-3,02	-2,42	1,92
B47	8,600+	MSÚ-B/29	-3,13	-4,06	34,99	-3,66	-21,88	2,13
B47	0,000	MSÚ-B/33	6,02	0,40	-69,84	-9,18	15,22	0,44
B47	5,050-	MSÚ-B/33	6,34	2,90	68,08	7,10	23,42	-0,62
B47	0,000	MSÚ-B/34	6,17	-0,29	-65,88	-17,94	14,88	0,06
B47	5,050-	MSÚ-B/14	7,37	3,88	63,74	17,75	20,74	0,61
B47	8,600-	MSÚ-B/35	-12,51	-0,01	-46,38	-4,13	-36,96	0,62
B47	0,000	MSÚ-B/6	-10,13	-2,69	-62,09	-14,08	31,49	1,46
B47	10,900+	MSÚ-B/4	-2,86	11,78	-9,50	2,76	21,39	-7,61
B47	12,650	MSÚ-B/4	-2,86	11,78	-42,59	2,76	-24,19	13,01
B48	5,000+	MSÚ-B/3	-2,75	0,44	-14,72	0,29	11,07	-0,01
B48	7,158-	MSÚ-B/17	9,01	0,57	2,46	1,08	-7,32	0,51
B48	7,550	MSÚ-B/9	-1,17	-4,84	-0,56	-7,07	-15,23	-1,46
B48	0,000	MSÚ-B/27	7,13	3,69	-10,54	-3,60	4,92	-0,96
B48	0,000	MSÚ-B/12	-0,48	0,03	-26,08	6,64	20,72	-0,15
B48	7,550	MSÚ-B/16	8,19	-3,16	15,69	-7,34	-3,79	-0,33
B48	7,550	MSÚ-B/7	3,26	-4,42	6,97	-7,69	-10,89	-1,03
B48	0,000	MSÚ-B/16	7,79	1,00	-12,21	10,97	5,70	-0,02
B48	7,550	MSÚ-B/36	-1,42	-4,74	-2,24	-6,79	-15,82	-1,43
B48	7,550	MSÚ-B/37	-1,46	-4,80	-1,00	-6,92	-15,38	-1,46
B48	7,550	MSÚ-B/11	7,19	-0,95	5,08	10,19	-2,47	1,29
B49	19,000+	MSÚ-B/15	-0,75	3,39	13,51	7,96	-2,08	-3,62
B49	21,450	MSÚ-B/6	3,59	0,59	75,01	0,00	-0,19	-0,40
B49	19,000+	MSÚ-B/29	-0,68	3,40	10,28	8,05	-1,72	-3,62
B49	5,100-	MSÚ-B/17	0,06	-0,90	-29,04	0,11	-0,33	-1,01
B49	21,450	MSÚ-B/38	2,03	-0,05	93,94	0,00	13,94	-0,01
B49	18,750-	MSÚ-B/20	-0,05	-4,74	-1,49	-26,35	-6,20	-2,74
B49	11,700+	MSÚ-B/20	0,36	-2,66	-2,42	17,94	1,38	0,77
B49	5,850-	MSÚ-B/6	0,19	-1,46	-20,81	3,70	-18,58	-1,56
B49	0,000	MSÚ-B/10	0,62	-0,07	-11,99	2,42	15,62	1,35
B49	11,700-	MSÚ-B/3	2,81	-9,39	1,23	-16,71	0,08	-7,22
B49	6,750+	MSÚ-B/20	2,53	-3,84	16,12	2,08	1,23	5,15
B50	0,000	MSÚ-B/4	-8,22	1,10	47,67	0,83	-13,25	-1,98
B50	19,700+	MSÚ-B/26	6,69	0,49	-17,56	0,36	2,70	-0,41
B50	18,500+	MSÚ-B/28	4,48	-2,58	23,90	-1,56	1,58	2,47
B50	23,600	MSÚ-B/28	4,56	4,66	-1,93	15,21	-0,79	0,23
B50	2,200+	MSÚ-B/33	-3,58	0,73	-81,97	0,75	10,00	-0,36
B50	11,800+	MSÚ-B/10	3,83	-0,94	-0,37	-15,20	0,49	1,39
B50	23,600	MSÚ-B/2	4,31	4,56	0,85	15,96	0,08	0,24
B50	0,000	MSÚ-B/34	1,06	-0,23	63,56	0,91	-24,76	0,36
B50	1,430-	MSÚ-B/33	-4,36	0,53	0,12	0,96	23,44	-0,22
B50	0,000	MSÚ-B/24	0,64	2,81	33,37	-2,78	-12,46	-3,12
B50	2,200-	MSÚ-B/24	0,64	2,81	-16,08	-2,78	6,56	3,06
B51	3,900+	MSÚ-B/2	-2,01	-2,30	14,07	-1,93	2,72	0,58
B51	0,585-	MSÚ-B/12	4,56	0,35	13,40	0,74	-7,98	-0,85
B51	11,800-	MSÚ-B/28	-0,26	-4,76	-10,62	-19,16	-3,86	-1,91
B51	11,800+	MSÚ-B/6	0,26	4,00	13,06	18,91	-4,93	-1,62
B51	5,100-	MSÚ-B/35	-0,82	-1,42	-27,40	-1,32	1,83	-1,38
B51	6,750+	MSÚ-B/1	1,15	0,13	28,69	0,18	0,36	-0,27
B51	5,900-	MSÚ-B/28	-1,30	-4,02	-15,59	-19,71	-12,47	-1,74
B51	0,000	MSÚ-B/28	-1,58	3,11	4,61	25,78	-1,36	-0,34
B51	5,900+	MSÚ-B/12	2,14	1,11	22,64	2,77	-20,28	-0,40
B51	4,500-	MSÚ-B/1	2,77	0,51	-0,56	-0,24	11,25	0,10
B51	5,100-	MSÚ-B/39	-1,92	-2,33	-23,99	-1,99	1,59	-2,22
B51	1,755-	MSÚ-B/39	-1,27	0,07	-1,35	1,09	-0,79	0,96
B52	3,434-	MSÚ-B/10	-1,91	0,09	-2,73	-0,18	-1,06	0,15

Jméno	dx [m]	Stav	N [kN]	V <sub>y</sub> [kN]	V <sub>z</sub> [kN]	M <sub>x</sub> [kNm]	M <sub>y</sub> [kNm]	M <sub>z</sub> [kNm]
B52	4,646-	MSÚ-B/16	4,46	0,06	13,92	-0,45	0,36	0,04
B52	0,000	MSÚ-B/3	2,82	1,49	-6,25	13,15	1,48	0,21
B52	0,000	MSÚ-B/28	-1,22	0,38	-38,45	2,87	31,12	-0,27
B52	5,050	MSÚ-B/1	4,18	-2,01	30,05	-8,50	9,48	-0,66
B52	5,050	MSÚ-B/12	3,54	-3,43	26,85	-13,21	8,73	-1,15
B52	0,000	MSÚ-B/12	3,45	1,42	-8,76	13,73	2,34	0,21
B52	5,050	MSÚ-B/2	-1,87	0,06	-7,68	-1,29	-15,39	0,19
B52	5,050	MSÚ-B/3	2,89	-3,45	19,61	-12,86	6,54	-1,17
B52	1,010-	MSÚ-B/20	2,79	0,07	0,14	1,57	-0,86	0,64
B53	0,000	MSÚ-B/10	-5,41	1,09	-14,93	-0,06	22,15	-1,35
B53	0,000	MSÚ-B/16	0,54	-0,02	2,88	-0,04	0,80	0,00
B53	0,000	MSÚ-B/15	0,29	-0,30	3,22	0,04	-0,47	0,03
B53	2,550	MSÚ-B/28	-5,28	1,10	-19,81	-0,07	-21,41	1,43
B53	0,000	MSÚ-B/40	0,39	-0,19	3,36	0,01	-0,06	0,03
B53	1,275-	MSÚ-B/20	0,22	-0,28	0,65	0,05	1,70	-0,34
B53	2,550	MSÚ-B/2	-5,41	1,09	-19,43	-0,06	-21,65	1,42
B53	0,000	MSÚ-B/28	-5,28	1,10	-14,64	-0,07	22,51	-1,38
B53	0,000	MSÚ-B/32	-5,35	1,11	-14,96	-0,07	22,41	-1,39
B53	2,550	MSÚ-B/41	-5,35	1,12	-19,46	-0,07	-21,47	1,46
B54	0,404-	MSÚ-B/14	4,46	0,11	-14,31	0,12	0,56	-0,08
B54	5,050	MSÚ-B/12	3,29	-5,61	10,96	-16,91	4,34	-2,21
B54	0,000	MSÚ-B/9	3,48	1,81	-24,91	13,89	7,21	0,27
B54	0,000	MSÚ-B/28	3,65	0,01	-51,80	0,36	29,04	-0,04
B54	5,050	MSÚ-B/1	4,01	-3,54	11,84	-10,15	4,32	-1,32
B54	5,050	MSÚ-B/20	2,67	-5,55	8,61	-16,93	3,63	-2,22
B54	0,000	MSÚ-B/12	3,49	1,78	-24,91	13,93	7,21	0,28
B54	5,050	MSÚ-B/2	2,92	0,01	-21,16	0,40	-25,18	0,08
B54	5,050	MSÚ-B/29	2,72	-5,56	8,77	-16,93	3,71	-2,22
B54	0,808-	MSÚ-B/20	2,88	0,11	-1,98	2,41	-1,95	0,79
B55	4,646-	MSÚ-B/6	6,89	-0,10	-7,75	-0,10	-14,46	-0,01
B55	5,050	MSÚ-B/12	3,69	-5,67	32,43	-15,35	10,27	-2,24
B55	0,000	MSÚ-B/9	3,91	2,10	-17,65	15,08	5,38	0,19
B55	0,000	MSÚ-B/6	6,67	-0,18	-43,90	0,77	26,77	0,19
B55	5,050	MSÚ-B/7	4,49	-3,48	37,01	-9,35	11,46	-1,28
B55	5,050	MSÚ-B/36	3,63	-5,66	31,72	-15,35	10,05	-2,24
B55	0,000	MSÚ-B/12	3,92	2,07	-17,66	15,12	5,39	0,21
B55	5,050	MSÚ-B/10	5,94	-0,26	-1,02	0,06	-17,61	-0,11
B55	5,050	MSÚ-B/20	2,93	-5,64	23,94	-15,26	7,69	-2,28
B55	1,010-	MSÚ-B/20	3,26	0,03	-0,26	1,96	-1,31	0,94
B56	0,000	MSÚ-B/39	-5,16	0,41	-14,42	-0,10	21,52	-0,48
B56	0,000	MSÚ-B/42	-0,29	0,06	2,22	-0,05	-0,17	-0,08
B56	0,000	MSÚ-B/21	-5,16	0,42	-14,43	-0,10	21,53	-0,48
B56	2,550	MSÚ-B/6	-5,15	0,41	-19,60	-0,10	-21,83	0,57
B56	0,000	MSÚ-B/43	-0,42	-0,65	3,29	-0,03	-0,66	0,72
B56	1,275-	MSÚ-B/3	-0,31	-1,17	0,44	0,01	1,19	-0,17
B56	2,550	MSÚ-B/44	-5,03	0,36	-19,58	-0,09	-21,96	0,51
B56	0,000	MSÚ-B/45	-5,10	0,40	-14,76	-0,09	21,59	-0,46
B56	2,550	MSÚ-B/19	-0,30	-1,18	-1,82	0,01	0,33	-1,67
B56	0,000	MSÚ-B/29	-0,30	-1,18	2,68	0,01	-0,78	1,33
B57	3,636-	MSÚ-B/2	-4,00	0,02	-3,94	-0,21	-1,02	0,01
B57	0,202-	MSÚ-B/1	4,82	0,25	-26,76	5,30	4,71	0,27
B57	5,050	MSÚ-B/4	3,37	-3,75	15,59	-13,99	5,20	-1,51
B57	0,000	MSÚ-B/30	3,57	1,11	-27,21	12,34	7,99	0,34
B57	0,000	MSÚ-B/6	-3,01	0,21	-56,73	2,89	34,72	-0,26
B57	5,050	MSÚ-B/7	4,53	-2,15	19,78	-9,15	6,44	-0,84
B57	5,050	MSÚ-B/12	3,90	-3,71	17,64	-14,17	5,89	-1,49
B57	0,000	MSÚ-B/12	4,12	1,05	-31,44	12,56	9,31	0,34
B57	5,050	MSÚ-B/10	-3,90	-0,01	-13,70	-1,48	-17,08	-0,02
B57	5,050	MSÚ-B/3	3,19	-3,74	12,67	-13,76	4,35	-1,52
B57	0,606-	MSÚ-B/3	3,36	0,11	-6,18	2,72	-1,67	0,59
B58	5,050	MSÚ-B/46	3,78	0,13	7,56	0,00	2,58	0,20
B58	5,050	MSÚ-B/14	5,57	0,21	13,26	-0,28	4,46	0,31
B58	0,000	MSÚ-B/17	7,97	-3,51	-119,12	14,66	38,78	1,07
B58	5,050	MSÚ-B/1	5,72	-3,51	13,51	-10,47	4,75	-1,52
B58	5,050	MSÚ-B/29	4,37	-6,05	10,24	-17,42	3,76	-2,84
B58	0,000	MSÚ-B/12	6,90	-1,99	-95,65	29,25	25,89	1,56
B58	5,050	MSÚ-B/2	5,20	-0,97	-16,54	0,41	-21,27	-0,95
B58	0,000	MSÚ-B/6	7,67	-4,13	-114,86	13,07	41,08	1,75

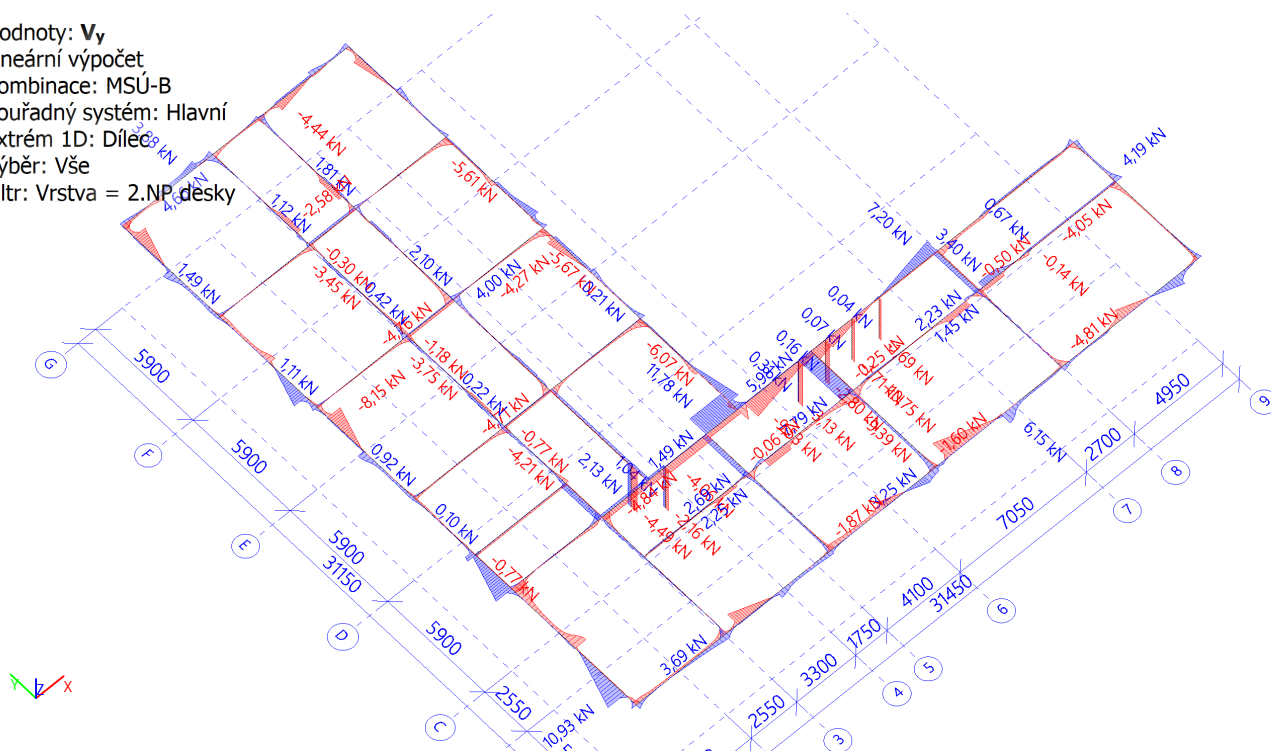
Jméno	dx [m]	Stav	N [kN]	V <sub>y</sub> [kN]	V <sub>z</sub> [kN]	M <sub>x</sub> [kNm]	M <sub>y</sub> [kNm]	M <sub>z</sub> [kNm]
B58	5,050	MSÚ-B/3	4,03	-6,07	7,97	-16,99	3,07	-2,85
B58	0,000	MSÚ-B/31	7,49	-4,18	-104,53	12,34	38,77	1,79
B59	0,000	MSÚ-B/19	1,46	-0,77	7,91	-2,26	-5,87	0,86
B59	0,000	MSÚ-B/47	1,71	0,22	12,22	-3,35	-9,20	-0,26
B59	2,550	MSÚ-B/2	-0,59	-0,27	-10,88	-1,85	-8,74	-0,19
B59	0,000	MSÚ-B/46	1,21	0,12	7,44	-1,83	-5,33	-0,13
B59	0,000	MSÚ-B/1	1,91	-0,31	12,56	-3,62	-9,58	0,34
B59	2,550	MSÚ-B/1	1,91	-0,31	6,48	-3,62	14,71	-0,45
B59	2,550	MSÚ-B/19	1,46	-0,77	3,41	-2,26	8,56	-1,10
B60	3,636-	MSÚ-B/2	-0,53	-0,40	-4,54	-0,06	-1,45	-0,24
B60	5,050	MSÚ-B/14	4,39	-0,07	17,59	2,19	2,81	0,07
B60	5,050	MSÚ-B/37	3,47	-4,21	16,45	-10,70	3,57	-1,68
B60	0,000	MSÚ-B/30	3,01	0,92	-5,25	12,79	1,84	0,51
B60	0,000	MSÚ-B/6	0,14	-1,49	-32,00	2,13	27,56	1,31
B60	5,050	MSÚ-B/7	4,26	-2,56	18,78	-5,29	3,84	-0,98
B60	5,050	MSÚ-B/20	2,93	-4,16	11,95	-11,34	2,18	-1,69
B60	0,000	MSÚ-B/12	3,53	0,85	-6,22	12,91	2,27	0,51
B60	5,050	MSÚ-B/10	-0,41	-1,60	-12,36	0,83	-17,85	-1,02
B60	5,050	MSÚ-B/3	2,92	-4,17	12,41	-11,21	2,75	-1,70
B60	0,000	MSÚ-B/24	-0,38	-1,48	-30,52	1,85	26,93	1,35
B61	5,000	MSÚ-B/3	-4,49	2,24	-5,37	1,69	-14,10	1,99
B61	4,600-	MSÚ-B/14	4,55	-0,09	11,25	0,47	-0,83	-0,08
B61	0,000	MSÚ-B/41	2,78	-1,87	-9,43	-12,79	3,57	0,28
B61	0,000	MSÚ-B/12	-3,66	1,89	-34,52	-3,49	26,56	-1,97
B61	5,000	MSÚ-B/16	4,29	-0,22	25,93	1,28	6,40	-0,14
B61	0,000	MSÚ-B/6	3,29	-1,86	-10,81	-12,91	4,13	0,29
B61	5,000	MSÚ-B/6	3,60	1,75	22,36	13,29	5,50	0,17
B61	5,000	MSÚ-B/20	-4,48	2,25	-5,51	1,79	-14,17	2,00
B61	0,000	MSÚ-B/19	-4,25	1,99	-31,88	-3,29	25,56	-2,03
B62	0,000	MSÚ-B/3	-15,79	0,50	-4,52	0,15	10,48	-1,68
B62	0,000	MSÚ-B/17	1,11	1,58	4,70	0,65	-3,82	-1,83
B62	0,000	MSÚ-B/48	0,68	-0,06	3,95	0,09	-3,06	0,09
B62	2,550	MSÚ-B/26	-15,62	0,53	-9,59	0,15	-7,64	-0,33
B62	0,000	MSÚ-B/49	1,04	1,55	5,10	0,66	-3,94	-1,81
B62	0,000	MSÚ-B/50	0,75	0,05	2,86	0,04	-2,39	0,00
B62	0,000	MSÚ-B/39	0,99	2,61	4,48	1,01	-3,52	-3,08
B62	2,550	MSÚ-B/29	-15,72	0,53	-9,43	0,14	-7,70	-0,34
B62	0,000	MSÚ-B/29	-15,72	0,53	-4,93	0,14	10,60	-1,70
B62	0,000	MSÚ-B/11	0,95	2,69	3,21	0,97	-2,66	-3,15
B62	2,550	MSÚ-B/31	1,05	2,69	-1,46	0,98	-0,16	3,72
B63	3,600-	MSÚ-B/3	-2,50	1,00	-5,41	0,26	-1,30	0,77
B63	0,400-	MSÚ-B/14	4,87	-0,17	-19,50	0,46	1,04	0,06
B63	0,000	MSÚ-B/6	3,52	-1,60	-29,10	-9,61	9,47	-0,13
B63	0,000	MSÚ-B/12	-1,42	3,11	-58,05	-1,18	40,40	-3,77
B63	5,000	MSÚ-B/35	4,45	1,30	19,55	8,44	5,95	0,31
B63	0,000	MSÚ-B/10	2,73	-1,54	-21,44	-10,00	6,73	-0,15
B63	5,000	MSÚ-B/31	3,50	2,23	14,64	13,53	4,81	0,57
B63	5,000	MSÚ-B/20	-2,45	2,32	-18,54	1,39	-22,66	1,63
B63	0,000	MSÚ-B/3	-2,22	3,25	-50,32	-1,51	37,59	-3,81
B64	0,000	MSÚ-B/32	-1,19	2,97	3,94	0,99	-2,85	-3,54
B64	0,000	MSÚ-B/26	3,99	7,73	-13,75	0,39	21,27	-7,44
B64	0,000	MSÚ-B/5	0,07	-0,25	4,30	0,39	-2,63	0,25
B64	2,550	MSÚ-B/51	3,99	7,73	-18,94	0,39	-20,41	12,28
B64	0,000	MSÚ-B/35	-0,70	1,65	4,94	0,82	-3,36	-2,00
B64	0,000	MSÚ-B/46	0,03	-0,16	3,27	0,27	-2,00	0,16
B64	0,000	MSÚ-B/6	-1,15	2,91	4,31	1,06	-3,07	-3,48
B64	2,550	MSÚ-B/20	3,99	7,76	-18,76	0,35	-20,50	12,32
B64	0,000	MSÚ-B/20	3,99	7,76	-14,25	0,35	21,59	-7,46
B64	0,000	MSÚ-B/4	3,93	7,79	-13,85	0,36	21,18	-7,50
B64	2,550	MSÚ-B/4	3,93	7,79	-18,35	0,36	-19,89	12,37
B65	5,000	MSÚ-B/52	2,96	-0,88	-5,60	2,30	-13,70	-0,18
B65	4,600-	MSÚ-B/35	5,37	0,25	16,45	3,22	0,63	0,07
B65	0,000	MSÚ-B/25	4,91	-4,81	-16,26	-9,40	4,88	0,64
B65	5,000	MSÚ-B/2	4,27	1,45	22,48	13,41	7,23	0,43
B65	0,000	MSÚ-B/9	4,01	-2,69	-62,59	-0,23	52,02	1,21
B65	5,000	MSÚ-B/35	5,03	0,62	34,61	9,11	10,63	0,18
B65	0,000	MSÚ-B/10	4,35	-4,59	-13,44	-10,21	3,88	0,61
B65	5,000	MSÚ-B/6	4,89	1,34	30,54	13,91	9,52	0,40

Jméno	dx [m]	Stav	N [kN]	V <sub>y</sub> [kN]	V <sub>z</sub> [kN]	M <sub>x</sub> [kNm]	M <sub>y</sub> [kNm]	M <sub>z</sub> [kNm]
B65	5,000	MSÚ-B/20	2,96	-1,28	-22,45	2,67	-26,84	-0,24
B65	1,400-	MSÚ-B/2	4,35	-0,06	1,32	-0,52	-1,72	-0,44
B65	0,000	MSÚ-B/15	3,87	-2,71	-60,71	-0,44	51,35	1,22
B66	0,000	MSÚ-B/20	9,83	-0,50	-27,29	0,91	34,53	-0,58
B66	2,550	MSÚ-B/9	9,90	-0,46	-32,28	1,21	-40,85	-1,81
B66	0,000	MSÚ-B/53	1,18	1,33	3,91	1,28	-1,23	-1,57
B66	0,000	MSÚ-B/8	0,25	0,01	2,60	0,56	-0,59	-0,01
B66	2,550	MSÚ-B/18	9,86	-0,46	-31,99	1,12	-40,88	-1,81
B66	0,000	MSÚ-B/18	9,86	-0,46	-27,48	1,12	34,94	-0,63
B66	0,000	MSÚ-B/28	1,71	2,23	3,52	1,72	-1,07	-2,63
B66	2,550	MSÚ-B/28	1,71	2,23	-1,64	1,72	1,32	3,05
B67	0,000	MSÚ-B/1	-305,47	-1,24	0,34	-0,04	-0,47	3,47
B67	3,300	MSÚ-B/46	-179,53	1,08	0,30	0,00	0,55	2,49
B67	0,000	MSÚ-B/54	-278,90	2,13	0,48	-0,01	-0,72	-2,16
B67	0,000	MSÚ-B/3	-186,53	-4,49	-0,02	-0,06	0,09	8,22
B67	0,000	MSÚ-B/36	-263,06	-3,71	0,14	-0,06	-0,16	7,41
B67	0,000	MSÚ-B/24	-189,76	1,10	2,38	0,37	-2,78	-1,09
B67	0,000	MSÚ-B/6	-266,29	1,88	2,54	0,36	-3,03	-1,90
B67	3,300	MSÚ-B/6	-264,71	1,88	2,54	0,36	5,34	4,30
B67	3,300	MSÚ-B/3	-185,15	-4,49	-0,02	-0,06	0,02	-6,61
B68	0,000	MSÚ-B/17	-166,59	1,04	3,14	0,03	-5,33	-1,36
B68	3,300	MSÚ-B/3	-100,35	-2,15	-0,47	-0,29	-0,91	-4,23
B68	0,000	MSÚ-B/4	-116,17	-2,16	-0,50	-0,29	0,68	2,88
B68	0,000	MSÚ-B/55	-132,47	1,04	3,17	0,02	-5,38	-1,37
B68	0,000	MSÚ-B/36	-135,46	-1,86	-0,51	-0,29	0,66	2,52
B68	0,000	MSÚ-B/20	-105,51	-1,92	-0,48	-0,29	0,62	2,60
B68	0,000	MSÚ-B/28	-143,19	0,80	5,29	0,04	-8,82	-1,16
B68	0,000	MSÚ-B/31	-132,52	1,04	5,31	0,03	-8,89	-1,45
B68	3,300	MSÚ-B/24	-111,86	0,74	5,32	0,04	8,70	1,35
B68	3,300	MSÚ-B/4	-114,79	-2,16	-0,50	-0,29	-0,96	-4,24
B103	0,000	MSÚ-B/6	10,24	-0,14	100,14	0,01	0,00	0,36
B103	0,000	MSÚ-B/41	9,73	-0,14	92,31	0,01	0,00	0,37
B103	4,950	MSÚ-B/38	3,34	0,04	-116,96	0,01	0,00	0,11
B103	0,000	MSÚ-B/38	3,34	0,04	116,96	0,01	0,00	-0,07
B103	0,000	MSÚ-B/4	4,67	0,66	53,07	-0,03	0,00	-1,39
B103	0,000	MSÚ-B/56	8,01	-0,06	110,89	0,01	0,00	0,17
B103	0,000	MSÚ-B/46	2,66	0,04	53,07	0,01	0,00	-0,07
B103	2,475-	MSÚ-B/38	3,34	0,04	0,00	0,01	144,74	0,02
B103	0,000	MSÚ-B/15	5,13	0,67	60,90	-0,03	0,00	-1,41
B103	4,950	MSÚ-B/15	5,13	0,67	-60,90	-0,03	0,00	1,89
B106	0,400+	MSÚ-B/57	-23,38	-1,52	20,84	-0,13	-8,22	3,16
B106	18,008-	MSÚ-B/58	6,46	0,03	7,68	-8,06	-9,40	0,77
B106	0,400+	MSÚ-B/4	-5,30	-9,53	26,51	1,63	-17,92	13,76
B106	11,150-	MSÚ-B/20	2,72	7,20	-11,11	-2,31	8,99	5,57
B106	11,150+	MSÚ-B/9	2,65	-3,62	-51,15	34,37	9,07	3,54
B106	18,800	MSÚ-B/12	5,62	0,50	39,35	-41,80	7,33	1,00
B106	11,150+	MSÚ-B/18	2,58	-3,59	-48,60	34,41	9,05	3,53
B106	0,000	MSÚ-B/59	-1,77	-4,38	-5,77	4,54	-26,89	7,61
B106	9,709-	MSÚ-B/7	1,43	2,36	0,78	-1,45	21,22	-1,46
B106	4,100-	MSÚ-B/3	-5,18	-2,29	5,71	-6,94	6,97	-6,78
B108	0,000	MSÚ-B/4	0,20	-0,47	42,85	0,00	0,00	1,13
B108	0,000	MSÚ-B/2	-3,59	-0,77	26,94	0,00	0,00	2,07
B108	0,000	MSÚ-B/14	-0,11	0,10	52,27	0,00	0,00	-0,26
B108	5,050	MSÚ-B/60	-0,04	0,10	-53,64	0,00	0,00	0,25
B108	0,000	MSÚ-B/11	-3,61	-0,76	26,94	0,00	0,00	2,06
B108	0,000	MSÚ-B/61	0,11	-0,23	53,64	0,00	0,00	0,56
B108	0,000	MSÚ-B/31	-3,63	-0,75	30,91	0,00	0,00	2,04
B108	2,525-	MSÚ-B/60	-0,04	0,10	0,00	0,00	67,72	0,00
B108	5,050	MSÚ-B/2	-3,59	-0,77	-26,94	0,00	0,00	-1,81
B111	7,000+	MSÚ-B/4	-4,49	1,07	52,71	-0,02	-31,49	1,88
B111	7,000+	MSÚ-B/31	1,57	1,49	49,45	-8,14	-33,80	2,16
B111	7,000-	MSÚ-B/47	3,54	-0,20	-115,25	1,24	-57,75	-0,49
B111	2,100-	MSÚ-B/6	0,78	-4,71	-6,30	-39,64	-54,85	-0,96
B111	2,100+	MSÚ-B/17	3,97	0,62	119,91	1,30	-82,22	-1,86
B111	2,100+	MSÚ-B/1	1,78	0,36	122,54	1,22	-88,44	-0,95
B111	4,795-	MSÚ-B/1	1,78	0,36	-2,92	1,22	72,74	0,03
B111	2,100+	MSÚ-B/24	3,00	1,24	61,69	0,81	-43,21	-3,60
B111	8,000	MSÚ-B/24	1,34	1,49	2,86	-8,21	-3,35	3,71

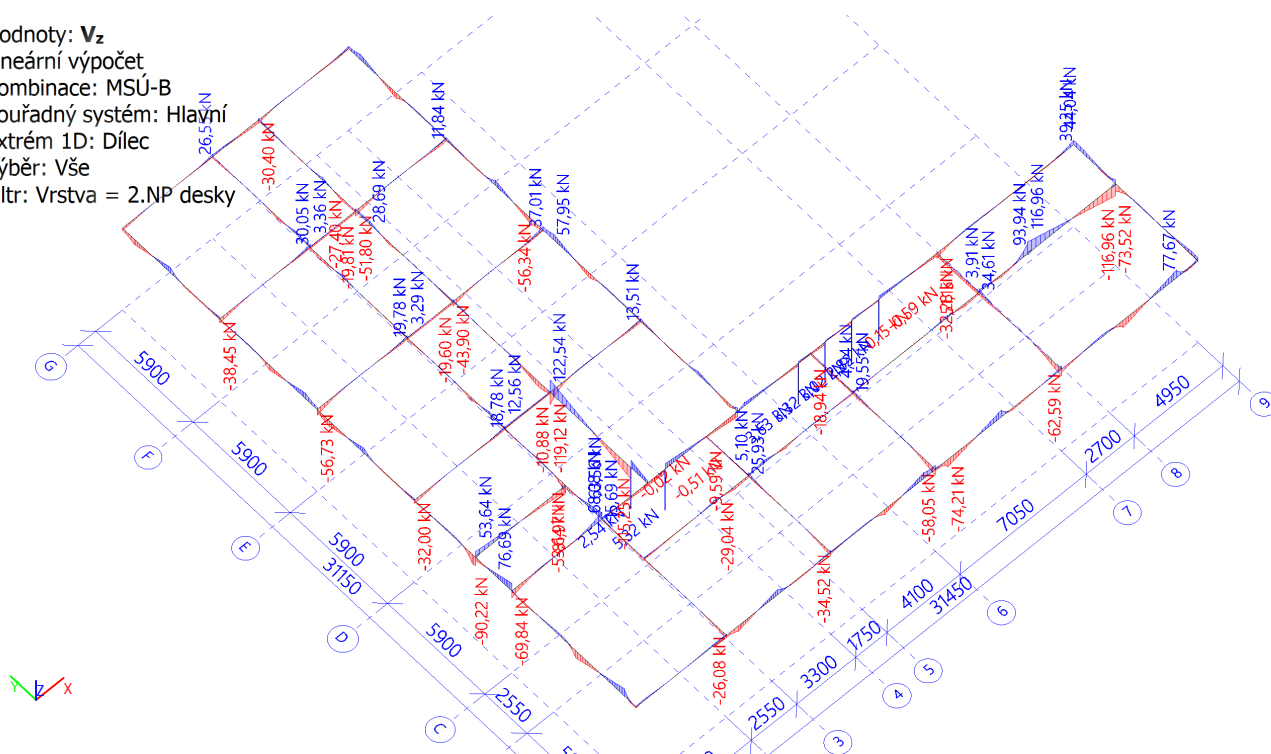
Jméno	Klíč kombinace
MSÚ-B/1	1.35*ZS1 + 1.35*ZS2 + 0.90*ZS6 + 0.75*ZS7 + 1.35*ZS8 + 1.05*ZS3 + 1.05*ZS4
MSÚ-B/2	ZS1 + ZS2 + 1.50*ZS5 + ZS8
MSÚ-B/3	ZS1 + ZS2 + 1.50*ZS6 + ZS8
MSÚ-B/4	ZS1 + ZS2 + 1.50*ZS6 + ZS8 + 1.05*ZS3
MSÚ-B/5	1.35*ZS1 + 1.35*ZS2 + 0.75*ZS7 + 1.35*ZS8 + 1.05*ZS4
MSÚ-B/6	1.15*ZS1 + 1.15*ZS2 + 1.50*ZS5 + 0.75*ZS7 + 1.15*ZS8 + 1.05*ZS3 + 1.05*ZS4
MSÚ-B/7	1.35*ZS1 + 1.35*ZS2 + 0.90*ZS6 + 0.75*ZS7 + 1.35*ZS8 + 1.05*ZS3
MSÚ-B/8	ZS1 + ZS2 + ZS8 + 1.50*ZS4
MSÚ-B/9	1.15*ZS1 + 1.15*ZS2 + 1.50*ZS6 + 0.75*ZS7 + 1.15*ZS8 + 1.05*ZS3
MSÚ-B/10	ZS1 + ZS2 + 1.50*ZS5 + ZS8 + 1.05*ZS4
MSÚ-B/11	ZS1 + ZS2 + 1.50*ZS5 + 0.75*ZS7 + ZS8 + 1.05*ZS4
MSÚ-B/12	1.15*ZS1 + 1.15*ZS2 + 1.50*ZS6 + 0.75*ZS7 + 1.15*ZS8 + 1.05*ZS3 + 1.05*ZS4
MSÚ-B/13	1.15*ZS1 + 1.15*ZS2 + 0.90*ZS6 + 0.75*ZS7 + 1.15*ZS8 + 1.05*ZS3 + 1.50*ZS4
MSÚ-B/14	1.35*ZS1 + 1.35*ZS2 + 0.75*ZS7 + 1.35*ZS8 + 1.05*ZS3 + 1.05*ZS4
MSÚ-B/15	1.15*ZS1 + 1.15*ZS2 + 1.50*ZS6 + 0.75*ZS7 + 1.15*ZS8
MSÚ-B/16	1.35*ZS1 + 1.35*ZS2 + 0.75*ZS7 + 1.35*ZS8 + 1.05*ZS3
MSÚ-B/17	1.35*ZS1 + 1.35*ZS2 + 0.90*ZS5 + 0.75*ZS7 + 1.35*ZS8 + 1.05*ZS3 + 1.05*ZS4
MSÚ-B/18	ZS1 + ZS2 + 1.50*ZS6 + 0.75*ZS7 + ZS8 + 1.05*ZS3
MSÚ-B/19	ZS1 + ZS2 + 1.50*ZS6 + 0.75*ZS7 + ZS8
MSÚ-B/20	ZS1 + ZS2 + 1.50*ZS6 + ZS8 + 1.05*ZS4
MSÚ-B/21	1.15*ZS1 + 1.15*ZS2 + 1.50*ZS5 + 1.15*ZS8 + 1.05*ZS3 + 1.05*ZS4
MSÚ-B/22	1.15*ZS1 + 1.15*ZS2 + 0.90*ZS6 + 1.15*ZS8 + 1.50*ZS3 + 1.05*ZS4
MSÚ-B/23	1.15*ZS1 + 1.15*ZS2 + 0.90*ZS5 + 0.75*ZS7 + 1.15*ZS8 + 1.50*ZS3
MSÚ-B/24	ZS1 + ZS2 + 1.50*ZS5 + 0.75*ZS7 + ZS8
MSÚ-B/25	1.15*ZS1 + 1.15*ZS2 + 1.50*ZS5 + 0.75*ZS7 + 1.15*ZS8
MSÚ-B/26	1.15*ZS1 + 1.15*ZS2 + 1.50*ZS6 + 0.75*ZS7 + 1.15*ZS8 + 1.05*ZS4
MSÚ-B/27	1.15*ZS1 + 1.15*ZS2 + 1.50*ZS5 + 1.15*ZS8
MSÚ-B/28	1.15*ZS1 + 1.15*ZS2 + 1.50*ZS5 + 0.75*ZS7 + 1.15*ZS8 + 1.05*ZS3
MSÚ-B/29	ZS1 + ZS2 + 1.50*ZS6 + 0.75*ZS7 + ZS8 + 1.05*ZS4
MSÚ-B/30	ZS1 + ZS2 + 1.50*ZS6 + ZS8 + 1.05*ZS3 + 1.05*ZS4
MSÚ-B/31	1.15*ZS1 + 1.15*ZS2 + 1.50*ZS5 + 0.75*ZS7 + 1.15*ZS8 + 1.05*ZS4
MSÚ-B/32	ZS1 + ZS2 + 1.50*ZS5 + ZS8 + 1.05*ZS3
MSÚ-B/33	1.15*ZS1 + 1.15*ZS2 + 0.90*ZS6 + 0.75*ZS7 + 1.15*ZS8 + 1.50*ZS3 + 1.05*ZS4
MSÚ-B/34	1.15*ZS1 + 1.15*ZS2 + 0.75*ZS7 + 1.15*ZS8 + 1.50*ZS3
MSÚ-B/35	1.35*ZS1 + 1.35*ZS2 + 0.90*ZS5 + 0.75*ZS7 + 1.35*ZS8 + 1.05*ZS3
MSÚ-B/36	1.15*ZS1 + 1.15*ZS2 + 1.50*ZS6 + 1.15*ZS8 + 1.05*ZS3 + 1.05*ZS4
MSÚ-B/37	1.15*ZS1 + 1.15*ZS2 + 1.50*ZS6 + 1.15*ZS8 + 1.05*ZS3
MSÚ-B/38	1.15*ZS1 + 1.15*ZS2 + 1.15*ZS8 + 1.50*ZS4
MSÚ-B/39	1.15*ZS1 + 1.15*ZS2 + 1.50*ZS5 + 1.15*ZS8 + 1.05*ZS3
MSÚ-B/40	1.35*ZS1 + 1.35*ZS2 + 0.90*ZS6 + 1.35*ZS8 + 1.05*ZS4
MSÚ-B/41	ZS1 + ZS2 + 1.50*ZS5 + ZS8 + 1.05*ZS3 + 1.05*ZS4
MSÚ-B/42	ZS1 + ZS2 + 1.50*ZS7 + ZS8 + 1.05*ZS4
MSÚ-B/43	1.35*ZS1 + 1.35*ZS2 + 0.90*ZS6 + 1.35*ZS8
MSÚ-B/44	1.15*ZS1 + 1.15*ZS2 + 1.50*ZS5 + 1.15*ZS8 + 1.05*ZS4
MSÚ-B/45	ZS1 + ZS2 + 1.50*ZS5 + 0.75*ZS7 + ZS8 + 1.05*ZS3 + 1.05*ZS4
MSÚ-B/46	ZS1 + ZS2 + ZS8
MSÚ-B/47	1.35*ZS1 + 1.35*ZS2 + 1.35*ZS8 + 1.05*ZS3 + 1.05*ZS4
MSÚ-B/48	ZS1 + ZS2 + ZS8 + 1.50*ZS3
MSÚ-B/49	1.35*ZS1 + 1.35*ZS2 + 0.90*ZS5 + 1.35*ZS8 + 1.05*ZS3
MSÚ-B/50	ZS1 + ZS2 + 0.75*ZS7 + ZS8 + 1.50*ZS4
MSÚ-B/51	1.15*ZS1 + 1.15*ZS2 + 1.50*ZS6 + 1.15*ZS8 + 1.05*ZS4



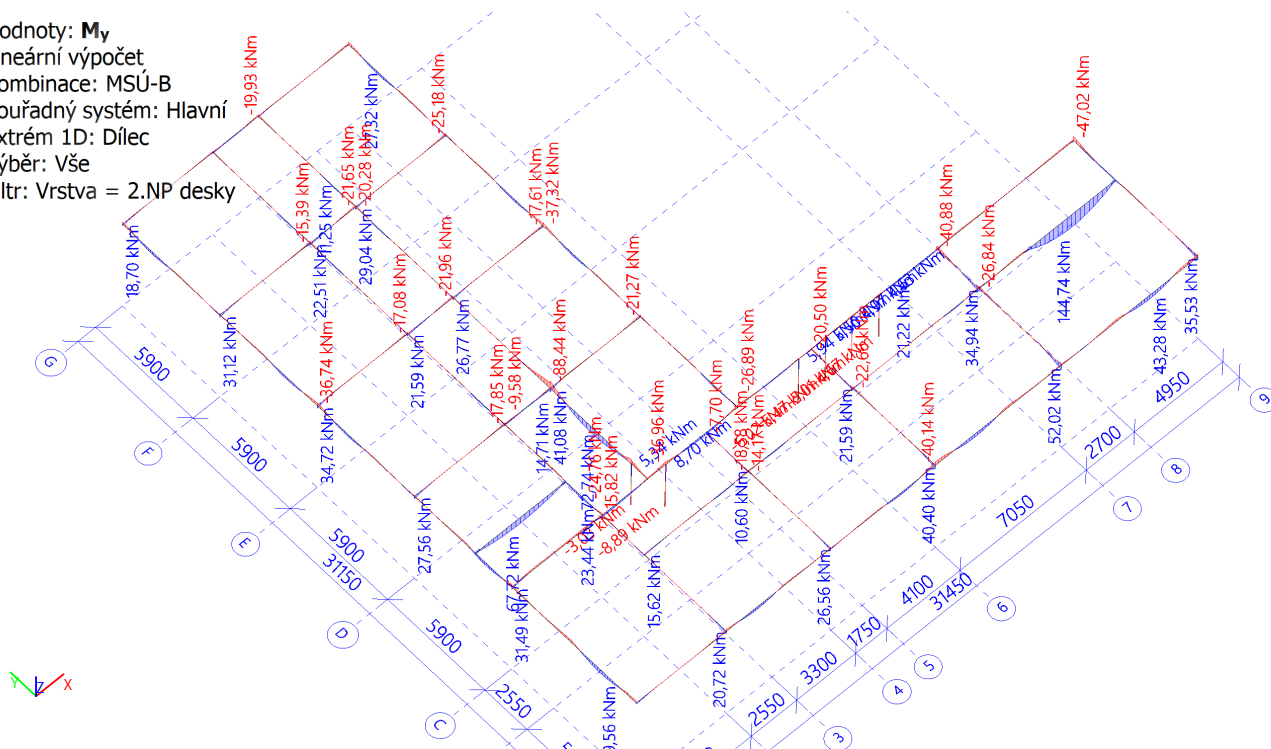
Hodnoty:  $V_y$   
 Lineární výpočet  
 Kombinace: MSÚ-B  
 Souřadný systém: Hlavní  
 Extrém 1D: Dílec  
 Výběr: Vše  
 Filtr: Vrstva = 2.NP.desky



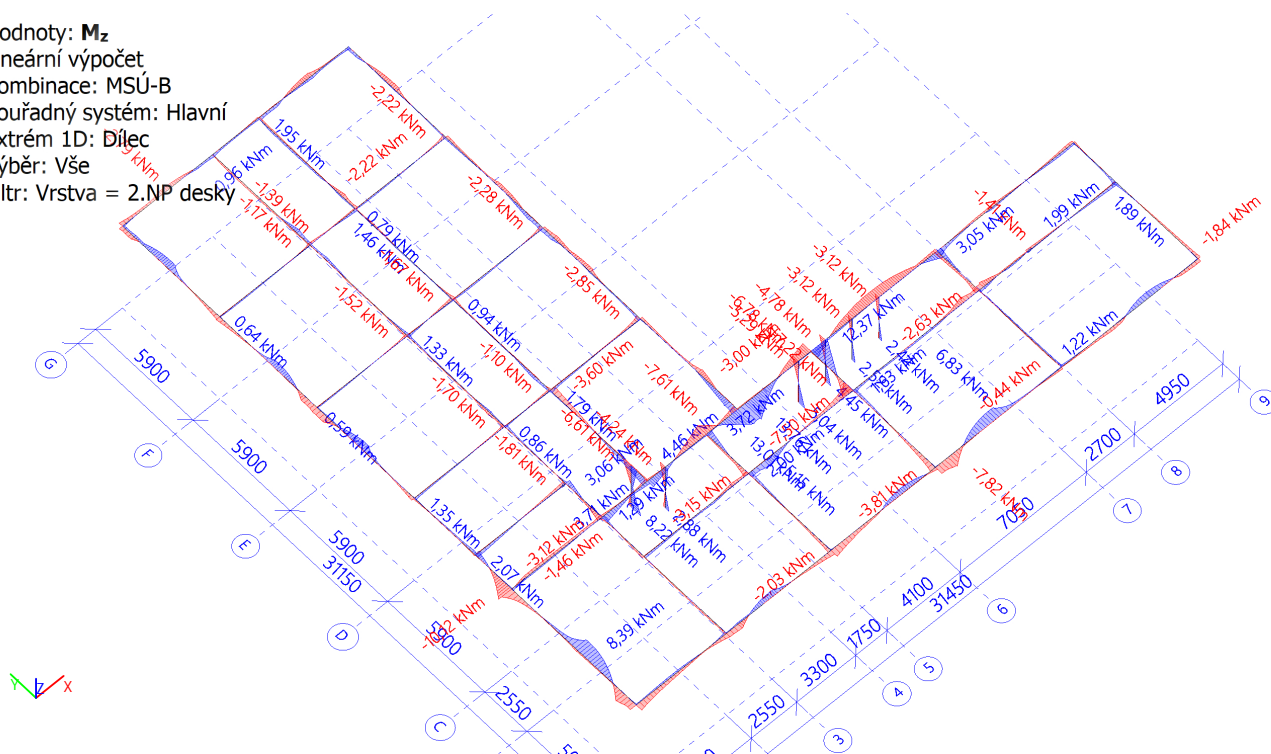
Hodnoty:  $V_z$   
 Lineární výpočet  
 Kombinace: MSÚ-B  
 Souřadný systém: Hlavní  
 Extrém 1D: Dílec  
 Výběr: Vše  
 Filtr: Vrstva = 2.NP.desky



Hodnoty:  $M_y$   
 Lineární výpočet  
 Kombinace: MSÚ-B  
 Souřadný systém: Hlavní  
 Extrém 1D: Dílec  
 Výběr: Vše  
 Filtr: Vrstva = 2.NP desky



Hodnoty:  $M_z$   
 Lineární výpočet  
 Kombinace: MSÚ-B  
 Souřadný systém: Hlavní  
 Extrém 1D: Dílec  
 Výběr: Vše  
 Filtr: Vrstva = 2.NP desky





#### 16.4. Posouzení pozedního věnce - průvlak u spol. místnosti

Vypočet: Průvlak u společenské místnosti				Vypočet: Ing. Martin Šponar					
(dle ČSN EN 1992-1-1)									
Oboustranně vyztužený průřez				Předpoklady:					
				1. rovnoměrné rozdělení napětí v tlačené oblasti					
				2. neomezené přetvoření tahové výztuže					
				3. únosnost tlakové výztuže dle napětí					
				4. svislé třmínky, šikmé ohyby					
				5. $1 < \cot \theta < 2,5$ (sklon tlakových diagonál)					
				h, b rozměry průřezu					
				$M_{Ed}$ ohyb. moment od návrhového zatížení					
				$\gamma_c, \gamma_s$ dílčí souč materiálů					
				$\alpha_{cc}$ součinitel dlouhodobých účinků					
				$n, d_{s2}$ počet a průměr vložek tlačené výztuže					
$m_1, d_{s11}$ počet a průměr vložek tažené výztuže									
$m_2, d_{s12}$ počet a průměr vložek příložek tažené výztuže									
$n_{sw}, d_{sw}, s_{sw}$ třmínky - počet sřihů, průměr, rozteč									
$n_{sb}, d_{sb}, s_{sb}$ ohyby - počet, průměr, rozteč									
$\alpha_{sb}$ úhel ohybů a střednice prvku									
Vstupní údaje									
b	h	$M_{Ed}$	$V_{Ed}$	Beton	Ocel	$\gamma_c$	$\gamma_s$	$\alpha_{cc}$	typ
[m]	[m]	[kNm]	[kN]	C30/37	10505	[ ]	[ ]		kce
0,24	0,5	105,00	170,00	30	R	1,50	1,15	1	typ
Podélná výztuž									
n	$d_{s2}$	krytí_h	$A_{s2}$	$m_1$	$d_{s11}$	$m_2$	$d_{s2}$	krytí_d	$A_{s1}$
[ ]	[mm]	[mm]	[*10 <sup>-4</sup> m <sup>2</sup> ]	[ ]	[mm]	[ ]	[mm]	[mm]	[*10 <sup>-4</sup> m <sup>2</sup> ]
4	14	30	6,16	4	14	0	0	30	6,16
Třmínky									
$n_{sw}$	$d_{sw}$	$s_{sw}$	Ocel-tř.	Ohyby					
[ ]	[mm]	[mm]	10505	$n_{sb}$	$d_{sb}$	$s_{sb}$	$\alpha_{sb}$	Ocel-oh.	
2	8	150	R	0	12	250	45	R	
vyhoví									
Mez porušení ohybem									
$A_{s,min}$	$A_{s1} > A_{s,min}$		$A_{s,max}$	$A_{s1} + A_{s2} < A_{s,max}$		$\xi_{bal,1}$	$\xi = x/d$		
[*10 <sup>-4</sup> m <sup>2</sup> ]			[*10 <sup>-4</sup> m <sup>2</sup> ]			0,617	>	0,101	
1,676	vyhoví		48,000	vyhoví		Výška tlačené oblasti vyhovuje			
Tlaková výztuž není plně využita									
Ohybová únosnost vyhoví									
Mez porušení posouvající silou									
$\rho_w$	$\rho_{wmax}$	vyhoví	$\rho_{wmin}$	vyhoví					
0,002793	0,012144		0,001008						
$\cot \theta$	$\min V_{Rdmax}$	$V_{Rdmax}$	$V_{Rd,s}$	$V_{Rd,st}$	$V_{Rd,cm}$				
	[kN]	[kN]	[kN]	[kN]	[kN]				
2,500	364,17	364,17	303,56	303,56	56,40				
$\min(V_{Rdmax}, V_{Rd,s}) > V_{Ed}$					Smyková únosnost vyhoví				
minimální hodnota únosnosti tlak. diagonály ( $\cot \theta = 2,5$ )									
$\min V_{Rdmax}$	únosnost tlakové diagonály								
$V_{Rdmax}$	únosnost smykové výztuže (třmínky + ohyby)								
$V_{Rd,s}$	únosnost smykové výztuže (jen svislé třmínky)								
$V_{Rd,st}$	únosnost bez smykové výztuže								
$V_{Rd,cm}$									

## 16.5. Posudek ocelových prvků na MSÚ EC-EN 1993

Lineární výpočet

Kombinace: MSÚ-B

Souřadný systém: Hlavní

Extrém 1D: Průřez

Vyběr: Vše

Filtr: Vrstva = 2.NP desky

Posudek EN 1993-1-1

Národní příloha: Česká CSN-EN NA

Dílec B37	0,000 / 3,300 m	MSH150x150x8.0	S 235	MSÚ-B	0,20 -
-----------	-----------------	----------------	-------	-------	--------

Data prutu	
Výroba	Válcovaný
Vzpěrná skupina	Výchozí

Klíč kombinace	
MSÚ-B / 1.15*ZS1 + 1.15*ZS2 + 1.50*ZS6 + 0.75*ZS7 + 1.15*ZS8 + 1.05*ZS3	

N <sub>Ed</sub> [kN]	V <sub>y,Ed</sub> [kN]	V <sub>z,Ed</sub> [kN]	T <sub>Ed</sub> [kNm]	M <sub>y,Ed</sub> [kNm]	M <sub>z,Ed</sub> [kNm]
-75,40	-3,10	0,22	-0,30	-0,41	4,98

Posudek v řezu	
Klasifikace průřezu	1
Posudek na tlak	0,07 -
Posudek ohybového momentu pro M <sub>y</sub>	0,01 -
Posudek ohybového momentu pro M <sub>z</sub>	0,09 -
Posudek smyku pro V <sub>y</sub>	0,01 -
Posudek smyku pro V <sub>z</sub>	0,00 -
Posudek kroucení	0,01 -
Posudek na kombinaci ohybu, osových a smykových sil	0,02 -
Závěr - posudek průřezu	0,09 -

Vzpěrná osa	k	L [m]	N <sub>cr</sub> [kN]	M <sub>cr</sub> [kNm]	λ <sub>rel</sub>	χ
y-y	1,11	3,666	2298,13		0,68	0,86
z-z	0,55	5,470	1032,10		1,01	0,66
LTB	1,00	9,900		1144,10	0,22	1,00

Posudek stability	
Klasifikace stability	1
Posudek rovinného vzpěru	0,11 -
Posudek ohybu a osových tlaků	0,20 -
Závěr - posudek stability	0,20 -

Posudek EN 1993-1-1

Národní příloha: Česká CSN-EN NA

Dílec B67	0,000 / 3,300 m	MSH180x180x8.0	S 235	MSÚ-B	0,56 -
-----------	-----------------	----------------	-------	-------	--------

Data prutu	
Výroba	Válcovaný
Vzpěrná skupina	Výchozí

Klíč kombinace	
MSÚ-B / 1.35*ZS1 + 1.35*ZS2 + 0.90*ZS5 + 0.75*ZS7 + 1.35*ZS8 + 1.05*ZS3 + 1.05*ZS4	

N <sub>Ed</sub> [kN]	V <sub>y,Ed</sub> [kN]	V <sub>z,Ed</sub> [kN]	T <sub>Ed</sub> [kNm]	M <sub>y,Ed</sub> [kNm]	M <sub>z,Ed</sub> [kNm]
-302,60	2,10	1,77	0,22	-2,19	-2,11

Posudek v řezu	
Klasifikace průřezu	1
Posudek na tlak	0,24 -
Posudek ohybového momentu pro M <sub>y</sub>	0,03 -
Posudek ohybového momentu pro M <sub>z</sub>	0,03 -
Posudek smyku pro V <sub>y</sub>	0,01 -
Posudek smyku pro V <sub>z</sub>	0,00 -
Posudek kroucení	0,00 -
Posudek na kombinaci ohybu, osových a smykových sil	0,00 -
Závěr - posudek průřezu	0,24 -

Vzpěrná osa	k	L [m]	N <sub>cr</sub> [kN]	M <sub>cr</sub> [kNm]	λ <sub>rel</sub>	χ
y-y	1,27	8,393	782,61		1,28	0,48
z-z	0,59	1,937	14701,59		0,29	0,98
LTB	1,00	3,300		10306,90	0,09	1,00

Posudek stability	
Klasifikace stability	1
Posudek rovinného vzpěru	0,49 -
Posudek ohybu a osového tlaku	0,56 -
<b>Závěr</b> - posudek stability	0,56 -

Posudek EN 1993-1-1  
 Národní příloha: Česká CSN-EN NA

Dílec B103	2,475 / 4,950 m	HEA300	S 235	MSÚ-B	0,45 -
------------	-----------------	--------	-------	-------	--------

Data prutu	
Výroba	Válcovaný
Vzpěrná skupina	Výchozí

Klíč kombinace	
MSÚ-B / 1.15*ZS1 + 1.15*ZS2 + 1.15*ZS8 + 1.50*ZS4	

N <sub>Ed</sub> [kN]	V <sub>y,Ed</sub> [kN]	V <sub>z,Ed</sub> [kN]	T <sub>Ed</sub> [kNm]	M <sub>y,Ed</sub> [kNm]	M <sub>z,Ed</sub> [kNm]
3,34	0,04	0,00	0,01	144,74	0,02

Posudek v řezu	
Klasifikace průřezu	1
Posudek na tah	0,00 -
Posudek ohybového momentu pro M <sub>y</sub>	0,45 -
Posudek ohybového momentu pro M <sub>z</sub>	0,00 -
Posudek smyku pro V <sub>y</sub>	0,00 -
Posudek kroucení	0,00 -
Posudek na kombinaci ohybu, osových a smykových sil	0,20 -
<b>Závěr</b> - posudek průřezu	0,45 -

Posudek EN 1993-1-1  
 Národní příloha: Česká CSN-EN NA

Dílec B108	2,525 / 5,050 m	HEA260	S 235	MSÚ-B	0,31 -
------------	-----------------	--------	-------	-------	--------

Data prutu	
Výroba	Válcovaný
Vzpěrná skupina	Výchozí

Klíč kombinace	
MSÚ-B / 1.15*ZS1 + 1.15*ZS2 + 0.90*ZS5 + 0.75*ZS7 + 1.15*ZS8 + 1.50*ZS3	

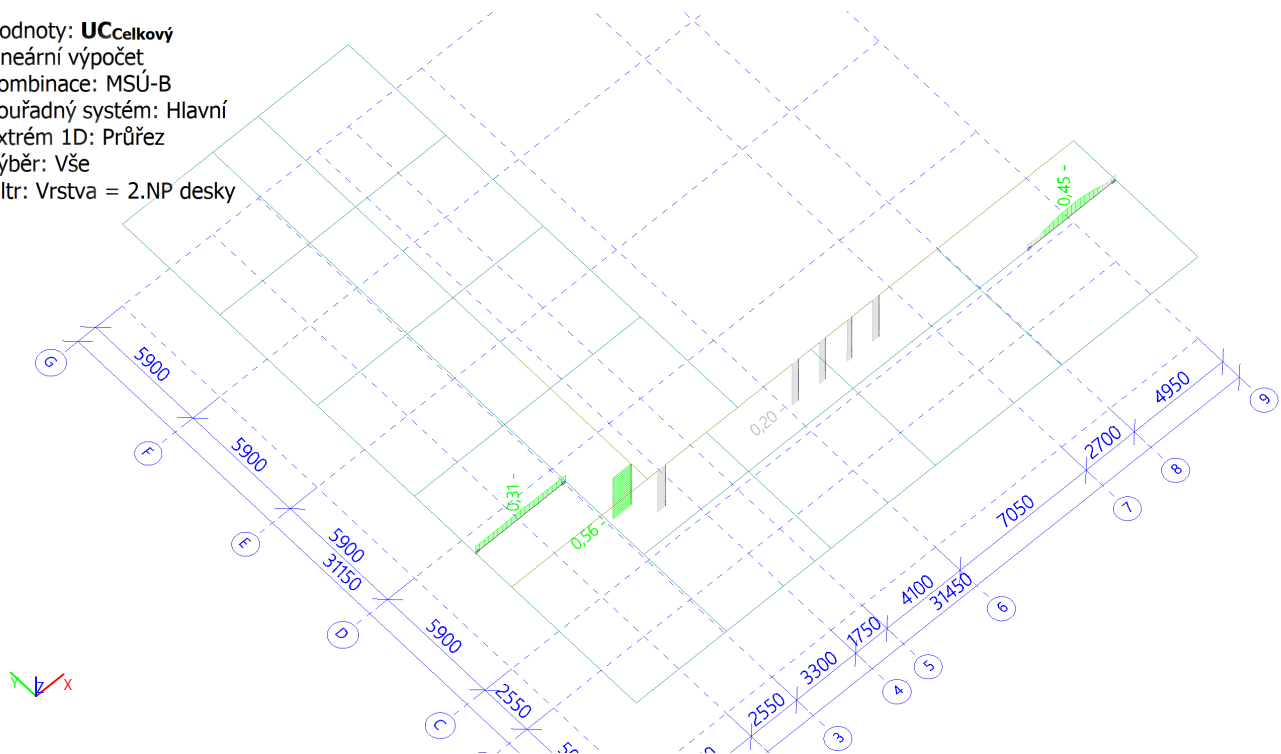
N <sub>Ed</sub> [kN]	V <sub>y,Ed</sub> [kN]	V <sub>z,Ed</sub> [kN]	T <sub>Ed</sub> [kNm]	M <sub>y,Ed</sub> [kNm]	M <sub>z,Ed</sub> [kNm]
-2,16	-0,40	0,00	0,00	67,72	0,08

Posudek v řezu	
Klasifikace průřezu	1
Posudek na tlak	0,00 -
Posudek ohybového momentu pro M <sub>y</sub>	0,31 -
Posudek ohybového momentu pro M <sub>z</sub>	0,00 -
Posudek smyku pro V <sub>y</sub>	0,00 -
Posudek kroucení	0,00 -
Posudek na kombinaci ohybu, osových a smykových sil	0,10 -
<b>Závěr</b> - posudek průřezu	0,31 -

Vzpěrná osa	k	L [m]	N <sub>cr</sub> [kN]	M <sub>cr</sub> [kNm]	λ <sub>rel</sub>	χ
y-y	1,00	5,050	8533,47		0,49	1,00
z-z	0,66	3,314	6925,84		0,54	1,00
LTB	1,00	5,050		565,08	0,62	1,00

Posudek stability	
Klasifikace stability	1
Posudek ohybu a osového tlaku	0,29 -
<b>Závěr</b> - posudek stability	0,29 -

Hodnoty: **UC<sub>celkový</sub>**  
Lineární výpočet  
Kombinace: MSÚ-B  
Souřadný systém: Hlavní  
Extrém 1D: Průřez  
Výběr: Vše  
Filtr: Vrstva = 2.NP desky



16.6. Deformace 1D prvků

16.6.1. 1D deformace

Lineární výpočet  
Kombinace: MSP-Char  
Souřadný systém: Hlavní  
Extrém 1D: Průřez  
Výběr: Vše  
Filtr: Vrstva = 2.NP desky  
Deformace

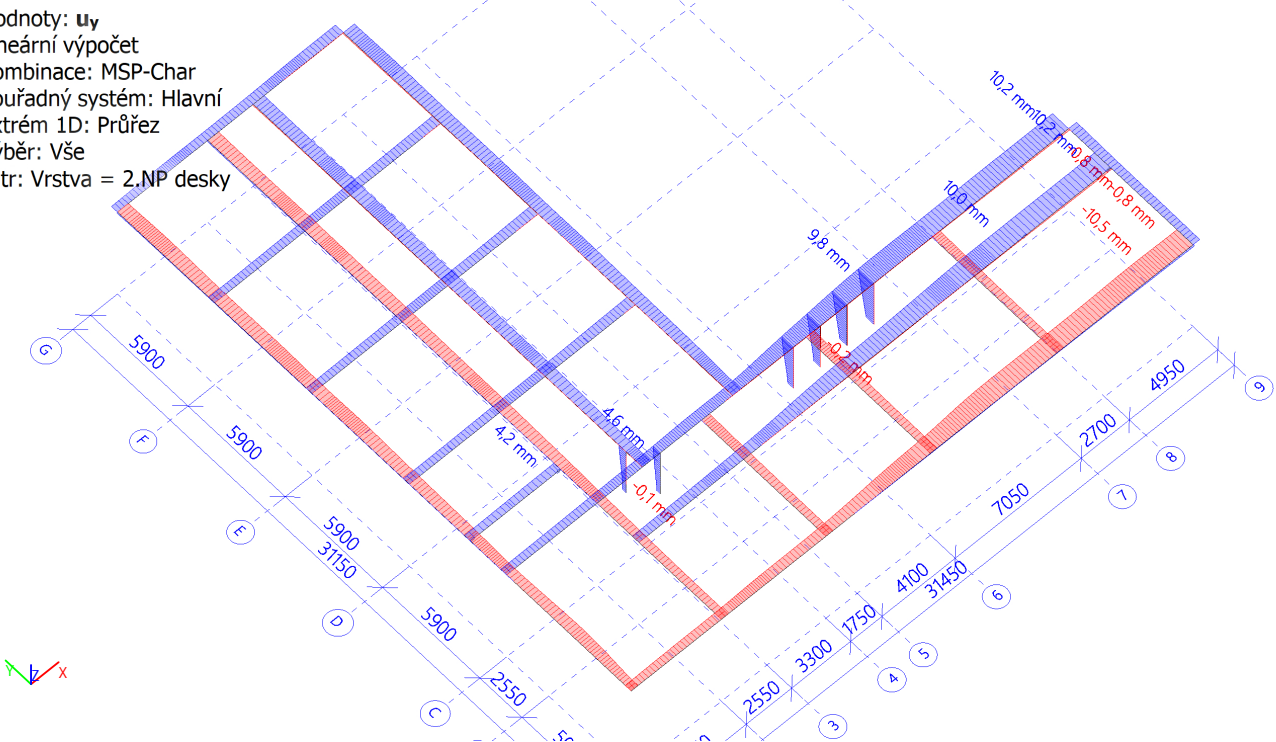
Jméno	dx [m]	Stav	Průřez	U <sub>x</sub> [mm]	U <sub>y</sub> [mm]	U <sub>z</sub> [mm]	Φ <sub>x</sub> [mrad]	Φ <sub>y</sub> [mrad]	Φ <sub>z</sub> [mrad]	U <sub>total</sub> [mm]
B40	3,300	MSP-Char/1	sloup5 - MSH150x150x8.0	-0,6	5,9	-0,1	0,1	0,1	0,6	5,9
B38	0,000	MSP-Char/2	sloup5 - MSH150x150x8.0	-0,2	-0,1	-2,5	0,0	0,0	0,0	2,5
B38	3,300	MSP-Char/3	sloup5 - MSH150x150x8.0	-0,4	-0,2	-4,7	0,0	0,0	0,0	4,7
B37	3,300	MSP-Char/4	sloup5 - MSH150x150x8.0	-0,5	-0,1	-4,7	0,0	-0,1	0,0	4,7
B40	2,475-	MSP-Char/5	sloup5 - MSH150x150x8.0	-0,6	8,8	0,1	0,2	0,0	1,5	8,8
B37	3,300	MSP-Char/6	sloup5 - MSH150x150x8.0	-0,5	0,1	-0,2	0,0	-0,1	0,0	0,6
B37	3,300	MSP-Char/7	sloup5 - MSH150x150x8.0	-0,5	7,4	0,0	0,7	0,0	0,5	7,4
B37	0,000	MSP-Char/8	sloup5 - MSH150x150x8.0	-0,4	0,0	0,0	0,0	-0,1	0,1	0,4
B37	1,650-	MSP-Char/9	sloup5 - MSH150x150x8.0	-0,4	-0,1	-3,6	0,0	1,0	-0,1	3,6
B40	1,485-	MSP-Char/10	sloup5 - MSH150x150x8.0	-0,5	7,2	0,0	0,1	-0,1	1,6	7,2
B40	3,300	MSP-Char/10	sloup5 - MSH150x150x8.0	-0,6	9,8	0,0	0,3	0,1	1,0	9,8
B42	0,000	MSP-Char/5	venec - Obdélník (300; 240)	-10,2	0,0	-0,5	-0,2	-0,8	0,1	10,2
B66	2,550	MSP-Char/10	venec - Obdélník (300; 240)	9,9	0,0	-0,6	-0,3	0,8	0,0	9,9
B43	2,550-	MSP-Char/5	venec - Obdélník (300; 240)	-0,9	-10,5	-2,7	1,5	0,4	0,0	10,8

Jméno	dx [m]	Stav	Průřez	U <sub>x</sub> [mm]	U <sub>y</sub> [mm]	U <sub>z</sub> [mm]	Φ <sub>x</sub> [mrad]	Φ <sub>y</sub> [mrad]	Φ <sub>z</sub> [mrad]	U <sub>total</sub> [mm]
B43	2,850-	MSP-Char/11	venec - Obdélník (300; 240)	-0,6	-6,2	-3,5	0,9	0,0	0,0	7,2
B42	7,550	MSP-Char/10	venec - Obdélník (300; 240)	-10,2	0,9	0,1	0,6	-0,8	0,0	10,3
B49	21,450	MSP-Char/5	venec - Obdélník (300; 240)	0,3	10,0	-0,8	-1,6	0,4	0,1	10,1
B43	4,387-	MSP-Char/5	venec - Obdélník (300; 240)	-0,9	-10,2	-1,5	1,6	-1,0	0,2	10,3
B43	4,050-	MSP-Char/11	venec - Obdélník (300; 240)	-0,6	-6,1	-2,3	0,9	-1,5	0,1	6,6
B43	1,350-	MSP-Char/11	venec - Obdélník (300; 240)	-0,6	-6,2	-1,7	0,8	1,8	-0,1	6,4
B44	1,450-	MSP-Char/4	venec - Obdélník (300; 240)	0,6	-4,7	-1,6	0,5	0,9	-0,7	5,0
B43	13,100-	MSP-Char/5	venec - Obdélník (300; 240)	-0,9	-8,7	-1,8	1,0	-0,9	0,8	9,0
B43	2,700-	MSP-Char/12	venec - Obdélník (300; 240)	-0,9	-10,5	-3,2	1,5	0,3	0,0	11,0
B111	2,100-	MSP-Char/12	pruvlak3 - Obdélník (500; 240)	-4,5	-0,1	-0,7	0,3	0,4	0,1	4,5
B47	0,000	MSP-Char/4	pruvlak3 - Obdélník (500; 240)	4,7	0,6	-0,4	-0,4	-0,1	0,0	4,8
B106	18,800	MSP-Char/4	pruvlak3 - Obdélník (500; 240)	4,7	-0,8	-0,5	0,3	0,3	-0,1	4,8
B111	4,795-	MSP-Char/11	pruvlak3 - Obdélník (500; 240)	-2,8	0,0	-2,4	0,1	0,0	0,0	3,7
B47	2,424-	MSP-Char/13	pruvlak3 - Obdélník (500; 240)	0,1	2,5	-0,1	-0,4	0,0	0,1	2,5
B106	15,434-	MSP-Char/5	pruvlak3 - Obdélník (500; 240)	0,0	10,1	-0,2	-1,6	0,0	0,0	10,1
B111	6,510-	MSP-Char/11	pruvlak3 - Obdélník (500; 240)	-2,8	0,0	-1,5	0,1	-0,8	0,0	3,1
B111	2,835-	MSP-Char/6	pruvlak3 - Obdélník (500; 240)	-0,2	0,1	-1,3	0,2	0,8	0,0	1,3
B111	5,040-	MSP-Char/2	pruvlak3 - Obdélník (500; 240)	-0,2	5,2	-1,7	-0,1	-0,1	-0,2	5,5
B106	2,200-	MSP-Char/7	pruvlak3 - Obdélník (500; 240)	0,0	6,4	-0,6	-0,5	0,0	0,8	6,5
B106	18,800	MSP-Char/5	pruvlak3 - Obdélník (500; 240)	0,0	10,2	-0,5	-0,8	0,2	0,1	10,2
B67	3,300	MSP-Char/11	sloup - MSH180x180x8.0	-1,1	2,8	0,0	0,0	-0,1	0,7	3,0
B68	0,000	MSP-Char/7	sloup - MSH180x180x8.0	-0,2	2,1	0,0	0,1	0,0	0,7	2,1
B67	1,980-	MSP-Char/14	sloup - MSH180x180x8.0	-0,7	-0,1	-2,5	0,0	0,5	0,0	2,6
B68	3,300	MSP-Char/12	sloup - MSH180x180x8.0	-0,5	4,6	0,0	0,2	0,1	0,5	4,7
B67	3,300	MSP-Char/9	sloup - MSH180x180x8.0	-1,0	0,2	-4,8	-0,2	0,2	0,6	4,9
B67	3,300	MSP-Char/7	sloup - MSH180x180x8.0	-0,9	4,4	0,1	0,0	0,0	0,5	4,5
B68	3,300	MSP-Char/15	sloup - MSH180x180x8.0	-0,5	4,6	0,0	0,2	0,1	0,5	4,6
B67	3,300	MSP-Char/16	sloup - MSH180x180x8.0	-0,9	4,4	0,1	0,0	-0,1	0,5	4,5
B68	1,650-	MSP-Char/4	sloup -	-0,4	0,1	-3,6	0,0	0,9	-0,1	3,6

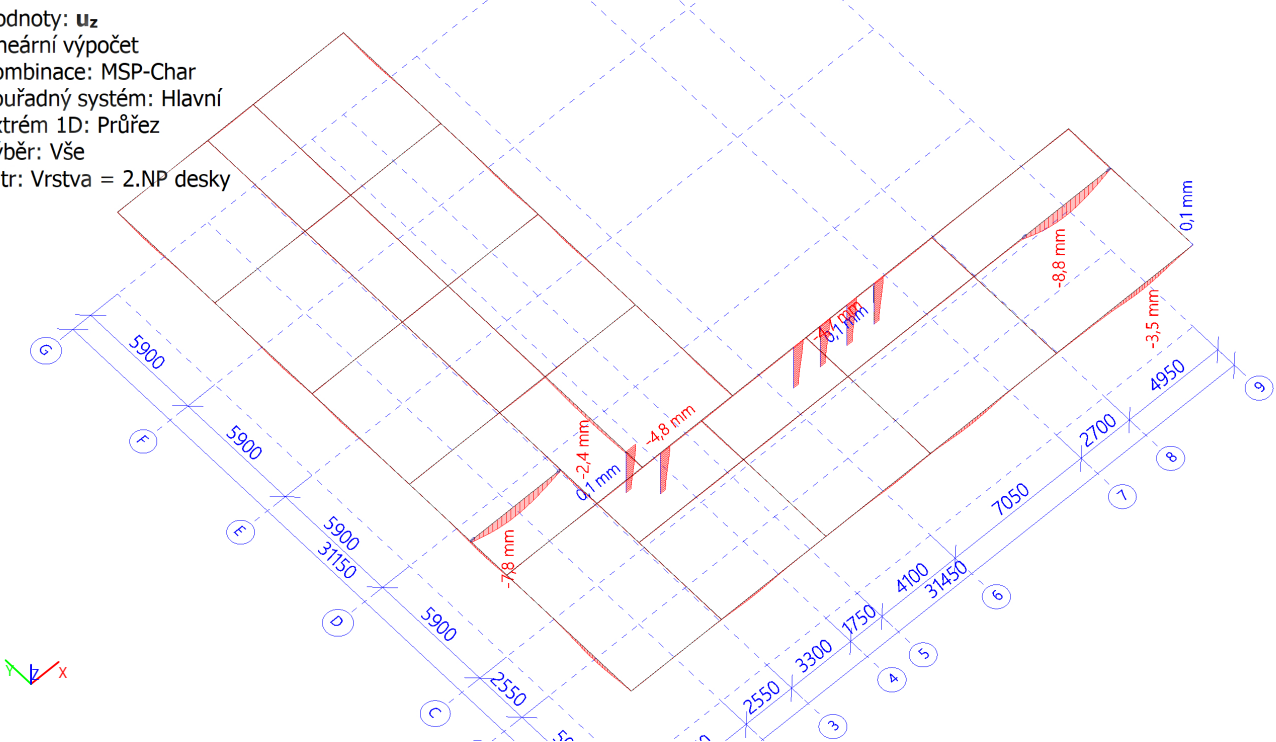
Jméno	dx [m]	Stav	Průřez	U <sub>x</sub> [mm]	U <sub>y</sub> [mm]	U <sub>z</sub> [mm]	Φ <sub>x</sub> [mrad]	Φ <sub>y</sub> [mrad]	Φ <sub>z</sub> [mrad]	U <sub>total</sub> [mm]
			MSH180x180x8.0							
B67	0,990-	MSP-Char/6	sloup - MSH180x180x8.0	-0,6	0,0	-0,1	0,0	0,1	-0,2	0,6
B67	1,980-	MSP-Char/16	sloup - MSH180x180x8.0	-0,7	3,4	0,0	0,0	0,0	0,9	3,5
B103	0,000	MSP-Char/17	pruvlak5 - HEA300	0,1	0,0	-0,8	0,0	2,8	0,0	0,8
B103	4,950	MSP-Char/4	pruvlak5 - HEA300	4,3	-0,8	-0,7	-0,4	-4,3	-0,1	4,4
B103	2,475-	MSP-Char/18	pruvlak5 - HEA300	2,6	-0,4	-8,8	-0,2	-0,1	-0,1	9,2
B103	4,950	MSP-Char/5	pruvlak5 - HEA300	0,3	10,2	-0,4	-0,2	-2,9	0,1	10,2
B103	0,000	MSP-Char/5	pruvlak5 - HEA300	0,3	10,0	-0,8	-1,6	2,8	0,1	10,1
B103	4,950	MSP-Char/11	pruvlak5 - HEA300	0,2	6,1	-0,6	-0,3	-4,9	0,1	6,1
B103	0,000	MSP-Char/19	pruvlak5 - HEA300	0,2	-0,1	-0,9	0,0	4,7	0,0	1,0
B103	0,000	MSP-Char/4	pruvlak5 - HEA300	4,3	-0,4	-1,0	0,1	4,1	-0,1	4,4
B103	2,475-	MSP-Char/12	pruvlak5 - HEA300	0,3	10,1	-7,7	-0,9	-0,1	0,0	12,7
B108	0,000	MSP-Char/5	pruvlak4 - HEA260	0,0	3,8	-1,1	0,8	3,6	0,0	3,9
B108	0,000	MSP-Char/4	pruvlak4 - HEA260	5,2	0,6	-0,9	0,5	2,6	-0,2	5,4
B108	4,292-	MSP-Char/20	pruvlak4 - HEA260	0,1	0,2	-2,7	0,5	-2,3	0,0	2,7
B108	5,050	MSP-Char/12	pruvlak4 - HEA260	0,0	4,2	-0,9	0,7	-3,7	0,0	4,3
B108	2,525-	MSP-Char/13	pruvlak4 - HEA260	0,0	2,5	-7,8	0,8	-0,1	0,1	8,2
B108	5,050	MSP-Char/20	pruvlak4 - HEA260	0,1	0,2	-0,7	0,4	-2,6	0,0	0,7
B108	0,000	MSP-Char/1	pruvlak4 - HEA260	0,0	2,4	-1,2	0,9	4,0	0,0	2,7
B108	5,050	MSP-Char/21	pruvlak4 - HEA260	0,0	2,6	-0,9	0,7	-4,1	0,0	2,8
B108	0,000	MSP-Char/22	pruvlak4 - HEA260	3,2	0,5	-1,2	0,8	4,0	-0,1	3,4
B108	0,000	MSP-Char/23	pruvlak4 - HEA260	5,2	0,7	-1,1	0,7	3,6	-0,2	5,4
B108	2,525-	MSP-Char/24	pruvlak4 - HEA260	0,0	4,0	-5,1	0,6	0,0	0,1	6,5
B108	2,525-	MSP-Char/9	pruvlak4 - HEA260	5,2	0,5	-7,0	0,7	0,0	0,0	8,7

Jméno	Klíč kombinace
MSP-Char/1	ZS1 + ZS2 + 0.60*ZS6 + 0.50*ZS7 + ZS8 + ZS3
MSP-Char/2	ZS1 + ZS2 + ZS5 + ZS8
MSP-Char/3	ZS1 + ZS2 + ZS5 + 0.50*ZS7 + ZS8
MSP-Char/4	ZS1 + ZS2 + ZS5 + 0.50*ZS7 + ZS8 + 0.70*ZS4
MSP-Char/5	ZS1 + ZS2 + ZS6 + ZS8 + 0.70*ZS3
MSP-Char/6	ZS1 + ZS2 + 0.50*ZS7 + ZS8 + 0.70*ZS3 + ZS4
MSP-Char/7	ZS1 + ZS2 + ZS6 + ZS8
MSP-Char/8	ZS1 + ZS2 + 0.50*ZS7 + ZS8 + ZS3 + 0.70*ZS4
MSP-Char/9	ZS1 + ZS2 + ZS5 + 0.50*ZS7 + ZS8 + 0.70*ZS3 + 0.70*ZS4
MSP-Char/10	ZS1 + ZS2 + ZS6 + ZS8 + 0.70*ZS3 + 0.70*ZS4
MSP-Char/11	ZS1 + ZS2 + 0.60*ZS6 + 0.50*ZS7 + ZS8 + 0.70*ZS3 + ZS4
MSP-Char/12	ZS1 + ZS2 + ZS6 + 0.50*ZS7 + ZS8 + 0.70*ZS3 + 0.70*ZS4
MSP-Char/13	ZS1 + ZS2 + 0.60*ZS6 + 0.50*ZS7 + ZS8 + ZS3 + 0.70*ZS4
MSP-Char/14	ZS1 + ZS2 + 0.60*ZS5 + 0.50*ZS7 + ZS8 + ZS4
MSP-Char/15	ZS1 + ZS2 + ZS6 + ZS8 + 0.70*ZS4
MSP-Char/16	ZS1 + ZS2 + ZS6 + 0.50*ZS7 + ZS8 + 0.70*ZS3
MSP-Char/17	ZS1 + ZS2 + ZS8 + ZS3
MSP-Char/18	ZS1 + ZS2 + 0.60*ZS5 + 0.50*ZS7 + ZS8 + 0.70*ZS3 + ZS4
MSP-Char/19	ZS1 + ZS2 + ZS8 + ZS4
MSP-Char/20	ZS1 + ZS2 + ZS8
MSP-Char/21	ZS1 + ZS2 + 0.60*ZS6 + ZS8 + ZS3
MSP-Char/22	ZS1 + ZS2 + 0.60*ZS5 + 0.50*ZS7 + ZS8 + ZS3 + 0.70*ZS4
MSP-Char/23	ZS1 + ZS2 + ZS5 + ZS8 + 0.70*ZS3
MSP-Char/24	ZS1 + ZS2 + ZS6 + 0.50*ZS7 + ZS8 + 0.70*ZS4

Hodnoty:  $u_y$   
Lineární výpočet  
Kombinace: MSP-Char  
Souřadný systém: Hlavní  
Extrém 1D: Průřez  
Výběr: Vše  
Filtr: Vrstva = 2.NP desky



Hodnoty:  $u_z$   
Lineární výpočet  
Kombinace: MSP-Char  
Souřadný systém: Hlavní  
Extrém 1D: Průřez  
Výběr: Vše  
Filtr: Vrstva = 2.NP desky

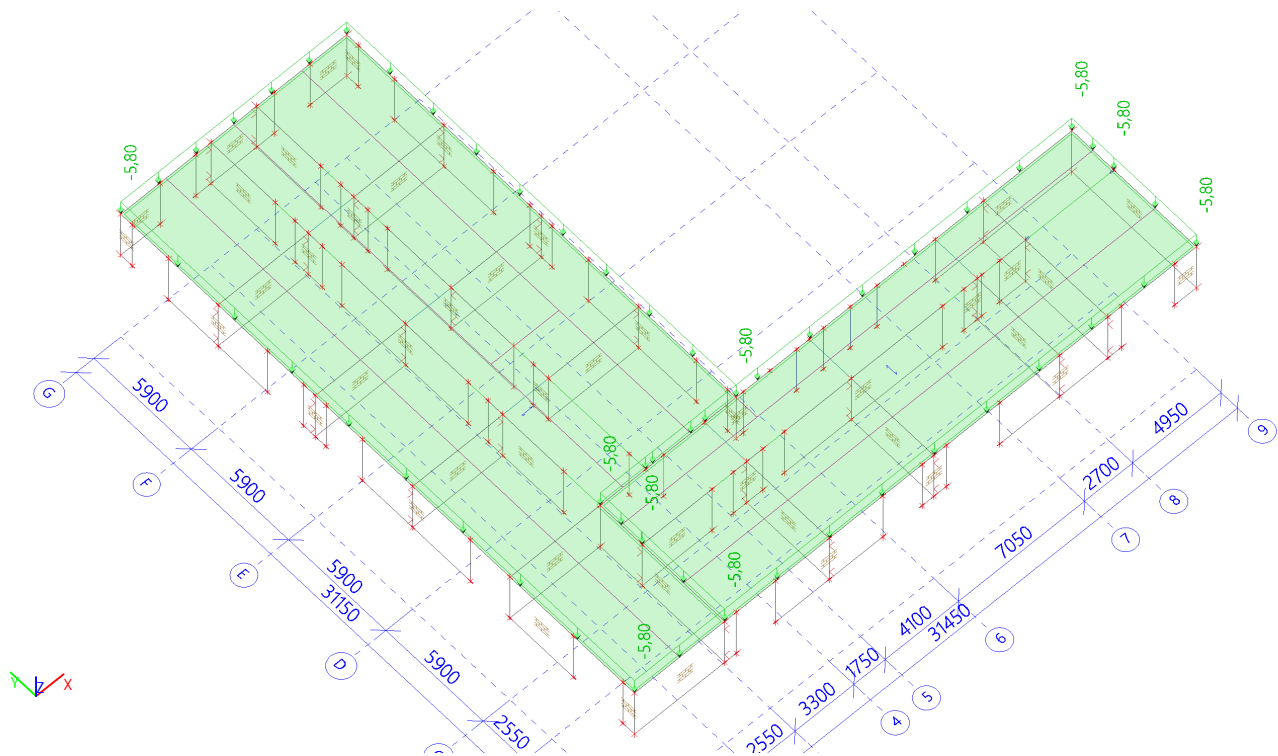


### 17. 3.NP

#### 17.1. Zatěžovací stavy

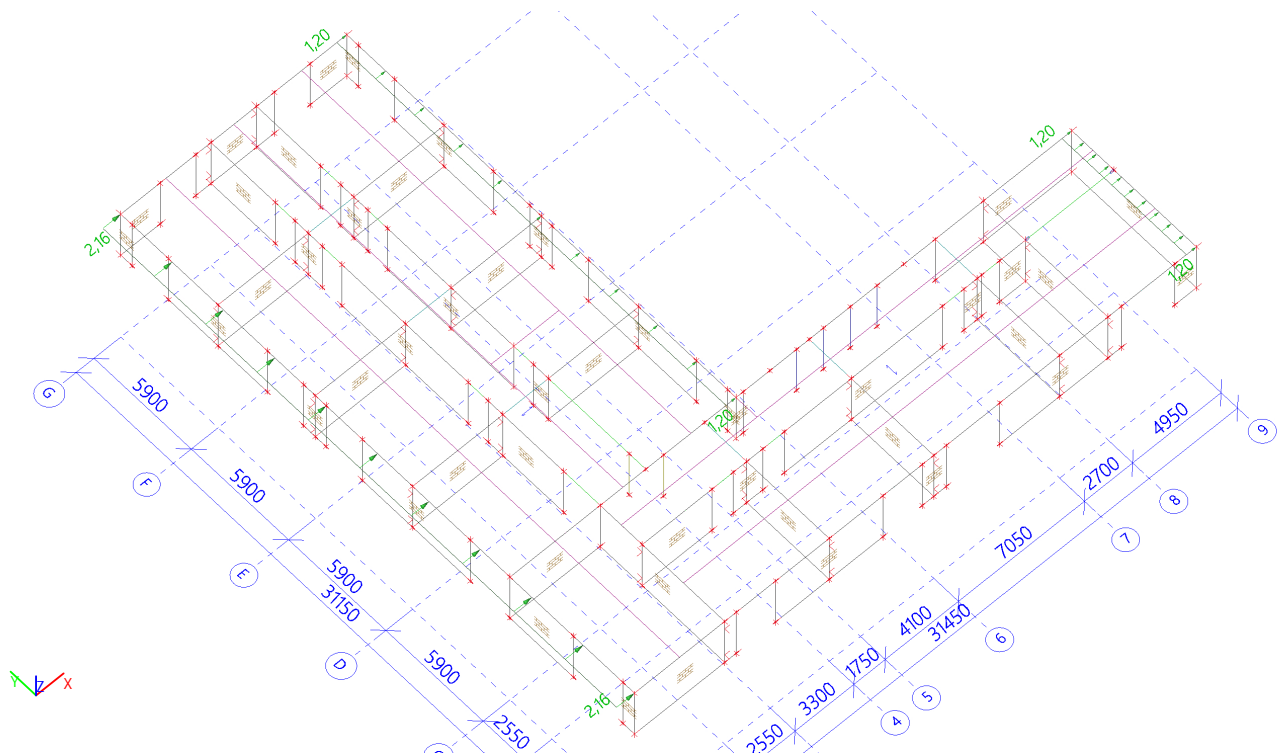
##### 17.1.1. Zatěžovací stavy - ZS2

Jméno	Popis	Typ působení	Skupina zatížení	Typ zatížení
ZS2	podlaha	Stálé	SZ1	Standard



17.1.2. Zatěžovací stavy - ZS5

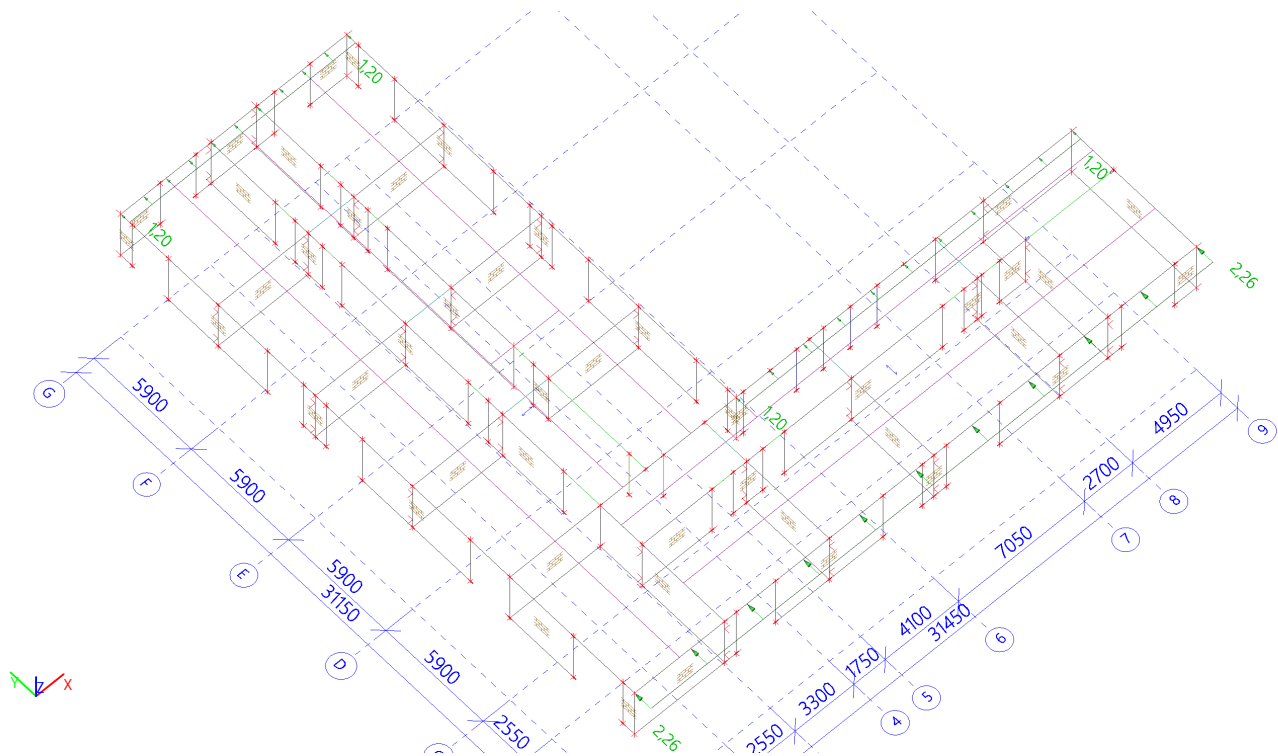
Jméno	Popis	Typ působení	Skupina zatížení	Typ zatížení	Spec	Působení	Řídící zat. stav
ZS5	vitr x+	Proměnné	SZ4	Statické	Standard	Krátkodobé	Žádný



17.1.3. Zatěžovací stavy - ZS6

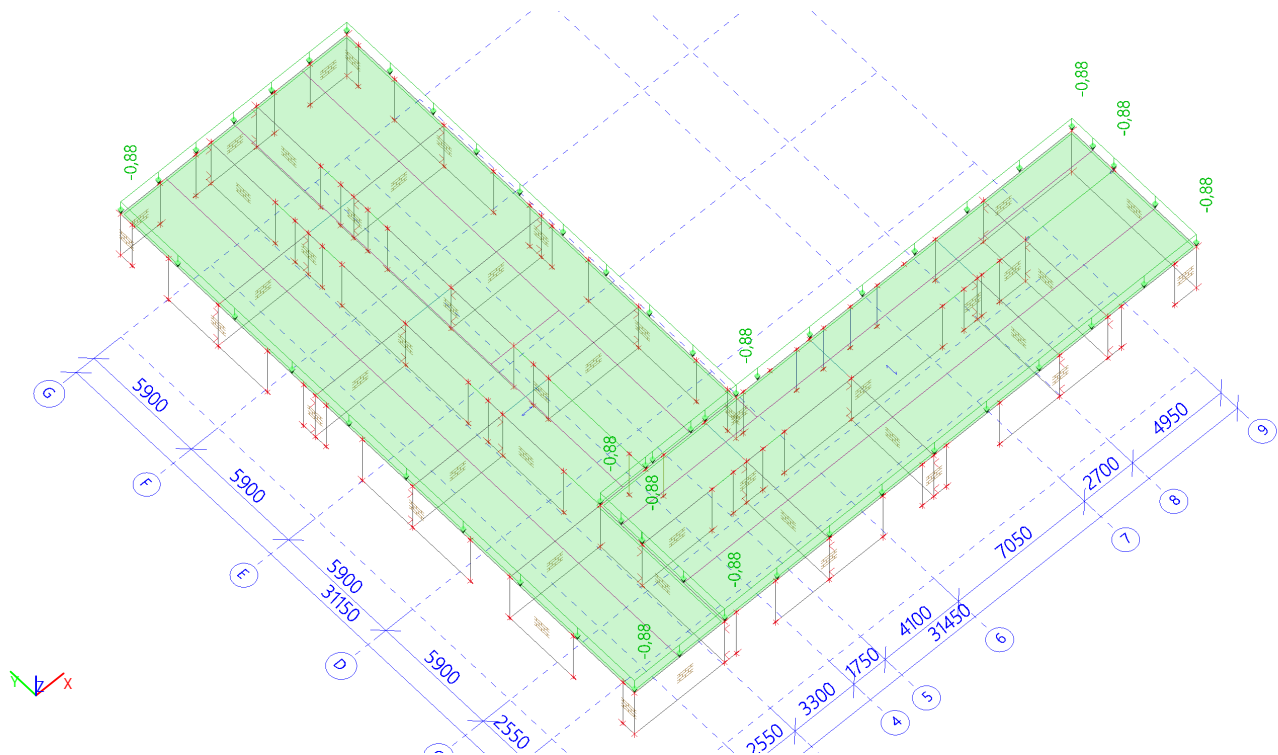
Jméno	Popis	Typ působení	Skupina zatížení	Typ zatížení	Spec	Působení	Řídící zat. stav
ZS6	vitr Y+	Proměnné	SZ4	Statické	Standard	Krátkodobé	Žádný





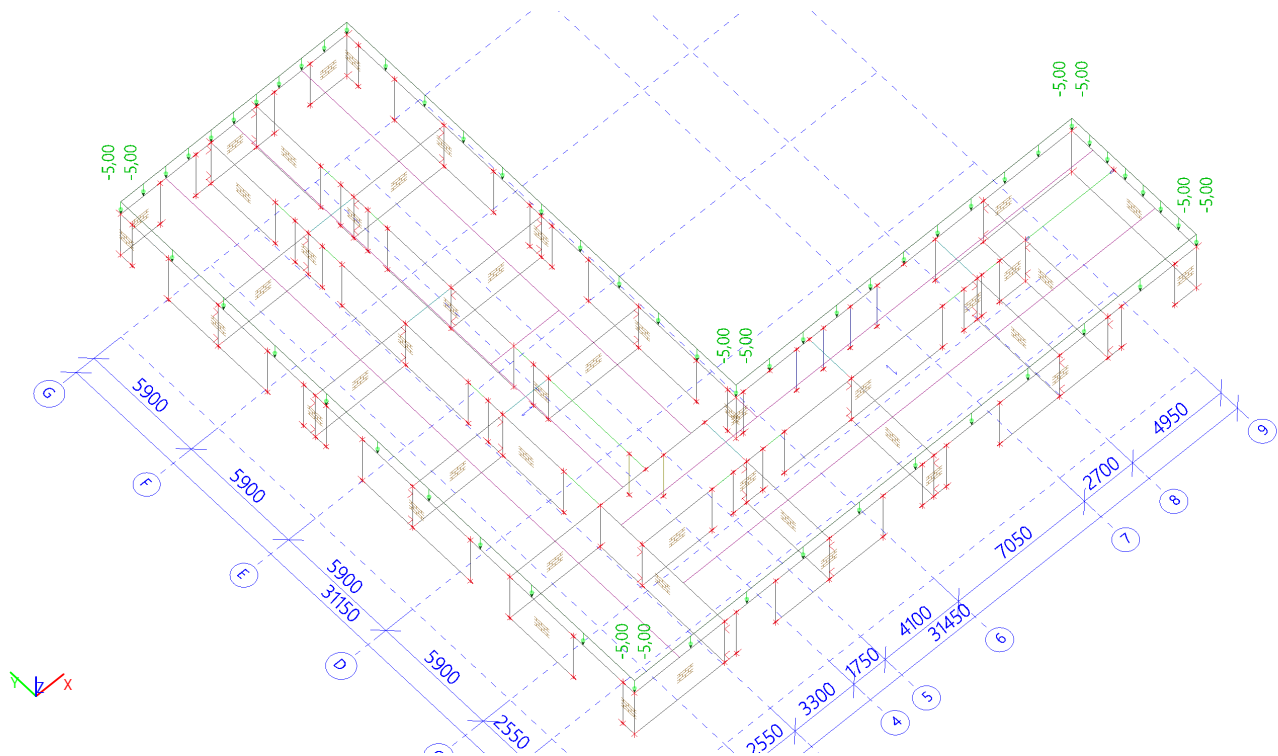
17.1.4. Zatěžovací stavy - ZS7

Jméno	Popis	Typ působení	Skupina zatížení	Typ zatížení	Spec	Působení	Řídící zat. stav
ZS7	snih	Proměnné	SZ3	Statické	Standard	Krátkodobé	Žádný



17.1.5. Zatěžovací stavy - ZS8

Jméno	Popis	Typ působení	Skupina zatížení	Typ zatížení
ZS8	prcky	Stálé	SZ1	Standard



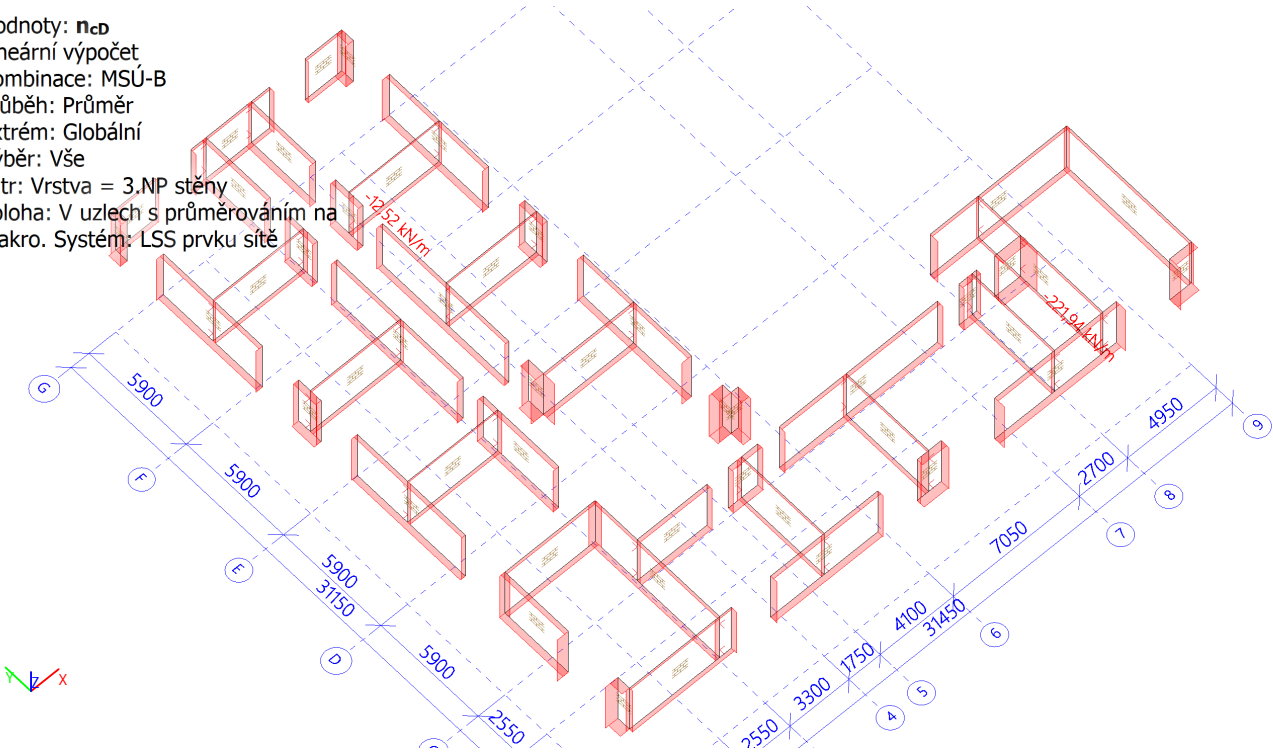
17.2. Zatížení zdiva

17.2.1. 2D vnitřní síly

Lineární výpočet  
Kombinace: MSÚ-B  
Průběh: Průměr  
Extrém: Globální  
Výběr: Vše  
Filtr: Vrstva = 3.NP stěny  
Poloha: V uzlech s průměrováním na makro. Systém: LSS prvku síť  
Základní návrhové veličiny - Výsledky na okrajích:

Jméno	Síť	Pozice [m]	Stav	$m_{xD+}$ [kNm/m] $m_{xD-}$ [kNm/m]	$m_{yD+}$ [kNm/m] $m_{yD-}$ [kNm/m]	$m_{cD+}$ [kNm/m] $m_{cD-}$ [kNm/m]	$n_{xD}$ [kN/m]	$n_{yD}$ [kN/m]	$n_{cD}$ [kN/m]
S177/Edge 629	Prvek: 0	26,500 5,000 6,600	MSÚ-B	-0,05 0,23	-0,06 0,16	-0,25 -0,15	-2,28	0,00	-221,94
S135/Edge 469	Prvek: 0	16,100 0,000 6,600	MSÚ-B	-0,07 0,05	-0,80 0,33	-0,38 -0,84	1,09	8,34	-0,17

Hodnoty: **ncd**  
Lineární výpočet  
Kombinace: MSÚ-B  
Průběh: Průměr  
Extrém: Globální  
Výběr: Vše  
Filtr: Vrstva = 3.NP stěny  
Poloha: V uzlech s průměrováním na makro. Systém: LSS prvku sítě



17.3. Vnitřní síly 1D prvků

17.3.1. 1D vnitřní síly

Lineární výpočet  
Kombinace: MSÚ-B  
Souřadný systém: Hlavní  
Extrém 1D: Dílec  
Výběr: Vše  
Filtr: Vrstva = 3.NP desky

Jméno	dx [m]	Stav	N [kN]	V <sub>y</sub> [kN]	V <sub>z</sub> [kN]	M <sub>x</sub> [kNm]	M <sub>y</sub> [kNm]	M <sub>z</sub> [kNm]
B70	0,000	MSÚ-B/1	-49,07	-1,02	0,45	-0,13	-0,69	1,53
B70	3,300	MSÚ-B/2	-30,12	0,26	1,66	-0,02	2,77	0,49
B70	0,000	MSÚ-B/3	-45,85	0,38	1,85	-0,02	-3,00	-0,57
B70	0,000	MSÚ-B/4	-36,18	-2,04	0,17	-0,21	-0,23	3,07
B70	0,000	MSÚ-B/5	-41,50	-1,98	0,26	-0,22	-0,38	2,98
B70	0,000	MSÚ-B/6	-34,18	0,26	0,46	-0,01	-0,72	-0,40
B70	0,000	MSÚ-B/7	-38,95	0,37	2,59	-0,02	-4,23	-0,56
B70	3,300	MSÚ-B/7	-37,65	0,37	2,59	-0,02	4,33	0,67
B70	3,300	MSÚ-B/4	-35,04	-2,04	0,17	-0,21	0,32	-3,68
B71	0,000	MSÚ-B/8	-38,57	-0,94	0,36	-0,08	-0,59	1,31
B71	3,300	MSÚ-B/9	-24,70	0,15	2,26	-0,01	3,74	0,29
B71	0,000	MSÚ-B/3	-37,09	0,22	1,57	-0,01	-2,58	-0,31
B71	0,000	MSÚ-B/4	-28,30	-1,77	0,23	-0,11	-0,38	2,49
B71	0,000	MSÚ-B/5	-34,18	-1,72	0,28	-0,12	-0,46	2,42
B71	0,000	MSÚ-B/6	-26,07	0,13	0,28	-0,01	-0,45	-0,18
B71	0,000	MSÚ-B/7	-31,73	0,21	2,33	-0,02	-3,84	-0,31
B71	3,300	MSÚ-B/7	-30,42	0,21	2,33	-0,02	3,86	0,39
B71	3,300	MSÚ-B/4	-27,16	-1,77	0,23	-0,11	0,38	-3,34
B72	0,000	MSÚ-B/10	-41,00	-0,54	-0,18	-0,08	0,28	0,56
B72	3,300	MSÚ-B/6	-25,90	0,05	-0,04	0,00	-0,07	0,11
B72	0,000	MSÚ-B/4	-30,24	-0,97	-0,15	-0,13	0,23	1,02
B72	0,000	MSÚ-B/3	-39,61	0,09	1,09	0,00	-1,81	-0,11
B72	0,000	MSÚ-B/5	-36,76	-0,95	-0,20	-0,13	0,31	1,00
B72	0,000	MSÚ-B/11	-31,51	-0,96	-0,18	-0,14	0,29	1,01
B72	0,000	MSÚ-B/12	-32,82	0,07	1,16	0,00	-1,91	-0,08
B72	0,000	MSÚ-B/13	-27,95	0,07	1,96	0,00	-3,24	-0,08
B72	3,300	MSÚ-B/13	-26,81	0,07	1,96	0,00	3,23	0,14
B72	3,300	MSÚ-B/4	-29,10	-0,97	-0,15	-0,13	-0,25	-2,19
B73	0,000	MSÚ-B/14	-53,36	-0,60	-0,56	-0,11	0,87	0,63

Jméno	dx [m]	Stav	N [kN]	V <sub>y</sub> [kN]	V <sub>z</sub> [kN]	M <sub>x</sub> [kNm]	M <sub>y</sub> [kNm]	M <sub>z</sub> [kNm]
B73	3,300	MSÚ-B/15	-33,39	0,03	-0,36	0,01	-0,59	0,06
B73	0,000	MSÚ-B/4	-39,80	-1,03	-0,56	-0,19	0,89	1,08
B73	0,000	MSÚ-B/7	-42,80	0,05	1,63	0,02	-2,71	-0,05
B73	0,000	MSÚ-B/5	-45,96	-1,02	-0,68	-0,19	1,09	1,07
B73	0,000	MSÚ-B/11	-38,48	-1,02	-0,63	-0,19	1,02	1,07
B73	0,000	MSÚ-B/16	-44,12	0,05	1,70	0,02	-2,83	-0,05
B73	0,000	MSÚ-B/13	-36,64	0,05	1,75	0,02	-2,90	-0,05
B73	3,300	MSÚ-B/13	-35,50	0,05	1,75	0,02	2,87	0,10
B73	3,300	MSÚ-B/4	-38,67	-1,03	-0,56	-0,19	-0,96	-2,31
B75	7,550	MSÚ-B/17	-3,80	-1,36	-5,99	-13,50	-2,67	0,33
B75	2,550+	MSÚ-B/18	0,95	-1,83	-38,72	-0,11	14,20	1,16
B75	7,150-	MSÚ-B/7	-1,98	7,32	-1,20	-8,12	-1,41	1,07
B75	2,550+	MSÚ-B/19	-2,73	-2,57	-55,74	0,03	15,81	1,27
B75	2,550-	MSÚ-B/10	-1,92	-2,25	28,98	-0,16	16,24	-1,21
B75	7,550	MSÚ-B/7	-2,30	2,43	-3,00	-16,09	-2,11	1,59
B75	0,000	MSÚ-B/20	-1,66	-1,39	9,18	5,18	-3,23	0,16
B75	0,000	MSÚ-B/21	-0,98	-7,28	5,04	-3,37	-23,82	3,55
B75	2,550-	MSÚ-B/8	-2,24	-2,34	27,92	-0,18	17,88	-1,30
B75	7,550	MSÚ-B/4	0,36	-4,01	-1,20	-11,67	16,20	-3,07
B75	0,000	MSÚ-B/22	-0,92	-7,24	5,02	-3,33	-23,75	3,57
B76	1,200+	MSÚ-B/21	-10,56	5,86	39,61	-1,04	-1,18	-1,09
B76	26,788-	MSÚ-B/23	9,12	0,61	2,80	-1,38	-9,09	-0,17
B76	14,000-	MSÚ-B/24	-6,19	-11,33	-37,03	2,30	-9,55	-9,36
B76	7,847-	MSÚ-B/25	-5,63	12,15	9,21	-8,65	-7,33	-4,69
B76	14,000+	MSÚ-B/8	-5,19	-3,78	-49,89	1,42	-12,79	-5,44
B76	1,200-	MSÚ-B/3	-5,42	-0,12	48,28	-0,04	-5,35	-0,68
B76	31,450	MSÚ-B/26	4,81	-2,20	7,79	-15,60	5,62	-1,78
B76	7,650-	MSÚ-B/5	0,21	-9,33	-13,81	12,74	-9,97	-5,97
B76	14,700-	MSÚ-B/8	-5,17	-0,96	-13,78	9,07	-35,72	-5,67
B76	2,700-	MSÚ-B/8	-9,92	0,69	0,78	-0,62	32,61	2,18
B76	14,700-	MSÚ-B/25	-5,75	-5,80	-9,92	10,43	-24,64	-9,84
B76	11,000+	MSÚ-B/11	-6,09	-1,16	29,30	2,29	-1,03	9,37
B77	7,550+	MSÚ-B/8	-14,09	-0,27	45,92	-1,19	-14,24	0,25
B77	30,450+	MSÚ-B/4	-1,26	-0,42	-24,88	0,26	-2,26	0,77
B77	7,145-	MSÚ-B/27	-8,49	-12,00	-1,84	5,62	-7,84	-6,68
B77	3,700+	MSÚ-B/8	-10,42	0,37	-48,01	0,17	-5,81	-0,53
B77	7,550+	MSÚ-B/3	-13,83	6,34	47,01	-2,49	-16,73	-7,41
B77	19,350+	MSÚ-B/7	-10,86	4,75	16,32	-9,02	-23,79	-5,57
B77	7,550-	MSÚ-B/7	-8,25	-6,37	4,40	12,52	-7,35	-10,58
B77	19,350-	MSÚ-B/8	-10,54	3,57	-21,70	4,21	-29,95	0,42
B77	2,200-	MSÚ-B/8	-11,13	0,14	-1,71	0,19	31,49	-0,77
B77	7,550+	MSÚ-B/9	-9,96	11,10	32,06	-2,88	-11,44	-13,25
B77	3,700-	MSÚ-B/16	-8,45	-0,13	-40,17	-0,58	-5,35	8,41
B78	6,423-	MSÚ-B/8	-8,14	0,37	-1,41	-0,18	7,19	0,11
B78	10,593+	MSÚ-B/27	2,93	0,05	-7,64	-0,56	-1,69	2,13
B78	0,400-	MSÚ-B/21	1,07	-6,51	-6,97	6,82	-2,16	1,47
B78	12,239-	MSÚ-B/21	1,00	6,09	7,25	-6,83	-1,30	0,78
B78	0,000	MSÚ-B/3	-2,72	3,41	-15,90	13,10	6,38	-1,89
B78	12,650	MSÚ-B/8	0,84	0,32	14,90	-13,82	2,51	1,02
B78	12,650	MSÚ-B/21	0,87	1,31	13,13	-14,37	2,84	1,07
B78	0,000	MSÚ-B/8	0,89	-0,42	-15,75	14,15	2,18	1,45
B78	7,600-	MSÚ-B/28	-7,32	1,10	-7,46	-0,35	-11,02	0,14
B78	0,000	MSÚ-B/27	-5,07	4,29	-14,08	12,09	8,93	-3,56
B78	0,000	MSÚ-B/9	-5,26	3,82	-9,69	9,31	8,38	-3,65
B78	7,600+	MSÚ-B/29	0,77	-4,60	-12,05	3,19	1,64	3,65
B79	21,200+	MSÚ-B/21	-25,80	1,51	26,19	0,04	0,73	0,71
B79	11,800+	MSÚ-B/9	-0,79	-6,81	12,51	2,04	-16,60	3,86
B79	17,700+	MSÚ-B/7	-2,64	-8,80	4,45	3,33	0,57	2,46
B79	17,700-	MSÚ-B/7	-1,81	9,82	-2,35	-3,67	0,78	3,90
B79	11,100+	MSÚ-B/23	-4,73	-0,52	-38,94	0,42	-5,79	-0,32
B79	12,450-	MSÚ-B/8	-12,24	0,62	40,97	-0,35	-8,75	-0,94
B79	23,600	MSÚ-B/16	-2,63	5,70	16,15	-7,07	-3,23	6,17
B79	0,000	MSÚ-B/9	-2,27	-4,16	6,92	5,34	-6,79	2,77
B79	11,800+	MSÚ-B/8	-11,79	-3,65	20,89	-4,36	-29,90	-0,23
B79	1,800-	MSÚ-B/23	-5,93	0,20	-0,83	-0,33	21,73	-0,36
B79	2,900-	MSÚ-B/27	-3,61	-0,01	-29,75	0,95	1,59	-3,34
B79	23,600	MSÚ-B/9	-1,93	5,91	16,80	-6,81	-1,72	6,34
B80	5,050+	MSÚ-B/30	-17,84	-1,51	8,28	0,02	13,14	3,54

Jméno	dx [m]	Stav	N [kN]	V <sub>y</sub> [kN]	V <sub>z</sub> [kN]	M <sub>x</sub> [kNm]	M <sub>y</sub> [kNm]	M <sub>z</sub> [kNm]
B80	5,050-	MSÚ-B/8	15,78	12,03	50,99	7,01	16,77	1,65
B80	8,600+	MSÚ-B/11	-4,25	-5,55	24,30	-2,78	-17,55	3,15
B80	0,000	MSÚ-B/3	3,69	-4,70	-41,52	-8,73	15,48	1,73
B80	5,050-	MSÚ-B/23	15,35	13,62	51,64	11,79	16,85	2,62
B80	0,000	MSÚ-B/23	15,04	-3,12	-41,22	-9,61	10,32	0,54
B80	5,050-	MSÚ-B/17	15,66	13,87	51,64	12,06	15,69	2,65
B80	8,600-	MSÚ-B/3	-9,24	-2,62	-37,31	-4,91	-25,45	-0,18
B80	6,070-	MSÚ-B/3	-10,17	-0,24	0,28	0,87	19,15	1,30
B80	10,900+	MSÚ-B/5	-4,07	16,04	-6,91	2,04	13,10	-11,07
B80	12,650	MSÚ-B/21	-3,97	16,01	-28,50	2,31	-17,23	16,99
B81	0,400-	MSÚ-B/4	-9,83	-0,73	-8,19	1,59	7,16	0,56
B81	7,354-	MSÚ-B/3	17,12	-4,70	7,28	-0,96	-6,46	-1,36
B81	0,000	MSÚ-B/7	7,70	7,16	-12,61	2,18	4,90	-1,34
B81	0,000	MSÚ-B/8	-1,67	5,36	-14,28	7,43	9,50	0,33
B81	7,550	MSÚ-B/17	15,66	-9,27	14,11	-6,28	-4,26	-2,76
B81	7,550	MSÚ-B/8	8,77	-11,40	13,52	-6,47	-7,20	-4,03
B81	0,000	MSÚ-B/17	6,84	5,90	-13,44	8,40	5,05	0,40
B81	7,158-	MSÚ-B/21	2,18	-2,86	0,63	-2,09	-10,83	-1,63
B81	0,000	MSÚ-B/21	-8,25	4,24	-13,09	5,71	11,80	0,23
B81	7,550	MSÚ-B/21	2,15	-11,65	11,38	-5,80	-8,51	-4,53
B81	0,200-	MSÚ-B/23	6,82	0,85	-9,80	5,54	2,70	1,30
B82	3,900+	MSÚ-B/31	0,34	0,56	11,88	0,31	3,83	-0,03
B82	21,450	MSÚ-B/7	19,71	0,34	61,77	0,01	3,45	-0,30
B82	11,700+	MSÚ-B/5	1,05	-9,89	6,58	7,56	-1,05	5,91
B82	0,000	MSÚ-B/3	2,81	5,56	4,63	2,50	3,99	-0,49
B82	5,100+	MSÚ-B/3	2,88	-0,26	-24,82	0,24	-0,32	-0,24
B82	21,450	MSÚ-B/19	17,09	0,32	71,08	0,01	6,07	-0,15
B82	18,750-	MSÚ-B/25	1,02	-3,51	-12,75	-13,43	-8,06	-2,42
B82	0,000	MSÚ-B/21	2,35	4,28	4,49	8,85	0,26	-0,39
B82	20,829-	MSÚ-B/19	11,05	0,33	7,61	-0,36	-16,07	-0,16
B82	7,350-	MSÚ-B/3	5,13	-0,16	0,89	-0,55	10,32	0,29
B82	11,700-	MSÚ-B/25	5,10	-1,73	-8,22	-9,15	-2,67	-5,13
B82	6,750+	MSÚ-B/25	5,19	-5,24	14,97	1,36	1,86	6,31
B83	0,000	MSÚ-B/21	-10,02	0,80	41,04	0,92	-10,75	-1,75
B83	19,700+	MSÚ-B/4	3,82	0,22	-14,58	0,36	2,97	-0,42
B83	23,600	MSÚ-B/8	0,84	-5,06	-3,52	-4,35	-4,95	-0,65
B83	12,003-	MSÚ-B/7	-1,39	3,82	6,40	-5,35	-0,86	-0,32
B83	2,200+	MSÚ-B/1	-6,56	0,04	-30,08	0,79	5,02	0,13
B83	11,800+	MSÚ-B/13	-0,58	2,73	7,90	-7,79	-1,83	-0,63
B83	11,800-	MSÚ-B/13	-1,41	-3,71	-8,58	7,50	-2,86	-1,36
B83	0,000	MSÚ-B/23	-3,29	-0,36	49,33	0,89	-16,64	1,03
B83	1,430-	MSÚ-B/8	-7,58	0,30	-1,28	0,99	19,34	-0,11
B83	0,000	MSÚ-B/9	-1,69	2,22	32,81	-1,45	-10,59	-3,65
B83	18,500+	MSÚ-B/27	0,10	-1,30	19,60	-1,45	2,12	2,01
B84	3,900+	MSÚ-B/32	-1,43	-1,50	13,57	-2,00	3,90	-0,32
B84	3,900-	MSÚ-B/33	4,72	0,47	16,52	-0,10	3,42	-0,01
B84	5,900-	MSÚ-B/27	-1,09	-4,85	-7,63	-11,50	-10,57	-1,71
B84	0,000	MSÚ-B/21	4,25	5,23	2,84	3,76	-7,48	-1,66
B84	5,100+	MSÚ-B/26	-0,73	0,86	-23,59	-1,16	1,60	-1,45
B84	6,750-	MSÚ-B/8	1,90	-0,35	24,59	0,32	0,26	-0,35
B84	11,800-	MSÚ-B/7	-0,12	-3,05	-2,67	-11,77	-2,23	-0,60
B84	0,000	MSÚ-B/27	-1,22	2,75	3,42	13,19	-0,73	2,30
B84	5,900+	MSÚ-B/8	1,87	2,51	12,15	2,94	-15,49	-0,56
B84	4,500-	MSÚ-B/8	2,48	0,10	-1,19	-0,30	10,43	0,06
B84	5,100-	MSÚ-B/27	-1,39	-1,54	-20,36	-2,04	1,41	-2,18
B84	0,195-	MSÚ-B/27	-1,20	-2,26	2,10	9,19	-0,20	2,83
B85	0,404-	MSÚ-B/9	-9,76	-0,12	-10,03	0,70	11,05	-0,38
B85	4,646-	MSÚ-B/8	7,26	1,40	13,79	-2,21	0,20	0,05
B85	0,404-	MSÚ-B/21	6,26	-2,78	-4,20	3,54	-0,14	0,96
B85	4,646-	MSÚ-B/21	6,30	2,05	12,13	-3,31	0,33	-0,01
B85	0,606-	MSÚ-B/27	-8,27	-0,13	-11,70	0,58	8,84	-0,42
B85	5,050	MSÚ-B/10	7,19	-0,44	28,12	-4,64	8,47	-0,08
B85	5,050	MSÚ-B/21	6,28	-0,81	24,52	-7,07	7,56	-0,22
B85	0,000	MSÚ-B/21	6,13	0,07	-8,80	7,42	2,43	1,02
B85	4,444-	MSÚ-B/27	-7,98	0,55	2,05	-0,45	-7,40	0,43
B85	0,000	MSÚ-B/27	-8,30	0,99	-11,10	2,15	15,42	-0,69
B85	0,202-	MSÚ-B/25	4,76	-1,92	-5,05	4,91	0,55	1,27
B86	0,000	MSÚ-B/6	-0,87	0,35	2,20	-0,02	0,87	-0,47

Jméno	dx [m]	Stav	N [kN]	V <sub>y</sub> [kN]	V <sub>z</sub> [kN]	M <sub>x</sub> [kNm]	M <sub>y</sub> [kNm]	M <sub>z</sub> [kNm]
B86	0,000	MSÚ-B/25	-0,89	-0,01	2,62	0,00	0,33	-0,14
B86	2,550	MSÚ-B/27	-5,78	1,91	-12,45	-0,05	-11,39	2,47
B86	0,000	MSÚ-B/34	-1,19	0,26	3,22	-0,02	0,85	-0,44
B86	2,550	MSÚ-B/9	-5,43	1,74	-12,09	-0,04	-11,82	2,25
B86	0,000	MSÚ-B/27	-5,78	1,91	-7,28	-0,05	13,76	-2,41
B87	4,646-	MSÚ-B/7	14,85	0,24	-2,33	0,14	-10,77	0,37
B87	0,404-	MSÚ-B/25	4,41	-3,51	-8,66	3,26	-0,24	1,80
B87	4,646-	MSÚ-B/21	5,86	2,23	4,60	-4,08	0,59	-0,83
B87	0,000	MSÚ-B/3	12,30	0,41	-28,44	0,36	12,84	-0,33
B87	5,050	MSÚ-B/10	6,86	-0,78	10,30	-5,21	3,50	-0,51
B87	0,000	MSÚ-B/35	5,72	-1,56	-23,38	6,51	6,75	2,25
B87	4,848-	MSÚ-B/9	13,28	0,33	0,83	0,28	-11,05	0,35
B87	0,000	MSÚ-B/27	14,66	0,37	-25,05	0,33	14,74	-0,32
B87	5,050	MSÚ-B/25	4,23	-1,92	7,14	-9,14	2,65	-1,32
B87	0,000	MSÚ-B/25	4,45	-1,65	-18,22	6,44	5,06	2,31
B88	4,646-	MSÚ-B/27	16,31	0,05	9,25	0,02	-10,80	0,06
B88	0,404-	MSÚ-B/21	10,66	-3,60	-7,98	3,66	0,41	1,95
B88	4,646-	MSÚ-B/21	10,72	1,43	14,62	-3,52	-0,61	-1,07
B88	0,000	MSÚ-B/3	15,46	0,22	-18,88	0,54	10,92	0,08
B88	5,050	MSÚ-B/23	12,33	0,69	37,57	0,23	9,62	0,62
B88	0,000	MSÚ-B/21	10,63	-1,28	-15,31	7,25	5,04	2,33
B88	4,444-	MSÚ-B/7	16,27	0,05	0,44	-0,03	-11,59	0,05
B88	0,000	MSÚ-B/7	15,99	0,05	-17,32	0,40	13,41	0,37
B88	5,050	MSÚ-B/25	7,66	-2,12	23,89	-7,84	6,39	-1,79
B88	0,000	MSÚ-B/25	7,88	-1,36	-11,57	7,13	3,65	2,39
B89	0,000	MSÚ-B/10	1,62	0,06	3,22	-0,07	-0,03	-0,13
B89	0,000	MSÚ-B/25	1,00	-0,83	2,53	-0,04	-0,33	1,03
B89	2,550	MSÚ-B/7	-3,04	0,88	-12,79	-0,09	-12,85	1,07
B89	0,000	MSÚ-B/36	1,36	-0,11	3,23	-0,06	-0,20	0,09
B89	1,402-	MSÚ-B/4	1,01	-0,82	0,06	-0,04	1,49	-0,13
B89	2,550	MSÚ-B/13	-3,44	0,64	-12,46	-0,08	-13,01	0,77
B89	0,000	MSÚ-B/7	-3,04	0,88	-7,62	-0,09	13,18	-1,18
B89	0,000	MSÚ-B/26	-1,05	0,94	-3,07	-0,09	7,97	-1,26
B89	2,550	MSÚ-B/26	-1,05	0,94	-9,15	-0,09	-7,60	1,14
B90	0,000	MSÚ-B/13	-3,42	0,47	-24,96	1,47	17,53	-0,24
B90	0,404-	MSÚ-B/10	12,33	-1,71	-16,68	2,20	-1,00	0,49
B90	0,404-	MSÚ-B/21	10,77	-2,71	-14,42	3,09	-0,99	1,01
B90	4,646-	MSÚ-B/21	10,70	2,43	7,85	-3,66	0,60	-0,26
B90	0,000	MSÚ-B/3	5,35	0,77	-38,07	2,00	16,53	-0,42
B90	5,050	MSÚ-B/10	12,12	-0,51	17,26	-5,24	5,78	-0,15
B90	5,050	MSÚ-B/21	10,58	-0,89	15,00	-7,94	5,13	-0,38
B90	0,000	MSÚ-B/21	10,60	-0,38	-32,53	6,45	8,18	1,20
B90	4,646-	MSÚ-B/37	-2,87	0,36	1,69	-0,55	-6,65	0,06
B90	0,000	MSÚ-B/7	-0,69	0,69	-33,59	1,93	19,76	-0,37
B90	4,242-	MSÚ-B/4	7,96	1,38	1,96	-1,84	-1,04	-0,50
B90	0,202-	MSÚ-B/4	7,98	-2,06	-16,80	4,23	1,86	1,35
B91	5,050	MSÚ-B/4	6,05	-2,68	8,14	-9,33	2,88	-2,33
B91	0,000	MSÚ-B/7	18,45	-0,22	-73,22	9,34	29,85	1,44
B91	0,404-	MSÚ-B/22	8,32	-6,83	-36,81	8,45	2,04	2,57
B91	0,000	MSÚ-B/17	10,15	2,78	-82,76	10,97	28,37	-1,37
B91	0,000	MSÚ-B/10	10,03	0,69	-85,52	14,69	26,99	1,01
B91	5,050	MSÚ-B/8	9,43	-1,37	11,70	-5,55	3,95	-1,05
B91	0,000	MSÚ-B/21	8,80	-0,30	-73,60	17,46	24,89	2,59
B91	1,212-	MSÚ-B/8	9,85	-2,54	1,46	2,60	-10,14	0,62
B91	0,000	MSÚ-B/3	15,96	1,18	-83,98	10,82	31,46	0,21
B91	5,050	MSÚ-B/25	6,27	-2,75	8,60	-9,64	3,09	-2,34
B91	0,202-	MSÚ-B/18	7,22	-4,82	-46,68	10,91	8,34	3,13
B92	0,000	MSÚ-B/7	-6,91	-0,38	3,53	-3,14	2,66	0,58
B92	0,000	MSÚ-B/25	-3,02	-0,71	9,58	-2,80	-6,88	0,80
B92	2,550	MSÚ-B/9	-5,92	-0,62	-3,70	-2,34	1,09	-0,68
B92	0,000	MSÚ-B/38	-2,36	0,55	8,66	-2,26	-5,93	-0,75
B92	0,000	MSÚ-B/8	-4,07	0,16	13,29	-3,73	-9,40	-0,30
B92	2,550	MSÚ-B/8	-4,07	0,16	7,21	-3,73	16,75	0,10
B92	0,000	MSÚ-B/23	-3,57	0,92	12,47	-3,33	-8,54	-1,22
B92	2,550	MSÚ-B/23	-3,57	0,92	6,39	-3,33	15,50	1,12
B93	0,000	MSÚ-B/9	-6,63	-0,74	-9,01	0,78	13,51	1,69
B93	4,646-	MSÚ-B/8	8,40	0,69	5,92	-1,11	-3,08	-0,09
B93	0,404-	MSÚ-B/39	6,72	-2,85	-3,66	3,24	0,03	1,26

Jméno	dx [m]	Stav	N [kN]	V <sub>y</sub> [kN]	V <sub>z</sub> [kN]	M <sub>x</sub> [kNm]	M <sub>y</sub> [kNm]	M <sub>z</sub> [kNm]
B93	4,646-	MSÚ-B/25	5,84	1,54	3,72	-2,62	-2,14	-0,42
B93	0,000	MSÚ-B/19	0,50	-0,06	-11,09	1,15	9,96	0,74
B93	5,050	MSÚ-B/8	8,32	-0,21	17,51	-2,33	1,39	-0,16
B93	5,050	MSÚ-B/25	5,74	-0,87	11,56	-5,76	0,76	-0,60
B93	0,000	MSÚ-B/21	7,10	-0,26	-8,34	6,92	2,49	1,36
B93	4,646-	MSÚ-B/7	-4,55	-0,75	1,78	0,38	-9,04	-0,99
B93	0,000	MSÚ-B/7	-4,95	-0,53	-10,53	1,14	14,09	1,53
B93	5,050	MSÚ-B/9	-6,39	-0,65	10,87	0,36	-6,12	-1,26
B94	0,400-	MSÚ-B/4	-11,37	1,65	-7,46	-0,54	8,47	-2,31
B94	5,000	MSÚ-B/3	7,97	0,19	26,22	4,73	6,37	-0,39
B94	4,600-	MSÚ-B/27	6,81	-2,56	10,57	3,31	-0,88	-0,51
B94	0,400-	MSÚ-B/16	6,29	2,44	-4,62	-3,34	0,54	-0,52
B94	0,000	MSÚ-B/17	7,78	-0,36	-10,74	-0,84	3,99	0,32
B94	5,000	MSÚ-B/10	-1,96	1,11	28,08	1,70	3,67	1,63
B94	0,000	MSÚ-B/27	6,57	-0,44	-9,17	-7,04	3,34	-0,33
B94	5,000	MSÚ-B/16	6,42	0,35	20,06	7,18	4,60	-0,45
B94	4,400-	MSÚ-B/21	-9,52	0,78	2,69	0,70	-7,28	2,01
B94	0,000	MSÚ-B/21	-9,67	1,49	-9,13	-1,16	12,02	-2,80
B94	0,000	MSÚ-B/25	-11,18	1,61	-7,36	-0,99	11,29	-2,93
B94	5,000	MSÚ-B/29	-10,80	2,00	20,35	2,16	-0,72	3,04
B95	0,000	MSÚ-B/5	-21,54	-0,01	-1,85	0,10	6,27	-1,44
B95	0,000	MSÚ-B/40	-0,89	0,57	2,21	0,38	-1,25	-0,69
B95	0,000	MSÚ-B/17	-1,78	-1,10	2,86	0,01	-1,15	1,13
B95	2,550	MSÚ-B/21	-21,41	-0,03	-7,15	0,07	-5,44	-1,48
B95	0,000	MSÚ-B/41	-1,47	0,36	3,20	0,43	-1,48	-0,49
B95	0,000	MSÚ-B/6	-0,95	-0,70	2,10	-0,02	-1,09	0,74
B95	0,000	MSÚ-B/27	-1,59	1,18	2,73	0,71	-1,13	-1,41
B95	2,550	MSÚ-B/22	-21,06	0,11	-7,08	0,07	-5,53	-1,25
B95	0,000	MSÚ-B/11	-21,33	0,12	-2,17	0,09	6,43	-1,57
B95	0,000	MSÚ-B/4	-20,99	0,26	-2,10	0,09	6,16	-1,71
B95	2,550	MSÚ-B/9	-1,04	1,45	-2,03	0,70	-0,66	2,01
B96	0,400-	MSÚ-B/4	-2,40	2,66	-18,03	0,72	12,07	-4,81
B96	0,400-	MSÚ-B/17	13,35	-0,79	-17,69	0,82	-0,77	0,32
B96	4,600-	MSÚ-B/27	10,97	-2,71	7,47	3,50	0,28	-0,27
B96	0,000	MSÚ-B/8	6,83	2,07	-39,53	1,90	18,56	-3,56
B96	5,000	MSÚ-B/26	12,95	0,25	16,73	4,89	5,03	-0,33
B96	0,000	MSÚ-B/9	7,93	0,28	-24,64	-4,22	5,98	-0,85
B96	5,000	MSÚ-B/16	9,65	0,60	13,49	7,73	4,10	-0,28
B96	4,600-	MSÚ-B/22	-0,51	0,59	0,10	0,81	-9,59	2,55
B96	0,000	MSÚ-B/21	0,78	3,61	-34,89	1,84	22,83	-6,26
B96	0,000	MSÚ-B/25	-2,25	3,67	-25,76	1,44	20,48	-6,35
B96	5,000	MSÚ-B/29	-1,84	2,12	8,96	2,44	-7,86	2,89
B97	0,000	MSÚ-B/4	-2,24	9,12	-6,45	0,44	11,72	-8,61
B97	0,000	MSÚ-B/17	0,45	-0,35	4,36	0,50	-2,74	0,51
B97	0,000	MSÚ-B/42	0,44	-0,39	4,14	0,48	-2,45	0,54
B97	2,550	MSÚ-B/22	-2,10	9,01	-11,24	0,52	-10,56	14,52
B97	0,000	MSÚ-B/43	-0,39	1,28	4,59	0,75	-3,01	-1,27
B97	0,000	MSÚ-B/38	0,24	-0,23	3,13	0,33	-1,86	0,33
B97	0,000	MSÚ-B/7	-0,82	2,28	3,97	0,91	-2,70	-2,36
B97	2,550	MSÚ-B/29	-2,13	9,05	-11,03	0,47	-10,61	14,56
B97	0,000	MSÚ-B/29	-2,13	9,05	-6,53	0,47	11,78	-8,51
B97	0,000	MSÚ-B/11	-2,23	9,16	-6,22	0,46	11,43	-8,64
B97	2,550	MSÚ-B/11	-2,23	9,16	-10,72	0,46	-10,18	14,71
B98	0,400-	MSÚ-B/25	-11,74	-0,12	-19,42	0,23	19,84	-0,05
B98	5,000	MSÚ-B/26	10,62	0,44	27,72	5,94	8,60	-0,28
B98	0,000	MSÚ-B/44	-2,41	-4,96	-18,13	0,74	18,77	0,52
B98	0,600-	MSÚ-B/9	7,60	1,28	-4,14	-1,40	-1,24	-0,41
B98	0,600-	MSÚ-B/5	-9,61	0,00	-22,24	0,47	15,59	0,13
B98	5,000	MSÚ-B/23	9,95	0,07	28,50	1,80	8,57	-0,26
B98	0,000	MSÚ-B/13	7,44	-3,74	-12,05	-4,94	3,40	-0,12
B98	5,000	MSÚ-B/7	9,57	0,74	22,91	8,61	7,35	-0,21
B98	4,600-	MSÚ-B/29	-10,97	-0,94	1,16	1,30	-10,80	1,25
B98	0,000	MSÚ-B/5	-9,40	-3,58	-20,76	0,22	28,23	0,30
B98	0,200-	MSÚ-B/13	7,44	-0,62	-9,10	-3,28	1,29	-0,65
B98	4,400-	MSÚ-B/25	-11,28	-0,57	-4,71	0,97	-10,26	1,27
B99	0,000	MSÚ-B/17	-0,36	-0,74	2,91	1,09	0,51	0,96
B99	0,000	MSÚ-B/4	5,12	1,35	-15,19	0,99	20,40	-2,54
B99	0,000	MSÚ-B/42	-0,34	-0,76	3,08	1,03	0,16	0,97

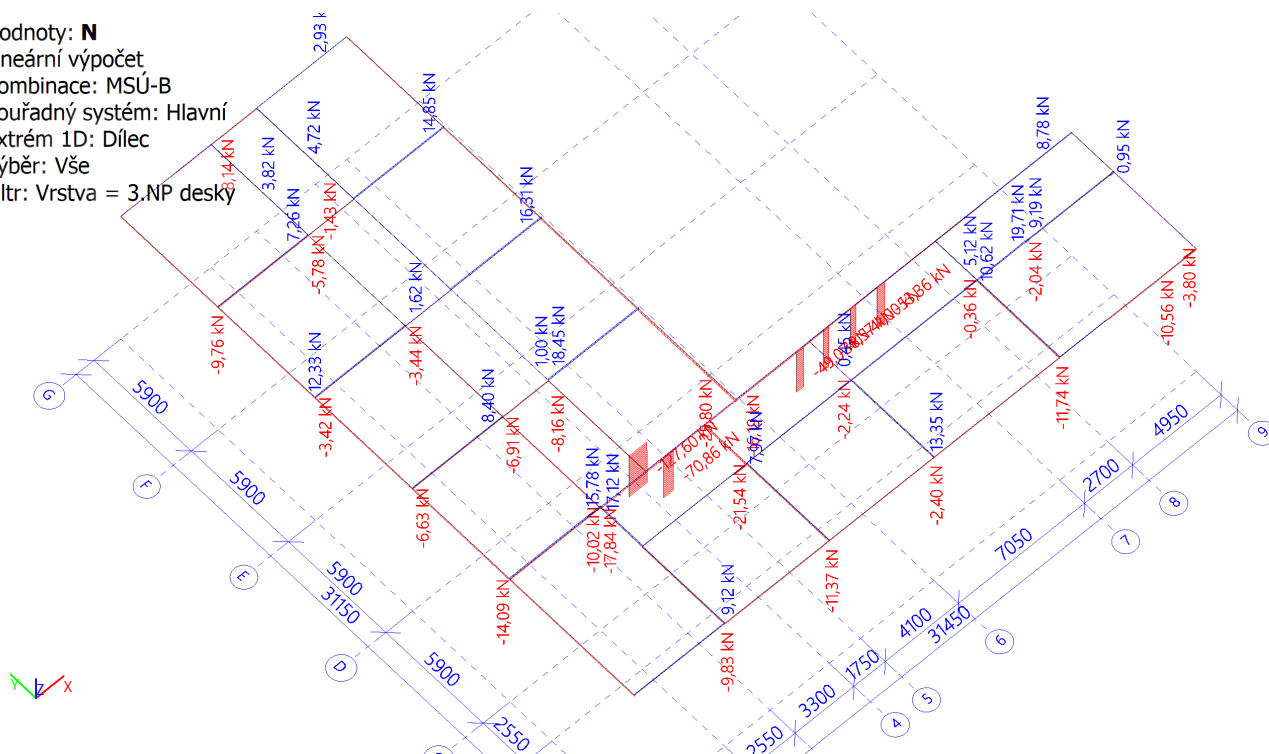
Jméno	dx [m]	Stav	N [kN]	V <sub>y</sub> [kN]	V <sub>z</sub> [kN]	M <sub>x</sub> [kNm]	M <sub>y</sub> [kNm]	M <sub>z</sub> [kNm]
B99	2,550	MSÚ-B/5	5,06	1,27	-20,24	1,20	-24,14	0,80
B99	0,000	MSÚ-B/45	-0,10	0,10	3,51	1,34	-0,42	0,00
B99	0,000	MSÚ-B/6	-0,28	-0,61	2,37	0,72	-0,06	0,78
B99	0,000	MSÚ-B/27	0,12	0,84	3,02	1,53	-0,15	-0,86
B99	2,550	MSÚ-B/24	5,09	1,34	-19,91	1,09	-24,17	0,88
B99	0,000	MSÚ-B/5	5,06	1,27	-15,07	1,20	20,88	-2,44
B99	0,000	MSÚ-B/11	5,10	1,36	-15,35	1,06	20,74	-2,56
B99	2,550	MSÚ-B/46	0,16	0,93	-1,77	1,39	0,95	1,39
B100	0,000	MSÚ-B/47	-127,60	3,70	1,90	0,04	-2,88	-5,83
B100	3,300	MSÚ-B/48	-75,19	1,66	0,46	-0,04	0,80	2,47
B100	0,000	MSÚ-B/4	-86,86	-0,88	0,28	-0,03	-0,43	1,53
B100	0,000	MSÚ-B/1	-119,94	2,37	0,54	-0,05	-0,81	-3,91
B100	0,000	MSÚ-B/46	-87,66	2,65	2,67	0,10	-4,07	-4,27
B100	0,000	MSÚ-B/7	-103,05	3,95	2,78	0,09	-4,23	-6,56
B100	3,300	MSÚ-B/7	-101,46	3,95	2,78	0,09	4,96	6,47
B100	0,000	MSÚ-B/17	-119,40	4,54	0,70	-0,04	-1,09	-7,50
B100	3,300	MSÚ-B/17	-117,54	4,54	0,70	-0,04	1,24	7,49
B101	0,000	MSÚ-B/3	-70,86	1,88	2,01	-0,02	-3,13	-2,89
B101	3,300	MSÚ-B/38	-44,09	1,10	-0,07	-0,02	-0,05	1,97
B101	0,000	MSÚ-B/11	-47,03	-1,32	-0,47	-0,15	0,92	2,03
B101	0,000	MSÚ-B/33	-52,73	-1,15	-0,48	-0,15	0,92	1,79
B101	0,000	MSÚ-B/22	-60,84	-0,74	-0,45	-0,16	0,91	1,08
B101	0,000	MSÚ-B/46	-47,08	1,07	3,40	0,00	-5,45	-1,60
B101	0,000	MSÚ-B/20	-48,97	1,15	3,40	-0,01	-5,50	-1,70
B101	3,300	MSÚ-B/32	-53,80	1,49	3,43	-0,01	5,85	2,62
B101	0,000	MSÚ-B/42	-69,49	1,90	-0,07	-0,03	0,25	-2,92
B101	3,300	MSÚ-B/42	-67,63	1,90	-0,07	-0,03	0,02	3,34
B102	0,400+	MSÚ-B/9	-16,19	-1,81	22,10	-0,52	-6,18	4,20
B102	17,612-	MSÚ-B/21	8,78	5,47	4,98	-7,24	-7,62	1,49
B102	0,400+	MSÚ-B/5	-5,20	-10,77	30,97	0,15	-14,35	17,51
B102	18,206-	MSÚ-B/21	8,76	7,21	11,26	-11,92	-2,48	3,49
B102	11,150+	MSÚ-B/5	5,09	-2,47	-44,80	21,80	7,30	3,81
B102	7,900+	MSÚ-B/14	3,06	-0,41	38,86	-0,70	-10,49	-2,77
B102	18,800	MSÚ-B/21	8,48	1,93	7,64	-22,46	3,93	4,74
B102	11,150+	MSÚ-B/24	4,92	-2,53	-41,09	21,84	7,52	3,87
B102	0,000	MSÚ-B/10	-2,06	-5,81	-11,05	1,23	-20,02	11,50
B102	9,709-	MSÚ-B/10	3,03	1,54	-0,21	-0,72	25,36	-1,77
B102	4,100-	MSÚ-B/11	-5,22	-6,12	2,96	-3,37	3,01	-11,24
B102	0,000	MSÚ-B/5	-5,07	-8,85	-11,31	3,66	-18,49	18,66
B112	2,100-	MSÚ-B/39	1,00	-6,11	1,87	-7,86	-39,05	0,74
B112	1,380-	MSÚ-B/27	0,02	2,63	-33,67	-6,22	-29,24	-0,36
B112	7,000-	MSÚ-B/47	-5,62	1,12	-83,26	1,29	-35,55	2,54
B112	2,100-	MSÚ-B/7	0,43	-16,59	8,77	-22,50	-40,75	-2,90
B112	2,100+	MSÚ-B/17	-7,26	-0,31	95,49	1,36	-63,69	1,08
B112	2,100+	MSÚ-B/8	-8,16	0,44	97,08	1,36	-67,46	-0,87
B112	4,795-	MSÚ-B/8	-8,16	0,44	-0,58	1,36	62,58	0,30
B112	2,100+	MSÚ-B/9	-3,63	2,12	64,94	0,90	-42,85	-5,78
B112	7,000-	MSÚ-B/13	-4,67	2,12	-56,69	0,92	-20,84	4,63
B113	0,000	MSÚ-B/46	9,19	0,21	56,34	0,01	0,00	-0,37
B113	0,000	MSÚ-B/31	-0,71	0,07	56,34	0,00	0,00	-0,12
B113	4,950	MSÚ-B/49	-1,05	0,11	-82,23	0,01	0,00	0,35
B113	0,000	MSÚ-B/11	-1,61	1,20	56,34	-0,02	0,00	-2,88
B113	0,000	MSÚ-B/19	4,65	0,19	82,23	0,01	0,00	-0,34
B113	2,475-	MSÚ-B/19	4,65	0,19	0,00	0,01	101,76	0,13
B113	0,000	MSÚ-B/22	-2,04	1,22	70,82	-0,02	0,00	-2,92
B113	4,950	MSÚ-B/22	-2,04	1,22	-70,82	-0,02	0,00	3,12

Jméno	Klíč kombinace
MSÚ-B/1	1.35*ZS1 + 1.35*ZS2 + 0.90*ZS6 + 0.75*ZS7 + 1.35*ZS8 + 1.05*ZS4
MSÚ-B/2	ZS1 + ZS2 + 0.90*ZS5 + ZS8 + 1.50*ZS3
MSÚ-B/3	1.35*ZS1 + 1.35*ZS2 + 0.90*ZS5 + 0.75*ZS7 + 1.35*ZS8 + 1.05*ZS3 + 1.05*ZS4
MSÚ-B/4	ZS1 + ZS2 + 1.50*ZS6 + ZS8
MSÚ-B/5	1.15*ZS1 + 1.15*ZS2 + 1.50*ZS6 + 0.75*ZS7 + 1.15*ZS8 + 1.05*ZS3
MSÚ-B/6	ZS1 + ZS2 + ZS8 + 1.50*ZS4
MSÚ-B/7	1.15*ZS1 + 1.15*ZS2 + 1.50*ZS5 + 0.75*ZS7 + 1.15*ZS8 + 1.05*ZS3 + 1.05*ZS4

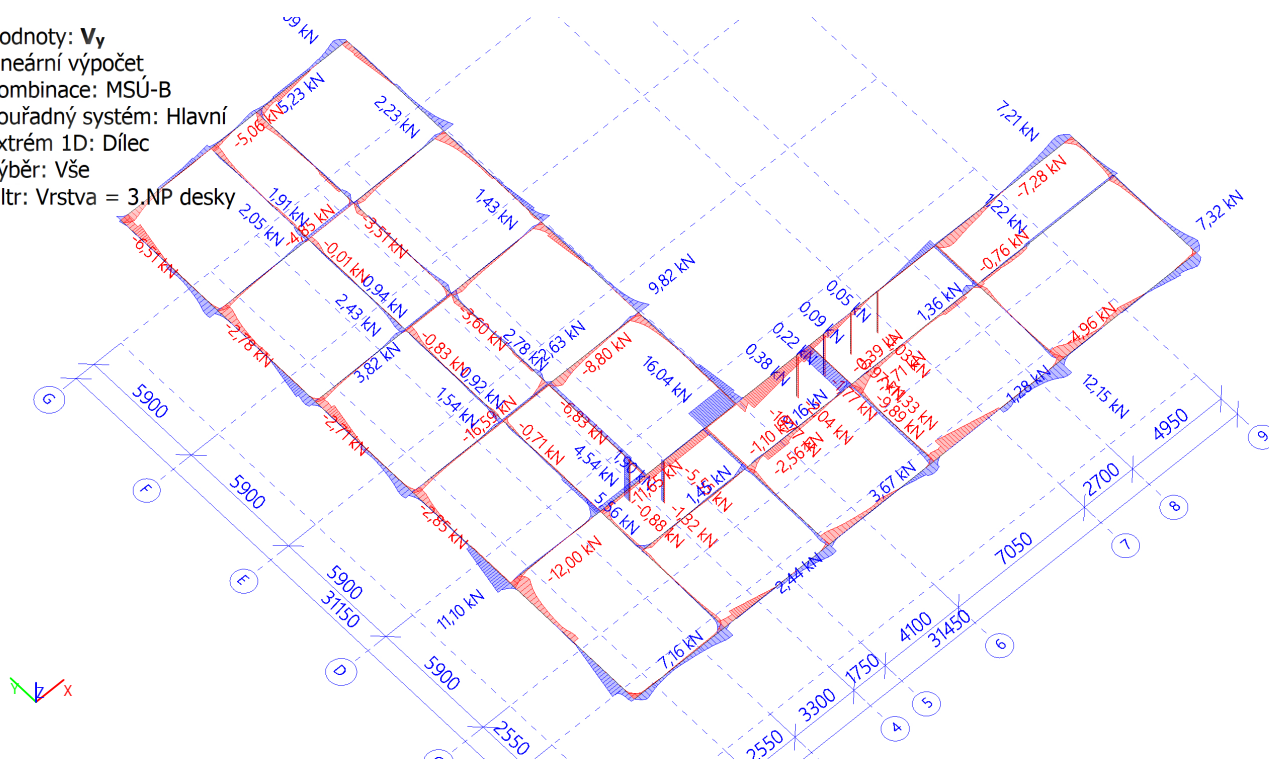


Jméno	Klíč kombinace
MSÚ-B/8	1.35*ZS1 + 1.35*ZS2 + 0.90*ZS6 + 0.75*ZS7 + 1.35*ZS8 + 1.05*ZS3 + 1.05*ZS4
MSÚ-B/9	ZS1 + ZS2 + 1.50*ZS5 + ZS8
MSÚ-B/10	1.35*ZS1 + 1.35*ZS2 + 0.90*ZS6 + 0.75*ZS7 + 1.35*ZS8 + 1.05*ZS3
MSÚ-B/11	ZS1 + ZS2 + 1.50*ZS6 + ZS8 + 1.05*ZS3
MSÚ-B/12	1.15*ZS1 + 1.15*ZS2 + 0.90*ZS5 + 0.75*ZS7 + 1.15*ZS8 + 1.50*ZS4
MSÚ-B/13	ZS1 + ZS2 + 1.50*ZS5 + ZS8 + 1.05*ZS4
MSÚ-B/14	1.35*ZS1 + 1.35*ZS2 + 0.90*ZS6 + 0.75*ZS7 + 1.35*ZS8
MSÚ-B/15	ZS1 + ZS2 + ZS8 + 1.50*ZS3 + 1.05*ZS4
MSÚ-B/16	1.15*ZS1 + 1.15*ZS2 + 1.50*ZS5 + 0.75*ZS7 + 1.15*ZS8 + 1.05*ZS4
MSÚ-B/17	1.35*ZS1 + 1.35*ZS2 + 0.75*ZS7 + 1.35*ZS8 + 1.05*ZS3 + 1.05*ZS4
MSÚ-B/18	ZS1 + ZS2 + 1.50*ZS6 + 0.75*ZS7 + ZS8
MSÚ-B/19	1.35*ZS1 + 1.35*ZS2 + 0.90*ZS5 + 0.75*ZS7 + 1.35*ZS8 + 1.05*ZS4
MSÚ-B/20	ZS1 + ZS2 + 1.50*ZS5 + 0.75*ZS7 + ZS8
MSÚ-B/21	1.15*ZS1 + 1.15*ZS2 + 1.50*ZS6 + 0.75*ZS7 + 1.15*ZS8 + 1.05*ZS3 + 1.05*ZS4
MSÚ-B/22	1.15*ZS1 + 1.15*ZS2 + 1.50*ZS6 + 0.75*ZS7 + 1.15*ZS8 + 1.05*ZS4
MSÚ-B/23	1.35*ZS1 + 1.35*ZS2 + 0.75*ZS7 + 1.35*ZS8 + 1.05*ZS3
MSÚ-B/24	ZS1 + ZS2 + 1.50*ZS6 + 0.75*ZS7 + ZS8 + 1.05*ZS3
MSÚ-B/25	ZS1 + ZS2 + 1.50*ZS6 + ZS8 + 1.05*ZS4
MSÚ-B/26	1.35*ZS1 + 1.35*ZS2 + 0.90*ZS5 + 0.75*ZS7 + 1.35*ZS8 + 1.05*ZS3
MSÚ-B/27	1.15*ZS1 + 1.15*ZS2 + 1.50*ZS5 + 0.75*ZS7 + 1.15*ZS8 + 1.05*ZS3
MSÚ-B/28	1.15*ZS1 + 1.15*ZS2 + 1.50*ZS5 + 1.15*ZS8
MSÚ-B/29	ZS1 + ZS2 + 1.50*ZS6 + 0.75*ZS7 + ZS8 + 1.05*ZS4
MSÚ-B/30	ZS1 + ZS2 + 1.50*ZS5 + 0.75*ZS7 + ZS8 + 1.05*ZS3
MSÚ-B/31	ZS1 + ZS2 + ZS8 + 1.50*ZS3
MSÚ-B/32	ZS1 + ZS2 + 1.50*ZS5 + 0.75*ZS7 + ZS8 + 1.05*ZS3 + 1.05*ZS4
MSÚ-B/33	1.15*ZS1 + 1.15*ZS2 + 1.50*ZS6 + 1.15*ZS8
MSÚ-B/34	1.35*ZS1 + 1.35*ZS2 + 0.90*ZS6 + 1.35*ZS8 + 1.05*ZS4
MSÚ-B/35	1.15*ZS1 + 1.15*ZS2 + 1.50*ZS6 + 1.15*ZS8 + 1.05*ZS3 + 1.05*ZS4
MSÚ-B/36	1.35*ZS1 + 1.35*ZS2 + 0.90*ZS6 + 1.35*ZS8
MSÚ-B/37	ZS1 + ZS2 + 1.50*ZS5 + 0.75*ZS7 + ZS8 + 1.05*ZS4
MSÚ-B/38	ZS1 + ZS2 + ZS8
MSÚ-B/39	1.15*ZS1 + 1.15*ZS2 + 1.50*ZS6 + 0.75*ZS7 + 1.15*ZS8
MSÚ-B/40	ZS1 + ZS2 + 0.90*ZS5 + ZS8 + 1.50*ZS4
MSÚ-B/41	1.35*ZS1 + 1.35*ZS2 + 0.90*ZS5 + 1.35*ZS8
MSÚ-B/42	1.35*ZS1 + 1.35*ZS2 + 0.75*ZS7 + 1.35*ZS8 + 1.05*ZS4
MSÚ-B/43	1.35*ZS1 + 1.35*ZS2 + 0.90*ZS5 + 1.35*ZS8 + 1.05*ZS3
MSÚ-B/44	1.15*ZS1 + 1.15*ZS2 + 0.90*ZS6 + 0.75*ZS7 + 1.15*ZS8 + 1.05*ZS3 + 1.50*ZS4
MSÚ-B/45	1.35*ZS1 + 1.35*ZS2 + 0.90*ZS5 + 1.35*ZS8 + 1.05*ZS4
MSÚ-B/46	ZS1 + ZS2 + 1.50*ZS5 + ZS8 + 1.05*ZS3
MSÚ-B/47	1.35*ZS1 + 1.35*ZS2 + 0.90*ZS5 + 0.75*ZS7 + 1.35*ZS8
MSÚ-B/48	ZS1 + ZS2 + 0.90*ZS6 + ZS8 + 1.05*ZS3 + 1.50*ZS4
MSÚ-B/49	1.35*ZS1 + 1.35*ZS2 + 0.75*ZS7 + 1.35*ZS8

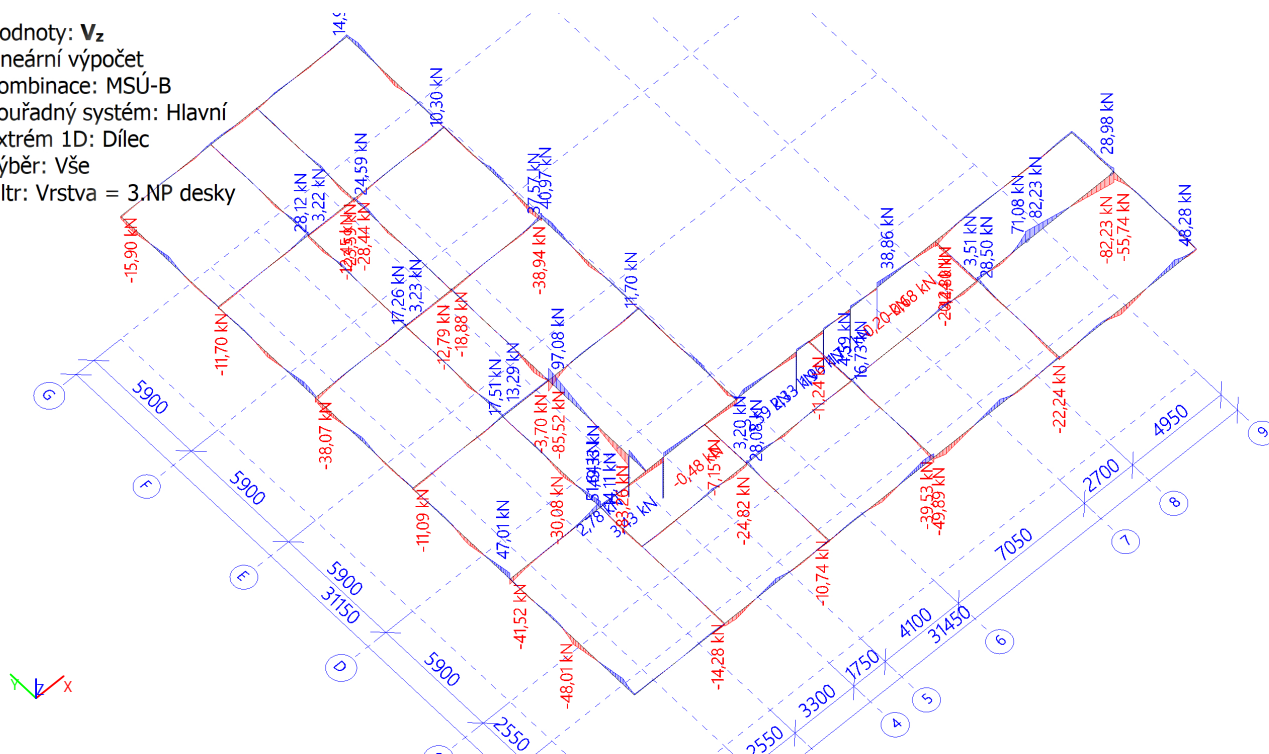
Hodnoty: **N**  
 Lineární výpočet  
 Kombinace: MSÚ-B  
 Souřadný systém: Hlavní  
 Extrém 1D: Dílec  
 Výběr: Vše  
 Filtr: Vrstva = 3.NP desky



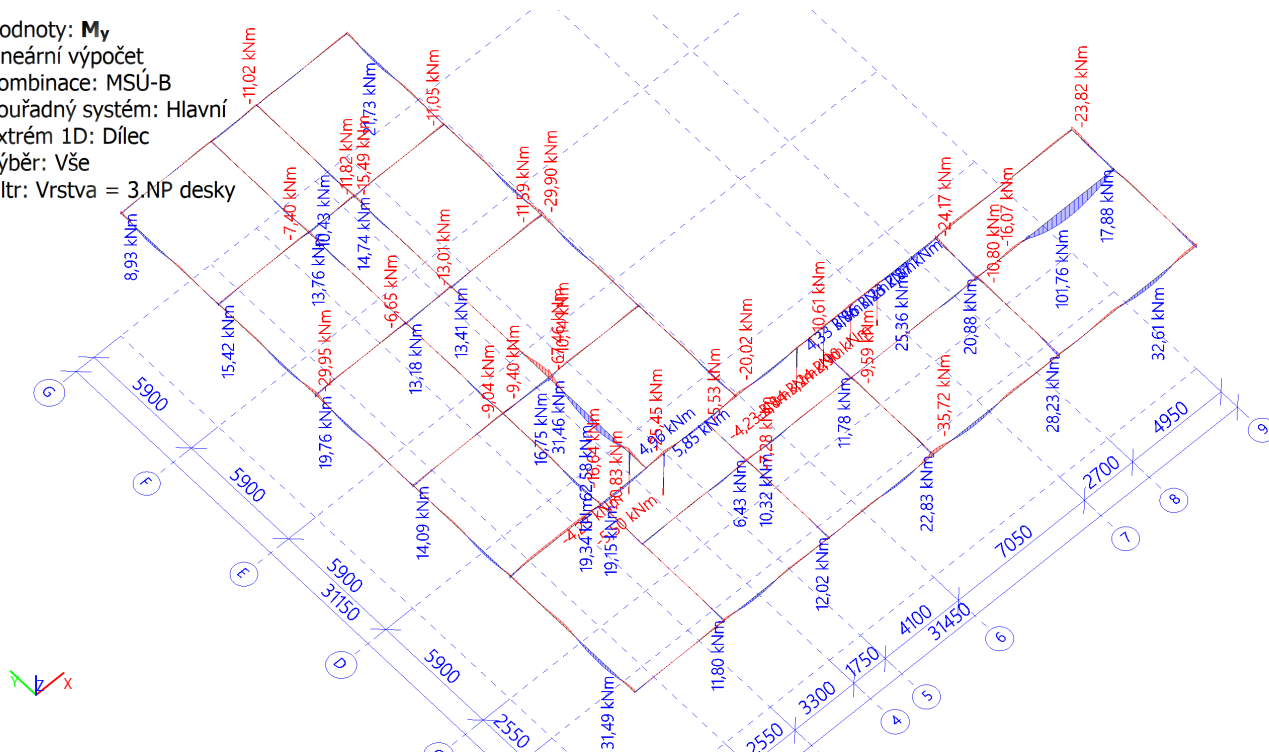
Hodnoty: **V<sub>y</sub>**  
 Lineární výpočet  
 Kombinace: MSÚ-B  
 Souřadný systém: Hlavní  
 Extrém 1D: Dílec  
 Výběr: Vše  
 Filtr: Vrstva = 3.NP desky



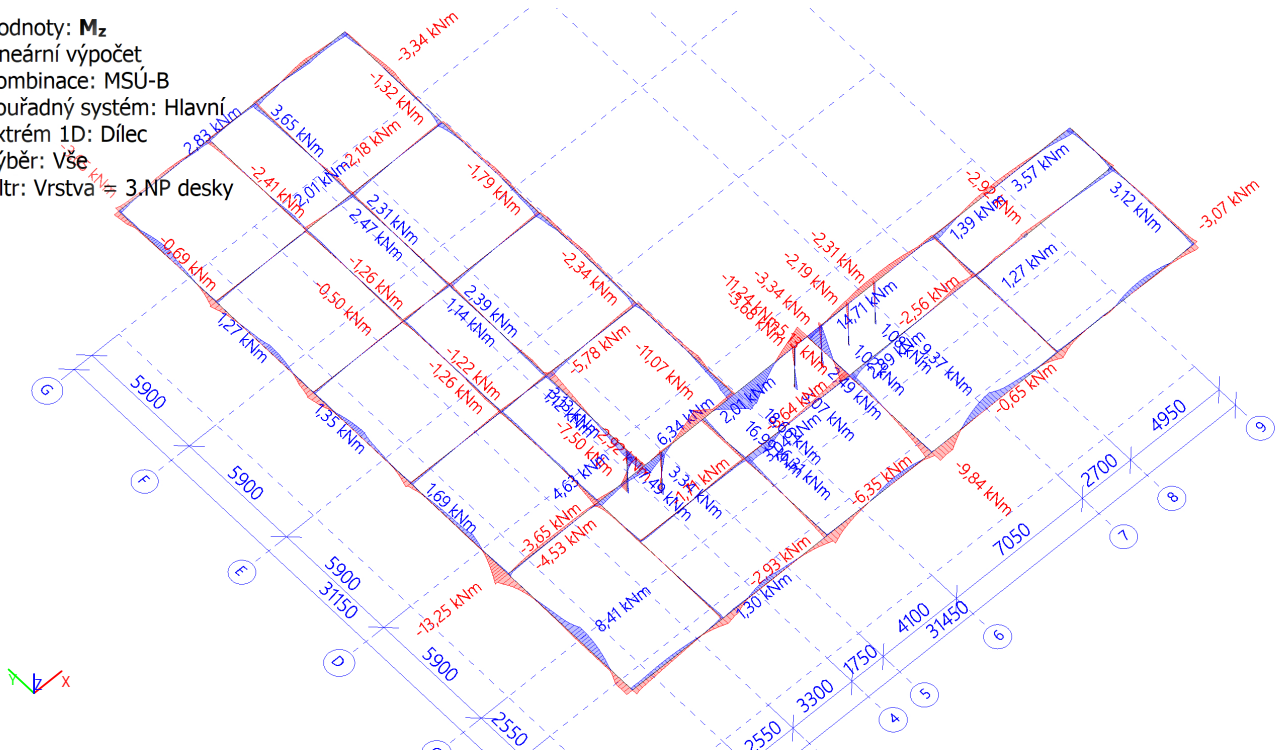
Hodnoty:  $V_z$   
 Lineární výpočet  
 Kombinace: MSÚ-B  
 Souřadný systém: Hlavní  
 Extrém 1D: Dílec  
 Výběr: Vše  
 Filtr: Vrstva = 3.NP desky



Hodnoty:  $M_y$   
 Lineární výpočet  
 Kombinace: MSÚ-B  
 Souřadný systém: Hlavní  
 Extrém 1D: Dílec  
 Výběr: Vše  
 Filtr: Vrstva = 3.NP desky



Hodnoty:  $M_z$   
 Lineární výpočet  
 Kombinace: MSÚ-B  
 Souřadný systém: Hlavní  
 Extrém 1D: Dílec  
 Výběr: Vše  
 Filtr: Vrstva = 3.NP desky



#### 17.4. Posouzení pozedního věnce - průvlak u spol. místnosti

Vypočet:	Průvlak u společenské místnosti				Vypočet:		Ing. Martin Šponar			
(dle ČSN EN 1992-1-1)										
Oboustranně vyztužený průřez										
					Předpoklady:					
					1. rovnoměrné rozdělení napětí v tlačené oblasti					
					2. neomezené přetvoření tahové výztuže					
					3. únosnost tlakové výztuže dle napětí					
					4. svislé třmínky, šikmé ohyby					
					5. $1 < \cot \theta < 2,5$ (sklon tlakových diagonál)					
					h, b		rozměry průřezu			
					M <sub>Ed</sub>		ohyb. moment od návrhového zatížení			
					γ <sub>c</sub> , γ <sub>s</sub>		dílní souč materiálu			
					α <sub>cc</sub>		součinitel dlouhodobých účinků			
					n, d <sub>s2</sub>		počet a průměr vložek tlačené výztuže			
					m <sub>1</sub> , d <sub>s11</sub>		počet a průměr vložek tažené výztuže			
					m <sub>2</sub> , d <sub>s12</sub>		počet a průměr vložek příložek tažené výztuže			
					n <sub>sw</sub> , d <sub>sw</sub> , s <sub>sw</sub>		třmínky - počet sřihů, průměr, rozteč			
					n <sub>sb</sub> , d <sub>sb</sub> , s <sub>sb</sub>		ohyby - počet, průměr, rozteč			
					α <sub>sb</sub>		úhel ohybů a střednice prvku			
Vstupní údaje										
b	h	M <sub>Ed</sub>	V <sub>Ed</sub>	Beton	Ocel	γ <sub>c</sub>	γ <sub>s</sub>	α <sub>cc</sub>	typ	
[m]	[m]	[kNm]	[kN]	C30/37	10505	[ ]	[ ]		kce	
0,24	0,5	105,00	170,00	30	R	1,50	1,15	1	typ	
Podélná výztuž										
n	d <sub>s2</sub>	krytí_h	A <sub>s2</sub>	m <sub>1</sub>	d <sub>s11</sub>	m <sub>2</sub>	d <sub>s2</sub>	krytí_d	A <sub>s1</sub>	
[ ]	[mm]	[mm]	[*10 <sup>-4</sup> m <sup>2</sup> ]	[ ]	[mm]	[ ]	[mm]	[mm]	[*10 <sup>-4</sup> m <sup>2</sup> ]	
4	14	30	6,16	4	14	0	0	30	6,16	
Třmínky										
n <sub>sw</sub>	d <sub>sw</sub>	s <sub>sw</sub>	Ocel-tř.	Ohyby						
[ ]	[mm]	[mm]	10505	n <sub>sb</sub>	d <sub>sb</sub>	s <sub>sb</sub>	α <sub>sb</sub>	Ocel-oh.		
				[ ]	[mm]	[mm]	[°]	10505		
2	8	150	R	0	12	250	45	R		
vyhoví										
Mez porušení ohybem										
A <sub>s,min</sub>	A <sub>s1</sub> > A <sub>s,min</sub>	A <sub>s,max</sub>		A <sub>s1</sub> +A <sub>s2</sub> < A <sub>s,max</sub>	ξ <sub>bal,1</sub>		ξ=x/d			
[*10 <sup>-4</sup> m <sup>2</sup> ]		[*10 <sup>-4</sup> m <sup>2</sup> ]			0,617		> 0,101			
1,676	vyhoví	48,000		vyhoví	Výška tlačené oblasti vyhovuje					
M <sub>Rd</sub>						Tlaková výztuž		není plně využita		
[kNm]										
117,333	M <sub>Rd</sub> > M <sub>Ed</sub>					Ohybová únosnost vyhoví				
Mez porušení posouvající silou										
P <sub>w</sub>	P <sub>wmax</sub>	P <sub>wmin</sub>								
0,002793	0,012144	vyhoví		0,001008	vyhoví					
cotgθ	minV <sub>Rdmax</sub>	V <sub>Rdmax</sub>	V <sub>Rd,s</sub>	V <sub>Rd,st</sub>	V <sub>Rd,cm</sub>					
	[kN]	[kN]	[kN]	[kN]	[kN]					
2,500	364,17	364,17	303,56	303,56	56,40					
min (V <sub>Rdmax</sub> , V <sub>Rd,s</sub> ) > V <sub>Ed</sub>					Smyková únosnost vyhoví					
minV <sub>Rdmax</sub>		minimální hodnota únosnosti tlak. diagonály (cotg θ=2,5)								
V <sub>Rdmax</sub>		únosnost tlakové diagonály								
V <sub>Rd,s</sub>		únosnost smykové výztuže (třmínky + ohyby)								
V <sub>Rd,st</sub>		únosnost smykové výztuže (jen svislé třmínky)								
V <sub>Rd,cm</sub>		únosnost bez smykové výztuže								

## 17.5. Posudek ocelových prvků na MSÚ EC-EN 1993

Lineární výpočet

Kombinace: MSÚ-B

Souřadný systém: Hlavní

Extrém 1D: Průřez

Vyběr: Vše

Filtr: Vrstva = 3.NP desky

Posudek EN 1993-1-1

Národní příloha: Česká CSN-EN NA

Dílec B70	0,000 / 3,300 m	MSH150x150x8.0	S 235	MSÚ-B	0,15 -
-----------	-----------------	----------------	-------	-------	--------

Data prutu	
Výroba	Válcovaný
Vzpěrná skupina	Výchozí

Klíč kombinace
MSÚ-B / 1.15*ZS1 + 1.15*ZS2 + 1.50*ZS6 + 0.75*ZS7 + 1.15*ZS8

N <sub>Ed</sub> [kN]	V <sub>y,Ed</sub> [kN]	V <sub>z,Ed</sub> [kN]	T <sub>Ed</sub> [kNm]	M <sub>y,Ed</sub> [kNm]	M <sub>z,Ed</sub> [kNm]
-42,87	-2,00	0,24	-0,21	-0,33	3,01

Posudek v řezu	
Klasifikace průřezu	1
Posudek na tlak	0,04 -
Posudek ohybového momentu pro M <sub>y</sub>	0,01 -
Posudek ohybového momentu pro M <sub>z</sub>	0,05 -
Posudek smyku pro V <sub>y</sub>	0,01 -
Posudek smyku pro V <sub>z</sub>	0,00 -
Posudek kroucení	0,00 -
Posudek na kombinaci ohybu, osově a smykové síly	0,01 -
Závěr - posudek průřezu	0,05 -

Vzpěrná osa	k	L [m]	N <sub>cr</sub> [kN]	M <sub>cr</sub> [kNm]	λ <sub>rel</sub>	χ
y-y	1,01	3,336	2774,35		0,62	0,88
z-z	0,55	5,470	1032,10		1,01	0,66
LTB	1,00	9,900		1221,53	0,21	1,00

Posudek stability	
Klasifikace stability	1
Posudek rovinného vzpěru	0,06 -
Posudek ohybu a osověho tlaku	0,15 -
Závěr - posudek stability	0,15 -

Posudek EN 1993-1-1

Národní příloha: Česká CSN-EN NA

Dílec B100	0,000 / 3,300 m	MSH180x180x8.0	S 235	MSÚ-B	0,27 -
------------	-----------------	----------------	-------	-------	--------

Data prutu	
Výroba	Válcovaný
Vzpěrná skupina	Výchozí

Klíč kombinace
MSÚ-B / 1.35*ZS1 + 1.35*ZS2 + 0.90*ZS5 + 0.75*ZS7 + 1.35*ZS8 + 1.05*ZS3

N <sub>Ed</sub> [kN]	V <sub>y,Ed</sub> [kN]	V <sub>z,Ed</sub> [kN]	T <sub>Ed</sub> [kNm]	M <sub>y,Ed</sub> [kNm]	M <sub>z,Ed</sub> [kNm]
-126,96	3,76	1,97	0,04	-3,01	-5,99

Posudek v řezu	
Klasifikace průřezu	1
Posudek na tlak	0,10 -
Posudek ohybového momentu pro M <sub>y</sub>	0,04 -
Posudek ohybového momentu pro M <sub>z</sub>	0,07 -
Posudek smyku pro V <sub>y</sub>	0,01 -
Posudek smyku pro V <sub>z</sub>	0,01 -
Posudek kroucení	0,00 -
Posudek na kombinaci ohybu, osově a smykové síly	0,02 -
Závěr - posudek průřezu	0,10 -

Vzpěrná osa	k	L [m]	N <sub>cr</sub> [kN]	M <sub>cr</sub> [kNm]	λ <sub>rel</sub>	χ
y-y	1,27	8,393	782,61		1,28	0,48
z-z	0,53	1,733	18353,83		0,26	0,99
LTB	1,00	3,300		10761,51	0,09	1,00

Posudek stability	
Klasifikace stability	1
Posudek rovinného vzpěru	0,21 -
Posudek ohybu a osového tlaku	0,27 -
<b>Závěr</b> - posudek stability	0,27 -

Posudek EN 1993-1-1  
 Národní příloha: Česká CSN-EN NA

Dílec B113	2,475 / 4,950 m	HEA300	S 235	MSÚ-B	0,31 -
------------	-----------------	--------	-------	-------	--------

Data prutu	
Výroba	Válcovaný
Vzpěrná skupina	Výchozí

Klíč kombinace	
MSÚ-B / 1.35*ZS1 + 1.35*ZS2 + 0.90*ZS6 + 0.75*ZS7 + 1.35*ZS8 + 1.05*ZS4	

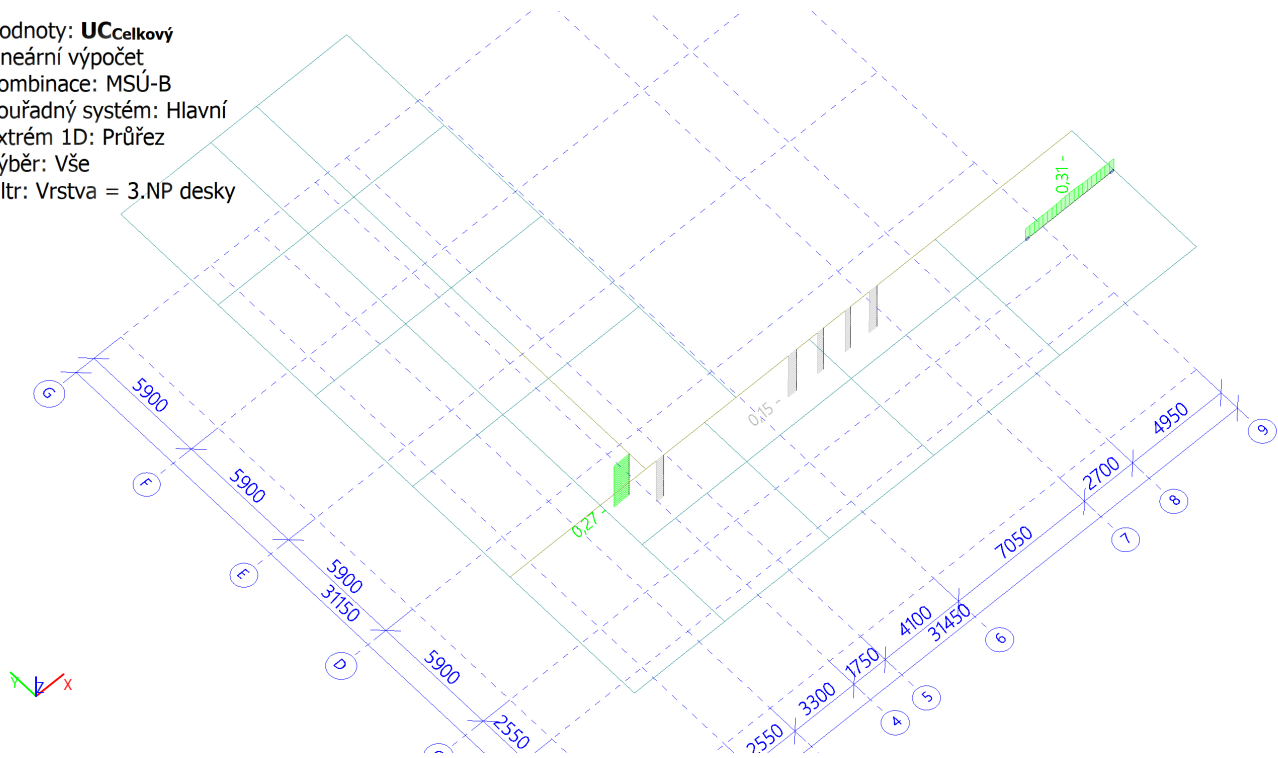
N <sub>Ed</sub> [kN]	V <sub>y,Ed</sub> [kN]	V <sub>z,Ed</sub> [kN]	T <sub>Ed</sub> [kNm]	M <sub>y,Ed</sub> [kNm]	M <sub>z,Ed</sub> [kNm]
-1,83	0,79	0,00	-0,01	101,76	0,10

Posudek v řezu	
Klasifikace průřezu	1
Posudek na tlak	0,00 -
Posudek ohybového momentu pro M <sub>y</sub>	0,31 -
Posudek ohybového momentu pro M <sub>z</sub>	0,00 -
Posudek smyku pro V <sub>y</sub>	0,00 -
Posudek kroucení	0,00 -
Posudek na kombinaci ohybu, osových a smykových sil	0,10 -
<b>Závěr</b> - posudek průřezu	0,31 -

Vzpěrná osa	k	L [m]	N <sub>cr</sub> [kN]	M <sub>cr</sub> [kNm]	λ <sub>rel</sub>	χ
y-y	1,00	4,950	15479,60		0,41	1,00
z-z	0,81	3,993	8200,91		0,57	1,00
LTB	1,00	4,950		1074,49	0,55	1,00

Posudek stability	
Klasifikace stability	1
Posudek ohybu a osového tlaku	0,29 -
<b>Závěr</b> - posudek stability	0,29 -

Hodnoty: **UC<sub>celkový</sub>**  
Lineární výpočet  
Kombinace: MSÚ-B  
Souřadný systém: Hlavní  
Extrém 1D: Průřez  
Výběr: Vše  
Filtr: Vrstva = 3.NP desky



17.6. Deformace 1D prvků

17.6.1. 1D deformace

Lineární výpočet  
Kombinace: MSP-Char  
Souřadný systém: Hlavní  
Extrém 1D: Průřez  
Výběr: Vše  
Filtr: Vrstva = 3.NP desky  
Deformace

Jméno	dx [m]	Stav	Průřez	ux [mm]	uy [mm]	uz [mm]	φx [mrad]	φy [mrad]	φz [mrad]	Utotal [mm]
B73	3,300	MSP-Char/1	sloup5 - MSH150x150x8.0	-0,8	7,9	-0,1	0,3	0,2	0,4	7,9
B71	0,000	MSP-Char/2	sloup5 - MSH150x150x8.0	-0,4	-0,2	-4,7	0,0	0,0	0,0	4,7
B71	2,805-	MSP-Char/3	sloup5 - MSH150x150x8.0	-0,5	-0,3	-6,1	0,0	0,3	0,0	6,1
B70	3,135-	MSP-Char/4	sloup5 - MSH150x150x8.0	-0,6	-0,3	-6,2	0,0	0,0	0,0	6,2
B73	2,475-	MSP-Char/5	sloup5 - MSH150x150x8.0	-0,7	12,5	0,0	0,4	0,0	0,9	12,5
B73	3,300	MSP-Char/6	sloup5 - MSH150x150x8.0	-0,7	0,0	-0,3	0,0	0,1	0,0	0,7
B70	3,300	MSP-Char/7	sloup5 - MSH150x150x8.0	-0,7	9,9	0,0	0,9	-0,1	0,3	10,0
B70	3,300	MSP-Char/8	sloup5 - MSH150x150x8.0	-0,7	0,0	-0,3	0,0	-0,1	0,1	0,7
B70	1,650-	MSP-Char/9	sloup5 - MSH150x150x8.0	-0,6	-0,2	-5,5	0,0	0,7	-0,1	5,5
B70	1,485-	MSP-Char/9	sloup5 - MSH150x150x8.0	-0,6	-0,2	-5,3	0,0	0,7	-0,1	5,4
B73	0,990-	MSP-Char/10	sloup5 - MSH150x150x8.0	-0,7	10,9	0,0	0,3	0,0	1,1	10,9
B73	3,300	MSP-Char/11	sloup5 - MSH150x150x8.0	-0,8	13,2	0,0	0,5	0,2	0,6	13,2
B75	7,550	MSP-Char/5	venec - Obdélník (300; 240)	-14,8	1,3	0,1	0,6	-0,6	0,0	14,8
B98	0,000	MSP-Char/5	venec - Obdélník (300; 240)	14,0	-1,3	-0,2	0,2	0,5	0,1	14,0

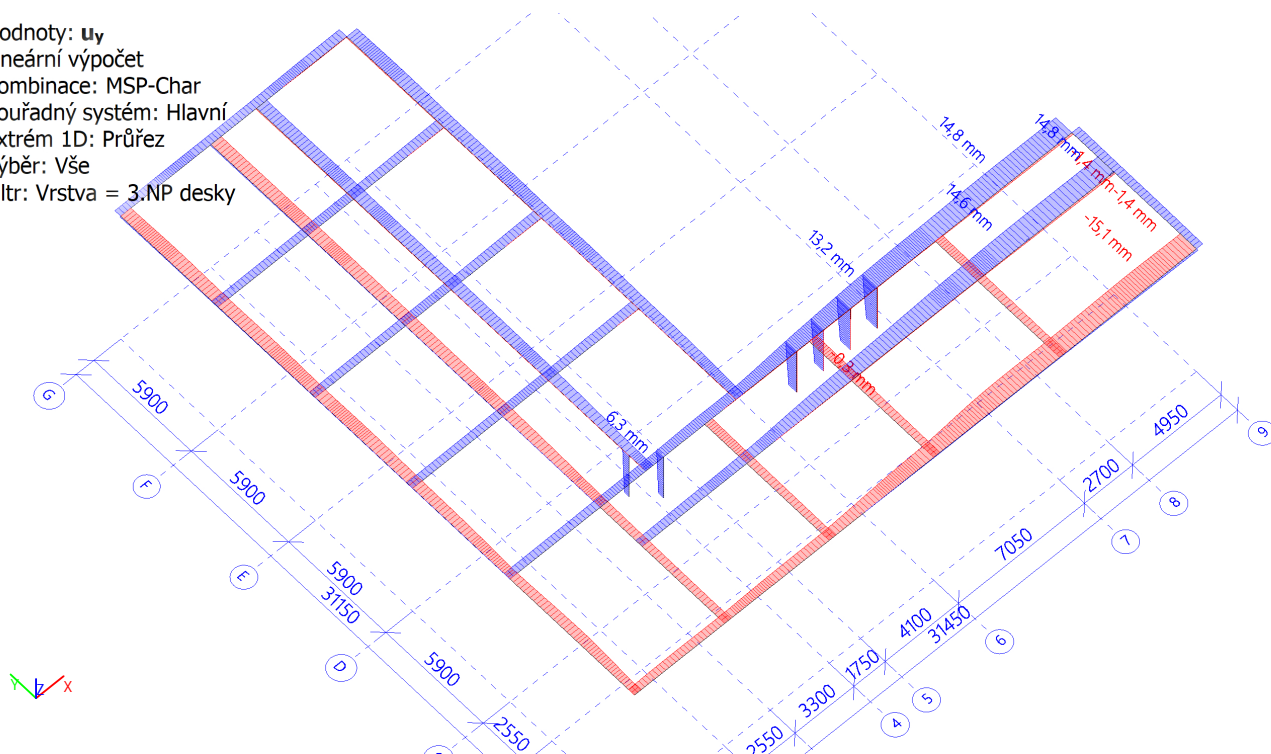


Jméno	dx [m]	Stav	Průřez	U <sub>x</sub> [mm]	U <sub>y</sub> [mm]	U <sub>z</sub> [mm]	Φ <sub>x</sub> [mrad]	Φ <sub>y</sub> [mrad]	Φ <sub>z</sub> [mrad]	U <sub>total</sub> [mm]
B76	2,700-	MSP-Char/5	venec - Obdélník (300; 240)	-1,3	-15,1	-2,7	1,1	0,2	0,0	15,4
B76	2,850-	MSP-Char/12	venec - Obdélník (300; 240)	-0,9	-8,9	-3,1	0,7	0,0	0,0	9,5
B82	21,450	MSP-Char/5	venec - Obdélník (300; 240)	0,5	14,6	-1,0	-1,2	0,6	0,1	14,7
B76	4,575-	MSP-Char/5	venec - Obdélník (300; 240)	-1,3	-14,8	-1,4	1,3	-0,9	0,3	14,9
B77	3,550-	MSP-Char/13	venec - Obdélník (300; 240)	3,6	-0,3	-1,4	0,0	-1,2	0,1	3,8
B76	1,200-	MSP-Char/12	venec - Obdélník (300; 240)	-0,9	-8,7	-1,4	0,6	1,5	-0,1	8,9
B77	1,450-	MSP-Char/14	venec - Obdélník (300; 240)	1,1	-6,3	-1,7	0,4	0,9	-0,8	6,6
B76	13,100-	MSP-Char/5	venec - Obdélník (300; 240)	-1,3	-11,9	-1,6	0,7	-0,7	1,1	12,1
B76	2,850-	MSP-Char/11	venec - Obdélník (300; 240)	-1,3	-15,1	-3,0	1,1	0,0	0,0	15,4
B112	8,000	MSP-Char/11	pruvlak3 - Obdélník (500; 240)	-6,1	0,0	-0,7	0,1	-0,5	0,2	6,1
B80	0,000	MSP-Char/4	pruvlak3 - Obdélník (500; 240)	6,2	1,1	-0,4	-0,4	-0,1	0,0	6,3
B102	18,800	MSP-Char/4	pruvlak3 - Obdélník (500; 240)	6,2	-1,4	-0,5	0,3	0,2	-0,1	6,3
B112	4,795-	MSP-Char/13	pruvlak3 - Obdélník (500; 240)	-3,8	0,0	-2,4	0,2	0,0	0,0	4,5
B80	2,424-	MSP-Char/15	pruvlak3 - Obdélník (500; 240)	0,1	3,7	-0,1	-0,4	0,0	0,0	3,7
B102	15,236-	MSP-Char/5	pruvlak3 - Obdélník (500; 240)	0,0	14,8	-0,2	-1,2	0,0	0,0	14,8
B112	2,100-	MSP-Char/13	pruvlak3 - Obdélník (500; 240)	-3,8	0,0	-0,9	0,3	0,5	0,0	3,9
B112	6,510-	MSP-Char/16	pruvlak3 - Obdélník (500; 240)	-3,7	0,0	-1,6	0,1	-0,7	0,0	4,1
B112	2,835-	MSP-Char/17	pruvlak3 - Obdélník (500; 240)	-0,3	4,7	-1,4	0,2	0,8	-0,2	4,9
B112	4,795-	MSP-Char/2	pruvlak3 - Obdélník (500; 240)	-0,3	7,0	-2,0	0,0	0,0	-0,4	7,3
B102	2,300-	MSP-Char/5	pruvlak3 - Obdélník (500; 240)	0,0	8,8	-0,8	-0,3	0,0	1,1	8,9
B102	15,830-	MSP-Char/5	pruvlak3 - Obdélník (500; 240)	0,0	14,8	-0,2	-1,2	0,0	0,0	14,8
B100	3,300	MSP-Char/13	sloup - MSH180x180x8.0	-1,3	3,8	-0,1	0,1	-0,1	0,6	4,0
B101	0,000	MSP-Char/18	sloup - MSH180x180x8.0	-0,5	4,6	0,0	0,2	0,1	0,4	4,6
B100	2,475-	MSP-Char/19	sloup - MSH180x180x8.0	-1,1	0,1	-0,3	0,0	0,0	0,0	1,1
B101	3,300	MSP-Char/11	sloup - MSH180x180x8.0	-0,7	6,3	0,0	0,3	0,0	0,5	6,4
B100	3,300	MSP-Char/4	sloup - MSH180x180x8.0	-1,2	0,3	-6,3	-0,2	0,1	0,6	6,5
B100	0,660-	MSP-Char/5	sloup - MSH180x180x8.0	-1,0	4,8	0,1	0,0	0,0	0,5	4,9
B100	3,300	MSP-Char/20	sloup - MSH180x180x8.0	-1,1	0,3	-6,3	-0,2	0,1	0,5	6,4

Jméno	dx [m]	Stav	Průřez	U <sub>x</sub> [mm]	U <sub>y</sub> [mm]	U <sub>z</sub> [mm]	Φ <sub>x</sub> [mrad]	Φ <sub>y</sub> [mrad]	Φ <sub>z</sub> [mrad]	U <sub>total</sub> [mm]
B101	3,300	MSP-Char/21	sloup - MSH180x180x8.0	-0,6	6,3	-0,1	0,4	0,0	0,5	6,3
B101	1,650-	MSP-Char/4	sloup - MSH180x180x8.0	-0,6	0,2	-5,5	0,0	0,6	-0,1	5,5
B100	1,650-	MSP-Char/6	sloup - MSH180x180x8.0	-1,1	0,2	-0,2	0,0	0,1	-0,2	1,2
B100	0,000	MSP-Char/12	sloup - MSH180x180x8.0	-1,1	2,8	0,0	0,0	-0,1	0,7	3,0
B100	3,300	MSP-Char/9	sloup - MSH180x180x8.0	-1,3	0,3	-6,3	-0,2	0,1	0,6	6,5
B113	4,950	MSP-Char/22	pruvlak5 - HEA300	0,3	-0,3	-0,6	-0,3	-3,1	0,0	0,7
B113	4,950	MSP-Char/4	pruvlak5 - HEA300	5,9	-1,4	-0,7	-0,4	-3,3	-0,1	6,1
B113	2,475-	MSP-Char/17	pruvlak5 - HEA300	3,6	-0,8	-6,6	-0,2	-0,1	-0,1	7,6
B113	4,950	MSP-Char/5	pruvlak5 - HEA300	0,5	14,8	-0,5	-0,2	-3,1	0,2	14,8
B113	0,000	MSP-Char/5	pruvlak5 - HEA300	0,5	14,6	-1,0	-1,2	2,9	0,1	14,7
B113	0,000	MSP-Char/4	pruvlak5 - HEA300	5,8	-0,7	-1,1	0,1	3,1	-0,1	6,0
B113	4,950	MSP-Char/13	pruvlak5 - HEA300	0,5	8,7	-0,6	-0,3	-3,5	0,1	8,7
B113	0,000	MSP-Char/23	pruvlak5 - HEA300	3,6	-0,5	-1,1	0,1	3,4	-0,1	3,8
B113	1,732-	MSP-Char/4	pruvlak5 - HEA300	5,9	-1,0	-5,8	-0,1	1,3	-0,2	8,3
B113	2,475-	MSP-Char/11	pruvlak5 - HEA300	0,5	14,6	-6,2	-0,7	-0,1	0,0	15,9

Jméno	Klíč kombinace
MSP-Char/1	ZS1 + ZS2 + 0.60*ZS6 + 0.50*ZS7 + ZS8 + ZS3
MSP-Char/2	ZS1 + ZS2 + ZS5 + ZS8
MSP-Char/3	ZS1 + ZS2 + ZS5 + 0.50*ZS7 + ZS8
MSP-Char/4	ZS1 + ZS2 + ZS5 + 0.50*ZS7 + ZS8 + 0.70*ZS4
MSP-Char/5	ZS1 + ZS2 + ZS6 + ZS8 + 0.70*ZS3
MSP-Char/6	ZS1 + ZS2 + 0.50*ZS7 + ZS8 + ZS4
MSP-Char/7	ZS1 + ZS2 + ZS6 + 0.50*ZS7 + ZS8 + 0.70*ZS3
MSP-Char/8	ZS1 + ZS2 + ZS7 + ZS8 + 0.70*ZS3 + 0.70*ZS4
MSP-Char/9	ZS1 + ZS2 + ZS5 + 0.50*ZS7 + ZS8 + 0.70*ZS3 + 0.70*ZS4
MSP-Char/10	ZS1 + ZS2 + ZS6 + ZS8 + 0.70*ZS3 + 0.70*ZS4
MSP-Char/11	ZS1 + ZS2 + ZS6 + 0.50*ZS7 + ZS8 + 0.70*ZS3 + 0.70*ZS4
MSP-Char/12	ZS1 + ZS2 + 0.60*ZS6 + 0.50*ZS7 + ZS8 + 0.70*ZS3 + ZS4
MSP-Char/13	ZS1 + ZS2 + 0.60*ZS6 + ZS7 + ZS8 + 0.70*ZS3 + 0.70*ZS4
MSP-Char/14	ZS1 + ZS2 + ZS5 + ZS8 + 0.70*ZS4
MSP-Char/15	ZS1 + ZS2 + 0.60*ZS6 + 0.50*ZS7 + ZS8 + ZS3 + 0.70*ZS4
MSP-Char/16	ZS1 + ZS2 + 0.60*ZS6 + ZS7 + ZS8 + 0.70*ZS4
MSP-Char/17	ZS1 + ZS2 + 0.60*ZS5 + ZS7 + ZS8 + 0.70*ZS3 + 0.70*ZS4
MSP-Char/18	ZS1 + ZS2 + ZS6 + ZS8
MSP-Char/19	ZS1 + ZS2 + ZS7 + ZS8
MSP-Char/20	ZS1 + ZS2 + ZS5 + ZS8 + 0.70*ZS3
MSP-Char/21	ZS1 + ZS2 + ZS6 + 0.50*ZS7 + ZS8 + 0.70*ZS4
MSP-Char/22	ZS1 + ZS2 + ZS8 + ZS3
MSP-Char/23	ZS1 + ZS2 + 0.60*ZS5 + ZS7 + ZS8

Hodnoty:  $u_y$   
 Lineární výpočet  
 Kombinace: MSP-Char  
 Souřadný systém: Hlavní  
 Extrém 1D: Průřez  
 Výběr: Vše  
 Filtr: Vrstva = 3.NP desky



Hodnoty:  $u_z$   
 Lineární výpočet  
 Kombinace: MSP-Char  
 Souřadný systém: Hlavní  
 Extrém 1D: Průřez  
 Výběr: Vše  
 Filtr: Vrstva = 3.NP desky

